

① A型 L型 密着

6. 人介-ル密着.

7.

8.

R₂断面の $\frac{r}{R_2}$
最大切入半径.

* (問題、項目)

→ 5年以降

数 100 - 1ml

(10 μ L)

条件 $z = 1.07$

・ 治具、白金 z=4、取り付け用。

⇒

・ 内/外 $\sim 1.5 \text{ mm}$ 、確認は2回以上。

⇒

2mm ~ 2.2 mm、好む。

2.3mm ~ 2.7 mm の差違 $\sim 1\% \text{ 程度}$ 、 \Rightarrow 最小?

絶縁、緩和。

細かくはなし、

(800 μ m までは $\pm 0.5 \text{ mm}$)
cm-a の形は変化??.

・ C-T

⇒ 1mm $\sim 15\%$ 程度誤差。

・ CT の補正。

CT = 敷設 \sim 1回 CT \rightarrow 2回。

以前の組

・ 絶縁。

$(12/19) \Rightarrow$
AM

(\Rightarrow 前の組 1.)

・ ピンホール、レーザー、

・ 電子 / 制動の印合せ。

⇒ 27分。

- * $\Sigma = 9$ — $\Sigma - \alpha$. 製造量.
- + 自動化. — 出入庫. 儲存. 搬運量.
- * $\Sigma - \text{輸入}$ — 位運次數. Σ -分子交換. 容易故障. 級別. 低不能物化.
- * $\Sigma \Sigma - \text{人職業}$. — 運輸員. の順序.
- * $\Sigma - \Sigma$ — 病者 治療予測. — 個別化治療.

$$\begin{array}{rcl}
 & - & \\
 & | & | & \Rightarrow \text{No change} \\
 \text{after} - \text{before} & = & \\
 & = & | - 0 & \Rightarrow + 1 \rightarrow \text{add} \\
 & : & \\
 & = & 0 - 1 & \Rightarrow - 1 \rightarrow \text{remove} \\
 & = & 0 - 0 & \Rightarrow \text{No change}
 \end{array}$$

・ 天井 (高さ 5.2m, → 10m 以上)

・ 最低 (10m + 5m) 事業化の際の説明責任

・ リビングルーム
1000 m² (2F)

④ 東北大和3合会社、23人構成。

・ 会員 60名、33 30名。

・ 何工事、試験工事。

・ 何工事費? まだ算定項目。

・ 貨物品	- 流出し	① 延長作成 ② ターミナル運送 ③ 図作成 ④ 全体の見直し → sum
・ 会員	- 流出し	
・ 流本	- - 6S、最後まで	
・ 場所	- 21. 作業、見直し(全体版)	
・ 準備 (事前)	- 組取り	

"1/24 "東北大和会社,"

・ 資料作り

① 延長作成 (前回の会議)
→ 工程の作成

② ターミナル運送 (必要な流出)

③ 図作成

④ 全体の見直し

→ sum

成る。

+ 東北大、大手会社、レジストラの資料、結構複雑で複数ある。

銀行へも送付しておこう。

・ 27日までの資料作成。 → 完成。

建物11.

・ 工程 (作業工程) → 図一枚 (列挙)

・ 会員、会員、(会員) → 列挙 (表)

・ 場所 (会員の会員) (270) → 図一枚。 → 1枚。

・ 事前準備が必要な会員。 → 列挙 (表)

・ 会員 (会員) (会員) (会員) → 文書 (会員)

・ 資料内容 → 内容を併せて1枚。

④ 0-100% 適用 \rightarrow (大体)

何を仮定か?

\rightarrow 「電磁線形加速度 \rightarrow みる」

(理由を3つ述べる必要がある。)

⑤ 因数。

- 評価の背景。
 $\left\{ \begin{array}{l} \cdot \text{何工員が} \rightarrow \text{評価} \\ \cdot \text{どうぞ} \rightarrow \text{評価} \end{array} \right.$ (評価項目)

- #2) (結論)

- ~~は~~ 3) の理由

- 理由1 深掘り

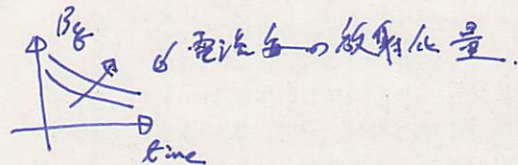
- = 2 =

- = 3 =

- 今後、注視点の要点

⑥ 背景 23時 \rightarrow 後 42時 23時 \rightarrow 後

ヒートターン性の低下



⑦

$$Q = c\rho V \Delta T \quad \text{at } 70^\circ\text{C} \sim 10^\circ\text{K}$$

$$= 4.2 \text{ kJ/kg} \cdot \text{K} \times \rho \times m \cdot \Delta T \times A_f \times \Delta T$$

$$\frac{10^3 \text{ kg/m}^3}{4 \text{ m}^3/\text{s}} \quad (10^{-2})^2$$

ガスシートを用いた電子ビームの検出*

荻原 徳男^{*1}・引地 裕輔^{*1}・神谷 潤一郎^{*1}・金正 倫計^{*1}

Detection of Electron Beam with a Gas Sheet

Norio OGAWARA^{*1}, Yusuke HIKICHI^{*1}, Junichiro KAMIYA^{*1} and Michikazu KINSHO^{*1}

^{*1}J-PARC Center, Japan Atomic Energy Agency, Tokai-mura, Naka-gun, Ibaraki 319-1195, Japan

(Received November 30, 2015, Accepted February 9, 2016)

To demonstrate the function of a gas sheet for measuring the 2D profiles of accelerated beams, the following experiments were performed: 1) A gas sheet with a thickness of 1.5 mm and a density of 2×10^{-4} Pa was produced by the deep slit, and the shape of the sheet was improved by the thin slit. 2) For an electron beam of 30 keV and a diameter greater than 0.35 mm, the position and the 2D profiles were appropriately measured using the gas sheet.

1. はじめに

現在、大強度陽子加速器 J-PARC 3 GeV シンクロトロン (Rapid Cycling Synchrotron, RCS)においては、1 MW という大強度出力の達成をめざしているところであるが、このためには、ビームロスの徹底した低減が必要である。我々は、このためのビーム診断ツールとして、真空中にガスシートを発生させ、加速ビームとの衝突で生ずるイオンないしは光を用いてビーム診断を行う「ガスシートモニター」を開発中である。

3 GeV RCSにおいて、本ガスシートモニターを実現するためには、幅および奥行きとして300 mm以上、シート厚2-3 mmのガスシートターゲットを作成する必要がある。また、本ガスターーゲットの濃度は、 10^{-6} Pa程度の真空中において 10^{-4} Pa程度が要求される¹⁾。

前報において、複数の奥行きの深いスリットを対向させた配置、または、ギャップの十分小さな円形スリットの使用により、上記ガスシートターゲットを生成しうることをモンテカルロシミュレーションによって示した²⁾。

現在、奥行きの深いスリットを試作し、ガスシートターゲットとしての特性を評価中であるが、今回、本スリットにより生成されたガスシートを用いて電子ビームの検出を行うことにより、ガスシートモニターの有効性を示すことができたので、その概要を報告する。

2. ガスシートの生成

ガスシート発生装置を模式的に Fig. 1 に示す。基本的な構成物は、奥行きの深いスリットと形状成形用の薄いスリットである。幅50 mm、奥行き100 mm、隙間0.15 mmの奥行きの深いスリットにガスを通すことにより生成されたガスシートは、さらに、60 mm × 0.3 mmのスリットで成形されて真空槽に導入される。奥行きの深いスリット構造は、2枚のSUS304直方体を密着させて形成する。すなわち、1枚は完全な平面とし、もう1枚のSUS板上に上記形状の溝を刻

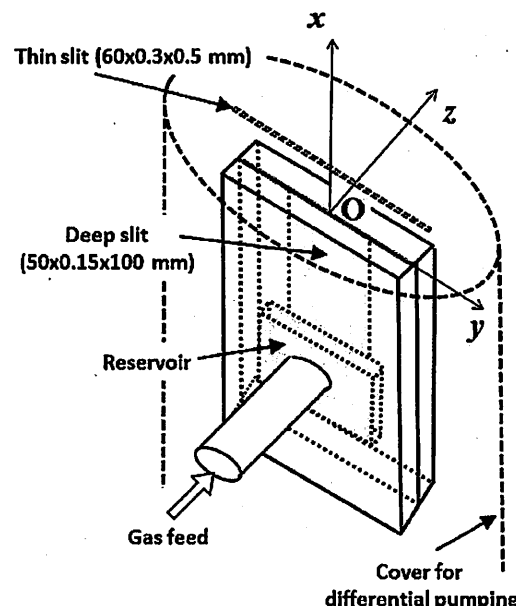


Fig. 1 Schematic of the gas sheet generator. It consists of the deep slit for generating a gas sheet and the thin slit that is placed on the cover for differential pumping. The deep slit, which is formed between 2 SUS304 plates, has a length of 50 mm, a breadth of 0.15 mm, and a depth of 100 mm. The thin slit that controls the thickness of the gas sheet has a length of 60 mm and a breadth of 0.3 mm. The origin of the coordinates, O-xyz, is placed at the center of the exit plane of the deep slit.

んで、2枚を密着させる。さらに、スリットを刻んでいるSUS板には、ガス溜を設けてある。形状成形用スリットは、背圧に対するガスシート濃度の比を高めるために導入した差動排気用カバーの先端に設けられている。

なお、Fig. 1には、以下の議論に用いるため、O-xyz 座標系を示してある。すなわち、奥行きの深いスリットのガス放出面中央に原点Oを、ガスの流れる方向にx軸、スリットの長辺方向にy軸、短辺方向にz軸をとる。

差動排気用カバーを取り付けた状態で、ガスシートの特性を評価した。ここでは、その概要を述べる。測定には、残留

* 平成27年12月1日 第56回真空に関する連合講演会で発表

*1 日本原子力研究開発機構J-PARCセンター(〒319-1195茨城県那珂郡東海村白方白根2-4)

④ report lab の 改修 .

① 準備等 .

- 全領域データ版の生成 . (end)
- 入力の整備 .
- UI の整備 .
- 側面データの追加 . (たしかにこれで、最後)

あと左しの方並列スル42.

② 全領域版データへの拡張 .

- 領域(板形)の認識 .
- 各位置の抽出 . (データ化)
- フォトグラム化 .

③ 自由-1の「蓋版」追加

→ 全セクターデータで記載する。参考

→ コード化 . I/Oデータを支援して作成 .

→ 形状で各位置をデータ化 . 入力データ生成 .

= 結論 .

④ 形状 . 半径 $r_1 = 212\text{mm}$ $r_2 = 860\text{mm}$

$r_2 = 808\text{mm}$

角度 . 45° ずつ . $\left\{ \begin{array}{l} \theta_1 = -22.5 + (i-1) \cdot 45 \\ \theta_2 = +22.5 + (i-1) \cdot 45 \end{array} \right.$

(for ; $i=1, 2, \dots, 8$)

即ち r_2 は r_1 .

65mm . (全周 $360^\circ = 800 \times 2 \times \pi$)

$$\frac{65}{800 \times 2 \times \pi} \times 2\pi \times \frac{360^\circ}{2\pi}$$

→ $\sim 45^\circ$

ガス分析器を検出器とするフラックスモニターを用いた。本モニターの先端には細いスリットが設けられている。形状は、長辺10 mm、短辺0.2 mm、厚みは0.12 mmである。このスリットをガスシート生成用スリットに平行に(すなわち、 yz 平面に平行に)，かつ、長辺および短辺同士を平行にした状態で移動させる。こうすることで、ガスシートの厚み方向(z 軸方向)の濃度分布を精度よく測定することができる。

Ar を導入した時のフラックスモニターによる Ar^+ 電流の測定例を Fig. 2 に示す。横軸は、フラックスモニター先端に設けられているスリットの中心の x, y 座標を直線 ($x, y = (100, 0)$ (mm)) 上に拘束した状態での z 座標を示す。ここでは、ガス導入部(ガス溜)の Ar 壓力をパラメータとす

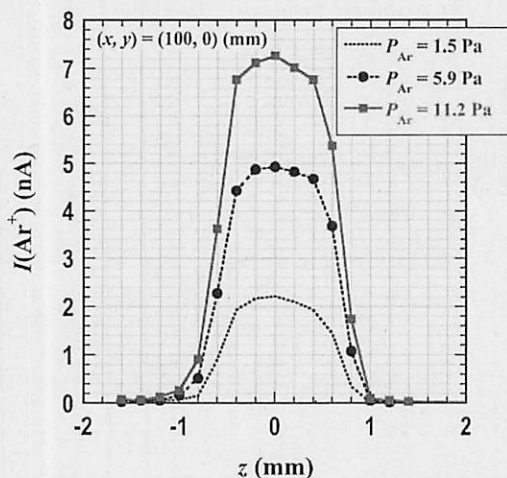


Fig. 2 (Color online) The change in the Ar^+ current as a function of z value of the center of the probe head for the flux monitoring with a mass filter. The parameter is the Ar pressure P_{Ar} in the gas reservoir of the deep slit (see Fig. 1). The coordinate system O-xyz is the same as that in Fig. 1.

る変化を示してある。本図から、流量によらず、形成されるガスシートの厚みは、半値幅で 1.5 ± 0.2 mm であることがわかる。また、当然ながら、流量が増すにつれガスシート濃度も高くなることがわかる。フラックスモニターによる濃度測定については、現在、評価中であり、近々報告するが、後述するように、ガス導入部圧力が 100 Pa 程度で、ガス放出面から直上 85 mm の位置で、凡そ 2×10^{-4} Pa の圧力に相当する濃度のガスシートが形成されている。

3. 電子ビームの検出実験

3.1 機器配置

上述の発生装置により形成されるガスシートを用いて電子ビームの位置および断面形状を求める実験を行った。概念を Fig. 3 に示す。超高真空下で、上述のガスシートと電子ビームを交差させ、生じたイオンをイオンリペラーおよび補助電極を用いてマルチチャンネルプレート(MCP)に導く。イオンによって生じた 2 次電子は MCP により増幅され、蛍光面に投影される。その蛍光像を、石英窓を通して真空中から観測することにより電子ビームの情報を得る。

イオンリペラーと補助電極は、金網からなり、直径 100 mm である。特に、補助電極は、イオンの透過性をよくするため、線径 $18.5 \mu\text{m}$ 、70 メッシュの Ni 金網を使用している。MCP を保護しているシールドカバーは、直径 105 mm の円筒で、MCP の有効径が 30 mm であることから、先端部に直径 32 mm の穴を設けてある。また、補助電極、シールドカバー、MCP は、それぞれ、2 mm の間隔で配置されている。なお、MCP、蛍光面および補助電極(シールドカバーを含む)を総称して、イオン検出系とよぶ。

イオンリペラーとイオン検出系は、軸をあわせた上で、電子ビームを挟んで対称に、かつ、電子ビームと軸が一点で交

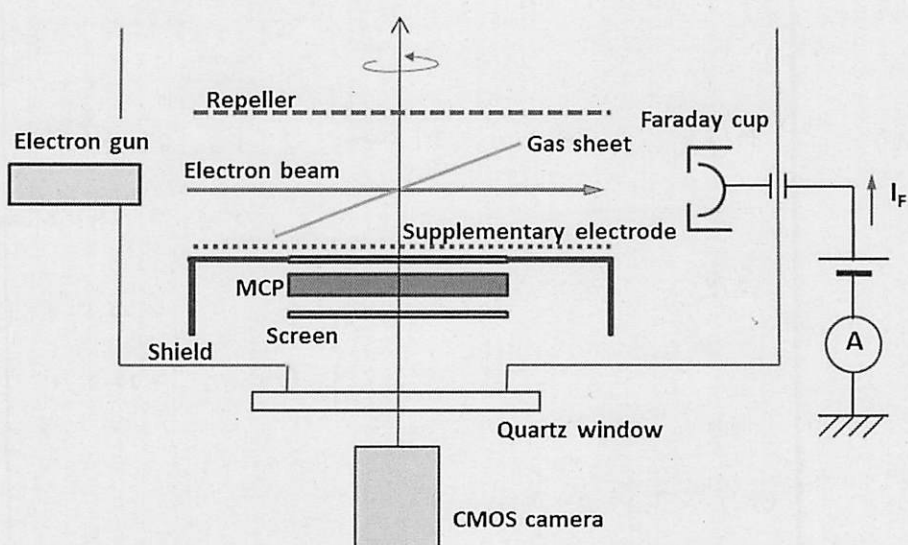


Fig. 3 (Color online) The experimental layout for the electron-beam detection with the gas sheet. The multi-channel plate (MCP) and the fluorescent screen have the same rotational axis, which intersects the electron-beam perpendicularly at a point (called ‘beam center’) under the electric-field-free condition. The ion repeller has the same rotational axis and is placed on the opposite side of the electron beam. The supplementary electrode is used to correct the disturbance of the electric field because of the hole on the shield of the MCP. The gas sheet is orthogonal to the plane formed by the electron beam and the rotational axis of the MCP. Moreover, the sheet and the electron beam cross each other at a 29.5° angle.

今週 48 & 39

④ $\epsilon^0 = \tau - x - 9$.

⑤ 42-1- もしく.

⑥ 第1実験室外へ、遅く。 (第1実験室へ遅く)

⑦ background. →

静電. →

131P±3% の 1/2
同種系の ±1-3%

⑧ GPLB の→接続. 出入水。
袖、僅導線、差子。

GPLB - ethernet 1-1m 支援部

⑨ 648'1 → 信号?

⑩ 電源 2-1L -

⑪ 白金 1-1-1-1-1 各子。

・ 5-2-8

* 風冷 + 抵触紙築

*

⑫ 1号PLA.

手前半、全部日本準備了

→ 必要物品統一出し

納期12月、通知

差するようにする。イオン検出系と電子ビームまでの距離は30 mmを標準とする(なお、この交点を、今後、“ビーム中心”と呼ぶ)。ただし、ビームの軌道は電場のない状態のものとする。すなわち、イオン検出系を稼働させた場合の電子ビーム軌道と、電場のないときの軌道のずれ量は、ビーム中心付近で、最大0.7 mm程度である^{†1}。これは、微調整で修正可能な量であり、電場のない状態で、電子ビームと各電極間の位置調整を行えば十分である。

ガスシートについては、電子ビームとイオン検出系の軸が構成する平面と直交し、かつ、Fig. 1に示すx軸がビーム中心を通るように配置する。また、ガスシートと各電極が干渉するのを防ぐため、電子ビームとガスシートのなす角を29.5°に設定した。ビーム中心から奥行きの深いスリットのガス放出面までの距離は85 mmに設定した。

3.2 電子ビーム

電子ビームは、株オメガトロン製の電子銃OMS-3040EFCより供給される。最大加速電圧30 kV、最大電子電流3 mAである。今回の実験では、加速電圧30 kV、電子電流2~10 μAで運転した。また、電子銃からビーム中心までは、340 mmで、電子電流はファラディカップにより常時モニターされる。

ビーム中心位置でのビーム径を評価するため、金属平板を一時的に追加し、イオン検出系の軸にそって、電子ビームを遮るように移動させたときのファラディカップ電流 I_F の変化を調べた。最もビームを絞った場合につき、結果をFig. 4に示す。横軸は、平板の(イオン検出系の軸上での)位置である。 I_F の位置に関する変化率から、電子ビームの広がりは、直径 0.35 ± 0.05 mmと評価できる。また、ビーム中心から電子ビーム軸にそって ± 15 mmの範囲では、ビーム径は誤差の範囲内で一定であった。

3.3 ガスシートによる電子ビームの検出

観測例をFig. 5に示す。電子ビームの条件は、30 keV, 5 μA, φ0.35 mmである。ここでは導入ガスをN₂とし、ガスシートの濃度は 1.8×10^{-4} Paである^{†2}。およそ1600 l/sの排気速度で排気されている真空容器の圧力は、この時、 9.6×10^{-6} Paである。本図において右上部に明るく光る細長い輝点がガスシートと電子ビームの交差により生じたイオンによるものである。輝点が横長に出現するのは、厚み~1.5 mmのガスシートを電子ビームが斜めに横切ることに起因している。また、薄く帯状に延びる軌跡は、電子ビームと雰囲気ガスの衝突によって生じたイオンによるものである。

輝点の縦幅は電子ビームの直径0.35 mmに対応し、横幅は、厚み(t mm)のあるガスシートがビームに対して29.5°傾いていることに対応している。これから、ガスシートの厚みを求めるとき、 $t = 1.75 \pm 0.25$ mmと求まる。この値は、2章で述べた値(1.5 ± 0.2 mm)と良く一致している。

^{†1} イオンリペラーと補助電極(ともに直径d)の間隔をh、両電極間の電位差をVとすると、加速電圧 V_a の電子ビームがこの電極間を通過するときの偏向量Rは、電極軸付近で、 $R \approx Vd^2/(16hV_a)$ となる。よって、 $V_a = 30$ kV, $V = 2$ kV, $d = 100$ mm, $h = 60$ mmより $R = 0.7$ mmを得る。

^{†2} ガスシートの濃度については、考察の項を参照のこと。

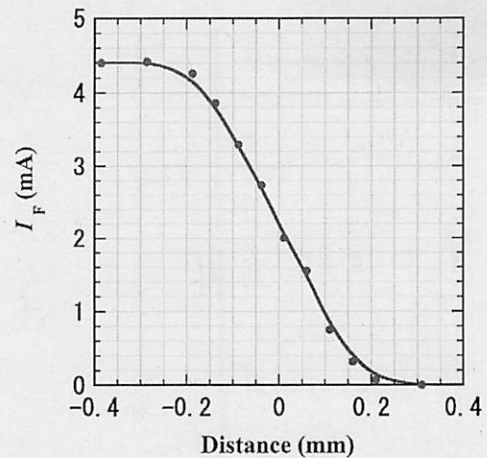


Fig. 4 The change in the current I_F via the Faraday cup as a function of the distance between the beam center and the edge of the cutoff plate, which is moved along the detector axis to interrupt the electron beam. From the difference analysis of the I_F cutoff profile for the plate position, the diameter of the electron beam is estimated to be 0.35 ± 0.05 mm.

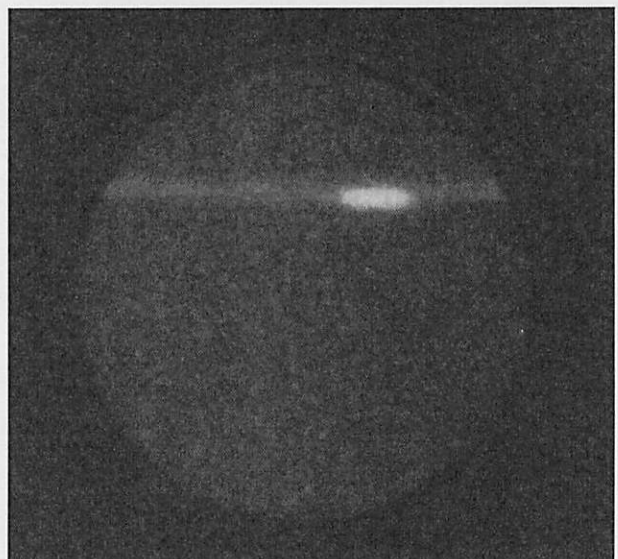


Fig. 5 (Color online) A photograph of the fluorescent screen illuminated by the MCP during the electron beam detection experiment using a N₂ gas sheet. The bright cigar-shaped spot is caused by ions that are generated by the collision of the electron beam with the gas sheet. The electron beam has a diameter of 0.35 mm and a current of 5 μA. The gas sheet is estimated to be approximately 1.5 mm thick by considering the crossing angle of 29.5° with the electron beam.

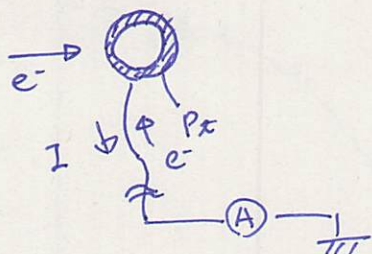
また、輝点の明るさは、導入ガス量および電子電流と正の相関がある。さらに、この輝点は、電子ビームの位置を上下左右に移動させるに連動して動くこと、そして、焦点をぼかす操作に連動して太くなることが確認できている。

以上、ガスシートを用いて電子ビームの位置および形状をモニターシュうることが明らかとなった。

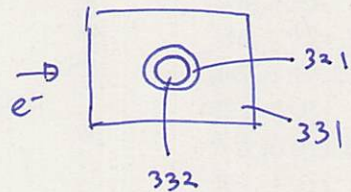
4. 考 察

ここでは、電子ビームを利用したガスシートの濃度評価に

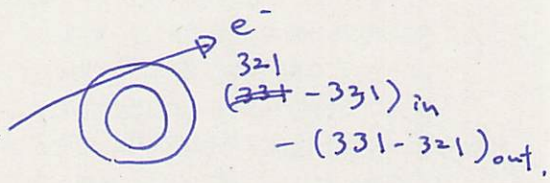
④ 11-7 ケタの自立電極 $\pi = 4$ の計算



二次電子の放出形態



① 単回 $331 + 321 + 331$ を通す



② 321 への流入は?

$$331 \rightarrow 321$$

$$332 \rightarrow 321$$

の 2つ

③ 321 の放出は?

$$321 \rightarrow 331$$

$$321 \rightarrow 332$$

の 2つ

⇒ 結局、二次電子の流入量の計算は、

（1） e^- の出し

$\Rightarrow 301 + 331$ を計算 (左) (全体入射 e^- 量)

結果、321 の 321 の 321 の 流出量を
321 への 流入量を

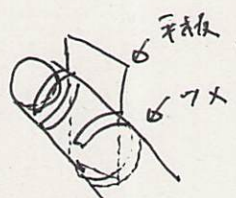
足し合わせれば、321 の 全量から
= 二次電子 - 位結電子量がわかる。

④ 1mm^2 ずつスレた場合の 信号量変化を計算。

$$\left\{ \begin{array}{l} \text{左 分析} \rightarrow \text{右 分析} \\ \text{右 分析} \rightarrow ?? \end{array} \right.$$

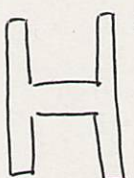
⑤ 1mm 分離の距離

e.g.)



左側 (左) で

$$\text{e.g.) } P_{\text{in}} = 0.1 \text{ mm}^2 \rightarrow 35\%$$



H 型、左側は
どうか....



or.



間隔 h 、 T 。

について述べる。

評価法は、以下の通り。電子ビームおよびイオン検出系の条件を変えずに、ガスシートと電子ビームの衝突地点(輝点)を蛍光板上に固定する。この固定点の輝度について、導入ガスが同一であれば、ガスシート由来であろうと、雰囲気由来であろうと、同一の輝度を与える場合には、同一のガス濃度としてよい。すなわち、ガスシートのない状態で、ある雰囲気圧力 P の時の上記固定点の輝度と、ガスシート単独で輝点を生じた際の輝度が同一であれば、その雰囲気圧力 P が、この時のガスシート濃度であるとしてよい。ただし、ガスシートを生成する際に背圧の変化があるので、背圧をえた濃度に対して、補正を行う必要がある。実際に、背圧はガスシート濃度の1/10程度である。

このようにして得られたガスシート濃度を、Fig. 1 に示すガス溜の圧力の関数として、Fig. 6 に示す。これから、当初目標としていたガスシート濃度が、ほぼ達成されていることが確認できる。なお、ここに示すデータは、N₂ガスに対するものである。

上述の手法は、フックスモニターのような専用機器を使用する必要がない点で、実機運転・調整時におけるガスシートの評価に適しているといえる。

5. まとめ

大強度陽子ビームを非破壊で診断するための計測器を実現するための基幹要素としてガスシート発生技術の開発を行っているところであるが、今回、奥行きの深いスリットを試作し、本スリットにより生成されたガスシートを用いて電子ビームの検出を試みた。

まず、幅50 mm、奥行き100 mm、隙間0.15 mm の奥行きの深いスリットと60 mm×0.3 mm の成形用スリットを組み合わせることにより、ガス放出面から直上85 mm の位置で、厚みが1.5 mm で、濃度が 2×10^{-4} Pa 程度の圧力に相当するガスシートを作成した。

次いで、上記ガスシートと30 keV 電子ビームを交差さ

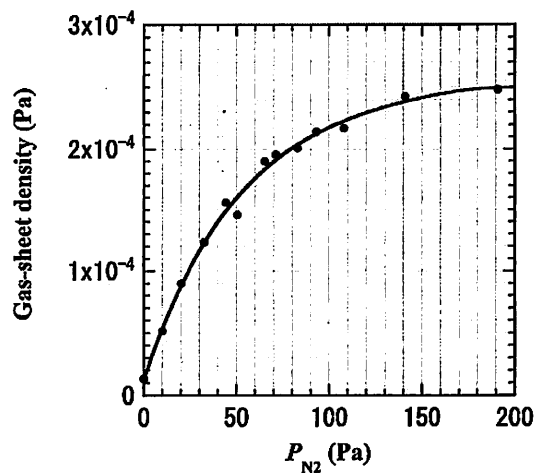


Fig. 6 The change in the density of the gas sheet as a function of the N₂ pressure (P_{N_2}) in the gas reservoir of the deep slit. The density is estimated from the light intensity of the bright spot on the fluorescent screen. In fact, the intensity of this spot, which originated from the ions generated by the collision of the gas sheet with the electron beam, is compared with the intensity at the same place on the screen generated by the ions of a uniformly distributed gas colliding with the beam.

せ、衝突によって生じたイオンをマルチチャンネルプレートにて増幅し、蛍光面上の像として観測した。その結果、電子ビームの位置および断面形状をモニターしうることを確認した。

今後、ガスシートの大型化および濃度の均一化等、実用化に向けた技術開発をすすめる予定である。

【文献】

- 1) Y. Hashimoto, T. Fujisawa, T. Morimoto, Y. Fujita, T. Honma, S. Muto, K. Noda, Y. Sato and S. Yamada: Nucl. Instrum. Method A, 527 (2004) 289.
- 2) N. Ogiwara: J. Vac. Soc. Jpn., 56 (2013) 146.

11/12 (6) 6:00 - "1°-7 の設計 計算 + photofon 条件 4.~7 + 演算作成
+ 計算 + PDP-7 完成。

問題、ADS1142 . 3mm × 2mm 2" 人気は LTF 12 不可能 ...

SPI 42..#30...

⇒ MCP3302 . = 5V . 2L-8-LV 使いやすさ ...

13bit 100 kbps 位 機能の間に矛盾。

13 bit → 5V 13bit ~動作。

⇒ 8092 分解 . 0.5mV? 程度。

B₁, C₁₂ . 112-1" (非線形性が ±1bit or ±2bit)

⇒ C₁ ~ 2⁻¹³ ~ 3.5.

電路 112-1.

OP 7-7°.

AOC

MCP3302

抵抗 .

電流-電圧変換 . (R₁) 1kΩ

LPF 10kΩ, 2kΩ (R₃)

(R₂) 1MΩ

F_T 1°=9

1.47×2π×t=9×2π×70

3.3nF

LPF

50nF

4_T-3⁻⁷=7°

10nF

1°22°

0.1nF, 1nF

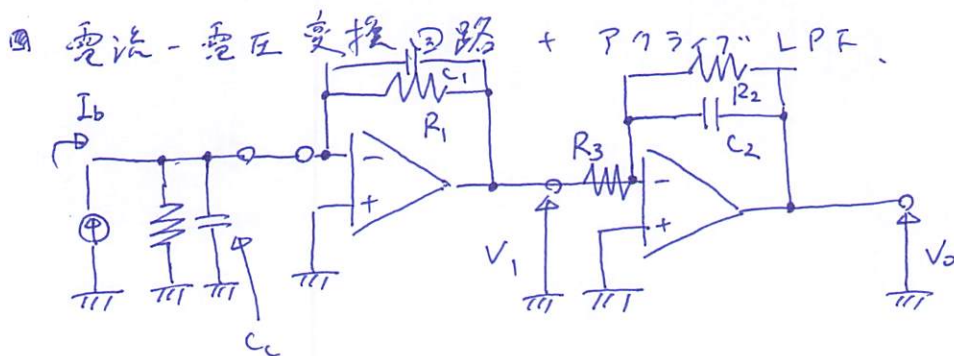
② つまみす、発注完了。

AOC が 何? 次第。計測系を立て上げる。

AOC の取扱い方。

電荷 → ADC → Arduino uno x3 → raspberry pi.
(trans impedance - LPF)

③ 次は計算。& . ⇒ ~~全~~ 及び時間 n photofon + - へ。



①

$$V_1 = -R_1 I_b \quad I_b \sim 10 \text{ mA} \text{ 程度}, \quad 3V \text{ DC 电压} \dots$$

$$R_1 = 300 \Omega$$

②

$$V_o = -\frac{R_2}{R_3} \cdot \frac{1}{1 + j\omega C_2 R_2} \quad (3 \text{ mA } \rightarrow 1 \text{ k}\Omega)$$

$$R_3 \rightarrow 10 \text{ k}\Omega$$

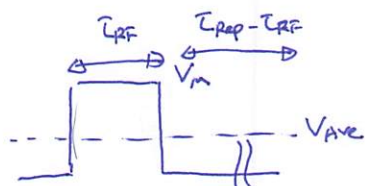
$$f_c = 100 \text{ Hz} \text{ 程度} \dots$$

$$R_2 \rightarrow 1 \text{ M}\Omega$$

$$T_{RC} = R_2 C_2 = 10 \times 10^{-3}$$

$$G \rightarrow 100 \rightarrow 1/20$$

$$R_{in} \sim R_3 \quad f_s \text{ の } \dots \quad R_3 \sim 10 \text{ k}\Omega \text{ 程度? } \rightarrow 10 \text{ Hz} \dots \quad 3V \rightarrow 100 \mu V$$



$$\text{duty} = \frac{T_{RF}}{T_{Rep}} = \frac{3 \mu s}{5 ms} = 0.6 \times 10^{-3}$$

$$\text{利得 } G = 800 \text{ 程度} \dots$$

$$\rightarrow 3V \rightarrow 1V DC \text{ 程度で検出可能}.$$

$$R_3 = 2k\Omega,$$

$$R_2 = 1M\Omega, \rightarrow C_2 = \frac{10 \times 10^{-3}}{1 \times 10^6} = 10 \text{ nF},$$

$$\rightarrow \text{余裕 } \dots 50 \text{ nF}.$$

$$f_c = 20 \text{ Hz},$$

③ C_F の決定.

C_C (1ヘルツの漏れ容量)と同一程度の容量を入力にはる.

$$100 \text{ pF/m 程度}, \rightarrow \frac{30 \text{ m}}{50 \text{ m}} \sim 0.6, 3 \text{ nF}.$$

$$C_C = 3 \text{ nF}.$$

DGA(データ・ガラス・アーティクル・データ・アーティクル)について、つかがで??.

途中段に必要な??.

④ 住み込み A/D 1115, 6bit, オリジナル....

3μs の 1.0ms に 45%

860 sps. \Rightarrow 1.16ms.

\rightarrow 5ms の 周波数 = 200Hz, 終り等....

\Rightarrow A/D 1015 の 16bit か??

. 12bit 2.4ksp, 500Hz 程度 I²C

\Rightarrow ~~A/D 1361 BRVZ-S~~

. 14bit 800ksp 1600Hz SPI. 固定版.

~~2.4ksp~~

\Rightarrow MCP3302

. 13bit 100ksp 1600Hz SPI 固定版.

\Rightarrow 12bit ~100ksp 500Hz I²C 固定 12bit ...

Digital 12bit.

. APP 11142

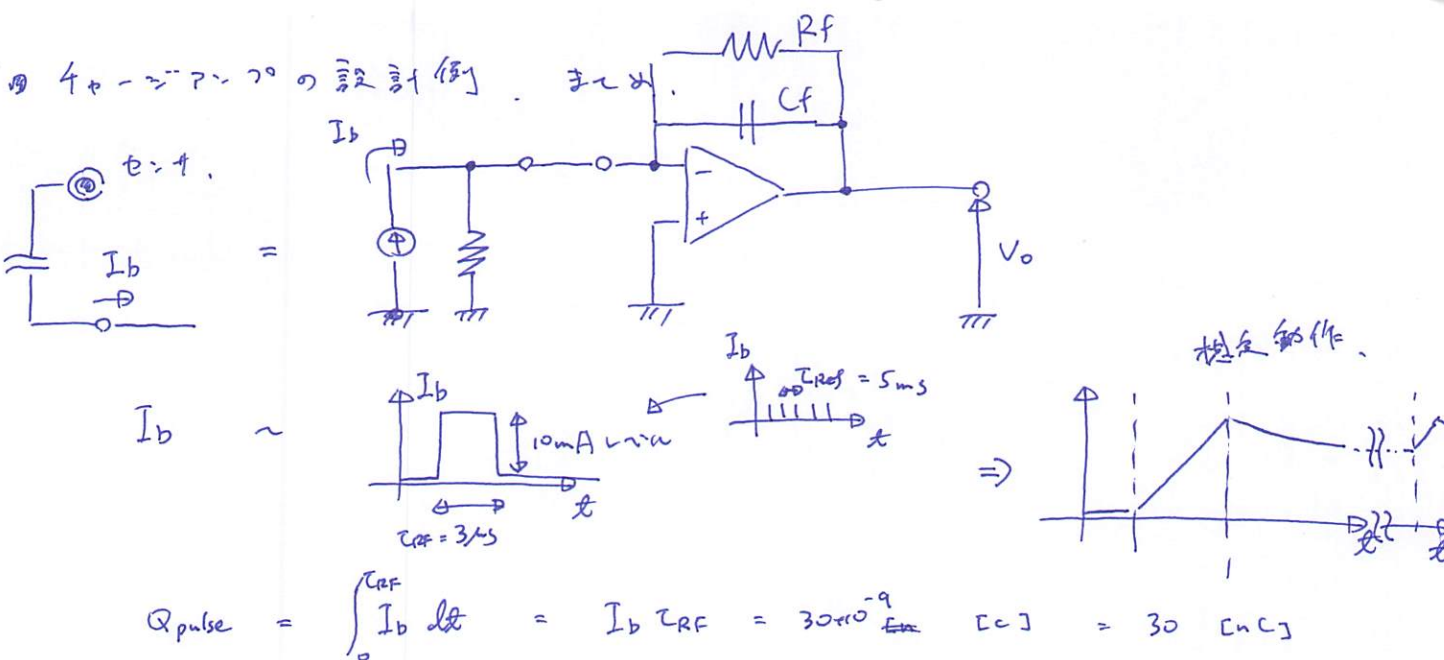
SPI 版, I²C 版....

12bit = 4096 1bit 0-5V. \rightarrow 1mV.

14bit.

0.25mV.

\Rightarrow 12bit 版. APP 11142



$$V_{sig} \sim [V] \text{ と } 3 \text{ V} \text{ に近づく}, \quad V_{sig} \sim 3 [V] \text{ に近づく},$$

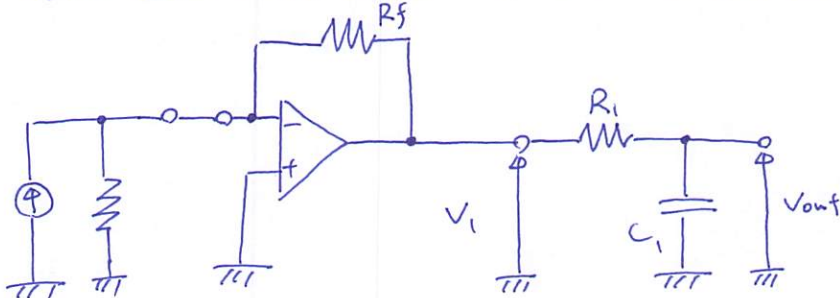
$$C_F = \frac{Q_{pulse}}{V_{sig}} = \frac{30 \times 10^{-9}}{3} = 10 [\mu F]$$

信号を LPF で動作周波数を下げる....

$$\tau_{RC} \gg \tau_{prop} \quad (\text{e.g.}) \quad \tau_{RC} = 10 \text{ ms}, \quad \text{これは 1 周期}.$$

$$R_F = \frac{\tau_{RC}}{C_F} = \frac{10 \times 10^{-3}}{10 \times 10^{-9}} = 10^6 = 1 [\text{M}\Omega].$$

電流電圧変換回路 + LPF の組合せ,



$$\begin{aligned} & R_F \text{ は } 1k\Omega \text{ 程度?}, \\ & \Rightarrow \text{出力倍率 } 3 \text{ 倍}, \\ & (V_1) \end{aligned}$$

$$3 \mu s \sim 300 \text{ kHz}, \quad f_c \sim 100 \text{ Hz 程度} \text{ とすると} \dots$$

LPF の
入出力が何? など、??.

$$\tau_{RC} = 10 \text{ ms} = R_1 C_1$$

$$C_1 = 0.1 \mu F \text{ とし}, R_1 = 100 k\Omega, \quad (R_F \sim 1 k\Omega \text{ とし}, f_c \text{ は?})$$

单回路

④ ベルス 波形と位相の関係を述べよ。

④ $f_p = \pi / T = 70$ の設計

$$R_f C_f = T_f \text{ は。} \quad T_{RF} \ll T_f \ll T_{rep} \rightarrow \text{等時間}$$

$\begin{matrix} 3\mu s \\ \downarrow \\ 100\mu s \end{matrix}$ $\begin{matrix} 5ms \\ \downarrow \\ 10\mu s \end{matrix}$

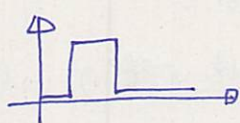
$T_f \sim \frac{100\mu s}{300\mu s} \rightarrow$ 設定

$$C_f = 10nF \rightarrow$$
 または

$$R_f = \frac{100 + 10^{-6}}{10 \times 10^{-9}} = 10 \times 10^3 = 10k\Omega$$

結果

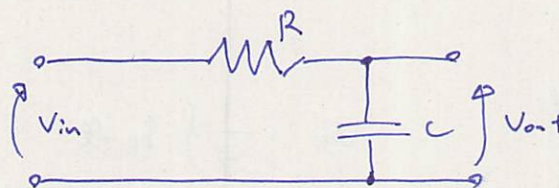
⇒ 結局



測定結果より $A = 70$ である T_f の??
($A = 70 \Rightarrow T_f$)

いや、これが T_f なんですか?

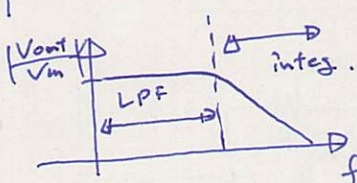
単回路の時定数をすれば なぜこの??



$$V_{out} = \frac{(j\omega C)^{-1}}{1 + (j\omega C)^{-1}} V_{in} = \frac{1}{1 + j\omega CR} V_{in}$$

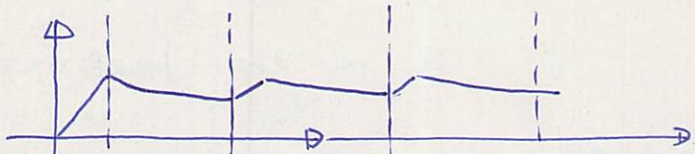
$$\frac{|V_{out}|}{|V_{in}|} = \frac{1}{1 + j\omega CR} = \frac{1}{1 + j2\pi \cdot (\frac{1}{T_{RC}})^{-1}}$$

$$\left\{ \begin{array}{l} t \gg T_{RC} \text{ のとき}, \frac{V_{out}}{V_{in}} \Rightarrow 1 \rightarrow 1.0k \text{ (LPF)} \\ t \ll T_{RC} \text{ のとき}, \frac{V_{out}}{V_{in}} \rightarrow \frac{1}{j\omega} \approx \frac{1}{CR} \end{array} \right.$$



$$\sim \frac{1}{CR} \int dt \rightarrow \text{積分。}$$

$$T_{RC} \gg T_{rep} \text{ です。}$$



$$T_{RC} = 1ms \rightarrow f_{RC} = 1000Hz$$

⇒ LPF動作

動作が??

e.g.) 5ms で 1ms

結果

$f_p = \pi / T = 70$ を満足する。

$$1m\Omega, 10nF \text{ のコンビ。} \rightarrow 10mA \text{ 流れる} \rightarrow 3V \text{ 近い値が} \sim 1.2V$$

$$10nF \cdot R = 10ms$$

$$R = \frac{10 \times 10^{-3}}{10 \times 10^{-9}} = 10^6 = 1m\Omega$$

② ビーム電流の測定回路について

測定回路の A/D 変換部

- I²C センサ + ADC の組合せが候補。高達性と自己監査機能。

- AD7991 (1μs 变換)

化、数100 pps \rightarrow 3μs ...

- I²C センサは ~~PLL~~ 2-1Hz で 5MHz 程度。
から

3μs ピルスの分解はあれば ...

\Rightarrow 好程度、直流電流変換が必要?

jwcf

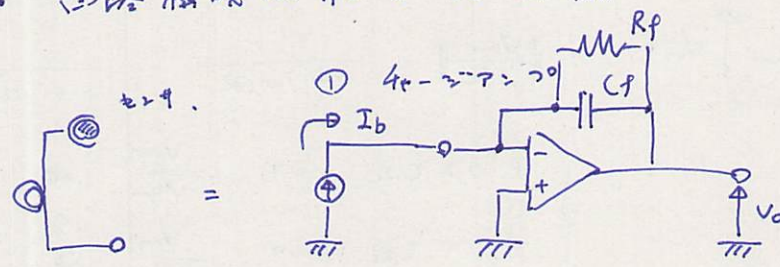
. 4π-2π-70° (電荷-電圧変換回路) (90°位相) Rf

. 高トランジスタ-60°-70° (電流-電圧変換回路) (同相) Rf

. 混合回路 (電圧入力回路、56°6?)

やるべし、トランジスタ-60°-70° \rightarrow 混合回路、?

・ 回路構成は極端変化



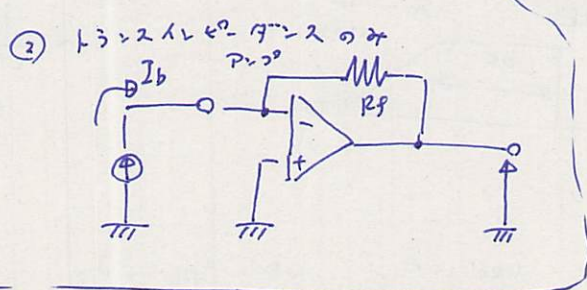
$$V_0 = \frac{1}{C_f} \int I_b dt$$

$$10\text{nA} L = 3\text{s},$$

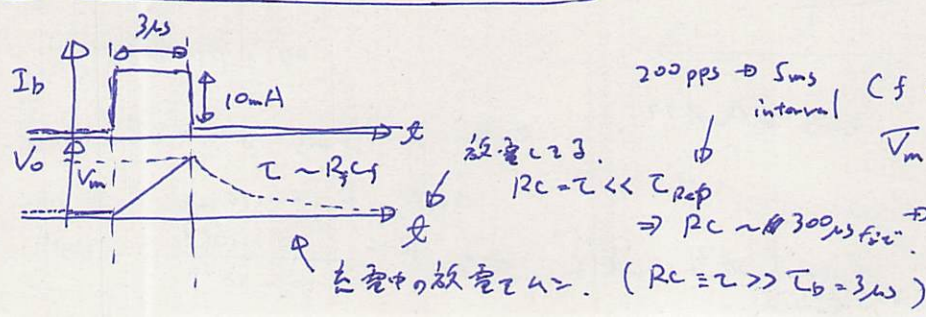
$$3\mu\text{s} \cdot \frac{100\text{nA}}{\text{s}} = 900 \frac{\text{nC}}{\text{s}}$$

$$C_f = 1\text{fF} \text{ が良さ}.$$

$$V_0 = \dots 10^6 \text{ V?}$$



\rightarrow 破壊(?)
 $V \sim 5\text{V} \text{ が良さ}.$
 $Q \sim 3\mu\text{s} \cdot 10\text{mA} L = 3\text{s}.$



$$200 \text{ pps} \rightarrow 5\text{ms} \text{ interval } C_f = 1\text{fF}, Q \sim 3\mu\text{s} \cdot 10\text{mA} \sim 30\text{nC}$$

$$V_m \sim \frac{Q}{C_f} = \frac{30 \times 10^{-9}}{10^{-6}} = 30 \times 10^{-3} = 30 \text{ mV}$$

$$\Rightarrow R_C \sim 300 \mu\text{s} f_{osc} \rightarrow 10\text{mA} \sim 3\text{V} \sim 33 \text{ mV}, C_f \sim 10\text{fF}$$

$$(R_C \gg T_b = 3\mu\text{s})$$

10fF.

* BPM. \rightarrow 定義? (簡便)

* $e^- - a \text{ 負イオン} \rightarrow e^- + e^- -$
 $\rightarrow r \text{ 線}.$ (実在) \rightarrow 13.6eV 子電子線.
 $= R_n \text{ の散乱}.$

* BPM.
 $\rightarrow l_{\text{rad}} l_m \rightarrow l_m.$ (

\rightarrow

$e^- - a \text{ 電流} \rightarrow 1.0 \text{ nA}?$

- 判定基準
- 遠近.
-

1 = 陽子 (今は電子を扱う)
2 = 軽元素 (

④ 送利 $e^- - a = g$, 反応断面積の比較.

. Born 近似? を適用してみる...

① $PwBA$ (平面波 Born 近似)

$$E_1^{\text{peak}} = \frac{m_1}{m} I_2$$

• a -ゲット元素の軌道エネルギー。
 $\left\{ \begin{array}{l} \text{水素 } 13.6 \text{ eV} \\ \text{フッ素 } 14 \text{ eV?} \end{array} \right.$

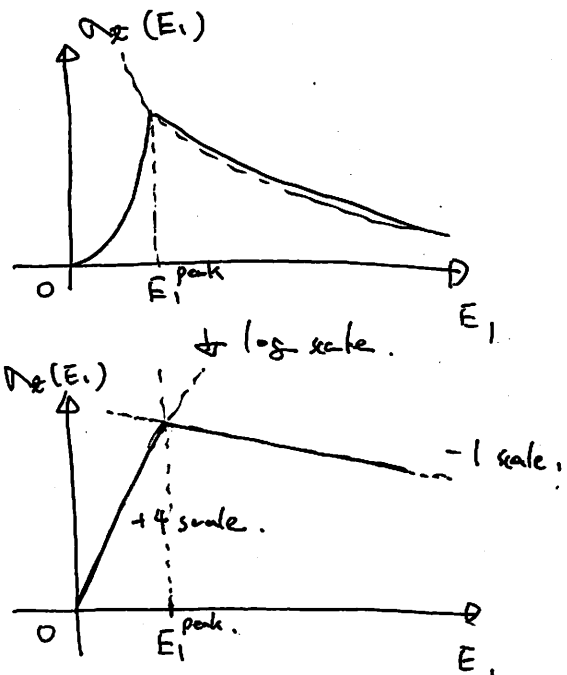
$$\Rightarrow m_1 = m_e = m \text{ の仮定}.$$

$$E_1^{\text{peak}} = I_2$$

\Rightarrow 軌道電子の束は「エネルギー」 = 同等のエネルギー

= 「質量」 (m_1, m_2) , 一番反応断面積が大きい。
(直感的)

$$E_1^{\text{peak}} \sim 14 \text{ eV}$$



* 10/24 (日) 予定表. "TE の資料会議" と "pdf フィルの会議" と "追加資料記載".

* TE の 3枚 (2枚) (1h)

* pdf フィルの作成. (3h)

* 追加資料 3枚 (1h)

{
- 1
- Team
- Boss.

* 23時までの作成.

→ 勘定料の、有利用!! (最小コスト, 重要なのは ~~顧客満足度~~)

+ レンズ.

→ 全体 19ページ.

→ 10min (4~5). 20min 会議.

. TAT は? → 予定?

. 電子化への理解の重要性. (電子化への理解が最も重要な要素)

* 固定の複数製造の取扱.

* 高効率製造ターゲットをつくる.

* 精度の重要性.

* おもてなしと比較.

* 芸術文化

* 白金時代

* ~~スケジュール~~ 1月 - 2月 - 3月 - 4月 - 5月

* まとめ / discussion.

- ・金庫収入との場合.

→ Ra 収入との場所と出入りを確認.

Nature 堆積物
Ra
1周??.

- ・ Ra-Be → Ra (大気と何?)

→ $Z = 2 e^{\theta} - 4 \text{ } 12 + 8.6^{\circ}$, Ra 17~18%.

- ・ NFO ($1.5 m \text{ LUT} \sim 8.412^{\circ} Z = 2 e^{\theta} - 4 \text{ } 8$)

→ $e^{\theta} 12 \text{ H } 2m \quad 1.2 \text{ km}$.

(+32. 重量は ~~無~~ 問題なし)

- ・ 鶴崎 → アイリ-7°~~斜面~~ 協会.

122

- ・ 九州大学. 12 例分清.

- ・ 人形山系. → 3事...

- ・ 譲渡 - 2型.

→ 直立管 (類似の1-2型)

→ ~~直立~~ ~~傾斜~~
復復管子. (底充填) → 高窓 (蓋用)

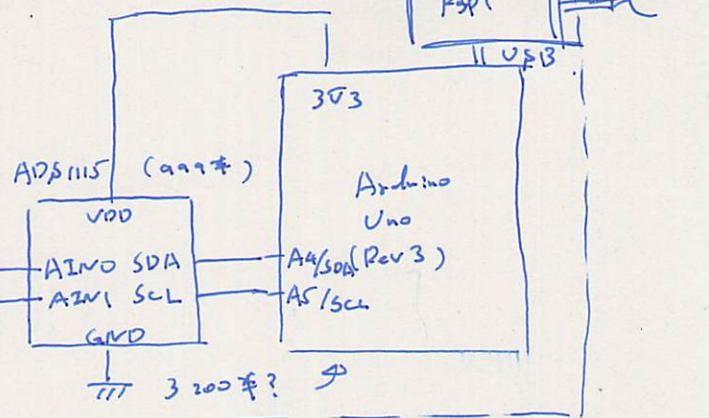
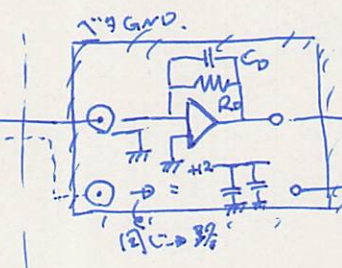
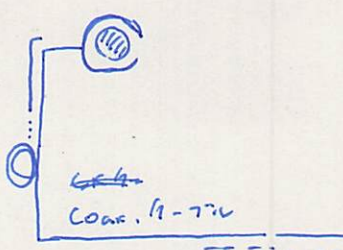
→ 大判大側の要望の2型.

→ 管子の形?

- ・ RL管が2種.

- ・ 山人(種)

④ 取り込み音波... 標算予算の算定



オペアンプ抽出.

• OPA 1618 (220MHz) 5dollar?

• ADA 4666-2 (520MHz) BP:2
↳ SR. 2V/us 2V.

3μs → 300 kHz

* 2 算定.

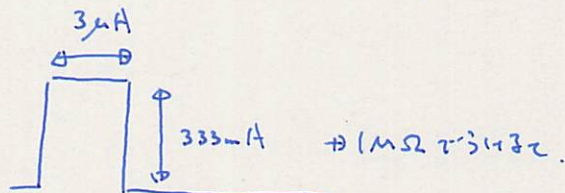
. 低速 (100Hz 電流).

. 高速. (100Hz 電流 2V)

300mA

$$3\mu s \times 200 \text{ pps} = 6 \times 10^{-4}$$

$$200 \mu A \rightarrow 333 mA$$



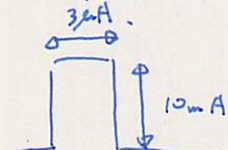
→ 4x ...

12 . 10kΩ で 2V

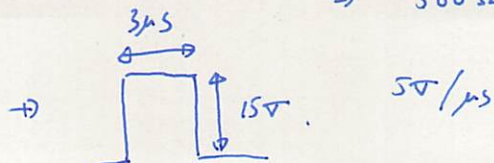
$$333 \times 10^{-3} \times 10 \times 10^3 = 3.33 kV$$

3. 200 μA 整流. 5~8 μA

→ 1/40 分割.



⇒ 500Ω で 2V 計算.



→ 5V / μs

★ 製造效率

$$0.017 \quad [\mu\text{G} / (\text{mg} \cdot \mu\text{A} \cdot \text{h})]$$

→ 20 倍製造效率嗎。

$$\Rightarrow 1.7 \times 10^{-5} \quad [B_g(\text{Ac}) / (B_g(\text{Ra}) - \mu\text{A} \cdot \text{h})]$$

$$(1.7 \times 10^{-5} \quad [MB_g(\text{Ac}) / (MB_g(\text{Ra}) \mu\text{A} \cdot \text{h})])$$

$$\boxed{1.7 \times 10^{-5} \quad [B_g(\text{Ac}) / B_g(\text{Ra}) \mu\text{A} \cdot \text{h}]}$$

最重要

e.g. 1) $200 \text{ mB}_g \text{ o Ra}, 50 \text{ h}, 200 \mu\text{A} \text{ v.}$

$$P_{\text{Ac}} = 1.7 \times 10^{-5} \times \underbrace{200 + 50 + 200}_{2 \times 10^6}$$

$$= 3.4 \quad MB_g \quad \Rightarrow \quad \underline{\underline{3.4 MB_g}}$$

e.g. 2) $3.7 \text{ GB}_g \text{ o Ra}, 144 \text{ h}, 200 \mu\text{A} \text{ v.}$

$$P_{\text{Ac}} = 1.7 \times 10^{-5} \times \frac{3.7 + 144 + 200}{1.08 \times 10^5}$$

$$= 1.8 \quad GB_g \quad \Rightarrow \quad \underline{\underline{1.8 GB_g}}$$

e.g. 3) $10 \text{ mB}_g \text{ Ra}, 50 \text{ h}, 200 \mu\text{A} \text{ v.}$

$$P_{\text{Ac}} = 1.7 \times 10^{-5} \times \frac{10 + 50 + 200}{10^5}$$

$$\Rightarrow 1.7 \quad MB_g$$

$$(1.7 \quad [MB_g(\text{Ac}) / (10 \text{ mB}_g \cdot 50 \text{ h} \cdot 200 \mu\text{A})])$$

$$\boxed{1.7 + \left(\frac{\text{Ar}_a}{10 \text{ mB}_g} \right) + \left(\frac{T_{beam}}{50 \text{ h}} \right) + \left(\frac{I_{beam}}{200 \mu\text{A}} \right) MB_g}$$

"8. " つみせき. 6.2.2.7. 白金エレメ. 力-1-7-2-7-3の生成"
→高知幹事連絡

To Do

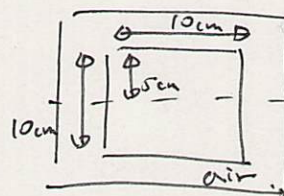
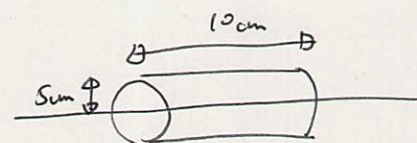
- ~~2.2.6.1~~ - ~~記載~~ - ~~報告書作成~~
- ~~1.7.8.-7~~ - ~~返信. 工程の開示. (内層)~~
- ~~6.2.2.7 - 原理計算 - 体積構算工宣言~~
- 特許 - ~~特許出願 + ユーティリティ~~
 ↓ ~~技術資料~~

{
方針
設定. (スケジュール)

- 白金エレメ - コンセ-7行工. 計算
 - 回路構成. - 引出線と物化.
 - 原形系と直通経路. 計算
 - 実寸元数 計算

- 力-1-7-2-7-3の - 構造面 部位. (回転化)
 - 例1S-7
 - JT
- PCの重箱, - Windor 10 72H2 { 2.7-1
↓ ~~確認~~

- 力-2.2.7. 計算. 空氣平衡と体積工計算.



- W値の算出. おまけ. なし

$$\frac{B_{\text{g}}[\text{Ra}]}{\text{mg}} = 10^{-3} \times 37 \times 10^9$$

- 制造条件.

$$+ B_{\text{g}}[\text{Ac}] / (B_{\text{g}}[\text{Ra}] \mu\text{A h})$$

$$\Rightarrow 1.7 \times 10^{-5}$$

$$\therefore 200 \mu\text{A}, 80 \text{ hr}, 200 \text{ MBg-80}'$$

$$2 \times 10^6 \sim 34 \text{ MBg}$$

四 粒子数 [規格化] (1.0m入当率) (s 周波 etc.) を前記
重り、270粒子数と密度用意。

270粒子 10^7 個

$200\mu A$ は 何 粒子 / s ??

$$N_e = I_e / ge$$

$$= 1.248 \times 10^{15} [\text{個}/\text{s}]$$

∴ 回答: $\frac{(1.2501 - 1.248) \times 10^{15}}{1.248 \times 10^{15}} = 0.13\%$

0.13% 程度は 全然いぢや。

増加 (?)

\Rightarrow 270粒子 ± 1%. なん?

\Rightarrow 特性で \rightarrow ?.

- {
• 電流.
• ネルギー
• 厚さ
• 材質,

11/11 (火) 13:31 -

"エネルギーをかけた際の電子運動" .

- {
• ランダム位の調査.
• 位から際の運動変化について. \rightarrow テスト.

何のようになつた?

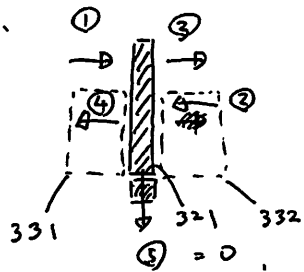
・ 何許り?
• $\left. \begin{cases} \text{角} \\ \text{人} \end{cases} \right.$

• 白金電極
- {エネルギーをかけた際. \rightarrow その変化了... $\rightarrow 10^{-3}$ の量}.
• ポリマー.
- {エネルギーをかけた際. \rightarrow その変化了... $\rightarrow 10^{-5}$ の量}.
• A^{222} .
• A^{222} .

* 電極部の信号（面積分）の問題は解決。

⇒ 即ち出力信号 = 1/4 電子の量は、算出可能。

今の場合、



$$\begin{aligned} & \text{② - ①} \\ & = 1.2767 - 1.2501 \\ & = 0.0266 \times 10^{-12} \text{ [個]} \\ & \approx 0.013\% \end{aligned}$$

整理する。

① 白金へ入射した電子 ()

$$F_1 = 1.2501 \times 10^{15} \text{ [個]} = F_0$$

② 白金へ吸収した電子。

$$F_2 = 1.6230 \times 10^{11} \text{ [個]}$$

$$F_2 / F_0 = \frac{1.6230 \times 10^{11}}{1.2501 \times 10^{15}} = 1.29 \times 10^{-4} \approx 0.013\%$$

⇒ ほぼ無視できる。

③ 白金が、漏れ、放出した電子。

$$F_3 = 1.2767 \times 10^{15} \text{ [個]}$$

$$F_3 - F_1 = 0.0266 \times 10^{15} \text{ [個]}.$$

$$\approx 2.66 \times 10^{13} \text{ [個]}. \quad 5.6 \mu\text{A}, 12.$$

$$\begin{aligned} (F_3 - F_1) / F_1 &= 2.127 \times 10^{-2} \\ &= 2.13\% \end{aligned}$$

十分大きいエラーが測定結果

場合の 1/12 ...

全面偏差の計算

④ 白金前面の即ち出力信号。

$$F_4 = 8.4169 \times 10^{12}$$

$$F_4 / F_0 = \frac{8.4169 \times 10^{12}}{1.2501 \times 10^{15}} = 0.00678$$

$$\approx 0.67\%$$

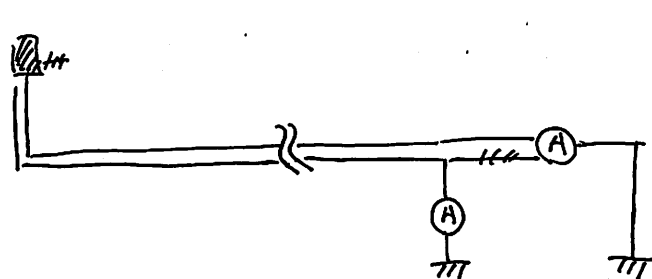
⇒ $\epsilon = \epsilon = \eta$...

合計の収支 ≈ 12 .

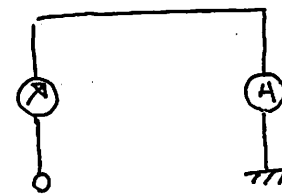
$$\begin{aligned} N &= \frac{F_3 + F_4 - F_1}{F_1 + F_2} \approx \frac{F_3 + F_4 - F_1}{F_1} = 0.02806 \quad \therefore 2.8\% \\ &\Rightarrow 0.8 \cdot 1200 \mu\text{A} \approx 1200 \mu\text{A}, 5.6 \mu\text{A} \text{ 程度} \end{aligned}$$

• " /3 (2) 自由電流 $I = \gamma_1 - \gamma_2$, 極性を表す .

① 補償銅線を入子 .



\Rightarrow



• 考え方 / 人間源. ($I_B = \pi^2 a$)

* 放射線. ($r, n, e, abc \dots$) が. 電子-正孔対崩壊起
(Habicht)

\rightarrow GND へ上昇する .

\rightarrow GND レベルの変動 .

(他の電荷合アースの場合)

* 荷電粒子 δ^- . 運動 .

\rightarrow $n \rightarrow \infty$ 磁場生成 .

$$\frac{\partial \vec{B}}{\partial \vec{x}} = -\nabla \times \vec{E}.$$



\rightarrow 磁場 $B \sim r^3$.

• 例 . 電極形状 .

. 電極. 曲げ 内筒型 .

\rightarrow 簡単 .

$2\pi R.$

$$R = 5\text{mm} / 2$$

$$= 2.5\text{mm} .$$

C型 .



$$\Rightarrow e.g. 16\text{mm} .$$

. アルミ 内筒型 . δ^- 由げで δ^- .

δ^- 一層筒 .

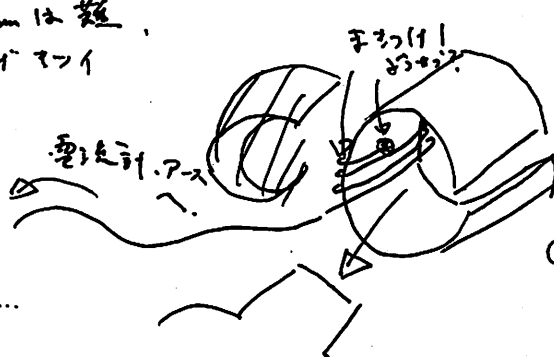
. ガラス 内筒型 . δ^- 0.1mm は薄 .

由げで δ^- .

. アルミ + アルミ + ユーランガラス .
(絶縁子 - ト)

電気石英 . P-Z .

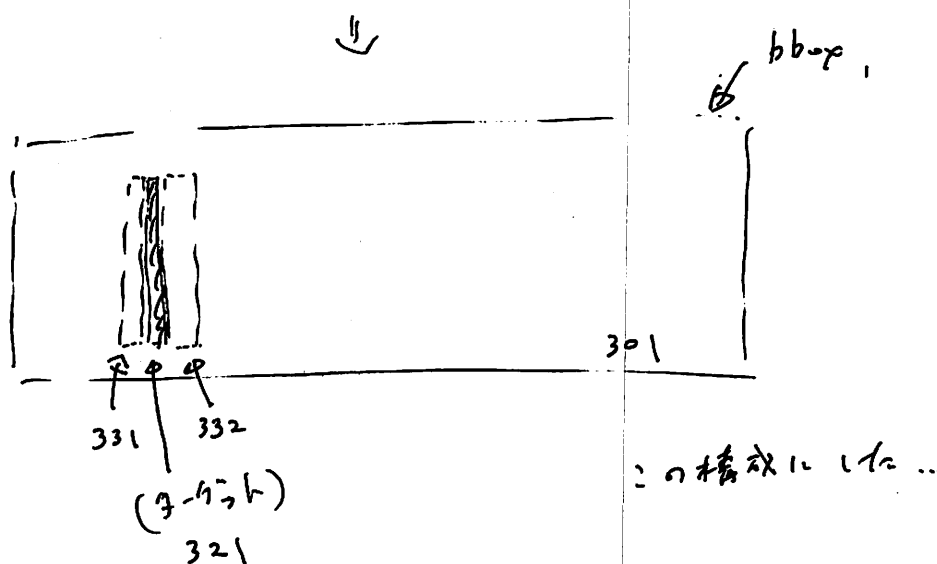
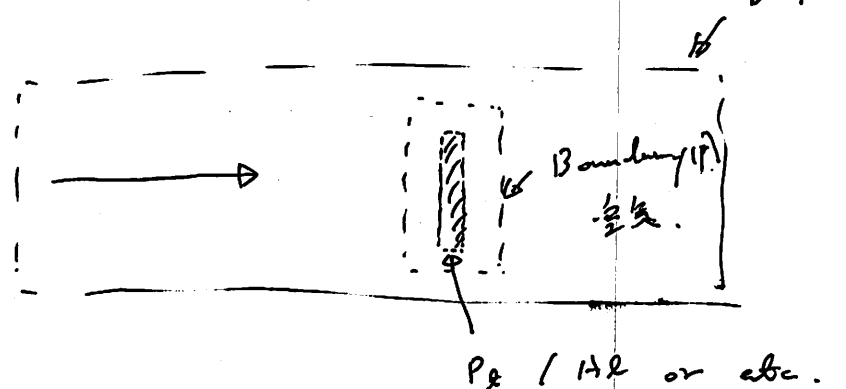
曲げ 罫 ...



C型 エレメント

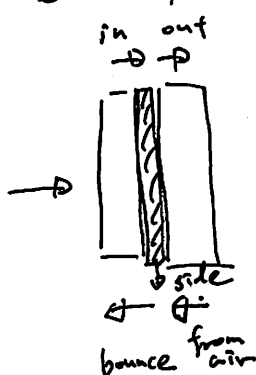
四 自由気の二次電子放出の計算について。

* シナリオ) .



の横幅は 1.12 ...

五 密度の積分を計算。



$$in = 1.2501 \times 10^{15}$$

$$out = 1.2767 \times 10^{15}$$

$$bounce = 1.$$

$$from\ air = 1.623 \times 10^{11}$$

Fully - cross or area of
bbox ...

→ 1.5 × 1.12 . 1.0 —
面積 × 密度 × 1.0 で
6.27 ..

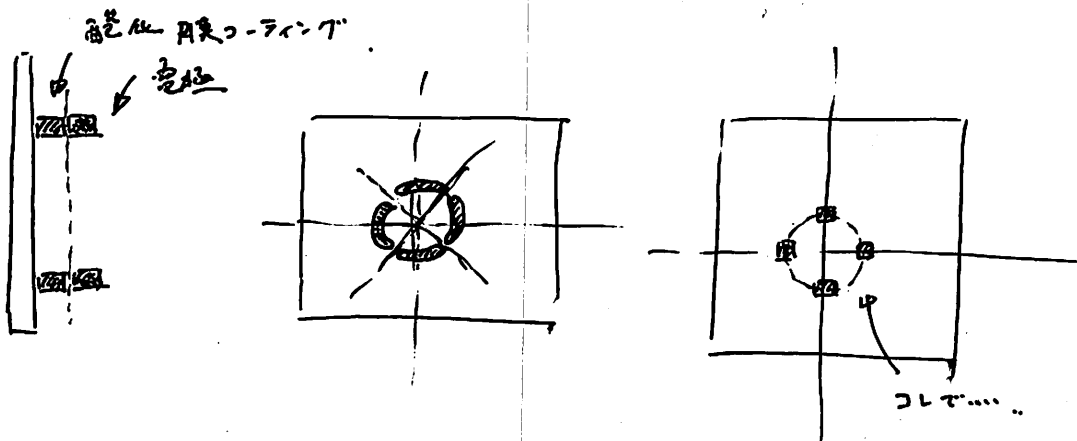
→ 2385 , 1.0 で割る

1.2767 × 1.5 × 1.12 で直す

計算可能か??

→ 同じ!!.

② ハズラツイ 装面 1:

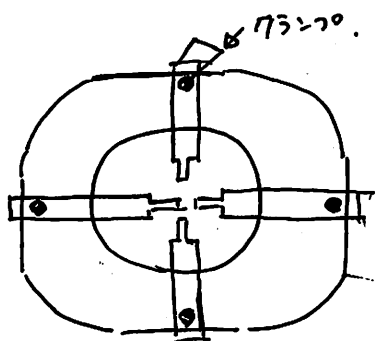


酸化膜は、もはや...
コレで良....

→ 接着方法の検討が必須。

耐久強度性の接着材で....

or.

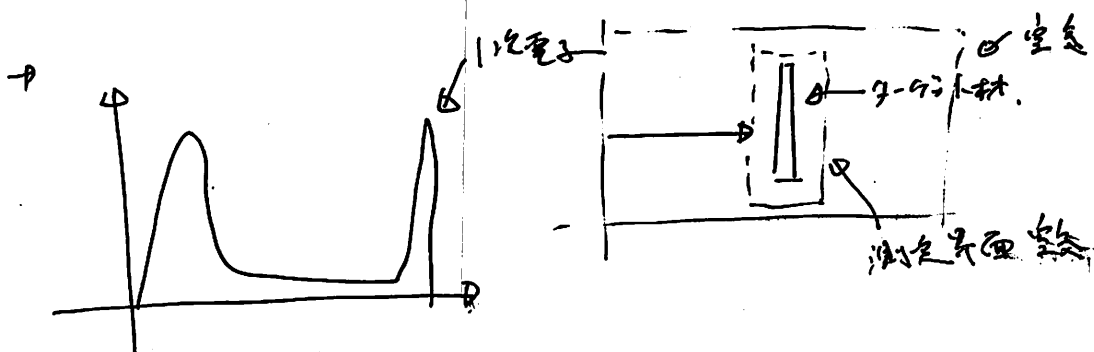


→ 仕様合あが 立柱面例....

③ 電流の回路....
(= 2点定め電流の回路) 回路の考慮が大事。

→ 電流は2点で流れることを考慮する。

→ 交流電流をや。 回路の式は合....



四 基本回路の「 Δ - $T \rightarrow T$ 」

12 直線 1A 3kV $v=ok$

$\phi 540 \text{ mm}$, $\phi 544 \text{ mm}$, $\phi (860 \times 2)$, $\phi (808 \times 2)$
 $\phi 1720 \text{ mm}$, $\phi 1616$

⑥ $\Delta \rightarrow T$.

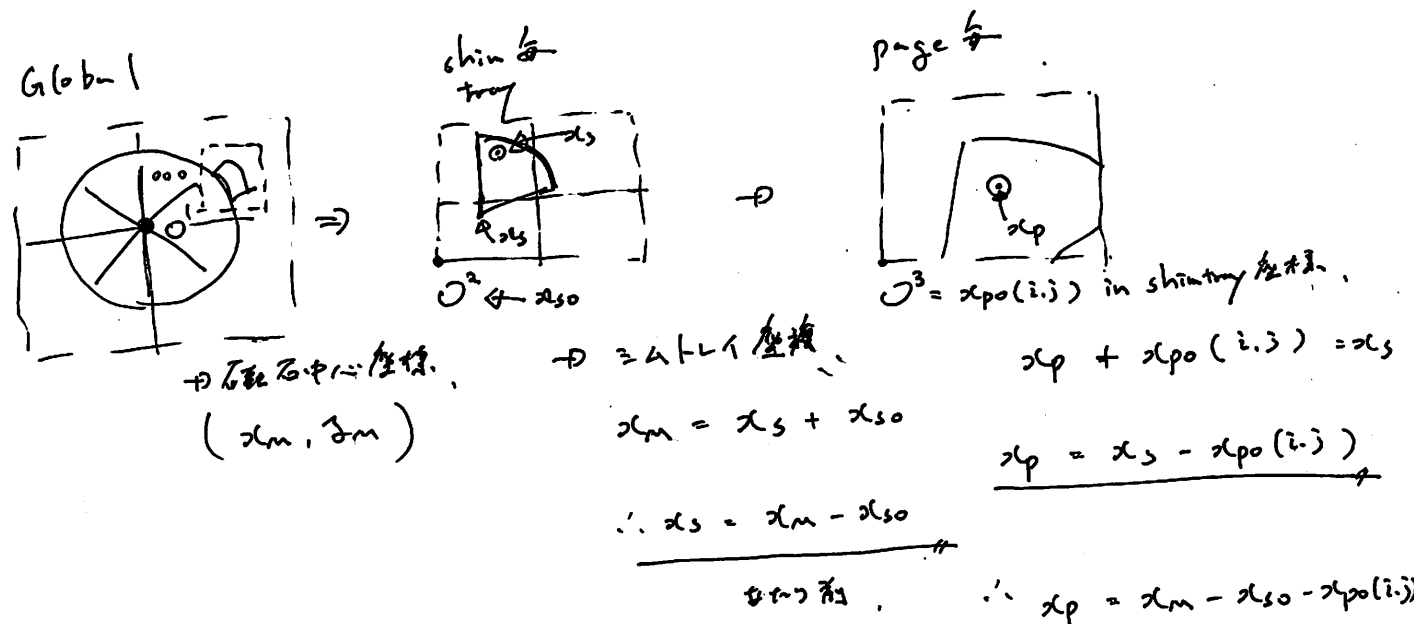
四 分割して、各々の Δ - T の A_3 を算出し、合計。

解法

\Rightarrow 各種寸法、polg 生成式、分割は 簡便。手書き

\Rightarrow 一枚毎に格子領域で、座標値を計算すればいい。

→ 2). 座標値 (i,j) 12 箇の問題を決める。



x_m の座標値を全部知る。 $\therefore x_m$

\Rightarrow ハートレーの BB を計算。 $\therefore x_{so} \rightarrow$ 分割考慮、補正. \rightarrow 23. 65

\Rightarrow 分割は 自動化計算。 $x_{po}(i,j)$

\Rightarrow ポーラー系の格子問題を解く。

23. 17. 7-43.

7-43 時間の調整.

~~→ 大洋 (付録)、Joule 効率~~

\Rightarrow 被電荷ポーラーへ 電力を分配する。

② 位相速度 - 例

$$\alpha \approx \frac{z_1^2 / E_1^4}{z_2^{12}} \frac{z_1^2 E_1^4}{z_2^{12}}$$

$$z_1 ?? \rightarrow z_1 = 1 \sim 12(?)$$

$$z_2 \rightarrow N_2 \rightarrow z_2 = 1$$

$$E_1 = E_1^{\text{peak}}$$

$$\begin{aligned} \alpha (E_1 = E_1^{\text{peak}}) &= \frac{z_1^2}{z_2^{12}} E_1^4 = \frac{z_1^2}{z_2^{12}} (E_1^{\text{peak}})^4 \\ &\sim \frac{1^2}{17^{12}} \cdot (14)^4 \sim \frac{1}{17^8} \cdot 2^4 \sim \frac{16}{5764801} \times (1.6 \times 10^{-19})^4 \\ &\sim 2.77 \end{aligned}$$

③ " / , • PDF の 1 次元 π_{π} は π_{π} の π_{π} 。

• $f_{\pi\pi} = g$ が成り立つ π_{π} の π_{π} 。

• $Dx \rightarrow \text{pdf} \pi_{\pi}$ の π_{π} は直線。 $\text{pdf} \pi_{\pi}$ の π_{π} は π_{π} の π_{π} 。

\Rightarrow 全体の π_{π} report(-b) の π_{π} 。

\Rightarrow 座標、 π_{π} の "人を 抽出" の π_{π} 。

• 座標点と基本回路 \rightarrow 12-7-20. (ok)

基本の 13 点と 4 本の直線。
④ 4 本の直線と 4 本の回路
 \rightarrow command.list
 $\pi_{\pi} = 1-6-1-10$.

↓

reportlab の 基本の直線と回路 (exemplified).

(ok)

\rightarrow { draw_line.py
draw_circle.py
draw_etc.py ... etc.

• 13 点と 4 本の直線の π_{π} 。

↓

• 7-9-11-13 (全体) の π_{π} 。

↓

• 1-4-7-9-13-10-11-12-13-14.

\rightarrow 組み上げ作業 指定範囲、2-3-5-7-9
(直線 + 曲線 + リンク + など)

① $T_{\text{in}} - T_{\text{out}}$ の ΔT は?

→ 前回 $\approx 12^\circ$?

→ 現在 $\approx 10^\circ$ 位

② 60% 未?

→ $T_{\text{in}} - T_{\text{out}}$ の程度、 $1\text{mm} / 16\%$ 程度。

2. $7 - 2.8\text{mm}$ 等??.

→

→ 1mm

③ 気の量、
→ フラップの改造
→ ガス、

④ 連搬、

10cm - 90m Gy/h .

1m Gy

⑤ コンベント - 錐台支柱

⑥ 酸 → 金属の腐食

⑦ $T_{\text{in}} - T_{\text{out}}$ (水温)

型番、レギュ

HANE

1m 進歩

⑧ $E_{\text{in}} - E_{\text{out}}$ は?

→

⑨ 一部取除

⑩ 直接水流、管

→ 全体直通

$\left. \begin{array}{l} P(x) \\ Q(x) \end{array} \right\} Q(x)$

$d\delta^3 dE$

② 1-1 GSA. 7-3-4, 1. 881-3,

- TBR > 1
- $\mu = 1.1 \sim 1.2$
- 原木半径 R_i

• 材料

• 輪焉 - 隊 - 70% 2-2 打立作(?)

• 反对民族主义？

→ final? .

* 3x277° 32' 2" ~~W~~

- ⑨ 10/24(火) T.O.D.O. "色々整理、 $\tau \rightarrow \tau'$ で何がどうなるか" L-4"6-9
- eDrawings の各部品の検索
 - report(レポート)の改廃 (設計の変換?) 極端線等

X 未定

$$\left\{ \begin{array}{l} : \tau' = \frac{1}{\tau} (\tau - \epsilon^{\alpha}) \\ : \text{不足} \end{array} \right. \quad \textcircled{1}$$

$$\begin{aligned} & \cdot \text{銀行} \\ & \text{自転車} \quad \text{音楽時間} \\ & \text{+} \quad \text{+} \\ & \text{+} \quad \text{+} \\ & \text{+} \quad \text{+} \end{aligned}$$

747

- 自転車の音楽
- 音楽関連 (音楽) ^③
- FU会主義
- 美術走査の資料 ^④
- 撤退の資料 ^③

- ⑩ $\tau' = \tau - \epsilon^{\alpha}$ の件。

- $\tau \rightarrow \tau'$ の解説

$$\left\{ \begin{array}{l} \eta = 1 - \frac{1}{\gamma} \frac{1}{\epsilon^{\alpha-1}} \frac{\alpha^{\alpha}-1}{\alpha-1} \\ \alpha = \exp \left[\frac{\tau_F}{P/P_F} \right] = \exp \left[\frac{\tau_F}{\tau_B} \right] \quad (\tau_B = P/P_F) \end{array} \right.$$

$$\left\{ \begin{array}{l} \cdot \tau_B \text{ と } \tau' \text{ の粒度} \\ \cdot \eta_0 = \frac{\alpha^{\alpha}-1}{\alpha-1} \text{ } \tau' \text{ の粒度} \end{array} \right.$$

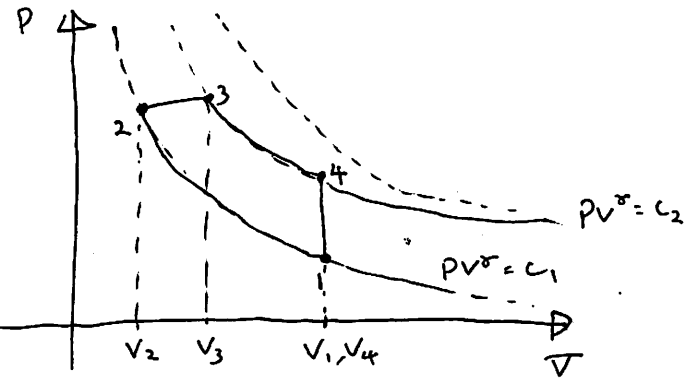
• 核融合反応.

• $\gamma^{\text{H}-\text{He}}$ の効率.

$$\eta = 1 - \frac{1}{e^{\alpha-1}} \frac{\alpha^{\alpha} - 1}{\alpha(\alpha-1)}$$

$$= 1 - \frac{1}{\alpha} \cdot \frac{1}{e^{\alpha-1}} \cdot \frac{\alpha^{\alpha} - 1}{\alpha - 1}$$

$$\alpha = \frac{V_3}{V_2} \Rightarrow \text{核融合反応が置かれる内の体積}.$$



\Rightarrow 等温线 V_1, V_2, V_3, V_4 は直線.

V_3 の等温線、 V_3 が V_3 の γ .

equilibrium $\Leftrightarrow V_3$ を大きめ.

$\Rightarrow T_3$ は何?

\rightarrow 核融合反応、熱を取引出る \rightarrow 有効な圧縮.

(γ は関係ある?)

定常関係.

$$\Delta J = P \cdot \nabla$$

$$\Delta U = \int_{t_1}^{t_2} P \cdot \nabla(t) \cdot dt$$

$$= P \int_{t_1}^{t_2} \nabla(t) \cdot dt$$

$$dU = P dV = dU = \text{const.}$$

$$P \parallel = P \frac{dV}{dt} = P \nabla(t)$$

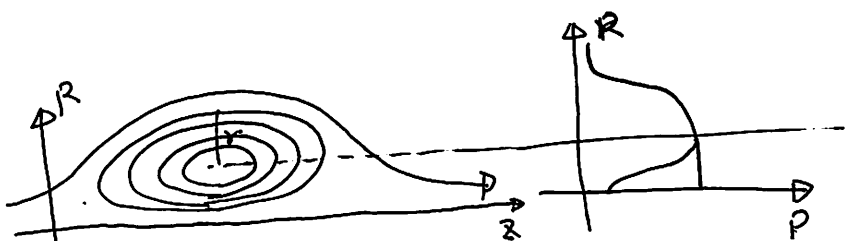
$$\frac{dU}{dt} = P_F \cdot \nabla(t)$$

$$\frac{1}{V(t)} dV = \frac{P_F}{P} dt$$

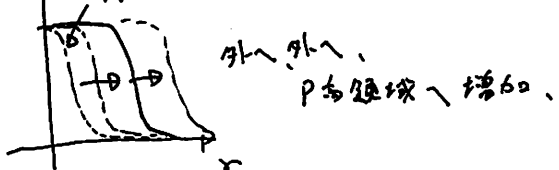
$$\ln V(t) = \frac{P_F}{P} t + C_0$$

$$V(t) = C_1 e^{\frac{P_F}{P} t}$$

* P 一定 (核融合反応可能な $P(T)$)



$\times P = \text{一定} \rightarrow \text{点大}.$



$$U = \int p dR \rightarrow \theta \text{ 増加.}$$

$$F = L \theta \propto r = r_F \delta (1 - r^{-2})$$

$$(r \rightarrow 3 \rightarrow \infty)$$

- Thyroid* 2011; 21: 335–347.
- 25) Goldsmith SJ: The real cost of theoretic risk avoidance: the need to challenge unsubstantiated concerns about (131)I therapy. *J Nucl Med* 2011; 52: 681–682.
 - 26) NRC requests input on 131I information resources. *J Nucl Med* 2016; 57: 10N–2N.
 - 27) 田畠雄紀：イギリス医療保障制度の概要. 関西大学経済・政治研究所第196回産業セミナー報告稿(2012年6月). www.kansai-u.ac.jp/Keiseiken/publication/seminar/asset/seminar12/s196_1.pdf(アクセス日 2016.2.18)
 - 28) 真野俊樹：フランス医療制度から日本への示唆：日本に近い制度を持つ国からの学び. 社団法人農協共済総合研究所研究報告. www.jkri.or.jp/PDF/2011/sogo_63_mano.pdf(アクセス日 2016.2.18)
 - 29) パンキャンジャパン・すい臓がんアクションネットワーク ホームページ. <http://www.pancan.jp/>(アクセス日 2016.2.18)
 - 30) 横浜市立大学大学院医学研究科がん総合医学 横浜市立大学附属病院臨床腫瘍科・乳腺外科ホームページ. http://www-user.yokohama-cu.ac.jp/~yoncol/aboutus/pancreatic_tumor.html(アクセス日 2016.2.18)
 - 31) 横浜市記者会見発表資料：「国家戦略特区における横浜市の取組について」. <http://www.city.yokohama.lg.jp/keizai/tokku/kokkatoc/hokengaiheijo.pdf>(アクセス日 2016.2.18)
 - 32) 木村利幸, 阪原晴海, 東 達也, 本田豊彦, 小西淳二, 細谷 亮, 他: In-111 ベンテトレオチドによるソマトスタチン受容体イメージングの臨床試験. 核医学 1996; 33: 447–452.
 - 33) 塩化ラジウム(Ra-223)注射液を用いた内用療法の治験適正使用マニュアル(第2版). <http://www.jsnm.org/rad223/15-11-16>(アクセス日 2016.2.18)
 - 34) 脾・消化管神経内分泌腫瘍(NET)診療ガイドライン作成委員会：脾・消化管神経内分泌腫瘍(NET)診療ガイドライン 1. 1版(2015年4月). http://jnets.umin.jp/pdf/guideline001_ls.pdf(アクセス日 2016.2.18)
 - 35) ふくしま国際医療科学センターホームページ. <http://www.fmu.ac.jp/fgmse/>(アクセス日 2016.2.18)
 - 36) 原子力規制委員会：原子力災害対策指針の全部改正. <https://www.nsr.go.jp/data/000024441.pdf>(アクセス日 2016.2.18)
 - 37) がん診療連携拠点病院の整備について. 第0301001号 平成20年3月1日厚生労働省健康局長通知. <http://www.mhlw.go.jp/topics/2006/02/tp0201-2.html>(アクセス日 2016.2.18)
 - 38) 厚生労働省：資料3. 基準病床数制度について. <http://www.mhlw.go.jp/stf/shingi/2r9852000000zc42-att/2r9852000000zc7d.pdf>(アクセス日 2016.2.18)
 - 39) 日本核医学学会：核医学診療施設における濃度限度等の評価に関するガイドライン. <http://www.jsnm.org/japanese/15-09-17>(アクセス日 2016.2.18)
 - 40) Grigsby PW, Siegel BA, Baker S, Eichling JO: Radiation exposure from outpatient radioactive iodine (131I) therapy for thyroid carcinoma. *JAMA* 2000; 283: 2272–2274.
 - 41) Pant GS, Sharma SK, Bal CS, Kumar R, Rath GK: Radiation dose to family members of hyperthyroidism and thyroid cancer patients treated with 131I. *Radiat Prot Dosimetry* 2006; 118: 22–27.
 - 42) Willegaignon J, Stabin MG, Guimarães MI, Malvestiti LF, Sapienza MT, Maroni M, et al: Evaluation of the potential absorbed doses from patients based on whole-body 131I clearance in thyroid cancer therapy. *Health Phys* 2006; 91: 123–127.
 - 43) de Carvalho JW, Sapienza M, Ono C, Watanabe T, Guimarães MI, Gutterres R, et al: Could the treatment of differentiated thyroid carcinoma with 3.7 and 5.55 GBq of (131)I NaI, on an outpatient basis, be safe? *Nucl Med Commun* 2009; 30: 533–541.
 - 44) Kusakabe K, Yokoyama K, Ito K, Shibuya H, Kinuya S, Ito M, et al: Thyroid remnant ablation using 1,110 MBq of 131I after total thyroidectomy: regulatory considerations on release of patients after unsealed radioiodine therapy. *Ann Nucl Med* 2012; 26: 370–378.
 - 45) 文部科学省：放射線等に関する副読本. http://www.mext.go.jp/b_menu/shuppan/sonota/detail/1311072.htm(アクセス日 2016.2.18)
 - 46) 厚生労働省社会医療診療行為別調査. 平成26年社会医療診療行為別調査の概況. <http://www.mhlw.go.jp/toukei/saikin/hw/sinryō/tyosa14/>(アクセス日 2016.2.18)
 - 47) 渋谷 洋, 杉野公則, 長浜充二, 北川 亘, 伊藤公一: 外科医からみた内用療法の意義・限界. 日本内分泌・甲状腺外科学会雑誌 2013; 30: 122–126.
 - 48) Cooper DS, Doherty GM, Haugen BR, Kloos RT, Lee SL, Mandel SJ, et al: Revised American Thyroid Association management guidelines for patients with thyroid nodules and differentiated thyroid cancer. *Thyroid* 2009; 19: 1167–1214.
 - 49) International Union Against Cancer (UICC): TNM Classification of Malignant Tumours, 7th Edition. Wiley-Blackwell, USA, 2009.
 - 50) The American Thyroid Association (ATA) Guidelines Taskforce: 2015 American Thyroid Association management guidelines for adult patients with thyroid nodules and differentiated thyroid cancer on thyroid nodules and differentiated thyroid cancer. <http://thyca.org/download/document/409/DTCguidelines.pdf#search=%272015+america+n+thyroid+association+management+guidelines+for+adult+p+atients%>(アクセス日 2016.2.18)
 - 51) O'Neill CJ, Oucharek J, Learoyd D, Sidhu SB: Standard and emerging therapies for metastatic differentiated thyroid cancer. *The Oncologist* 2010; 15: 146–156.
 - 52) Yim JH, Kim WB, Kim EY, Kim WG, Kim TY, Ryu JS, et al: The outcome of first reoperation for locoregionally recurrent/persistent papillary thyroid carcinoma in patients who initially underwent total thyroidectomy and remnant ablation. *J Clin Endocrinol Metab* 2011; 96: 2049–2056.
 - 53) Yim JH, Kim WB, Kim EY, Kim WG, Kim TY, Ryu JS, et al: Adjuvant radioactive therapy after reoperation for locoregionally recurrent papillary thyroid cancer in patients who initially underwent total thyroidectomy and high-dose remnant ablation. *J Clin Endocrinol Metab* 2011; 96: 3695–3700.
 - 54) Nixon IJ, Whitcher MM, Palmer FL, Tuttle RM, Shah AR, Shah JP, et al: The impact of distant metastases at presentation on prognosis in patients with differentiated carcinoma of the thyroid gland. *Thyroid* 2012; 22: 884–889.
 - 55) Orosco RK, Hussain T, Brumund KT, Oh DK, Chang DC, Bouvet M: Analysis of age and disease status as predictors of thyroid cancer-specific mortality using the surveillance, epidemiology, and end results database. *Thyroid* 2015; 25: 125–132.
 - 56) Mazurat A, Torroni T, Hendrickson-Rebantz J, Benning H, Nason RW, Pathak KA: The age factor in survival of a population cohort of well-differentiated thyroid cancer. *Endocr Connect* 2013; 2: 154–160.
 - 57) Machens A, Dralle H: Correlation between the number of lymph node metastases and lung metastasis in papillary thyroid cancer. *J Clin Endocrinol Metab* 2012; 97:

④ $\tau_{\lambda} - \text{e}^{-\tau_{\lambda}}$ の効率

$$\eta = 1 - \frac{1}{\gamma} \cdot \frac{1}{\varepsilon^{\gamma-1}} \cdot \frac{\gamma^\gamma - 1}{\gamma - 1}$$

(3) $\tau_{\lambda} - \text{e}^{-\tau_{\lambda}}$, $\frac{1}{\gamma} \cdot \frac{1}{\varepsilon^{\gamma-1}}$

$$[\gamma = e^{\frac{\tau_F}{\tau_0}} \Rightarrow e^{\frac{1}{(P/P_F)} \tau_F}]$$

$$f(\gamma) = \frac{\gamma^\gamma - 1}{\gamma - 1}$$

$\gamma > 1$

$$\gamma \rightarrow 0^+ . \quad \frac{V_3}{V_2} \rightarrow 0 \quad (V_3 \rightarrow 0 \text{ or } V_2 \rightarrow \infty)$$

$$\text{また}, \quad V_3 > V_2 \quad \therefore \frac{V_3}{V_2} > 1$$

$$\gamma \rightarrow \infty^+, \quad V_3 \gg V_2 \quad (\approx 1)$$

$$\lim_{\gamma \rightarrow \infty} f(\gamma) = \lim_{\gamma \rightarrow \infty} \frac{\gamma^\gamma - 1}{\gamma - 1} = \lim_{\gamma \rightarrow \infty} \frac{\gamma^{\gamma-1} - 1}{1 - \frac{1}{\gamma}}$$

$$(\gamma > 1 \leftarrow (\gamma = \frac{f+2}{f} \geq 1), \quad \gamma = 1 + \frac{2}{f}, \quad f = 1, 2, 3, \dots)$$

$f \gg 0 \quad \gamma > 1$

$$\lim_{\gamma \rightarrow \infty} f(\gamma) = \gamma^{\gamma-1} \rightarrow 0$$

$$\gamma \rightarrow 1^-, \quad \frac{V_3}{V_2} \rightarrow 1$$

$$\lim_{\gamma \rightarrow 1^-} f(\gamma) = \lim_{\gamma \rightarrow 1^-} \frac{1}{1 - \cancel{\gamma}} \cdot \frac{\gamma^\gamma - 1}{\gamma - 1} = \lim_{\gamma \rightarrow 1^-} \frac{\gamma^{\gamma-1} - 0}{1 - 0}$$

$$= \lim_{\gamma \rightarrow 1^-} \gamma \cdot \gamma^{\gamma-1} = \gamma$$

この場合、

$$\eta = 1 - \frac{1}{\varepsilon^{\gamma-1}} \quad (0 \text{th cycle})$$

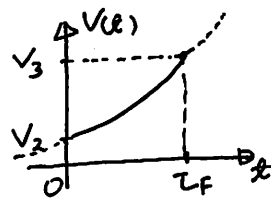
* 極端な放出力の P_F の関係。

$$\Delta V = \int_{t_1}^{t_2} P_F \cdot \nabla(t) dt = P_F \int_{t_1}^{t_2} \nabla(t) dt$$

(2) $\nabla(t)$ の

$$\left. \begin{aligned} dV &= P_F \nabla(t) dt \\ dW &= p dt = dV \end{aligned} \right\} \rightarrow p \frac{dV}{dt} = P_F \nabla(t) \quad \therefore \frac{dV}{dt} = \frac{P_F}{p} \nabla(t)$$

$$\Rightarrow \frac{1}{V} dV = \frac{P_F}{p} dt \quad \therefore \nabla(t) = C_1 e^{\frac{P_F}{p} t}$$



$$\left\{ \begin{array}{ll} t = 0 \text{ s} & V = V_2 \\ t = t_F \text{ s} & V = V_3 \end{array} \right.$$

$$\nabla(t) = V_2 e^{\frac{P_F}{p} t}$$

$$\frac{V_3}{V_2} = e^{\frac{P_F}{p} t}$$

$$\alpha = e^{\frac{P_F}{p} t}$$

-4

\Rightarrow の意味

左の P が永続時間 t_B のとき

周囲へ放電伝播。

極端な放出力 P_F がどの程度。

$$P / P_F = 4 \tau_B = 4 \times 13 \text{ s} \dots$$

$$\left. \begin{aligned} P &[J/m^3] \\ P_F &[W/m^2] = [J/s/m^3] \end{aligned} \right\} \Rightarrow \text{unit} = [s]$$

$$\Rightarrow \nabla(t) = V_2 e^{\frac{1}{\tau_B} t} \quad \alpha = e^{\frac{\tau_F}{\tau_B}}$$

$$V_3 = V_2 \cdot e^{\frac{\tau_F}{\tau_B}}$$

$$\left[\frac{V_3}{V_2} \right] = e^{\frac{\tau_F}{\tau_B}} = \alpha$$

$$\frac{\tau_F}{\tau_B} = \ln(\alpha) \Rightarrow \alpha \cdot e^{\frac{\tau_F}{\tau_B}}$$

? 何者?

$\alpha = \text{const.}$ 一定と仮定する。

??

τ_F ??

10/22 (火)

■ eDrawings の印刷に関する問題

- {
 - 印刷工程が、
 - ページ設定。

⇒ 複数枚数、(会員必要)

⇒ はい。

■ reportlab 対応、PDF 作成について

- {
 - def + pdf 対応 -> ①
 - pdf 生成要素。 ... ②

① ① 対応。 1枚の def 分割が要素、A3 ページ分割で
c=55 となる。この問題。

{

- def の生成単位。
- A3 ページ分割

{

- ezdef 例
- reportlab 例

② A3 ページ分割を対応するが、基準点が、どこかでペーパー属性に合子たり。
相似座標を指定。

⇒ 面倒なミスの温床。

原則、① + ②。が。

例えば、② めでたし PDF を作成。⇒ 画面断面平行移動。

で? ?

⇒ 画面断面外の運動、?

④ 削除がでる? ?

10/21(土)

- {
 - * 構造圖作成、70.2-ト、作成。
 - * 壓縮スケール 1:100
 ragazzi
 - * 不等式 ragazzi
- {
 - * L-476-7-17ト 作成。
 - {
 - 内割
 - U2
 - 8510-7
 - * 2種類。
- {
 - * 線量計算。

eDrawings by 印刷業者 司会

10/22(日)

- * L-476-7-17ト、~~等角~~。
 - 等角。→ paper space は A3 サイズ。corel Draw で 1:100 で作成。
可能性あります。
 - pdf 等へ直す。
 - ⇒ . model space は中央に 等角であります。
 - * pdfへの変換等々も、or pdf 直書き....
 - dxf > pdf へするには命令で何をどうか?
 - ⇒ dxf は 脳内 A3"、書いだし、四角形等の描き方
 - 27 程度"、reportlab で DL 1222、基本四角
A3 2735"。

* A3 2735"、中央の四角の例。

look before you leap.



→ reportlab で 2735"。

→ dxf は 等角、四角形等、x=50、y=50、等角 5°
2735" x 2735"

① L-H-f → 7 → ト、作成。

・ 1P 割り - 4P の作成。

+ ezdef の 分割 22-1 の 調査

→ 実装。

前回 記述 = 2.

結局、22 の 全問

{
 モデル空間 → 作成。
 印刷空間 → 変換、複数、移動、保存。

⇒ 1P の モデル が、色々
 で 22 作成 (2 分割)

② paper space の tutorial (2 つ、2 つ)。

→ ok.

③ paper space が def 保存??.

→ corel Draw は 中央の インポート (2 つ) で 33 の 文字。

→ 基本構想が不成立の 可能性あり。

→ def を 領域分割 (model を 変更) 每面への 対応が 可能。
(全 12-1-2 ~ paper space 12-2-1 ??)

④ なぜ 22?、仕事領域の表示 (レイアウトモード) は 22 で いい!!

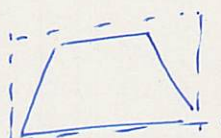
⇒ なぜ 22?、1h が 22 で ガル は 2-1-2 で いい!!

$$L =$$

$$\text{底面 } \Rightarrow L(\text{底面}) = \frac{\sqrt{3}}{H} (h-a)$$

$$L(\hat{3}) = (h-a) \cdot \frac{\sqrt{3}}{2}$$

$$3_0 = \frac{\sqrt{3}}{2} \cdot (h-a) \cdot \frac{1}{2} \cdot \hat{2}$$



bb →

丈 2. A4 (e.s.) + 17-2:

bb で 四角、領域を
指定。

⇒ 仕事 22 で 仕事 22 で 22 の L-H-f 作成 箱子

• 7-#4-9 - 4月25日記

• 一、全性別の統計表

• 二、正解率、見事率、④ 70%

• 三、スケーリング率、④ 70%

• “数量” “絶対量” “個数”

• “見事” “(回)H 順位”

• “英語” “絶対値” “個数”

- 4375–4382.
- 58) Maier TM, Schober O, Gerß J, Görlich D, Wenning C, Schaefers M, et al: Differentiated thyroid cancer patients more than 60 years old paradoxically show an increased life expectancy. *J Nucl Med* 2015; 56: 190–195.
 - 59) Verburg FA, Mader U, Tanase K, Thies ED, Diessl S, Buck AK, et al: Life expectancy is reduced in differentiated thyroid cancer patients ≥ 45 years old with extensive local tumor invasion, lateral lymph node, or distant metastases at diagnosis and normal in all other DTC patients. *J Clin Endocrinol Metab* 2013; 98: 172–180.
 - 60) Jukkola A, Bloigu R, Ebeling T, Salmela P, Blanco G: Prognostic factors in differentiated thyroid carcinomas and their implications for current staging classifications. *Endocr Relat Cancer* 2004; 11: 571–579.
 - 61) Ebihara S, Saikawa M: Survey and analysis of thyroid carcinoma by the Japanese society of thyroid surgery. *Thyroid Clin Exp* 1998; 10: 89–95.
 - 62) 北川 亘, 清水一雄, 赤須東樹, 田中茂夫: 内分泌外科シリーズ 第9報: 甲状腺癌の疫学に関する最新のデータ. *J Nippon Med Sch* 2003; 70: 57–61.
 - 63) Kamimori M, Fukumori T, Sugishita Y, Hoshi M, Shimizu K, Yamada T: Radioactive iodine (RAI) therapy for distantly metastatic differentiated thyroid cancer (DTC) in juvenile versus adult patients. *Endocr J* 2015; 62: 1067–1075.
 - 64) Ito Y, Ichihara K, Masuoka H, Fukushima M, Inoue H, Kihara M, et al: Establishment of an intraoperative staging system (iStage) by improving UICC TNM classification system for papillary thyroid carcinoma. *World J Surg* 2010; 34: 2570–2580.

Radioisotope Therapy of Japan: Future Perspective and Recommendations

Tatsuya HIGASHI,¹ Shuji IKEUCHI,² Mayuki UCHIYAMA,³ Noboru ORIUCHI,⁴
Seigo KINUYA,⁵ Makoto HOSONO,⁶

¹ Department of Molecular Imaging and Theranostics, National Institute of Radiological Sciences, National Institutes for Quantum and Radiological Science and Technology

² Japan Radioisotope Association

³ Department of Radiology, The Jikei University School of Medicine

⁴ Advanced Clinical Research Center, Fukushima Global Medical Science Center, Fukushima Medical University

⁵ Department of Nuclear Medicine, Institute of Medical, Pharmaceutical and Health Sciences Kanazawa University

⁶ Institute of Advanced Clinical Medicine, Faculty of Medicine, Kindai University

In Japan, because of the rapid increase in the number of thyroid cancer patients and the recent severe shortage of radioisotope therapy wards, the prolonged waiting time for the admission to the radioisotope therapy wards has become a social problem. This situation is against one of the main purposes of the Cancer Control Promotion Plan of our nation, which is advocating an equal accessibility of medical care for the Japanese citizens. In 2015, diet discussions about the problems of radioisotope therapy took place and the prime minister stated that the promotion of radioisotope therapy is one of the most important issues in Japan, therefore further promotion of research and development is anticipated in this field. In this article, we have summarized the problems during radioisotope therapy, and have added our recommendations in the social and medical realizable countermeasures in future, according to the deep considerations of medical economy in Japan, an assumption of disease prevalence of thyroid cancer in the future, and the situations of foreign countries.

Key words: radioisotope therapy, radioiodine, thyroid cancer, nuclear emergency medicine, healthcare system

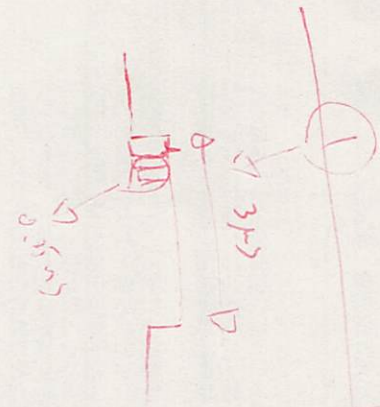
Ra /Ac 合計 $\sim 200 \text{ mBq/LT}$

* $Rn z=1$

テクニウム $\sim 2 \text{ mBq/LT}$

\rightarrow BG以下

/ Ra 許可基準



* 一般家庭用の $z=1$

* HEPA フィルタ、 \rightarrow 汚染 $\sim 10 \text{ mBq/LT}$

* 積圧維持、循環
空気量 cfm

* Ra 放出条件

* 9月半旬 $\rightarrow 1/8 \text{ h}^{-1}$

(施設検査)

\rightarrow 今許可必須

* 内部 $\sim 10^4$ - トランザクション:

* 入口 左側

第3室の GB

$0.1\%/\text{h}$

$0.012\%/\text{h}$

\rightarrow 同意圧の 1-7 年

(陰圧使用)



$0.1\%/\text{h}$ が保証

半日、N₂流し

\rightarrow GB の 仕様確認

O₂ 濃度 $\sim 11-17 \text{ mg/m^3}$

② 5cm の遮蔽

\rightarrow 防止するべし

\rightarrow 流れ ~ 36

$5 \text{ mBq}/\text{day}$

$10 \text{ mBq}/3\text{m}$

$30 \text{ mBq}/\text{保管}$

式運動 (コルト) が必要

\rightarrow
 $\left\{ \begin{array}{l} \text{1ルーム} \\ \text{換算する} \\ \text{仕様} \\ \text{面積計算} \\ \text{2ルーム} \\ \text{1ルーム} \\ \text{Ra } z=1 \end{array} \right\}$

揚羽衣 ~ 3 の方が大変

GB の行を食。(2段)

シール内張り

ドアベルの $\sim 7\text{a} \sim 9\text{g}$?

、および、前記標的位置における前記荷電粒子ビームまたは前記放射線のビーム中心からのビームの拡がりのうち、一以上を求める放射性核種製造システム。

【請求項 1 1】

荷電粒子を加速する加速器と、前記加速器により加速された荷電粒子ビーム、または、前記荷電粒子ビームにより発生させた放射線の照射によって核反応で放射性核種を生成する標的と、を備えた放射性核種製造システムを用いて放射性核種を製造する放射性核種製造方法であって、

前記放射性核種製造システムは、

前記荷電粒子ビームの進行方向における前記標的位置の後方に、前記荷電粒子ビームを検出する粒子検出器であって、前記荷電粒子ビームとの相互作用を生じる破壊型モニタを備え

、前記破壊型モニタによって測定された前記荷電粒子ビームまたは前記放射線の強度の空間的分布に基づいて、前記標的位置における前記ビームプロファイルとして、前記荷電粒子ビームまたは前記放射線の強度の空間的分布、前記荷電粒子ビームまたは前記放射線のビーム中心の位置、および、前記荷電粒子ビームまたは前記放射線のビーム中心からのビームの拡がりのうち、一以上を求める放射性核種製造方法。
五

【請求項 1 2】

請求項 1 1 に記載の放射性核種製造方法であって、

前記標的位置における前記ビームプロファイルは、前記破壊型モニタによって測定された前記荷電粒子ビームまたは前記放射線の強度の空間的分布を、前記標的位置における前記荷電粒子ビームまたは前記放射線の強度の空間的分布に写像変換することによって求められ、
?

前記破壊型モニタによって測定された測定結果と前記標的位置について求められた結果との相関関係を評価して、前記標的位置における前記ビームプロファイルを求める放射性核種製造方法。

【請求項 1 3】

請求項 1 2 に記載の放射性核種製造方法であって、

前記相関関係の評価は、前記放射性核種製造システムを模擬した計算体系を用いて数値解析を利用して行われ、
○

前記破壊型モニタによって測定された測定結果と前記数値解析によって解析された解析結果との比較、または、前記測定結果に基づく前記荷電粒子ビームの状態と、前記解析結果に基づく前記荷電粒子ビームの状態とが比較される放射性核種製造方法。

【請求項 1 4】

請求項 1 1 に記載の放射性核種製造方法であって、

求められた前記ビームプロファイルに基づいて、前記荷電粒子ビームの照射の継続、前記荷電粒子ビームの照射の停止、前記荷電粒子ビームの照射方向の調整、または、前記加速器の運転パラメータの調整が行われる放射性核種製造方法。

【請求項 1 5】

荷電粒子を加速する加速器と、前記加速器により加速された荷電粒子ビーム、または、前記荷電粒子ビームにより発生させた放射線を照射される標的と、を備えた加速器システムであって、
○

前記荷電粒子ビームの進行方向における前記標的位置の後方に、前記荷電粒子ビームを検出する粒子検出器であって、前記荷電粒子ビームとの相互作用を生じる破壊型モニタを備える加速器システム。

【書類名】要約書

【要約】

【課題】標的にに対して照射される放射線のビームプロファイルを、破壊型モニタを用いてリアルタイムで監視することが可能であり、ビームプロファイルに応じて標的にに対する適切な照射を行うことができる放射性核種製造システム、放射性核種製造方法および加速器システムを提供する。

【解決手段】荷電粒子を加速する加速器と、加速された荷電粒子ビーム、または、荷電粒子ビームにより発生させた放射線の照射によって核反応で放射性核種を生成する標的とを備えた放射性核種製造システムであって、荷電粒子ビームの進行方向における標的（T 2 0 5, T 2 0 7）の後方に、放射線を検出する検出器であって、放射線との相互作用を生じる破壊型モニタ（T 2 0 6, T 2 0 9）を備える。放射性核種製造方法は、破壊型モニタによって測定された荷電粒子ビームまたは放射線の強度の空間的分布に基づいて、標的位置におけるビームプロファイルとして、強度の空間的分布、ビーム中心の位置、および、ビームの拡がりのうち、一以上を求めるながら放射性核種を製造する。

【選択図】図 2

④ 原理

① FRC - 固定電流

(3) (別)

2-2 FRC の特性

(1) $T^{\alpha} \propto Z^{1.3} \times I$

(2) 不安定

(3) 計測

< 核融合熱出力,

⑤ 壁

⑥ 磁場強度

⑦ 核融合熱出力, (計算例)

$$W_{Fus} = N D_{He} \langle \alpha n \rangle E_{DHe}$$

$$= \frac{n_i^2}{4} \langle \alpha n \rangle E_{DHe}$$

$$E_{DHe}^3 \sim$$

$$n_i \sim 10^{22}$$

$$\langle \alpha n \rangle @ \cancel{50-100 \text{ keV}} \sim \begin{cases} 10 & \sim 10^{-24} \\ 50 & \sim 5 \times 10^{-23} \\ 100 & \sim 2 \times 10^{-22} \end{cases}$$

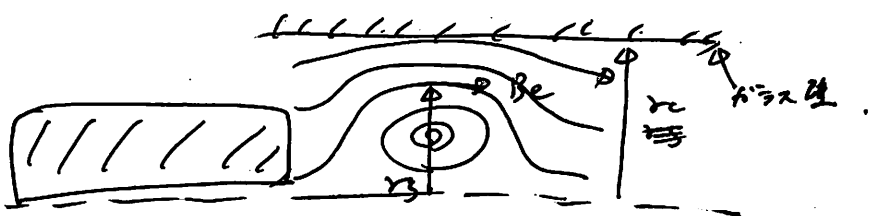
$$E_{DHe}^3 \sim 18.3 \text{ meV}$$

$$W_{Fus} = \frac{10^{44}}{4} \times \left\{ \begin{array}{l} 10^{-24} \\ 5 \times 10^{-23} \\ 2 \times 10^{-22} \end{array} + 18.3 + 1.602 \times 10^{-19} \right\}$$

$$[W/m^2]$$

• $\delta \rightarrow 2$ 磁場 B_p . 2πn 16Ω (rc) 2ΩC = Cn. 當全.

$$r_c \left\{ \begin{array}{l} \cdot \delta \rightarrow 2 \\ \cdot 2\pi n 16\Omega \end{array} \right.$$



\rightarrow 2πn 16Ω 12ΩC. 2ΩC $\Rightarrow r_c$. r_s 計算方法是怎樣.



$$\left\{ \begin{array}{l} r_{s1} \rightarrow B_{c1} \\ r_{s2} = r_c \rightarrow B_{c2} \end{array} \right.$$

$$\begin{aligned} \Rightarrow V &= \frac{N^2 \Phi^2}{L} \left[\frac{|B|^2}{2} \right] \frac{\theta_2}{\theta_1} \\ &= \frac{4\pi N^2 \Phi^2}{2\mu_0 L} \left[\frac{|B|^2}{2\mu_0} \right] \frac{\theta_2}{\theta_1} \\ &\quad (\text{忽略 } \mu_0) \\ &= \Phi_{\text{coil}} \cdot I_{\text{coil}} \left[\frac{|B|^2}{2\mu_0} \right] \frac{\theta_2}{\theta_1} \\ &= V_{\text{coil}} \cdot \left[\frac{|B|^2}{2\mu_0} \right] \frac{\theta_2}{\theta_1} \\ &= V_{\text{coil}} \frac{1}{2\mu_0} (B_{c2}^2 - B_{c1}^2) \end{aligned}$$

$$\left\{ \begin{array}{l} B_{c1} = \frac{B_{\text{vac}}}{1 - \frac{r_{s1}^2}{r_c^2}} = \frac{B_{\text{vac}}}{1 - (r_{s1}/r_c)^2} \\ B_{c2} = \frac{B_{\text{vac}}}{1 - \frac{r_{s2}^2}{r_c^2}} = \frac{B_{\text{vac}}}{1 - (r_{s2}/r_c)^2} \end{array} \right.$$

$$V = \frac{V_{\text{coil}}}{2\mu_0} B_{\text{vac}}^2 \left[\frac{1}{1 - \frac{r_{s2}^2}{r_c^2}} - \frac{1}{1 - \frac{r_{s1}^2}{r_c^2}} \right]$$

$$= \frac{B_{\text{vac}}^2}{2\mu_0} V_{\text{coil}} \left[\frac{(1 - \frac{r_{s1}^2}{r_c^2}) - (1 - \frac{r_{s2}^2}{r_c^2})}{(1 - \frac{r_{s2}^2}{r_c^2})(1 - \frac{r_{s1}^2}{r_c^2})} \right]$$

$$= \frac{B_{\text{vac}}^2}{2\mu_0} V_{\text{coil}} \left[\frac{\frac{r_{s2}^2}{r_c^2} - \frac{r_{s1}^2}{r_c^2}}{(1 - \frac{r_{s2}^2}{r_c^2})(1 - \frac{r_{s1}^2}{r_c^2})} \right]$$

$$= \frac{B_{\text{vac}}^2}{2\mu_0} V_{\text{coil}} \left[\frac{\frac{r_{s1}^2}{r_c^2} - \frac{r_{s2}^2}{r_c^2}}{(\frac{r_c^2 - r_{s1}^2}{r_c^2})(\frac{r_c^2 - r_{s2}^2}{r_c^2})} \right]$$

$$\frac{B_{c1}^2 - B_{c2}^2}{r_c^2 \phi_p^2} \left(\frac{1}{r_{s1}^6} - \frac{1}{r_{s2}^6} \right)$$

$$= r_c^2 \phi_p^2 \cdot \frac{1}{r_{s2}^6} \left[\left(\frac{r_{s2}}{r_{s1}} \right)^6 - 1 \right]$$

$$\frac{1}{r_s^2} = \frac{r_c}{r_s} B_p \quad B_p = \frac{r_c}{r_s^3} \phi_p$$

r_c, ϕ_p 是 Ψ 的 θ 方向的 B 场.

④ 9/2a(金) 14:15, "CAD 1つ製作"

- 前回形状の書きし. ✓
 - 円 12mm ✓
 - CAD (DXF) の 1つ作成. ✓
 - 金型書き.
 - 出力 (A3)
 - 部品書き. (ミルキーメタル)
19-3x3=19mm
-

• 1つ製作、名頭.

- 各三部類 - 次に違う名頭.
→ 扇 - 1~8の名頭.

④ क्रियात्मक : दूरी - समय के अनुपात में वृत्ति

$$\eta = 1 - \frac{1}{\epsilon^{n-1}} \cdot \frac{\alpha^n - 1}{\alpha - 1}$$

$$\Rightarrow 1 - \frac{1}{\epsilon^{n-1}} \cdot \frac{\alpha^n - 1}{\alpha(\alpha - 1)}$$

$$v = m c T_1 [2(\alpha - 1) \epsilon^{n-1} - (\alpha^n - 1)]$$

$$(m = \frac{P_1 V_1}{R T_1})$$

लेह

$$\eta = 1 - \frac{1}{\epsilon^{n-1}} \cdot \frac{\alpha^n - 1}{\alpha(\alpha - 1)}$$

$$= 1 - \frac{1}{\alpha} \cdot \frac{1}{\frac{1}{\epsilon^{n-1}} (\alpha - 1)!}$$

ग

$$= \frac{P_1 V_1}{R / cm} [2(\alpha - 1) \epsilon^{n-1} - (\alpha^n - 1)]$$

$$= \frac{P_1 V_1}{2 - 1} [\alpha(\alpha - 1) \epsilon^{n-1} - (\alpha^n - 1)]$$

$$\alpha^{n-1} \cdot \frac{\epsilon^{-n} - \alpha^{-n}}{\epsilon^{-1} - \alpha^{-1}}$$

$$P_4 = \frac{n R T_1}{V_1} = \frac{n R T_2}{V_2} \Rightarrow \alpha = \frac{V_2}{V_1} = \frac{T_2}{T_1}$$

v_2 $\frac{v_3}{\alpha \sigma}$

$P \sigma \tau = \sigma \tau$

$$\alpha = 1 + \frac{\Delta V}{V_2}$$

$$\alpha - 1 = \frac{1}{P V_2} \sigma \tau$$

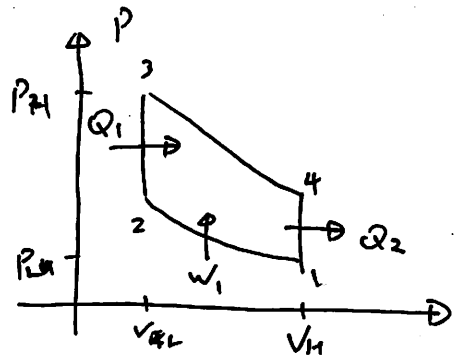
$$\alpha = \frac{1}{P_2 V_2} P_{\text{ext}} \cdot V \cdot \tau$$

$$\eta = \frac{1}{n-1} [2(\alpha - 1)$$

$$\eta = 1 - \frac{\alpha^n - 1}{\epsilon^{n-1} (\alpha - 1)} = 1 - \frac{1}{\alpha} \cdot \frac{\alpha^n - 1}{\epsilon^{-1} \cdot \alpha - 1} = 1 - \frac{1}{\alpha} \frac{1}{\epsilon^{-1}} \frac{\alpha^n - 1}{\epsilon^{-1}}$$

$$\alpha = \frac{V_2}{V_1}$$

• plum. 热效率 $\eta > \gamma$.



$$\cancel{\eta} = \eta = 1 - \frac{1}{\varepsilon^{\gamma-1}}$$

$$w =$$

$$\varepsilon = \frac{V_1}{V_2} \approx 2$$

$$\eta = 1 - \frac{1}{2} = 0.5 \Rightarrow 50\% \text{ eff.}$$

• 理想气体 - 热效率,

• 7032-2 会议上的讨论 - .

→ (理论热效率) \times (会议热效率)

• 压缩机的理论效率 - 热效率, $\rightarrow dQ_{in} = dQ_{out}$.

→ 断然压缩器的温度, 温度 $\sim ?$. (dQ_{in} / dQ_{out})

→ 压缩机 - 热效率 $\sim ?$. (理想 - 实际, 理想热效率 $\eta_{ideal} = \frac{1}{\varepsilon^{\gamma-1}-1}$)

($\varepsilon = 1.4$, $\eta_{ideal} = 0.5$)

• 计算.

$$\delta w = m c_m T_1 (\gamma - 1) (\varepsilon^{\gamma-1} - 1)$$

$$= \frac{P_1 V_1}{R T_1} \ln \frac{T_1}{T_2} (\gamma - 1) (\varepsilon^{\gamma-1} - 1)$$

$$= \frac{P_1 V_1}{(c_p - c_n)/c_m} \quad P V^\gamma = \text{const.}$$

$$= \frac{P_1 V_1}{c_p/c_m - 1} (\gamma - 1) (\varepsilon^{\gamma-1} - 1) \quad P_1 V_1^\gamma = P_2 V_2^\gamma$$

$$= \frac{P_1 V_1}{\gamma - 1} (\gamma - 1) (\varepsilon^{\gamma-1} - 1)$$

expression for the bremsstrahlung cross section differential in photon emission angle and energy

$$\frac{d\sigma(k, x)}{dk dx} = \frac{4Z^2}{137} r_0^2 k^2 \frac{dk}{x dx} \left\{ \frac{16x^2 E}{(x^2 + 1)^4} - \frac{(E_0 + E)^2}{(x^2 + 1)^2 E_0^2} + \right. \\ \left. \frac{E_0^2 + E^2}{(x^2 + 1)^2 E_0^2} - \frac{4x^2 E}{(x^2 + 1)^4 E_0} \right\} \ln M(x) , \quad (36)$$

where

$$\frac{1}{M(x)} = \left(\frac{uk}{2E_0 E} \right)^2 + \left(\frac{z^{1/3}}{111(x^2 + 1)} \right)^2 \quad (36a)$$

and

$$x = E_0 \theta / u \quad (\text{電子の静止エネルギー}) \\ (\text{初期運動エネルギー} - (\text{電子})) \quad (36b)$$

In Eqs. (36), E_0 is the initial total electron energy, E is the final total electron energy, $k (= E_0 - E)$ is the energy of the radiated photon, Z is the atomic number of the target element, r_0 is the classical electron radius, u is the rest energy of the electron, and x is the reduced angle of emission of the radiated photon which is a function of the angle θ , in radians, at which the photon is radiated with respect to the initial electron direction. The use of the atomic Thomas-Fermi model in considering the effects of screening lead to exaggerated values of $d\sigma(k, x)$, but the error introduced does not exceed 4% in the worst case when Z is large and screening is intermediate (19, 20, 46).

Thick-Target Bremsstrahlung Spectra

The arguments previously presented considered only bremsstrahlung

(the so-called tip) when the energy of the emitted photon approaches the kinetic energy of the incident electron and the velocity of the recoil electron is small compared to the speed of light. However, the use of the Born approximation formulas predict bremsstrahlung spectre which agree reasonably well with experiment (19,46).

The most important contributions to bremsstrahlung cross section formulations obtained within the framework of the Born approximation are due to Bethe and Heitler (47), Heitler (48) and Schiff (20). Bethe and Heitler obtained an expression for the bremsstrahlung cross section which is differential in electron angle and in photon angle and energy. Their expression was derived on the assumption that the field of the nucleus is a pure Coulomb field, i.e., no nuclear screening by atomic electrons was considered. Nuclear screening is an important parameter which must be taken into consideration, particularly in the case of bremsstrahlung spectra from high Z targets. Schiff integrated the Bethe-Heitler differential cross section assuming complete screening (20). The expressions he obtained apparently show the best agreement with available experimental data (19,46,50). The Schiff expressions have been widely used in the analysis of experimental results obtained with bremsstrahlung spectra from high-energy accelerators.

In his calculations, Schiff started with the Bethe-Heitler cross section and integrated it assuming that: 1) the initial and final energies of the electron are large compared to its rest energy; 2) ^{511 kev} the Coulomb field of the atom may be represented by the potential $(Ze/r)e^{-r/a}$ where $a \approx z^{1/3}$ (Thomas-Fermi model); 3) terms of the order of $(z^{1/3}/c)^2$ may be neglected. Under these assumptions he obtained the following

配管、取り扱いリストアード

重複

L3024-2 $\frac{1}{2}$ I.D. 12mm = (I.O. 12mm)

30kg - 10

TLF $\frac{1}{4}$ - 1m ($\frac{1}{2}$ I.D.) 20kg - 10

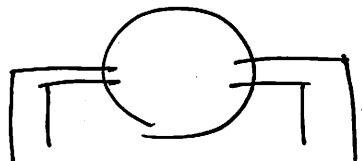
6mm 45°, 12c $\frac{1}{4}$ 矢板. ~~10kg~~ - 2.2

$\pm 2 \approx 20\text{mm}$ 12c $\frac{1}{4}$ - 12mm

1kg

TLF

電気配管



16mm 6mm

6mm - 12c $\frac{1}{2}$

"

" 6mm

6

16mm $\frac{12}{4}$ " "

SNS TLF

$\approx 2 \approx 15\text{kg}$ ($R \frac{1}{2}$) (20) = 12c $\frac{1}{2}$ - 2.

| 4-2° 15kg
| 12c $\frac{1}{2}$ -

4-7mm 長

kg 2kg 2kg.

20kg



12c $\frac{1}{2}$ 12c $\frac{1}{2}$
 $D=14\text{mm}$

【書類名】明細書

【発明の名称】放射性核種製造システム、放射性核種製造方法および加速器システム

【技術分野】

【0001】

本発明は、破壊型モニタを用いたビームプロファイルの監視を行う放射性核種製造システム、放射性核種製造方法および加速器システムに関する。

【背景技術】

【0002】

がんの治療法の一種として、ラジオアイソotope (radioisotope : R I) を用いたR I内用療法が知られている。R I内用療法は、放射性核種が組み込まれた薬剤を投与して患部組織に集積させて、放射性核種が放出する放射線を患部組織に直接照射する治療法である。R I内用療法に用いる放射性核種としては、 α 線放出核種が注目されている。

【0003】

α 線は、飛程が短く、線エネルギー付与が大きいため、周囲の正常細胞を大きく損傷することなく、がん細胞のみを選択的且つ効果的に破壊できる。そのため、 α 線放出核種を用いる α 線内用療法は、 β 線内用療法等と比較して、高い治療効果が期待されており、臨床への応用が進められている。

【0004】

α 線放出核種としては、ラジウム223 (Ra-223)、アスタチン211 (At-211)、アクチニウム225 (Ac-225) 等がある。アクチニウム225は、自然界には殆ど存在しない核種である。従来、アクチニウム225は、トリウム229 (Th-229) からの崩壊によって生産されている。トリウム229は、ウラン233 (U-233) からの崩壊によって生産されている。アクチニウム225は、トリウム229中に生成された後に、化学的分離法等で回収されている。

【0005】

従来、トリウム229は、原子力設備において生産してきたが、核物質防護の観点から生産量が限られており、希少性が高くなっている。治療用のアクチニウム225は、将来的に供給量が不足することが懸念されている。そこで、近年では、加速器を用いてアクチニウム225を製造するプロセスの開発が進められている。加速器を用いてアクチニウム225を製造する方法としては、次の(1)～(3)が知られている。

【0006】

(1) ^{226}Ra (p , $2n$) ^{225}Ac で表されるラジウム226 (Ra-226) の陽子一中性子反応を利用する方法。

(2) ^{232}Th (p , $s p a l l$) ^{225}Ac で表されるトリウム232 (Th-232) の陽子による核破碎反応を利用する方法。

(3) ^{226}Ra (γ , n) ^{225}Ra で表される光子一中性子反応の後に、Ra-225の β 崩壊によるAc-225への変換を利用する方法。

【0007】

(1) や (2) の方法は、アクチニウム225との分離が困難な不純物核種が生成されるという課題を抱えている。不純物核種としては、半減期が約10日であるアクチニウム225に対して、半減期が約29時間であるアクチニウム226や、半減期が約22年であるアクチニウム227等が生成される。不純物核種は、投与時の安全性や、放射性廃棄物の増大の点で問題となる。また、陽子加速器が必要であるため、加速器が大型になるとという課題を抱えている。

【0008】

(3) の方法は、光核反応を用いるため、不純物核種の生成を回避できる利点がある。但し、光核反応の反応断面積は、陽子一中性子反応や核破碎反応と比較して小さい。そのため、原料核種を含む原料物質に対してガンマ線を効率的に照射する必要がある。

【0009】

アクチニウム225は、半減期が比較的短い放射性核種である。半減期が短い放射性核

10

20

30

40

50

- ① 端子台に端子。
 ② ~~左側端子台に端子。~~
 ③ ~~72-21-4号~~. (端子台)
 ④ ~~端子台~~
 ⑤ ~~左側-右側の端子台に端子。~~
 ⑥ ~~荷物端子。~~
 ⑦ ~~3L電源端子。~~
 ⑧ ~~部品再整理。~~
 ⑨ ~~通風孔。~~
 ⑩ ~~1972年2月6日~~.
 ⑪ ~~東北大学付属図書館~~

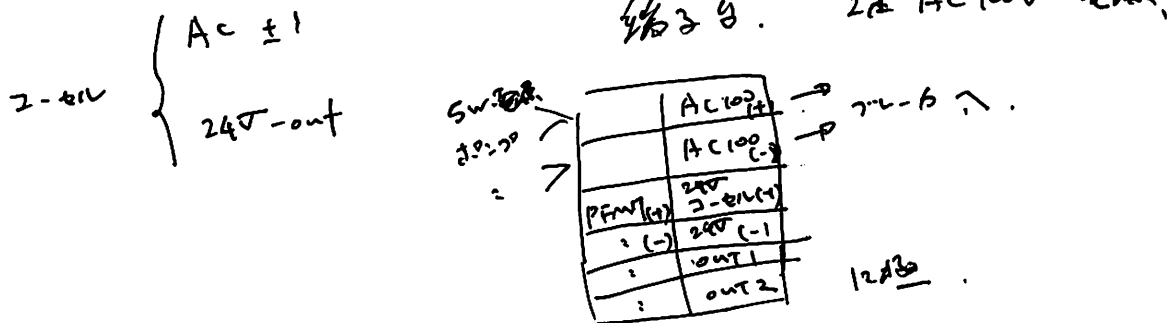
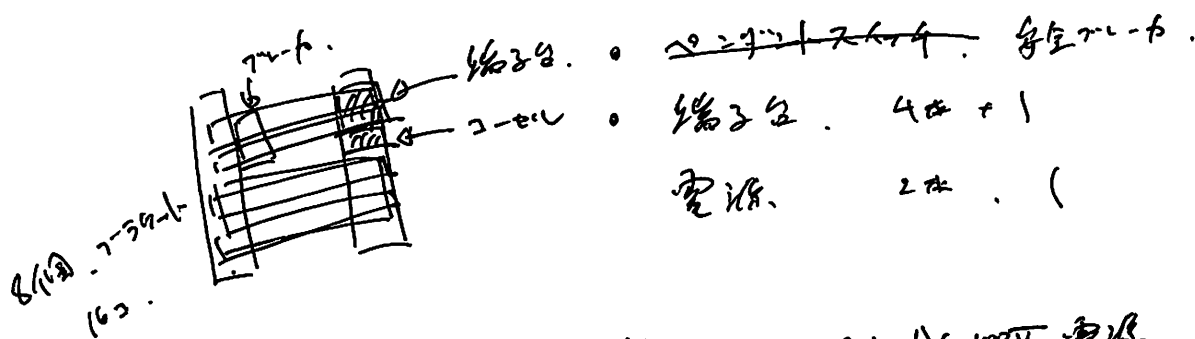
⑫ 統子。端子台の開閉スイッチ。

主要端子台図面。

熱電対 2本 + 2

72-21-4 2本.

\Rightarrow 6端子. \Rightarrow 12端子. (16端子)



電額

35 - 10 μ A 20pps
936 11.5 mT
4 μ s
10 pps

電子管 - 夏陽 18 放電

\rightarrow 18E35' 放電

~~無極管~~

選擇風扇

\rightarrow
溫度感應

547. 建屋.

PFT - IGBT

入子

之極回路. 電高波

電流 = 42A

PFT - IGBT

入子

U 200 V_A 電離子 - 2 - H⁺ 例 \rightarrow 調整

{ TAT
PPS

RF - 磁場 - ACC.

溫度感子 - 14

Zn P_S.

4m \times 1.0 \times 13 - 2.

43 - .

7.8 4m .

插入

TAT

Up 138 322 322.

10 μ A.

240mA 出口 (out)
430mA 入口 (in) 9 nob?

100mA > 100mA.

103mA. 8 - 32.

PB. 7.2. 44% 2 - 电子, 調整

now - 200mA - 10pps

7 - 43 + 2 - 電流

200V - 12 - 1 - 2 - 321.

3/26

- 3D 磁場 + 宇(氣)行 (2840)
- (ensoul)

→ 26° - → G0.

, windows update. → 再起動後 update.

, 3D 磁場 (全体更新)

, solidworks. (複数)

- ト-ト. 直角. + スラスト etc.
(227012-1)

- 壁面.

- 190°.

, 215-7

新設計

3/29 4/1 熟考

熟考機会

温度計.

反復.

候的の可能性.

• 水道管の直管.

$$\text{SCP} = \\ \text{ACC} = \text{鋼管} \cdot \phi 12\text{mm} = 2\text{m}^2$$

$$Re = \rho \frac{V_L}{\mu} = 997 \frac{\text{kg/m}^3}{\text{Ns/m}^3} \cdot \underline{\underline{\quad}}$$

$$\bullet \quad D = \frac{Q}{S} = \frac{12 \text{ L/min}}{\frac{\pi}{4} D^2} = \frac{12 \times 10^{-3} / 60 \text{ s}}{\frac{\pi}{4} \times (12 \times 10^{-3})^2} = \frac{0.2 \times 10^{-3}}{\frac{\pi}{4} \times (12 \times 10^{-3})^2 \times 2 \times 10^{-4}} \\ " \frac{0.2 \times 10^{-3}}{1.13 \times 10^{-4}} \\ = 1.1769 = 1.17 \text{ m/s.}$$

$$\bullet \quad d = 1.2 \times 10^{-3}, \quad \epsilon = 1.62 \times 10^{-3}$$

$$\epsilon/d = 1.62 \times 10^{-3} / 1.17 \\ = 9.15 \times 10^{-4} \quad \rightarrow f = 0.02.$$

$$\bullet \quad Re = \rho \frac{V_L}{\mu} = \frac{997}{\cancel{998}} \frac{\text{kg/m}^3}{\text{Ns/m}^3} \cdot \frac{1.17}{0.797 \times 10^{-3}} \cdot 2 \\ = 4.42 \times 10^6$$

$$\bullet \quad f = 0.02 \quad (\text{ Moody 算出式 })$$

$$\bullet \quad hf = f \left(\frac{L}{D} \right) \cdot \frac{6Q^2}{\pi^2 D^4 g} \\ = 0.02 \cdot \frac{2}{12 \times 10^{-3}} + \frac{6 \cdot (12 \times 10^{-3} / 60)^2}{(3.14)^2 \cdot (12 \times 10^{-3})^4 \cdot 9.8} \\ = 0.53 \text{ m}$$

$$\text{kg/m}^3 \cdot$$

$$OP = 0.18 L_c \sqrt{1.15} \times \frac{1}{F_s^{1.15} \times f_u^{1.25}}$$

=

$$L_c = 2m, \quad F_s = \frac{\pi}{3}, \quad \nu = \sqrt{V}.$$

$$F_s^{1.15} = 0.655$$

$$(dh_{(mm)})^{1.25} = (dh_{(m)} \times 10^{-3})^{1.25}$$

$$= dh_{(m)}^{1.25} \times 1.778 \times 10^{-9}$$

$$(dh_{(mm)} \times 10^3)^{1.25} = dh$$

$$dh_{(mm)} = (dh_{(m)} \times 10^3)^{1.25}$$

$$= dh^{1.25} \times 5623$$

$$\Delta P_w = 5 \times 10^{-5} \quad 2m \times$$

$$= 0.05 \quad kg/cm^2$$

$$= 0.05 \quad kg/m^2 \times 1/(10^{-2})^2 = 5 \times 10^{-2} \times 10^4 = 5 \times 10^2 [kg/m^2]$$

$$(10^{-2})^2 \quad 1kgf = 9.8 N.$$

$$= 500 kg/m^2 = 4900 N/m^2$$

$$= 5 kPa$$

③ フラックスの排出熱量の計算.

$$dU = dQ + dW$$

$$\eta = \frac{dW}{dU} \quad \text{for } \eta \rightarrow 1.0$$

$$\textcircled{1} \quad dU = U_{\text{plasma}} + U_{\text{fusion}} \quad \text{核融合熱出力}, \quad \overline{U}_{\text{fusion}} = \text{反応断面積} \cdot \text{率} \cdot [2023 \text{ Kirby}]$$

\uparrow
初期 $10^{12} - 2 \times 10^{12} \text{ eV}$, $n \log T \cdot U_{\text{plasma}}$

$$\textcircled{2} \quad 5 \times 10^{10} \text{ eV/m}^3 \cdot V_{\text{plasma}}$$

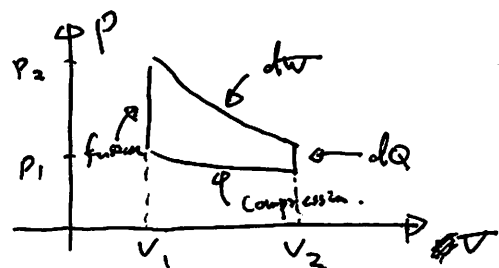
\Rightarrow 評価可能. e.g. 2 MJ

$$\textcircled{2} \quad dW. \quad 10 \text{ MW} / 10 \text{ Hz} \Rightarrow 1 \text{ MJ/pulse} = \cancel{\text{kJ}} \quad \text{率} \cdot (\text{率})$$

\Rightarrow 本当に可能か?

$$\Rightarrow U_{\text{plasma}} + U_{\text{fusion}} = dU \Rightarrow \text{仕事} = \text{取引} = 2 \text{ MJ}.$$

熱力学



アトマ炉熱力学は何を熱力学か?

\left\{
 \begin{array}{l}
 \text{熱力学 / 反応} \\
 \text{等容加熱 / 冷却} \\
 \text{核融合, 放熱}
 \end{array}
 \right. \Rightarrow \text{仕事}

$\Sigma = T \sim 9$ 電流引

過電流 Σ 有 H_0 有 E_0 。
 $4\pi - d < \sim \sim \sim$.

$$n \sim 10^2 \text{ A/m}^3. \quad 10^{21} \rightarrow 10^{23}$$

$$T \sim 10^{-4} \text{ K.}$$

$$\mu = \frac{m_e v^2}{2B} \Rightarrow \frac{1}{2} m_e v^2 + p \sim 10^{48}. \quad \sim T = 10^{48} \text{ ??}.$$

$$B \sim 1 \text{ T} \rightarrow 10 \text{ T.}$$

$$\sqrt{169} \times \frac{1}{2} (100^{\frac{1}{3}})^2 = 21.5 \text{ GeV.}$$

$$\times 10^4$$

$$\times \frac{2}{3} = 10$$

$$\frac{2}{3} \cancel{10^4} \times$$

$$\text{が成り立つから、 } B_2 = \left(\frac{V_2}{V_1}\right)^{\frac{5}{6}} B_1$$

また、温度について同様に

$$T \sim B^{\frac{4}{5}}$$

$$\text{より、 } T_2 = \left(\frac{B_2}{B_1}\right)^{\frac{4}{5}} T_1$$

したがって

$$T_2 = \frac{V_2}{V_1}^{-\frac{2}{3}} T_1 = \left(\frac{r_1}{r_2}\right)^2 T_1$$

が成り立つ。ただし r はそれぞれの状態のセパラトリクス半径。

したがって、単位時間当たりにプラズマが磁場にする仕事 W は

$$\begin{aligned} W &= -\Delta U = \frac{3}{2} N \left(1 - \left(\frac{r_1}{r_2}\right)^2\right) T_1 \\ &= \frac{3}{2} * (7.1e17) * \left(1 - \left(\frac{0.07}{0.1}\right)^2\right) * (1.6e - 19 * 14.8MeV) \\ &= 1.3MJ \end{aligned}$$

閉じこめ時間 $\tau_N = 0.4[\text{ms}]$ ($r_1 = 0.07[\text{m}]$ 、 $n_i = 1e22[\text{m}^{(-3)}]$) では ???

$W = 5.2e-4[\text{MJ}]$ のエネルギー取り出しとなる。

10Hz の運転でも 5.2kW 程度の発電容量となる(変換効率 100%仮定)。

閉じこめ時間が長く。
放電時間が
400μs ??.



断熱膨張での热量放出、算出。

(核融合熱出力) = (電気出力)

→ 良いのは?



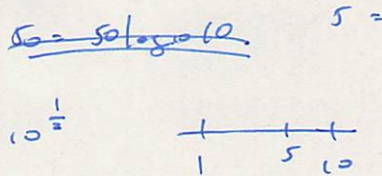
変換の効率の良さを言いたがる??。

たとえば、例えば、中性子出し率、どの程度、
(~30% etc.)

でがて...??

$$10^x = 5$$

HelionEnergy 断熱膨張エネルギー出力過程の検討



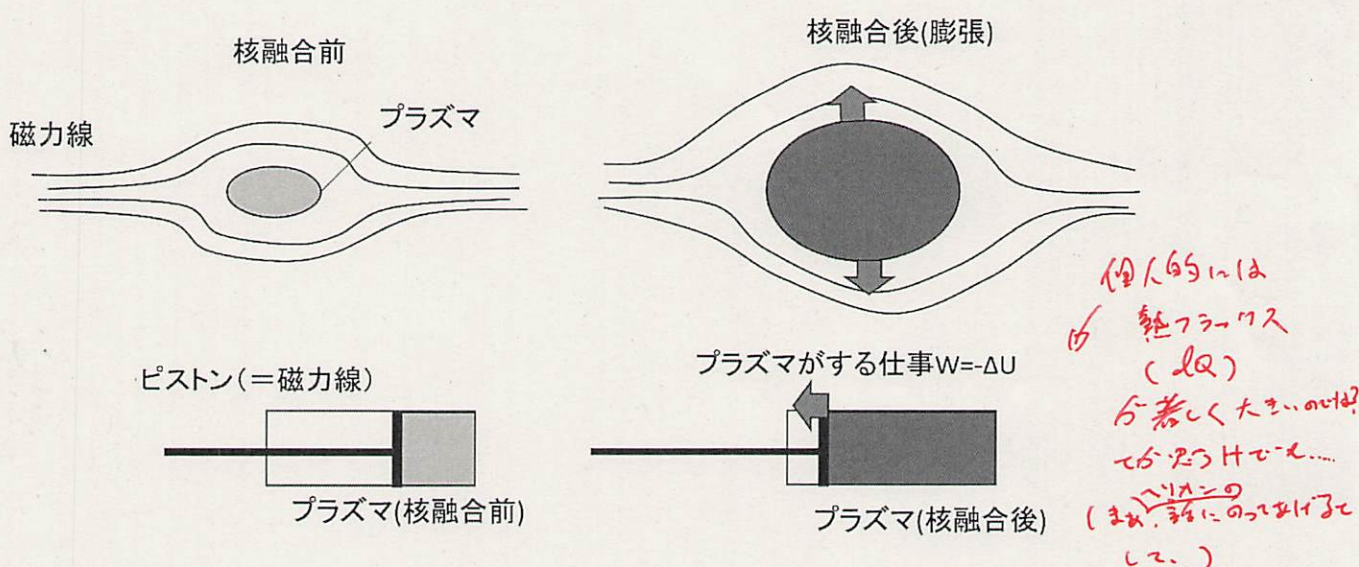
Helion Energy 社の核融合反応からのエネルギー取り出し過程の検討を行う。

ここでは、核融合反応で生じた超高压力のプラズマが閉じ込め磁場を膨張させる過程において、熱力学的に断熱膨張を行い、プラズマが外部磁場にする仕事がエネルギーになると見える。

以下に概要図を示す。

核融合前に外部磁場(15T)で圧縮されたプラズマはピストンで押しつぶされた状態(状態1)である。

核融合反応に伴って超高压力になったプラズマ(プロトン)は閉じ込め磁場(ピストン)を押し広げ仕事を(W)をすることで内部エネルギー(U)が減少する(状態2)。



上記の熱力学的な断熱変化に伴う仕事をする中で、閉じ込め磁場はエネルギーを熱から電気に変換する際の介在的な存在でしかないといえる。

このプロセスにおける 1shot 当たりの出力エネルギーを見積もる。

状態 1 (P_1, T_1, V_1) から断熱膨張した後の状態 2 (P_2, T_2, V_2) における仕事を考える。

閉じこめ磁場 15[T]で閉じ込め可能なパラメータより、核融合反応前のイオン密度($n_i = 1e22[m^{-3}]$)、温度($T_i = 50[keV]$)を仮定すると、

核融合によって発生するプロトン粒子数 n は単位時間・単位体積当たり、

$$n = \frac{1}{4} n_i^2 <\sigma v> \doteq 5 \times 10^{19}$$

参考[1]より、核融合反応前のセパラトリクス半径は 0.07[m]程度であると見積もることができる

ので、体積 V_1 は橢円度 $\epsilon : 10$ を仮定して、 $V_1 = \frac{4}{3} \pi r^3 \epsilon = 0.014 [\text{m}^3]$

全プロトン数Nは $N \equiv n * V_0 \equiv 7.1 \times 10^{17} [\text{s}^{-1}]$

$$5 \times 10^{43} = \underline{\langle m \rangle}$$

状態 2 における磁場の大きさ B_2 について、 $\beta=1$ におけるプラズマ平衡の式と断熱膨張の式より

$$5 \times 10^{19}$$

$$V \sim B^{-\frac{6}{5}}$$

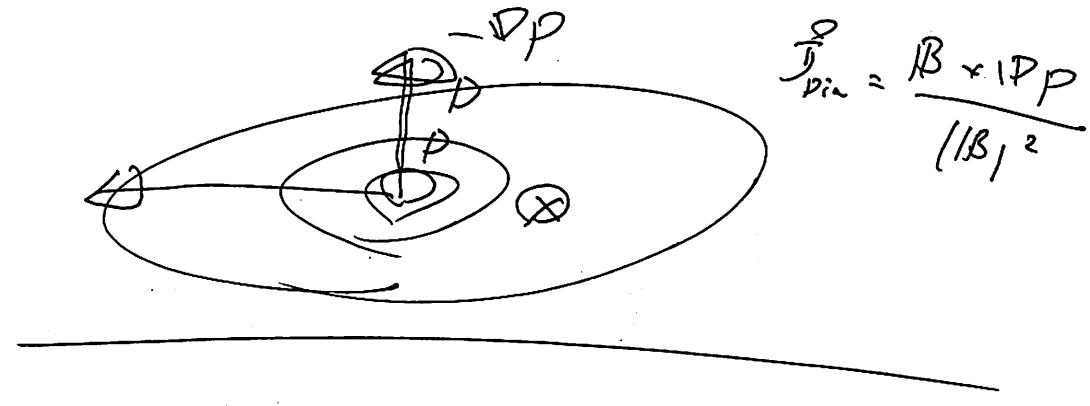
④ Pm 経営資源運動.

- G3g計画立案.
+ 项目区分.
+ 予算管理.(計算)
+ 1件.
- Rm運動管理.
+ 事业大別之一
+ 連携各会員会社. 設立・取扱(据元料行方法)の確立.
- 予算委託定.
+ 物品区分大別.
+ 第1-第3回移動. セルへの搬出入.
+ 営業価格算出.

$$0.5 \rightarrow 0.05, \rightarrow 10 \text{ Hz}$$

$$8T \rightarrow S = \pi r_s^2$$

$$r_s^2 \rightarrow 1/10, B = 80T$$



電磁式 - 取出の原理

$$\frac{\partial \phi}{\partial t}$$



$$\nabla \times B = 0$$

$$\nabla \times E = -\nabla \times (n \times B)$$

$$-\frac{\partial B}{\partial t} = -\nabla \times (n \times B)$$

$$V = -\frac{d\phi}{dt} \quad P \int V I dt = -\int \frac{d\phi}{dt} I dt$$

$$= -\frac{d}{dt} \int \frac{\partial}{\partial t} B n s I dt$$

$$= -n s \int \frac{\partial B}{\partial t} I dt \quad L I = n \phi$$

$$I = \frac{n \phi}{L} = \frac{n^2 B s}{L}$$

$$= -n^3 s^2 \frac{1}{L} \int B \frac{\partial B}{\partial t} dt$$

$$= -\frac{n^3 s^2}{L} \int \frac{1}{2} \frac{\partial}{\partial t} (B^2) dt$$

$$\beta = \frac{P}{\frac{\beta^2}{2\mu_0}} = 1$$

$$= -\frac{n^3 s^2}{2L} \cancel{(B^2)}$$

$$= -\frac{n^3 s^2}{2L} [B^2]_{t_1}^{t_2} \quad P = 2.607$$

$$= -\frac{n^3 s^2}{2L} \frac{2\mu_0}{\beta} [P]_{t_1}^{t_2}$$

ΔP は高周波出力の平方根

$$P = \left[\frac{\beta^2}{2\mu_0} \right] \beta = \frac{\beta B_0^2}{2\mu_0}$$

$$J = \frac{d\phi}{dt} \rightarrow I \frac{d\phi}{dt} = \frac{NBS}{L} \frac{dBS}{dt} = \frac{NS^2}{L} B \frac{dB}{dt}$$

$$P = VI$$

$$\rightarrow \frac{d}{dt} (IB^2)$$

$$N\phi = L I$$

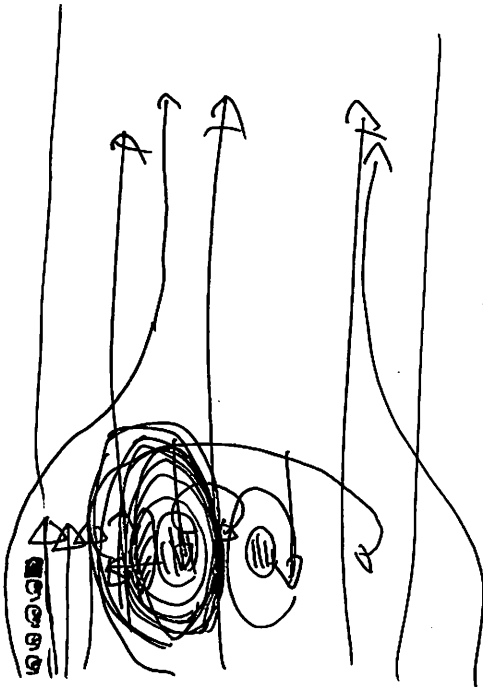
$$= P = \frac{N^2}{L} \frac{d}{dt} (IB)^2$$

$$I = \frac{N\phi}{L} = \frac{NBS}{L}$$

$$\frac{NS}{L} = \int \frac{d}{dt} (IB)^2 dt$$

$$\phi = BS$$

$$\frac{NS^2}{L} [B^2]_{t_1}^{t_2} \rightarrow \text{Integration}$$



$$\frac{d\phi}{dt} \propto B^2$$

$$B \left[\frac{B^2}{2\mu_0} \right]$$

$$dV = dQ + \frac{dQ_{in}}{\partial V} + \frac{dQ_{out}}{\partial V}$$

$$B \left(\frac{B^2}{2\mu_0} \right) = P$$

Fusion

$$P + \frac{\partial P}{\partial t} + \partial J = P_{\text{Fusion}} + \partial V$$

$$[n/\omega^3]^r$$

$$\begin{aligned}
 dW &= \frac{1}{\gamma-1} \left[-P_2 V_2 \left\{ 1 - \left(\frac{V_2}{V_1} \right)^{\gamma-1} \right\} + P_3 V_3 \left\{ 1 - \left(\frac{V_3}{V_4} \right)^{\gamma-1} \right\} \right] \\
 &= \frac{1}{\gamma-1} \left[-P_2 V_{\text{out}} (1 - \varepsilon^{-(\gamma-1)}) + P_3 V_{\text{out}} \left\{ 1 - \varepsilon^{-(\gamma-1)} \right\} \right] \\
 &= \frac{V_c}{\gamma-1} \left[\frac{P_3}{P_2} \frac{V_{\text{out}}}{V_c} (P_3 - P_2) (1 - \varepsilon^{-(\gamma-1)}) \right] \\
 &= \frac{P_3 V_c}{\gamma-1} \left[\left(1 - \frac{P_2}{P_3} \right) (1 - \varepsilon^{-(\gamma-1)}) \right] \\
 &= \frac{P_3 V_c}{\gamma-1} \left(\frac{P_2}{P_3} - 1 \right) (\varepsilon^{\gamma-1} - 1)
 \end{aligned}$$

$$\frac{P_1 V_1}{R T_1} \times C_m \bar{X}_1 = \frac{P_1 V_1}{(C_p - C_m)/C_m} = \frac{P_1 V_1}{\gamma-1} (\gamma-1) (\varepsilon^{\gamma-1} - 1)$$

$$W = \frac{P_1 V_1}{\gamma-1} (\gamma-1) (\varepsilon^{\gamma-1} - 1)$$

$$P_{\text{final}} \quad \eta = 1 - \frac{Q_2}{Q_1} = \frac{w}{Q_{in}}$$

压缩前,
↑
 $\frac{P_1 V_1}{\gamma-1} (\gamma-1) (\varepsilon^{\gamma-1} - 1)$
↓
压缩后.

$$= \frac{P_1}{P_{\text{final}} \Delta t} \times \frac{V_{\text{before}}}{V_{\text{plasma}}} \times \frac{1}{\gamma-1} (\gamma-1) (\varepsilon^{\gamma-1} - 1)$$

$$\eta = 1 - \frac{1}{\varepsilon^{\gamma-1}} \approx$$

$$\varepsilon = \frac{V_1}{V_2} = \frac{\pi r_c^2 L}{\pi r_{\text{comp}}^2 L} = \left(\frac{r_c}{r_{\text{comp}}} \right)^2 = \left(\frac{0.15}{0.05} \right)^2 = 9$$

$$\gamma = 2 \text{ izz. (20)}$$

$$\gamma = \frac{5}{3} \text{ izz. (30)}$$

$$\eta = 1 - \frac{1}{9} = \frac{8}{9}$$

$$\eta = 1 - \left(\frac{1}{9} \right)^{\frac{2}{3}} = 0.769$$

从 $\eta = 1 - \frac{1}{9} = \frac{8}{9}$ 可知 $\eta = 0.769$ 。
 从 $\eta = 1 - \left(\frac{1}{9} \right)^{\frac{2}{3}} = 0.769$ 可知 $\eta = 0.769$ 。
 从 $\eta = 1 - \left(\frac{1}{9} \right)^{\frac{2}{3}} = 0.769$ 可知 $\eta = 0.769$ 。

76%
77%

統括會議 2011.2.

1 STA.

$$\theta \leq 16^\circ$$

2 P.I

$$\frac{26.5}{25.5} \geq 0.9$$

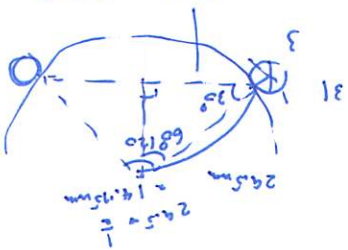
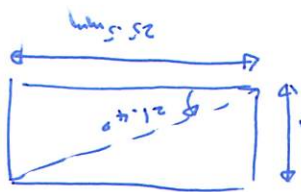
3 F.I.V

$$\frac{26.5}{25.5} \geq 0.9$$

4 11-7".

$$26.5 \times 0.9 \leq 26.5 \text{ mm}$$

$$14.95 \times \sqrt{3} = 25.5 \text{ mm}$$



31

材料、自由度数不等、怎么办？

$$\left. \begin{aligned} P_2 &= \frac{V_2}{nRT_2} \\ P_1 &= \frac{V_1}{nRT_1} \\ P_T &= \frac{V}{nRT} \end{aligned} \right\} \quad \Delta P = P_2 - P_1 = \frac{V}{nR} (T_2 - T_1)$$

$$\Delta P$$

$$\frac{\alpha - 1}{P} = m$$

$$=\frac{-\alpha + 1}{P} V + C_2$$

$$=\frac{-\alpha + 1}{C_0} V - C_1 + C_2$$

$$\left. \begin{aligned} \Delta P &= C_0 \\ P &= C_0 V - C_1 \end{aligned} \right\} = m$$

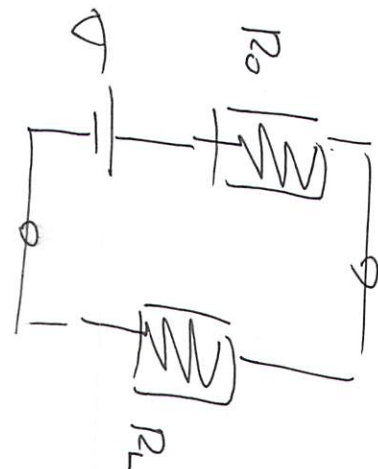
$$\Delta P = \frac{m}{V}$$

$$P = C_0 V - C_1$$

$$P V = C_0$$

$$m = \frac{\partial P}{\partial V} = \frac{\partial P}{\partial V} + \frac{\partial P}{\partial T}$$

物理量を取る。



$$\frac{P''}{P} = \frac{R_o}{R_o + R_L}$$

$$\frac{dP}{P} = \frac{dV}{V}$$

0

$$\Delta P = \frac{m}{V} = \frac{m}{C_0 V - C_1}$$

$$\Delta P = \frac{m}{C_0 (V - \frac{C_1}{V})}$$

$$\Delta P = \frac{m}{C_0 V^2 - C_1 V}$$

$$\Delta P = \frac{m}{C_0 V^2} + \frac{C_1 m}{C_0 V}$$

$$\Delta P = \frac{m}{C_0 V^2} + \frac{C_1 m}{C_0 V} + \frac{C_1^2 m}{2 C_0}$$

$$\Delta P = \frac{m}{C_0 V^2} + \frac{C_1 m}{C_0 V} + \frac{C_1^2 m}{2 C_0} + \frac{C_1^2 m}{2 C_0}$$



$$\Delta P = \frac{m}{C_0 V^2} + \frac{C_1 m}{C_0 V} + \frac{C_1^2 m}{2 C_0} + \frac{C_1^2 m}{2 C_0}$$

$$\Delta P = \frac{m}{C_0 V^2} + \frac{C_1 m}{C_0 V} + \frac{C_1^2 m}{2 C_0}$$

$$[m/V] = d$$

20/4.

放射性 α (大) \Rightarrow 稳定的。

$\tau_{1/2} = 1.4 \times 10^7$ 年 \rightarrow

\rightarrow 放射能 \propto 遺伝子、DNA、毛髪等。
 \rightarrow 女 (遺傳子)

反応性、半減期 (半衰期)

半減期、

1/2 \propto 時間

\Rightarrow 20、この半減期 $\approx 4 \times 10^7$ 年
量の半減期 $\approx 10^7$ 年

\Rightarrow e^{-kt}

\Rightarrow 経時変化 \approx e^{-kt} \approx 10^{-7} 年

								48
								47
								46
								45
								44
								43
								42
								41
								40
								39
								38
								37
								36
								35
								34
								33
								32
								31
								30
								29
								28
								27
								26

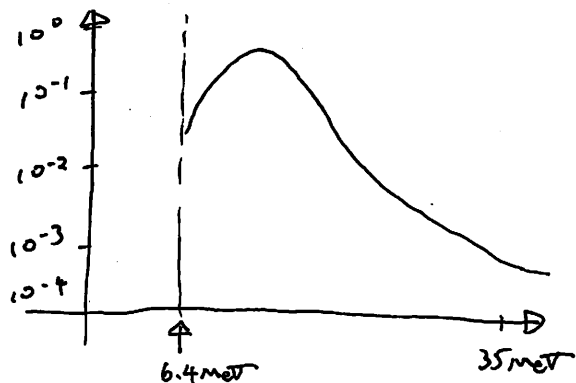
$$P_{N_{Ra-225}} = \frac{D_{Ra-226}}{A_{Ra-226}} \cdot N_A \cdot I_e / e \cdot \frac{0.693}{T_{Ra-225}} \cdot \iint_{E,\Delta E} [\phi(E_\nu, \Delta E) \cdot \alpha(E_\nu)] dE \cdot d\nu$$

$$\boxed{\frac{0.693}{T_{Ra-225}} = \lambda_{Ra-225}}$$

$$\left\{ \begin{array}{l} D_{Ra-226} = 5.5 \text{ [g/cm}^3] \\ A_{Ra-226} = 226 \text{ [g/mol]} \\ N_A = 6.02 \times 10^{-23} \text{ [1/mol]} \\ e = 1.602 \times 10^{-19} \text{ [C]} \\ T_{Ra-225} = 14.8 \text{ [K]} \end{array} \right.$$

$\phi(E_\nu, \Delta E) \rightarrow \text{PH27S}$
 $\alpha(E_\nu) \rightarrow \text{理論断面積}$

* Ra-226 (α .n) Ra-225 の理論断面積



ワンタッチ継手の購入のお願い

e-sourcing

ログイン情報：(株)日立製作所(000000) (CDS) (CSU) (日研) (6702)エネA2(1NMF)西田 賢人(70727338)要求元担当(1)

メニュー | ログアウト | お問い合わせ

バスケットの内容を確認頂き、お間違いがなければ【注文依頼へ進む】ボタンをクリックしてください。

選択	商品画像	商品コード 商品名	メーカー番号 メーカー名	単価／通常 標準納期	注文数値	単位	金額／通常
<input type="checkbox"/>		74072198 カムロック アダプター メネジ ステンレススチール	633-AB-3/4-SST トヨックス (TOYOX)	4,861円 標準納期：1日	2	個 (台)	9,722 円
<input type="checkbox"/>		74072609 カムロック カプラー メネジ ステンレススチール	633-DB-3/4-SST トヨックス (TOYOX)	7,941円 標準納期：1日	2	個 (台)	15,882 円
<input type="checkbox"/>		74070335 カムロック用ガスケット (パッキン) エチレンプロピレンゴム (EPD)	GK-E P D M - 3 / 4 トヨックス (TOYOX)	238円 標準納期：5日	6	個 (台)	1,428 円

商品点数： 3点 合計金額： 27,032 円

金選択/削除 ✓ 開示比較 ✓ お気に入りへ追加 削除

注文依頼へ進む 再計算 戻る

Copyright(c) Hitachi,Ltd. 2001-2023. All rights reserved.

項目	型番	単価	員数	価格 (¥)	備考
カムロック アダプター メネジ ステンレススチール	633-AB-3/4-SST	4861	2	9722	Rc3/4
カムロック カプラー メネジ ステンレススチール	633-DB-3/4-SST	7941	2	15882	Rc3/4
カムロック用ガスケット (パッキン) EPDM	GK-E P D M - 3 / 4	238	6	1428	材質は東北大確認済み
合計				27032	

10/13(土)

- ④ 二八トーナメント、③ PPT (Action) = TIAの分配関係。

- ④ Fusion の 球数 - 収集の 限度。

井

東北大学基盤技術研究会

・ コレラガムセラムの e-learning

- ④ (同上) H 1922.1. 生産率の出し
+ 溶出化

- ④ ~~技術評議会 提案書類~~
+ 溶出化

- ④ 成和田洋之の 講義

- ④ 株融会 2391. 計算更新

- ④ ~~機能試作の資料準備~~

- 現在の 研究課題
- 未来の 改良

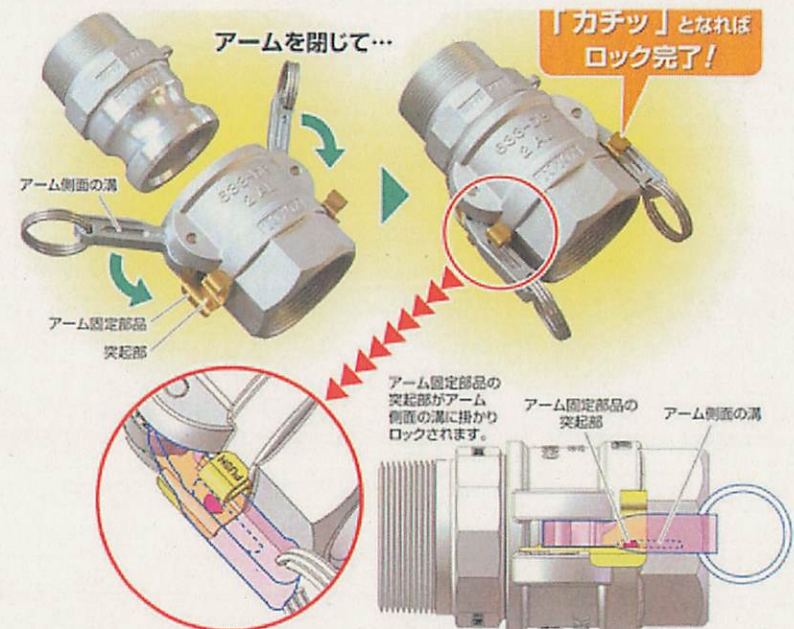
- ④ 2382-8-14 測定子構造
高精度 調節 の 要求

(同上)の TIA の 高効率製造

- ④ 45 mV

$$200 \mu A \times D = 22.2 \times 10^{-2} = 222 \mu A \rightarrow 10 \text{ mW}$$

$$3\mu A \times 300 = 9 \times 10^{-4}$$



12月20日 準備、

最大使用量 - 1d - fm - 1y

② 部屋、

• normal	12.1m ² B _g	12.1m ² B _g	\rightarrow 48.4m ² B _g
• 独り ^室	1m ² B _g	1m ² B _g	4m ² B _g

\rightarrow 242.3 → 1 ($\sim k B_g \pi \cdot \pi^2$)

(π の程度、使用する内訳??)

知能

\rightarrow T_{IL} - T₀ 指定 (文書要求)

\rightarrow 指定仕引範囲?

3232. Ra

設備 (最初の一層)

10月末。

{ M₀-99. }
A_C-225. } \rightarrow

④ T_{IL} G¹⁰B_g?

\rightarrow 制約、①

① 施設化事業化
 \rightarrow 5.

4

評価

2000年1月。

232-3ガル、 \rightarrow 結論。(

市場 - 問題、

開発項目 \rightarrow

技術開発

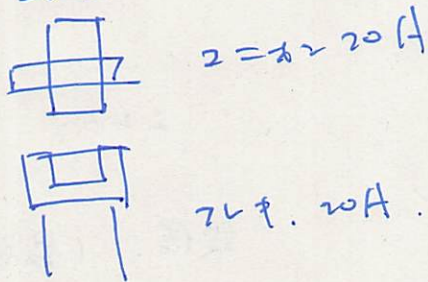
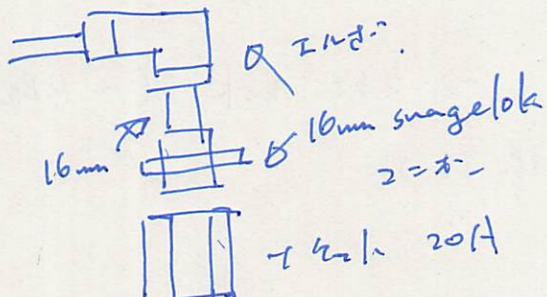
技術開発
(\sim 5-3ヶ月のスケジュール)

(実験の結果)

10/12

- 主要荷重在鉛直.
- $f_{ck} = 27 \text{ N/mm}^2$ を想定.

22H-7 例.



$$\rightarrow f_{ck} = 27 \text{ N/mm}^2 \quad \left\{ \begin{array}{l} \text{上: } R_c^{3/4} \\ \text{下: } R_c^{3/4} \end{array} \right.$$

1体の柱.

$$\text{上: } 633 - AB - \frac{B}{4}'' - SST$$

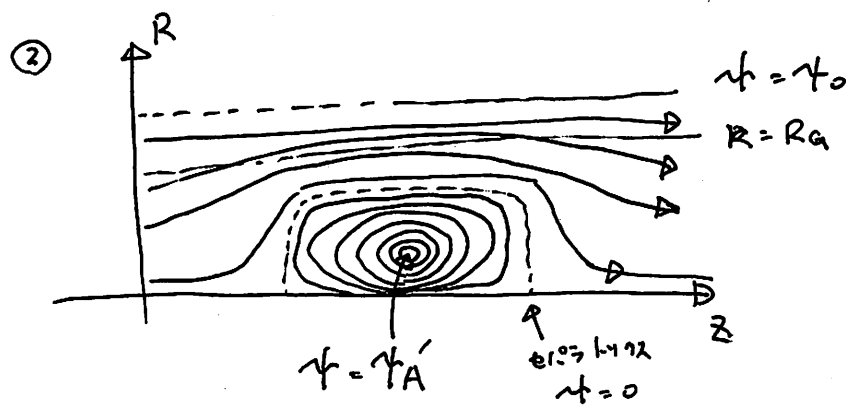
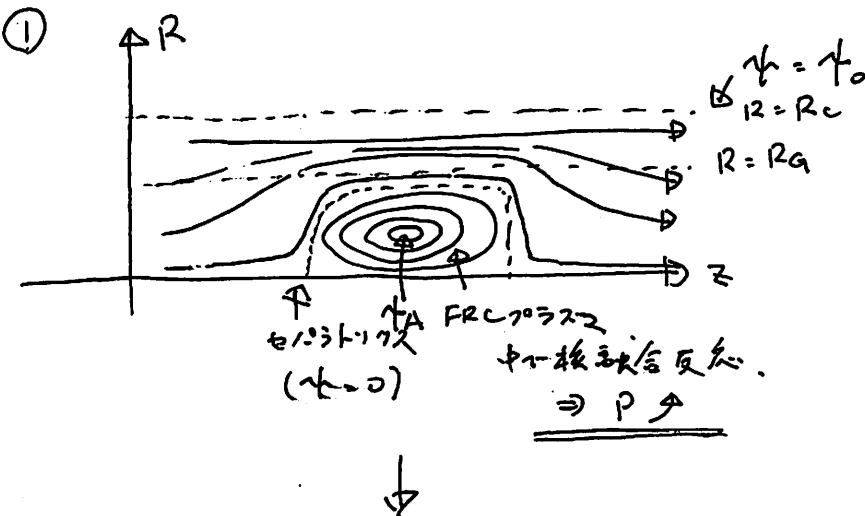
$$\text{下: } 633 - DB - \frac{B}{4}'' - SST$$

DB.L ($\gamma_{av} \cdot 27$) = 9086(A).

($f_{ck} = 33$) (8890.0)

- QC.
- 図の支援.
- 舎22H構造. + 社会 (日本)
- 脱却 33
- 図22H "高さ203": $\lambda_{av} = 3$.
→ 10A ~ 12A, 図の 12A - 1.
→ 2 - 2 - 22 セン.

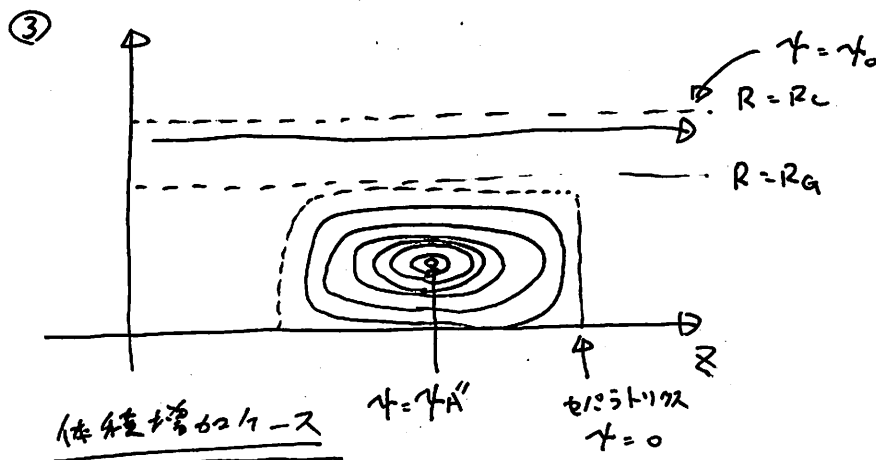
① ポラス区 大気中の擾乱の挙動



体積一定法

$$P \uparrow \sim \cdot \nabla P \uparrow \sim \cdot \frac{\partial}{\partial z} = \frac{B_r \nabla P}{|B|} \in \text{向} \uparrow$$

$\gamma_A \rightarrow \gamma_A' \sim \text{增加}$. ($t=t_0$ 体積増加なし、 $t>t_0$ 外部への取出なし)



圧力勾配(端)は一定 \sim ,
 体積変化なし

$$\sqrt{P} \uparrow \sim \cdot \nabla P \sim \cdot \frac{\partial}{\partial z} \cdot \frac{B_r \nabla P}{|B|} \in \text{一定}.$$

($B_r \approx 1$ すなはち ∇P の変化)

$\gamma_A \rightarrow \gamma_A'' \sim \text{增加}$.

$$\begin{array}{l}
 \boxed{\text{Bijection}} \\
 (\text{one-to-one}) \leftarrow \boxed{(5)} \\
 \text{Bijection} \leftarrow \boxed{(4)} \\
 \text{Bijection} \leftarrow \boxed{(3)} \\
 \text{Bijection} \leftarrow \boxed{(2)} \\
 \text{Bijection} \leftarrow \boxed{(1)}
 \end{array}$$

```

graph TD
    A["Perspective  
Perspective"] --> B["Perspective  
Perspective"]
    B --> C["Perspective  
Perspective"]
    C --> D["Perspective"]

```

1. $\text{Hom}_{\text{Mod}(A)}(M, N) \cong \text{Hom}_R(M, N)$ (Homomorphism space)

2. $\text{Hom}_{\text{Mod}(A)}(M, N) \cong \text{Hom}_R(N, M)$ (Homomorphism space)

3. $\text{Hom}_{\text{Mod}(A)}(M, N) \cong \text{Hom}_R(N, M)$ (Homomorphism space)

4. $\text{Hom}_{\text{Mod}(A)}(M, N) \cong \text{Hom}_R(N, M)$ (Homomorphism space)

5. $\text{Hom}_{\text{Mod}(A)}(M, N) \cong \text{Hom}_R(N, M)$ (Homomorphism space)

6. $\text{Hom}_{\text{Mod}(A)}(M, N) \cong \text{Hom}_R(N, M)$ (Homomorphism space)

• $\text{f}^{\text{def}} \circ \text{f}^{\text{def}} = \text{id}_{\text{f}^{\text{def}}}$ $\text{f}^{\text{def}} \circ \text{f}^{\text{def}} = \text{id}_{\text{f}^{\text{def}}}$
 $\text{f}^{\text{def}} \circ \text{f}^{\text{def}} = \text{id}_{\text{f}^{\text{def}}} \quad \text{f}^{\text{def}} \circ \text{f}^{\text{def}} = \text{id}_{\text{f}^{\text{def}}}$

• १५ अक्टूबर २०१८ - ३ - २ •

$\int_{-\infty}^{\infty} e^{-x^2} dx = \sqrt{\pi}$ (using polar coordinates)

• 磁場出力

$$P = \nabla \cdot J$$

$$V = -N \frac{d\vec{B}}{dt} = -Ns \frac{\partial \vec{B}}{\partial t}$$

$$I = \frac{N\Phi}{L} = \frac{NBS}{L}$$

$$P = \frac{N^2 f^2}{L} B \frac{\partial B}{\partial t}$$

$$= \frac{N^2 S^2}{L} \frac{\partial}{\partial t} \left(\frac{|B|^2}{2} \right)$$

$$\beta \left(\frac{|B|^2}{2} \right) = P = P_{Fus} \cdot \alpha t$$

$$\frac{|B|^2}{2} = \frac{\mu_0}{\beta} \alpha t P_{Fus}$$

$$\Delta V = \int_{t_1}^{t_2} P dt = \frac{N^2 S^2}{L} \frac{\mu_0}{\beta} \int_{t_1}^{t_2} P_{Fus}$$

$$V = \frac{N^2 S^2}{L} \int_{t_1}^{t_2} \frac{\partial}{\partial t} \left[\frac{|B|^2}{2} \right] dt$$

$$= \frac{N^2 S^2}{L} \left[\frac{|B|^2}{2} \right]_{t_1}^{t_2}$$

$$= \frac{N^2 S^2}{L} \frac{\mu_0}{\beta} \frac{\Delta t}{\tau_{FRC}} P_{Fus}$$

$$f_{prop} \approx V = \frac{N^2 S^2}{L} \frac{\mu_0}{\beta} \tau_{FRC} f_{prop} P_{Fus}$$

$$\boxed{\text{B} \quad \text{B} \quad \text{B} \quad \text{B}}$$

$$\beta L = \frac{\mu_0}{(nL) \cdot (nL)}$$

I

$$\beta L = (\mu_0)(nL) I - \mu_0$$

$$L = \frac{\mu_0}{I} = \frac{1}{I} \frac{(nL)}{\beta} = \frac{1}{I} nL \rightarrow \frac{\beta}{nL} = \frac{\mu_0}{I}$$

$$= \mu_0 n^2 l s$$

$$V = \frac{N^2 S^2}{\mu_0 n^2 l s} \frac{\mu_0}{\beta} \tau_{FRC} f_{prop} P_{Fus}$$

$$= \frac{1}{\beta} \frac{\mu_0^2 l^2 S^2}{\mu_0^2 n^2 l s} \tau_{FRC} f_{prop} P_{Fus}$$

$$= \frac{1}{\beta} \frac{S l}{V_{coil}} \tau_{FRC} f_{prop} P_{Fus}$$

$$V_{coil} = \frac{1}{\beta} \frac{V_{coil}}{V_{plasma}} \tau_{FRC} f_{prop} (P_{Fus} \cdot V_{plasma})$$

$$= \frac{1}{\beta} \frac{V_{coil}}{V_{plasma}} \tau_{FRC} f_{prop} V_{plasma} P_{Fus}$$

$$\frac{V_{coil}}{V_{Fus}} = \frac{1}{\beta} \cdot \frac{V_{coil}}{V_{plasma}} \tau_{FRC} f_{prop}$$

$$\frac{P_{coil}}{P_{Fus}} = \frac{1}{\beta} \tau_{FRC} f_{prop}$$

$\rightarrow 1.1873 \text{ 定常 } \rightarrow 1.2 \text{ 百分比 } \approx 1.2\%$

$$= 66.67\% \text{ (100\%)} \quad (1.2\%)$$

$$U = \frac{V_{coil}}{2f_{ho}} [\beta_{c1}^2 - \beta_{c2}^2]$$

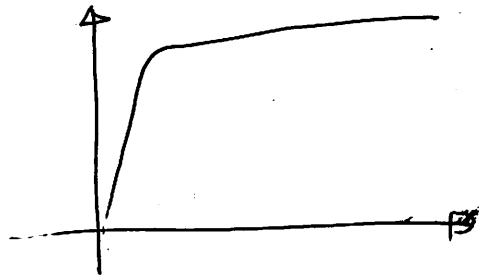
$$\cancel{\beta_{c1}^2} - \beta_{c2}^2$$

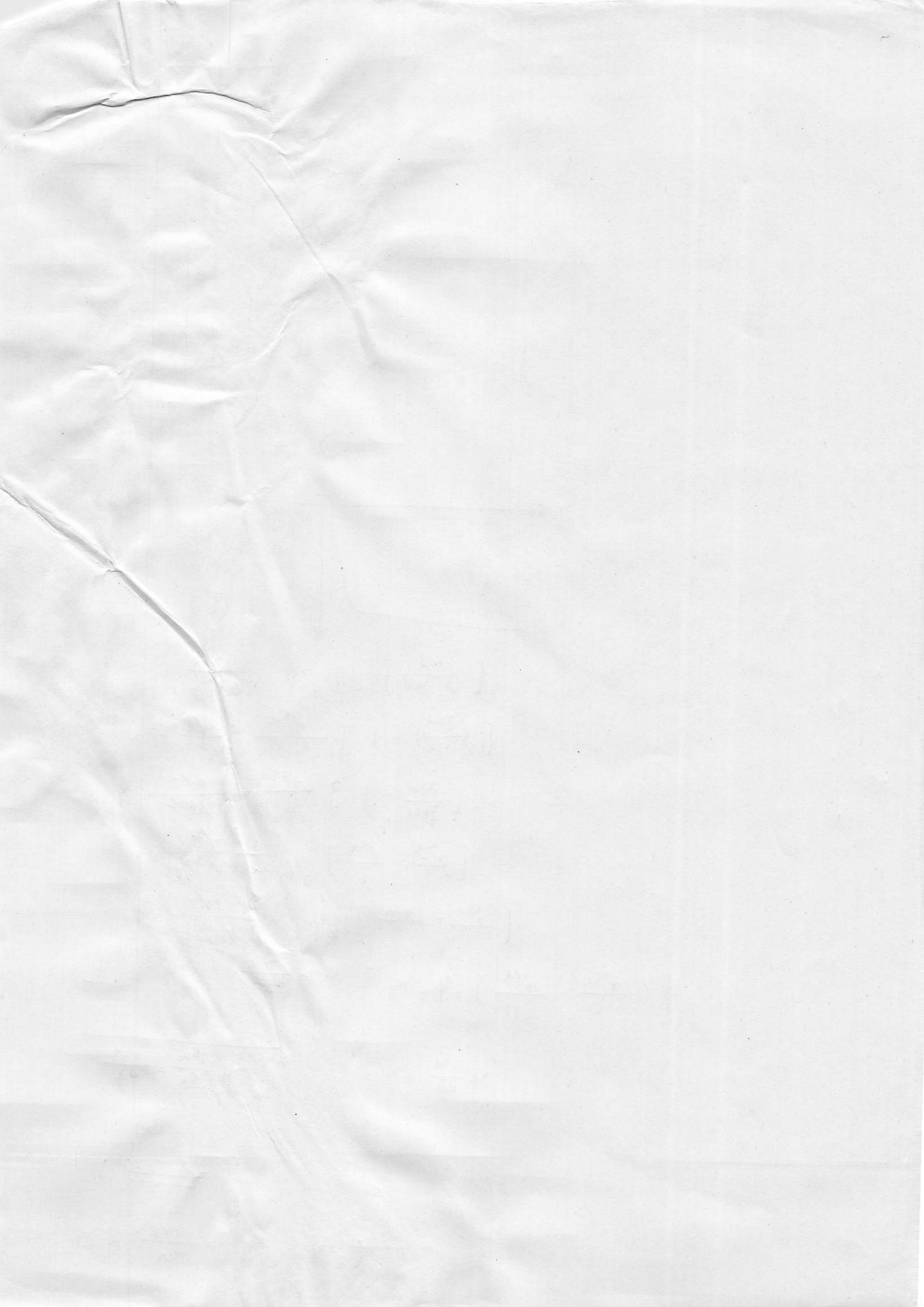
β_{c1}

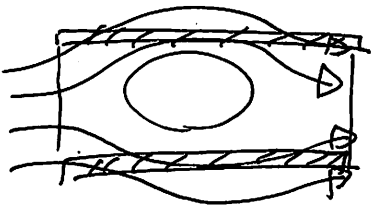
$$\underline{\frac{\phi_p}{r_s^2} = \frac{r_s}{r_c} \beta_{c1}}$$

$$\beta_{c1} = \frac{\phi_p}{r_s^3} r_c$$

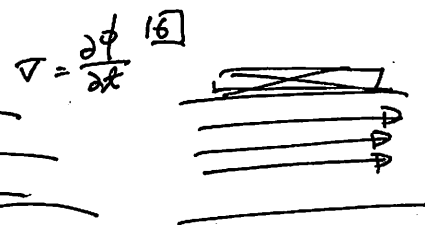
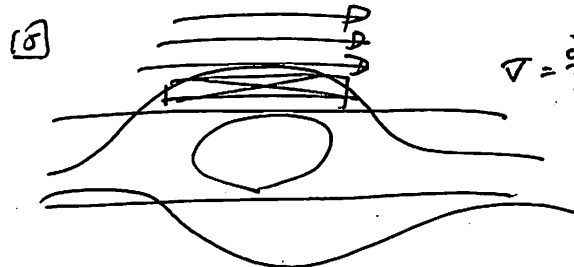
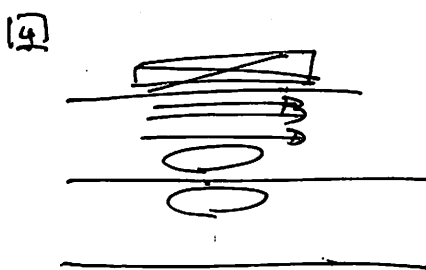
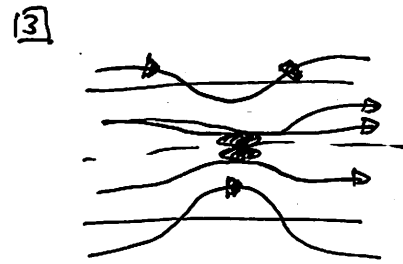
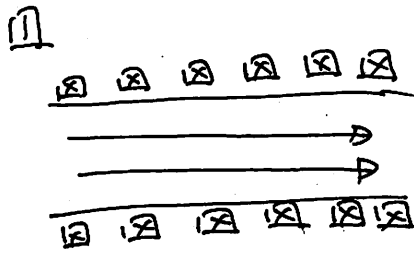
$$\begin{aligned}
 U &= f_{rop} \cdot \frac{\cancel{\beta_{c1}^2}}{2f_{ho}} V_{coil} \left[r_{c1}^2 \phi_p^2 \left(\frac{1}{r_{s1}^6} - \frac{1}{r_{s2}^6} \right) \right] \\
 &= \frac{f_{rop} V_{coil}}{2f_{ho}} r_{c1}^2 \phi_p^2 \left[\frac{1}{r_{s1}^6} - \frac{1}{r_{s2}^6} \right] \\
 &= \frac{f_{rop} V_{coil} r_{c1}^2 \phi_p^2}{2f_{ho}} \left[\frac{1}{r_{s1}^6} - \frac{1}{r_{s2}^6} \right] \\
 &= -\frac{f_{rop} V_{coil}}{2f_{ho}} \frac{r_{c1}^2 \phi_p^2}{r_{s2}^6} \left[1 - \frac{r_{s2}^6}{r_{s1}^6} \right] \\
 &= -\frac{f_{rop} V_{coil}}{2f_{ho}} \frac{r_{c1}^2 \phi_p^2}{r_{s1}^6} \left[1 - \left(\frac{r_{s1}}{r_{s2}} \right)^6 \right] \\
 &= + \frac{f_{rop} V_{coil}}{2f_{ho}} \beta_{c1}^2 \left[1 - \left(\frac{r_{s1}}{r_{s2}} \right)^6 \right]
 \end{aligned}$$







$$\nabla = N \frac{df}{dt}$$

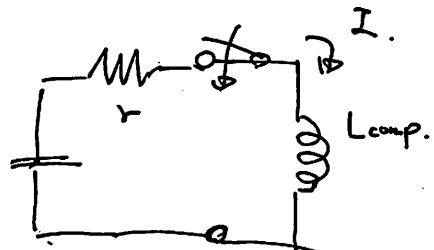
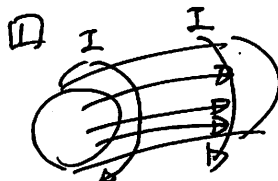


$$\nabla = \frac{\beta_1^2}{2\mu} \times \mu_{\text{coil}} L_{\text{coil}}$$

$$= \frac{\beta_1^2}{2\mu} V$$

$$LI = N \Phi$$

$$\bullet I = \frac{N \Phi}{L}$$



• LC 回路.

$$U_{mi} = \frac{\rho e i^2}{2\mu_0} V_{coil} . \quad V_{coil} \sim r^2 \cdot 0.2m^2 \times \pi / 4 \times L$$

$$\Delta U = \frac{B^2}{2\mu_0} \Rightarrow B = 10 \text{ T} \quad 10^{-2} \times 3.14 = 1 \text{ T}$$

$$U_{mi} = \frac{1}{2\mu_0} B^2 = \omega^2 \times \frac{1}{2.4 \times 10^{-6}} \sim 3 \times 10^{-2} [\text{m}^{-3}]$$

$$q_c \cdot U_{mi} = \overline{U_{out}} \sim \frac{1}{25} \times 10^6 = 0.4 \times 10^8$$

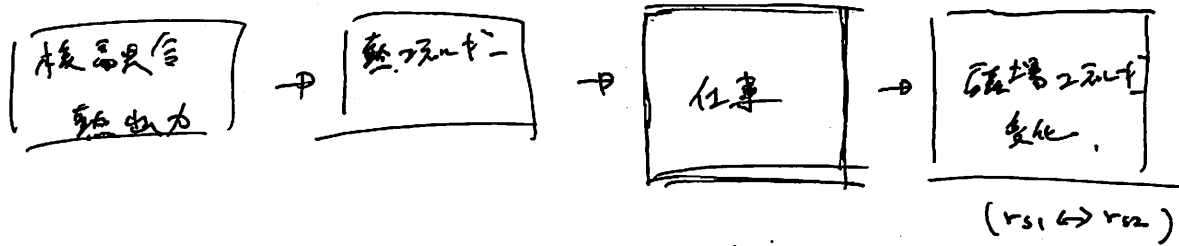
$$U_{mi} = \int \frac{\rho e i^2}{2\mu_0} \text{d}x, \text{d}y = 4 \times 10^7 [\text{J}]$$

$$= \int \frac{\rho e i^2}{2\mu_0} \text{d}x = 40 \text{ mJ}.$$

$$\overline{U_{mi}} =$$

$$\frac{\int p \text{d}v}{U_{mi}} = \langle \beta \rangle$$

$$\int p \text{d}v = \langle p \rangle / \overline{U_{mi}} = \langle \beta \rangle$$



Δv

$\overline{T_{out}}$ ΔU

- $\Delta v > \Delta U$ の時 \rightarrow
 ΔU が Δv より大きい。 (power output 大きい)
- $\Delta v < \Delta U$ の時 \rightarrow
 ΔU の値が Δv より大きい。
 Δv が ΔU より大きい \rightarrow ΔU が Δv より大きい。 (power output 大きい)

$$P_1 = n_1 k_B T_1$$

$$V_1 = V_{FRC} \quad (\text{合併後, 壓縮前})$$

$$\lambda = \frac{P_3}{P_2}$$

$$P_2 + \Delta P_{\text{fusion}} = P_3$$

$$1 + \frac{\Delta P_{\text{fusion}}}{P_2} = \lambda$$

$$\therefore \lambda - 1 = \frac{\Delta P_{\text{fusion}}}{P_2} = \frac{P_{\text{fusion}} \tau_{\text{FRC}}}{P_2} = \frac{P_{\text{fusion}} \tau_{\text{FRC}}}{P_2}$$

~~※~~ $\Delta P_{\text{fusion}} = P_{\text{fusion}} \cdot \Delta t = \sigma J$

$$P_2 = P_1 \cdot \frac{V_1^{\gamma}}{V_2^{\gamma}}$$

$$\therefore \lambda - 1 = \frac{P_{\text{fusion}} \tau_{\text{FRC}}}{P_1 \cdot \left(\frac{V_1}{V_2}\right)^{\gamma}}$$

$$\begin{aligned} dW &= (\varepsilon^{\gamma-1} - 1) \cdot \frac{P_{\text{fusion}} \tau_{\text{FRC}}}{P_1 \left[\frac{V_1}{V_2}\right]^{\gamma}} \cdot \frac{P_1 V_1}{\gamma-1} \\ &= \frac{1}{\gamma-1} \left[\frac{V_2}{V_1} \right]^{\gamma} \underbrace{[P_{\text{fusion}} \tau_{\text{FRC}} \cdot V_1]}_{\text{unit: J}} \times \frac{(\varepsilon^{\gamma-1})}{\gamma-1} \text{ no unit.} \end{aligned}$$

\rightarrow 薄膜用 J.

$$P_{\text{fusion}} \tau_{\text{FRC}} V_2 \cdot \frac{V_1}{V_2}$$

$$\frac{\varepsilon^{\gamma-1} - 1}{\varepsilon^{\gamma-1}(\gamma-1)}$$

$$= \frac{1}{\gamma-1} \left[\frac{V_2}{V_1} \right]^{\gamma} [P_{\text{fusion}} \tau_{\text{FRC}} V_2] \cdot (\varepsilon^{\gamma-1} - 1) \cdot \left[\frac{V_1}{V_2} \right]$$

$$= \frac{1}{\gamma-1} \left[\frac{V_2}{V_1} \right]^{\gamma-1} (\varepsilon^{\gamma-1} - 1) [P_{\text{fusion}} \tau_{\text{FRC}} V_2]$$

$\varepsilon^{-1} \rightarrow \varepsilon^{-(\gamma-1)}$

$$= \frac{1}{\gamma-1} (1 - \varepsilon^{-(\gamma-1)}) [P_{\text{fusion}} \tau_{\text{FRC}} V_2]$$

$$= \frac{1 - \varepsilon^{-(\gamma-1)}}{\gamma-1} \Delta U_{\text{fusion}}$$

• 斷熱压缩 \rightarrow 非等温 \rightarrow 速度分布工作子?

• 斷熱過程 (熱力学)

$$PV^\gamma = \text{const.} \quad \begin{cases} P = n k_B T \\ V = N/n \quad (N/V = n) \end{cases}$$

$$(n k_B T) \cdot N^\gamma \cdot n^{-\gamma} = C_0$$

$$n^{1-\gamma} \cdot T = C_1 = \text{const.}$$

$$T n^{-\gamma+1} = \text{const.} \quad (\gamma = \frac{f+2}{f} = \frac{2+2}{2} = 2) \quad 2D.$$

$$T n^{-1} = \text{const.}$$

$$\frac{T}{n} = \text{const.} \quad \Rightarrow T = C_2 n$$

• 斷熱不變 (磁場 B - F = 0)

$$\mu = \frac{mv_2^2}{2B}$$

$$v_2 = \sqrt{\frac{2B\mu}{m}}$$

$$v_2 \propto \sqrt{B} = B^{\frac{1}{2}}$$

$$P = n k_B T = C_3 n^2$$

$$n = \frac{N}{V} \quad \text{sg.}$$

$$\begin{cases} P = \frac{C_3 N^2}{V^2} = C_4 \frac{1}{V^2} \\ T = C_2 \frac{N}{V} = C_5 V^{-1} \end{cases}$$



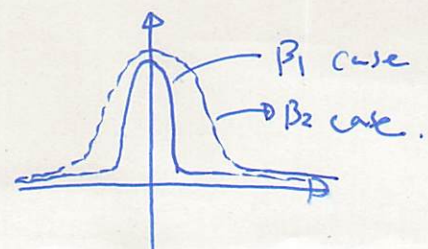
例 2 18" Maxwellian.

$$\begin{aligned} f(n) &= \sqrt{\frac{m}{2\pi k_B T}} e^{-\frac{mv^2}{2k_B T}} \left[-\frac{mv^2}{2k_B T} \right]^2 \\ f(n_L) &= n_L^2 \sqrt{\frac{m}{2k_B T_L}} e^{-\frac{mv_L^2}{2k_B T_L}} \left[-\frac{mv_L^2}{2k_B T_L} \right]^2 \\ &= \frac{(2B\mu)^2}{m^2} \cdot \frac{m}{2k_B T_L} e^{-\frac{mv_L^2}{2k_B T_L}} \end{aligned}$$

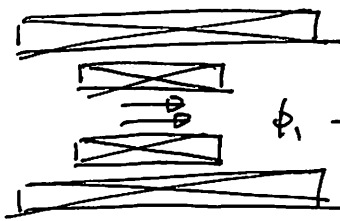
$$\frac{m}{2k_B T_L} n_L^2$$

$$n_{L1} \neq n_{L2} \quad \text{if } \beta_1 \neq \beta_2.$$

$$\frac{m}{2k_B T_L} \cdot \frac{2\beta_1 \mu}{m} \rightarrow \frac{m}{2k_B T_L} \cdot \frac{2\beta_2 \mu}{m} \times \frac{\beta_2}{\beta_1} \rightarrow \text{kk倍}$$



② $A = \text{常数}$ 2個の磁場が重なる場合??



$$\phi_1 + \phi_2$$

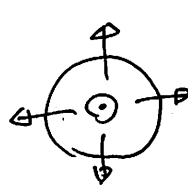
$$\begin{cases} \phi_1 = B_1 S \\ \phi_2 = B_2 S \end{cases}$$

$$\nabla = -\mu \frac{d}{dx} (\phi)$$

$$= -\mu S \frac{\partial}{\partial x} B$$

$$= -\mu S \left(\frac{B_1 - B_2}{\partial x} \right)$$

$$I = \frac{\mu \phi}{L} = \mu S \frac{1}{L} (B_1 - B_2)$$

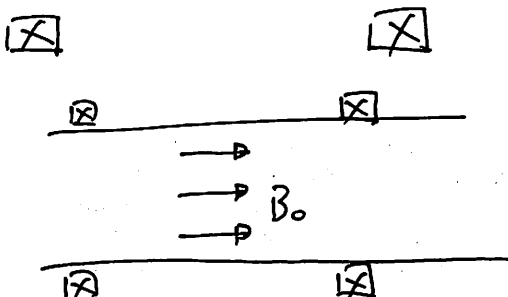


$$\frac{\partial B}{\partial x} = -Q \cdot B$$

$$\frac{\partial}{\partial x} \int_p B \cdot dS = - \int_p (Q \cdot B) \cdot dS = - \int_c B \cdot dS = \nabla = -\frac{\partial \phi}{\partial x}$$

$$I = \frac{\nabla}{R}$$

→ 内側 = 1m/s 電流が流れて、外側 = 1m/s, 内側 = 1m/s
相殺する。左の式を、右の式を、
(左の式)



→ ⑤ はく離 = 壓縮 = 1m/s
⑥ はく離 = 0km/s です。

$$\frac{B_0^2}{2\mu_0} \nabla \rightarrow \frac{B'^2}{2\mu_0} \nabla$$

$$\Delta V = \frac{\nabla}{2\mu_0} (B_0^2 - B'^2)$$

自然電流回路

当然、1ループ1回路、磁場が一定 = 変化なし。

電流回路回路

電流の変化 = → 変化 = 0です。

$$B \propto \frac{Q}{s}, B = \frac{\Phi}{s}$$

$$\Delta V = \frac{\nabla}{2\mu_0}$$

International Journal of Innovative Research in Science, Engineering and Technology

(An ISO 3297: 2007 Certified Organization)

Vol. 4, Issue 9, September 2015

Design and Development of Stepper Motor Based XY Scanning Stage

V.V. Suryawanshi¹, P.M.Sonawane², S.P.Deshmukh³

P.G. Student, Dept. of Mechanical Engineering, Sinhgad Academy of Engineering Kondhwa, Pune, Maharashtra, India¹

Assistant Professor, Dept. of Mechanical Engineering, Sinhgad Academy of Engineering Kondhwa, Pune, Maharashtra, India²

Professor, Dept. of Mechanical Engineering, Sinhgad Academy of Engineering Kondhwa, Pune, Maharashtra, India³

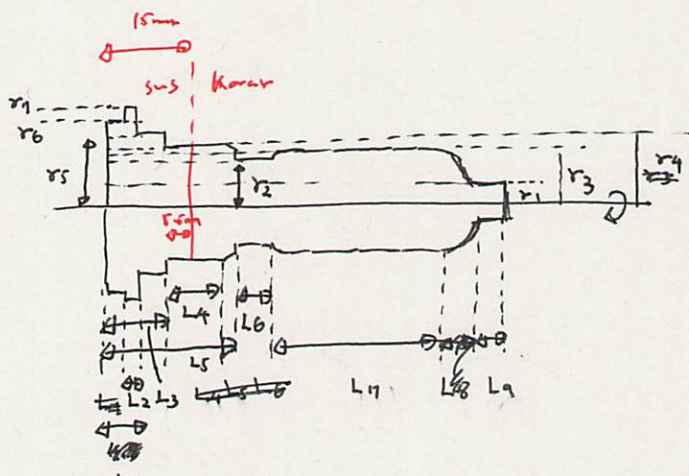
ABSTRACT: Precision planar motion (XY) stages are widely used in semiconductor manufacturing systems, precision machine tools, and scanning probe measurement systems. This research presents a design, modeling, manufacturing and system interfacing of Stepper Motor based XY Scanning Stage for precision application. Serially mounted XY stage is initially modeled using modeling software CATIA V5 and further analysis is carried out in ANSYS 14. Once design was within acceptable limit it is further taken for manufacturing and entire XY stage is manufactured. Mounting of Stepper is ensured by providing appropriate tolerances during manufacturing. Designed stage consists of two bipolar Stepper Motor coupled with a lead screw as a feed drive by means of aluminium flexible coupling. These Stepper Motors are further interfaced with PC via Arduino Microcontroller board. To control the movement of XY Scanning Stage, Arduino programming is done with the Arduino Motor Shield board. This XY Scanning Stage finds various precision micro positioning applications such as in 3D printers and precision machine tools.

KEYWORDS: 3D Printer, Arduino, Stepper Motor, XY Scanning Stage.

I. INTRODUCTION

The XY stage, which is composed of a motion mechanism driven by actuators for moving an object in the XY plane, is a fundamental component of a positioning system used in industries such as micromachining and scanning probe microscopy [1]. Many of the state-of-the-art ultra-precision XY stages have a stage motion mechanism composed of air-bearing or roller-bearing supported linear slides, which are driven by linear motors. Laser interferometers or linear encoders are often used as the feedback sensors. While the conventional XY stage is stacked up by two linear stages composing of many components, such as ball screw, bearing, linear slide, etc. [2]

Efforts have been made to develop the state-of-the-art XY micro-stages, in which flexure hinge mechanisms are employed as the stage motion mechanisms. Piezoelectric actuators (PZTs) have often been employed as the actuators. Rong-Fong et al. have developed a micro/nano-meter XY precision positioning table, in which the coarse and fine positioning are performed by the permanent magnet synchronous motor (PMSM) and piezoelectric actuator (PA), respectively [3]. Dongwoo Kang et al. have proposed compact high precision XY-scanner providing nanometer-level resolution and a millimeter-level travel range composed of a voice coil motor (VCM) and double compound linear spring flexure guide mechanism[4]. Yuki Shimizu et al. have designed XY micro-stage which consists of two PZTs and a friction component made by permanent magnet is mounted on the centre of the stage base for driving the stage moving plate made by steel in the X- and Y-directions based on a friction drive. Leaf springs are employed to guide the X- and Y-directional motions of the moving plate over a range of ± 1 mm in both directions [1]. Chien-Hung Liu et al. have presented a Dual-Axis Long-Travelling Nano-Positioning Stage (DALTNPS). In order to extend the travelling and increase the accuracy, the two sorts of stages, a traditional ball-screw stage and a three-degrees-of-freedom (3-DOF) piezo-stage, were composed. The traditional ball-screw stage which is composed of two guide-ways and a ball-screw at each axis is a long-travel stage, and the 3-DOF piezo-stage, which is composed of three piezoelectric actuators and four translation-rotation mechanisms, is a high precision stage [5]. Kuang-Chao Fan et al. have developed an innovative



容器 #	L ₁	L ₂	L ₃	L ₄	L ₅	L ₆	L ₇	L₈	L ₉
1	4.8	1.5	9.3	10.5	20.8	6.5	21.6		5.5
2	4.8	1.6	9.5	10.5	20.4	6.7	27.4		5.4
3	4.8	1.6	9.4	10.4	20.6	6.2	27.4		5.2

測定値

全長. #.1 60mm
#.2 60.4mm
#.3 59.3mm } 2段長. 1.1mm の 2段. (全長)

	D ₁	D ₂	D ₃	D ₄	D ₅	D ₆	D ₇
#. 1	4.9	9.8	11.6	12.6	15.0	18.5	20.0
#. 2	5.0	9.9	12.4	12.1	15.0	18.6	20.2
#. 3	5.0	10.0	11.8	12.7	15.0	18.6	20.2

D₁₂ の 2倍,
(直径) (外径)

10/10 "主要書類の改めて、次会にての拠点④ラジト"

• 評議會議事録の資料

• 拠点会議資料 改定。

• PM 15:00 - 17:30

• ~~会員登録のため~~ → 選挙

• 周知ルート。(原稿用)

• 資料。

• ~~会員登録のため~~ → 選挙

① 知財状況の説明

主なところ、「日本は A. - 25 間連の知財取扱い、月差し」

ニセコ、公開化、自動化設備

{
- 伝送器、タービン。 - ニセコ化容易。
- 分離構造 - 女子経度の開拓が成功?
- 自動化設備ネット -

$$P_m = P + \frac{\beta^2}{2f_0} = \frac{\beta e^2}{2f_0}$$

0.0223

$\mu C_i / mg \cdot \mu A \cdot hr$

$100 \mu A \cdot hr$

$\mu C_i / mg \cdot$

$\mu C_i / C_i \cdot$

$37 \times 10^9 G B_{\text{g}}$

~~137 Ra~~

$10^{-6} \cdot 10^3$

$10^{-3} \cdot 100 \mu A \cdot 1 \text{ hr.}$

0.15

$0.0223 \times 10^{-6} C_i / mg \cdot \mu A \cdot hr$

$C_i = 37 \times 10^9 B_{\text{g}}$

$B_{\text{g}} / C_i = \frac{1}{37 \times 10^9}$

$0.0223 \times 10^{-6} \times 37 \times 10^9 B_{\text{g}} / mg \cdot \mu A \cdot hr$

$C_i = C_i / B_{\text{g}} = B_{\text{g}} = 37 \times 10^9 B_{\text{g}}$

$0.0223 \times 37 \times 10^3 B_{\text{g}} / mg \cdot \mu A \cdot hr$

$1 mg = 37 \times 10^9 B_{\text{g}} \times 10^{-3}$

$\frac{0.0223 \times 37 \times 10^3 + 37 \times 10^6}{37 \times 10^6} B_{\text{g}}(\text{Ac}) / [B_{\text{g}}(\text{Ra}) \cdot \mu A \cdot hr]$

$= 37 \times 10^6 B_{\text{g}}$
 $1 / 1 mg = \frac{1}{37 \times 10^6} \cdot \frac{1}{B_{\text{g}}}$

$= 0.0223 \times 10^{-3} B_{\text{g}}(\text{Ac}) / [B_{\text{g}}(\text{Ra}) \cdot \mu A \cdot hr]$

$= 2.23 \times 10^{-5} B_{\text{g}}(\text{Ac}) / [B_{\text{g}}(\text{Ra}) \cdot \mu A \cdot hr]$

e.g.) $100 \mu A \cdot 1 \text{ hr} \cdot 53 \text{ kBq Ra. } \rightarrow \frac{1}{100} \text{ s.}$

$$A = 2.23 \times 10^{-5} \cdot 53 \times 10^3 + 100 \approx + 1$$

$$= 0.199.$$

$$\sim 199$$

$$50 \text{ kBq} \sim 10^{-6} \text{ g.}$$

$$0.0223 \times 10^{-6} \cdot 10^{-6} + \frac{100}{37 \times 10^6} \cdot \frac{1}{10^3}$$

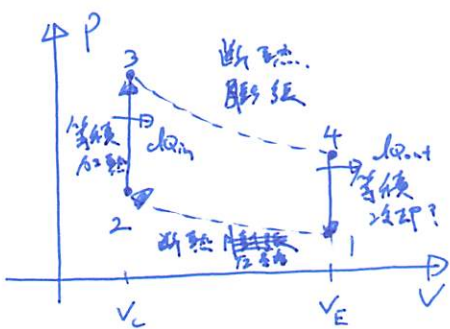
$$0.0223 \times 10^{-9} (\# C_i)$$

$$\sim 37 \times 0.0223 \times 10^{-9} + 10^9$$

\sim

$$\begin{aligned}
 \left[\frac{|\beta|^2}{2} \right]_{x_1}^{x_2} &= \frac{|\beta|^2}{2} \Big|_{t=x_2} - \frac{|\beta|^2}{2} \Big|_{t=x_1}, \\
 &= \frac{\mu_0}{\beta} P \Big|_{t=x_2} - \frac{\mu_0}{\beta} P \Big|_{t=x_1}, \\
 &= \frac{\mu_0}{\beta} \Delta P
 \end{aligned}
 \quad \left. \begin{array}{l} \beta \frac{|\beta|^2}{2\mu_0} = P \\ \frac{|\beta|^2}{2} = \frac{\mu_0}{\beta} P \end{array} \right\}$$

④ 热力学工程图



• 等温过程 (等温过程)

$$dW = 0, \quad dW_{23} = dW_{41} = 0.$$

• 断热过程,

$$dW = dW_{12} + dW_{34}$$

$$dW_{12} = \frac{P_1 V_1}{\gamma - 1} \left[1 - \left(\frac{V_1}{V_2} \right)^{\gamma-1} \right]$$

$$dW_{34} = \frac{P_3 V_3}{\gamma - 1} \left[1 - \left(\frac{V_3}{V_4} \right)^{\gamma-1} \right]$$

$$\therefore dW = \frac{1}{\gamma - 1} \left[P_1 V_1 \left\{ 1 - \left(\frac{V_1}{V_2} \right)^{\gamma-1} \right\} + P_3 V_3 \left\{ 1 - \left(\frac{V_3}{V_4} \right)^{\gamma-1} \right\} \right]$$

$$V_1 = V_4 = V_E, \quad V_2 = V_3 = V_C \quad \text{且}, \quad \varepsilon = V_E / V_C \rightarrow \varepsilon,$$

$$dW = \frac{1}{\gamma - 1} \left[P_1 V_E \left\{ 1 - \left(\frac{V_E}{V_C} \right)^{\gamma-1} \right\} + P_3 V_C \left\{ 1 - \left(\frac{V_C}{V_E} \right)^{\gamma-1} \right\} \right]$$

$$= \frac{1}{\gamma - 1} \left[P_1 V_E (1 - \varepsilon^{\gamma-1}) + P_3 V_C (1 - \varepsilon^{-(\gamma-1)}) \right]$$

$$\begin{aligned} &= \frac{P_3 V_C}{\gamma - 1} \left[\frac{P_1}{P_3} \frac{V_E}{V_C} (1 - \varepsilon^{\gamma-1}) + (1 - \varepsilon^{-(\gamma-1)}) \right] \\ &= \frac{P_3 V_C}{\gamma - 1} \left[\varepsilon \frac{P_1}{P_3} (1 - \varepsilon^{\gamma-1}) + (1 - \varepsilon^{-(\gamma-1)}) \right] \end{aligned}$$

$$1 - \frac{1}{\varepsilon^{\gamma-1}} = \frac{\varepsilon^{\gamma-1} - 1}{\varepsilon^{\gamma-1}}$$

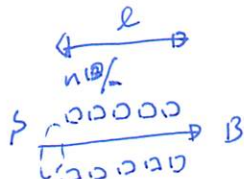
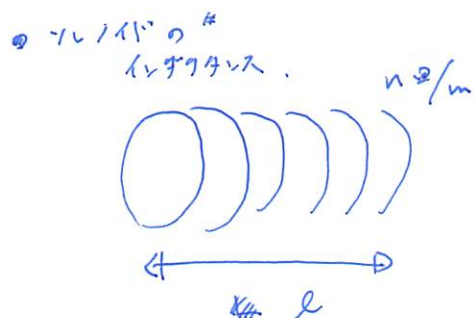
$$= \frac{1}{\gamma - 1} \left[P_1 V_E (1 - \varepsilon^{\gamma-1}) + P_3 V_C (-1) \frac{1}{\varepsilon^{\gamma-1}} (1 - \varepsilon^{\gamma-1}) \right] = - \frac{1}{\varepsilon^{\gamma-1}} (1 - \varepsilon^{\gamma-1})$$

$$= \frac{1}{\gamma - 1} \left[(P_1 V_E - P_3 V_C \frac{1}{\varepsilon^{\gamma-1}}) (1 - \varepsilon^{\gamma-1}) \right]$$

$$= \frac{1}{\gamma - 1} (1 - \varepsilon^{\gamma-1}) \left[\right]$$

② 磁場の評価.

$$\eta = \frac{\mu_0 N^2 \beta_{coil}^2 (f_{rep} T_{FRC})}{L \beta V}$$



$$\oint_C B \cdot d\ell = \mu_0 \int_S \vec{J} \cdot \vec{ds}$$

$$B l = \mu_0 n l \cdot NI$$

$$\beta = \mu_0 n^2 l I$$

$$L = \frac{\Phi}{I} = \mu_0 n^2 l S$$

$$N = n l \quad \square$$

$$L = \mu_0 N^2 / l$$

$$\begin{aligned} \eta &= \frac{\mu_0 N^2 \beta_{coil}^2 (f_{rep} T_{FRC})}{\mu_0 N^2 \beta_{coil} / l - \beta V_{plasma}} \\ &= \frac{\beta_{coil} \cdot l}{V_{plasma}} \cdot \frac{1}{\beta} \cdot (f_{rep} T_{FRC}) \\ &= \frac{V_{coil}}{V_{plasma}} \cdot \frac{1}{\beta} (f_{rep} T_{FRC}) \end{aligned}$$

\Rightarrow 壁への衝突によるエネルギー損失 (摩擦耗散).

高効率化はどこ?

$$\overline{P}_{coil} = - \frac{\mu_0 N^2 \beta_{coil}^2}{L \beta} P_{Fns} T_{FRC}$$

取引出力.

$$\cancel{P_{coil} V} \quad \overline{P}_{coil} f_{rep} = P_{coil} V_{coil} = \overline{P}_{coil}^0 A$$

$$\eta = \left| \frac{P_{coil} V_{coil}}{(P_{Fns} \cdot V_{plasma})} \right| = \frac{\overline{P}_{coil} f_{rep}}{(P_{Fns} V_{plasma})} = \frac{\mu_0 N^2 \beta_{coil}^2 T_{FRC} f_{rep}}{L \beta V_{plasma}}$$

$\otimes \quad 2\pi R \sim \text{管壁}. \quad \pi (0.15)^2 \cdot 1m.$

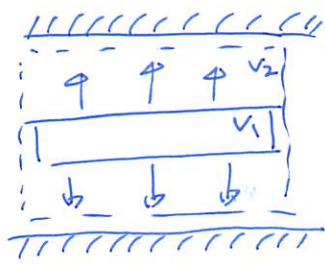
$$\eta = \frac{V_{coil}}{V_{plasma}} \frac{1}{\beta} (f_{rep} T_{FRC})$$

\nwarrow
左端距離. $\pi (0.05)^2 \cdot 1m$

$MV = \cancel{F}$

热力学的推导

$$dW = \int_{V_1}^{V_2} P dV = \cancel{\int_{V_1}^{V_2}}$$



$$dV = dQ + dW$$

Poisson's law.

$$P V^\gamma = C \quad \Rightarrow \quad P = C V^{-\gamma}$$

$$\begin{aligned} dW &= \int_{V_1}^{V_2} C V^{-\gamma} dV \\ &= C \frac{1}{1-\gamma} \left[V^{1-\gamma} \right]_{V_1}^{V_2} \\ &= \frac{C}{1-\gamma} \left[V^{1-\gamma} \right]_{V_1}^{V_2} \end{aligned}$$

$$\text{e.g. } f = f_1 \dots f_n, \quad P = P|_{f=f_1} V|_{f=f_1}^{\gamma} = P_1 V_1^\gamma - C.$$

$$\begin{aligned} dW &= \frac{P_1 V_1^\gamma}{1-\gamma} \left[V^{1-\gamma} \right]_{V_1}^{V_2} \\ &= \frac{P_1 V_1^\gamma}{1-\gamma} \left(V_2^{1-\gamma} - V_1^{1-\gamma} \right) \\ &= \frac{P_1 V_1^\gamma V_1^{1-\gamma}}{1-\gamma} \left(1 - \left(\frac{V_2}{V_1} \right)^{1-\gamma} \right) \quad \left(\left(\frac{V_2}{V_1} \right)^{1-\gamma} - 1 \right) \\ &= \frac{P_1 V_1}{\gamma-1} \left[1 - \left(\frac{V_1}{V_2} \right)^{\gamma-1} \right] \end{aligned}$$

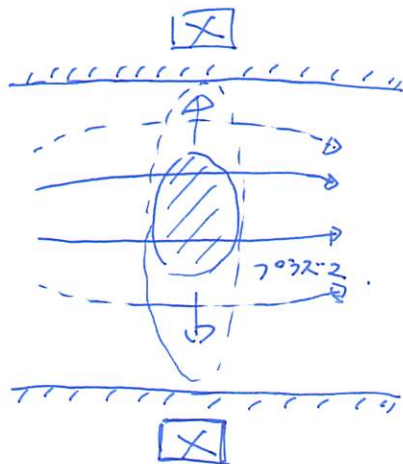
* 2D ($f=2$, $\gamma = \frac{f+2}{f} = 2$) case,

$$\begin{aligned} dW &= \frac{P_1 V_1 \cancel{V^\gamma}}{-1} \left[1 - \left(\frac{V_2}{V_1} \right)^{1-\gamma} \right] \left[\left(\frac{V_2}{V_1} \right)^{1-\gamma} - 1 \right] \\ &= - P_1 V_1 \left[1 - \frac{V_1}{V_2} \right] \left[\left(\frac{V_2}{V_1} \right)^{-1} - 1 \right] \\ &= + P_1 V_1 \left[1 - \left(\frac{V_1}{V_2} \right) \right] \end{aligned}$$

* 3D ($f=3$, $\gamma = \frac{5}{3}$) case,

$$\begin{aligned} dW &= \frac{P_1 V_1}{-\frac{2}{3}} \left(\left(\frac{V_2}{V_1} \right)^{-\frac{2}{3}} - 1 \right) \\ &= \frac{3}{2} P_1 V_1 \left[1 - \left(\frac{V_1}{V_2} \right)^{\frac{2}{3}} \right] \end{aligned}$$

核融合エネルギー発生、



核融合熱出力 P_{Fus}

基本式

$$\nabla = -N \frac{d\Phi}{dt}$$

$$\beta = \frac{P}{[B^2/2\mu_0]}$$

$$LI = N \bar{\Phi}$$

$$\bar{\Phi} = B S_{coil}$$

$$V = -N \frac{d\bar{\Phi}}{dt} = -N S_{coil} \frac{d\beta}{dt}$$

$$I = \frac{N \bar{\Phi}}{L} = \frac{N S_{coil}}{L} B$$

$$P_{coil} = V I = -N^2 S_{coil}^2 \cdot \frac{1}{L} B \frac{d\beta}{dt}$$

$$U_{coil} = \int_{t_1}^{t_2} P_{coil} dt = -\frac{N^2 S_{coil}^2}{L} \int_{\beta_1}^{\beta_2} B \frac{d\beta}{dt} dt = -\frac{N^2 S_{coil}^2}{L} \int_{\beta_1}^{\beta_2} \frac{1}{2} \left[\frac{|B|^2}{2\mu_0} \right] dt$$

$$= -\frac{N^2 S_{coil}^2}{L} \left[\frac{|B|^2}{2\mu_0} \right]_{\beta_1}^{\beta_2} = -\frac{\mu_0 N^2 S_{coil}^2}{L B} \left[B \left(\frac{|B|^2}{2\mu_0} \right) \right]_{\beta_1}^{\beta_2}$$

$$= -\frac{\mu_0 N^2 S_{coil}^2}{L B} [p]_{\beta_1}^{\beta_2}$$

$$\Delta U = \frac{p dV}{=0} + V dp$$

$$= V \frac{dp}{plasma} = dQ = P_{Fus} \cdot dt \cdot V_{plasma} \quad \therefore dp = P_{Fus} \cdot dt$$

$$[p]_{\beta_1}^{\beta_2} = P_{Fus} \cdot (\beta_2 - \beta_1) = P_{Fus} \cdot T_{FRC}$$

Hz

$$U_{coil} = -\frac{\mu_0 N^2 S_{coil}^2}{L B} P_{Fus} \cdot T_{FRC} \quad [\text{J/pulse}]$$

総括電流 I_{coil} を考慮し、取扱いを簡略化する。 $P_{coil} = I_{coil} \cdot f_{rep} / V_{plasma}$

$$P_{coil} = -\frac{\mu_0 N^2 S_{coil}^2 (f_{rep} T_{FRC})}{L B V_{plasma}} P_{Fus} \Rightarrow \eta \equiv \left| \frac{P_{coil}}{P_{Fus}} \right| = +\frac{\mu_0 N^2 S_{coil}^2 (f_{rep} T_{FRC})}{L B V_{plasma}}$$

効率 η

$$pV^\gamma = \text{const.} \quad (\text{Poisson の式})$$

$$\left\{ \begin{array}{l} n \cancel{\times} = \frac{N}{V} \rightarrow V = \frac{N}{n} \\ p = n k_B T \end{array} \right.$$

$$(n k_B T) \cdot \left(\frac{N}{n}\right)^\gamma = \text{const.}$$

$$T \cdot N^{1-\gamma} = \text{const.}$$

$$\therefore T = C_1 N^{\gamma-1}$$

1/2 軸の圧縮の場合、($f=2, \gamma = \frac{f+2}{f} = 2$)

$$T = C_1 n$$

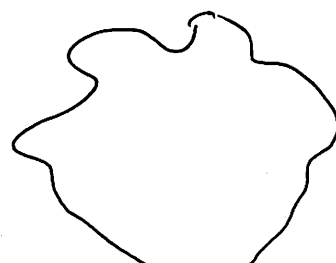
1/3 軸の圧縮の場合、($f=3, \gamma = \frac{f+2}{f} = \frac{5}{3}$)

$$T = C_1 n^{\frac{2}{3}}$$

断熱圧縮 $\alpha = 2 - 1 = 1$

$$\frac{d}{dt} \ln \frac{p}{T} = \frac{B + \nabla P}{|B|^2}$$

$$\left\{ \begin{array}{l} U = \\ \quad \overbrace{Q}^{1/m_2} + \overbrace{W}^{1/m_2} \end{array} \right.$$



③ 耐熱性

三者：

→ 从下到上耐熱性增加

$$5 \times 10^6 \times 3600 \text{ s}$$

$$(8 \times 10^{10} \text{ cGy/h})$$

④ Newton 漲却率

$$\dot{Q} = h A (T_{\infty} - T_{\infty})^{\alpha} \quad T_{\infty} = 300 \text{ K}$$

$$T_{\infty} \sim 330 \text{ K}$$

$$\Delta T = 30 \text{ K}$$

$$\dot{Q} = h A \Delta T$$

$$D = 2R$$

$$A = (2\pi R) \cdot L = \pi D \cdot L$$

$$L \sim 2 \text{ mm}$$

$$h =$$

$$h = \frac{\lambda}{Pr} \left[C(Re) Re^{m(Re)} Pr^{\frac{1}{3}} \right]$$

$$Re = UD_{\infty} / \nu$$

$$Pr \sim 0.7$$

8/27

* 23行 - 作成 + 解析 \Rightarrow 良い發表資料. 18:30 12江原和子さん* 23行 - 作成 $(10\% \times 6) + 2$ = 時間制限下の作成.

室間に有る問題を、一人で作成.

* 必要性.

 $\left\{ \begin{array}{l} \text{- x-y 位置計測問題.} \\ \text{- 70072111 で 712 重ね合わせ性能.} \end{array} \right.$
 \rightarrow x-y 形状 (x-ray-profile)

$FWHM \sim 5\text{mm}$
 target 径 $\sim 3\text{mm}$) \rightarrow ~~x-ray~~ 強度, センターリ位置.
 $\pm 1\text{mm}$ 程度のズレが許可

軸精度 $\rightarrow \sim 0.1\text{mm}$ たりで、ガラス管公差 $\pm 0.5\text{mm}$ は±3%
 $\rightarrow 1\text{mm}$ 程度の 70072111 の分解能.

* 防放射性.

* 熱.

* 大気中の計測.

* (コンバ-7 通過後) + (

$$\begin{aligned} P &= 222\mu\text{A} \times 45\text{mV} \\ &= 9.99 \times 10^{-3} \times 10^6 \\ &= 9.99 \times 10^6 \\ &\sim 10\text{mW} \end{aligned}$$

3μs, ~ 300 pps.

900μs / 1s.

 $\sim 0.09\%$ duty.

* 光発射子、光吸收子 = 2

構造

 \rightarrow 位置駆動機構、 \rightarrow 3D CAD \rightarrow 断面図.

9.6W / 45 mV

$$\frac{9.6 \times 10^3}{45 \times 10^6}$$

$$9.6\text{W} / 9 \times 10^{-4} \quad 1/5 \times 10^{-3}$$

10 mW

0.2 mA

$$200\mu\text{A} / \frac{1}{900\mu\text{s}}$$

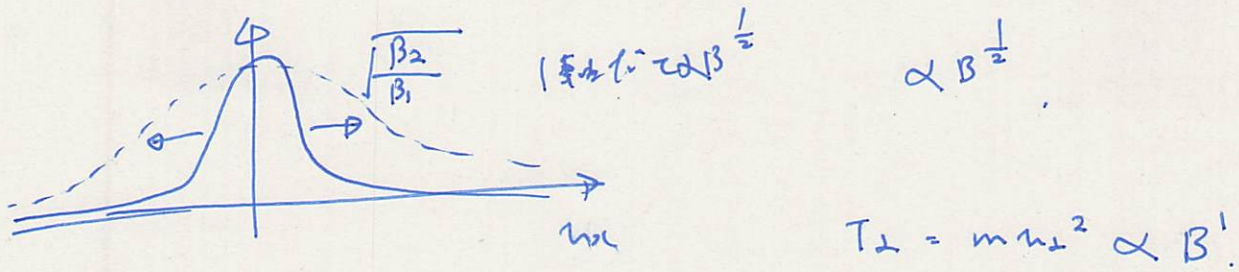
$$\begin{aligned} Q &= 900\mu\text{s} \times I_{peak} \\ &= 200\mu\text{A} \times 1\text{s}. \end{aligned}$$

$$\begin{aligned} I_{peak} &= \frac{200\mu\text{A} + 1\text{s}}{900\mu\text{s}} \\ &= \frac{2}{9} = 0.222\ldots \text{A} \\ &222\text{mA} \end{aligned}$$

測定値の

* 42-9. \rightarrow 四象の整理

• 在磁場作用下流動。



$$T \propto V^{-1}$$

$$T \propto B^1$$

$$\therefore B \propto V^{-1} \quad \text{or} \quad V \propto B^{-1}$$

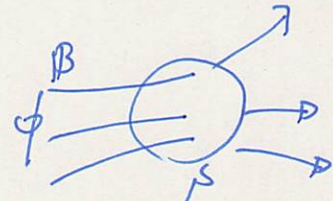
$$\frac{N}{n} \propto B^{-1} \quad \therefore n^{-1} \propto B^{-1}$$

$$n \propto B$$

$$B = \phi/s$$

$$n \propto \phi/s$$

$$N/V \propto \phi/s$$



- ⇒ 單道 MHD ... 由 Maxwell 方程和物理量 ...
- shock wave?
 - Fermi Acc.?
 - 非平衡 热力学和 ??

除
④ 液即水の 熱、容積

$$\begin{aligned}
 Q &= CDT \\
 &= CP \cancel{\frac{DT}{T}} \\
 &= \rho c Q \Delta T dt \\
 &= 9.97 \text{ kJ/m}^3 \times 4.2 \frac{\text{J}}{\text{kg} \cdot \text{K}} \times 20 \text{ L/min} \times \frac{10^{-3} \text{ m}^3/\text{L}}{60 \text{ s/min}} \times 10 \text{ K} \times 1 \text{ s} \\
 &=
 \end{aligned}$$

$$\phi 5 \text{ mm} \times 10 \text{ mm} = 2 \times 3.14 \times \frac{5}{2} \text{ mm}^{10 \text{ mm}}$$

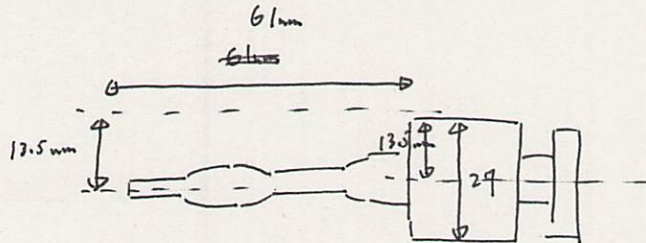
$$S = 1.57 \times 10^{-4} \text{ m}^2$$

2-1

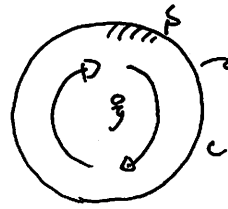
$$\begin{aligned}
 \frac{\pi r^2}{4} &= 3.14 \times \frac{25}{4} \times 10^{-6} \\
 &= 19.625 \times 10^{-6} \\
 &\approx 20 \times 10^{-6}
 \end{aligned}$$

$$\frac{1.60 \times 10^{-4}}{5.48 \times 10^{-4}} + \frac{3.84 \times 10^{-4}}{5.48 \times 10^{-4}}$$

⑤ 構造の天然性質



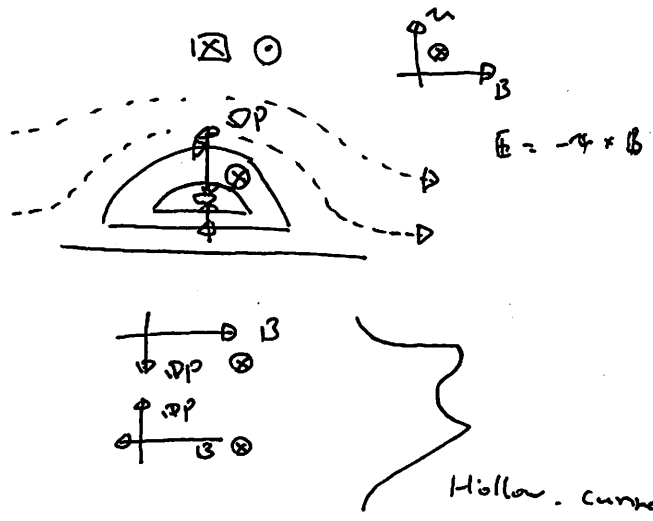
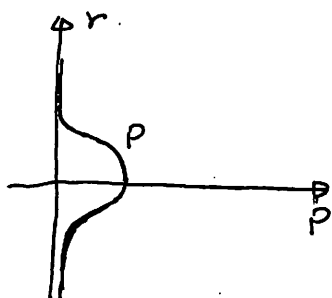
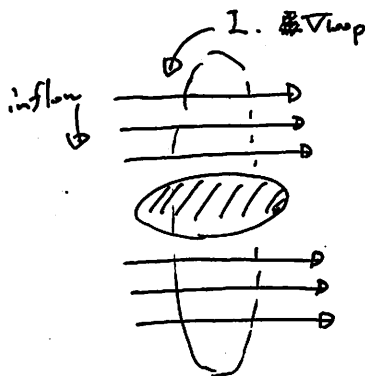
- 9/20. L-457. "実用的印刷の実習."
 - Corel Draw 2. 実用的実習 2 3.
 - 数値上の実験と実用法の一貫化確認。
(7-9)
 - 印刷用 700 × 300 mm, 横・全幅 A4 可能な場合。
 - { 横 210 mm
 - Corel Draw. [] フレーム可能。
 - ページ数 1~4 用紙 100 × 90. 単位設定可。
 - inch ~ mm ~ 美文可。
- 4/5 実習で Corel Draw 2 の実習 2 3.



$$\nabla \times B = -\frac{\partial B}{\partial t}$$

$$\oint_B (\nabla \times B) \cdot d\ell = \int_C B \cdot d\ell = -\frac{\partial}{\partial x} \int_S B \cdot n \, ds = -\frac{\partial}{\partial x} \int_S B \cdot n \, ds$$

⇒ 磁場は誘起で？？



* 反磁性電流

⇒ 反転磁場の生成方向

* コイル電流

$$\nabla \times E = -\frac{\partial B}{\partial t} \quad t_{\text{固定}}$$

レントの法則 ⇒ Θ

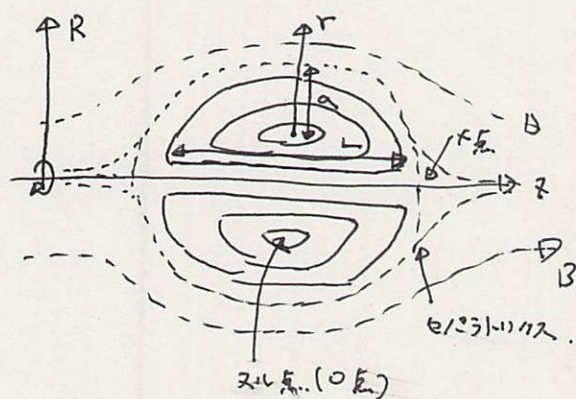
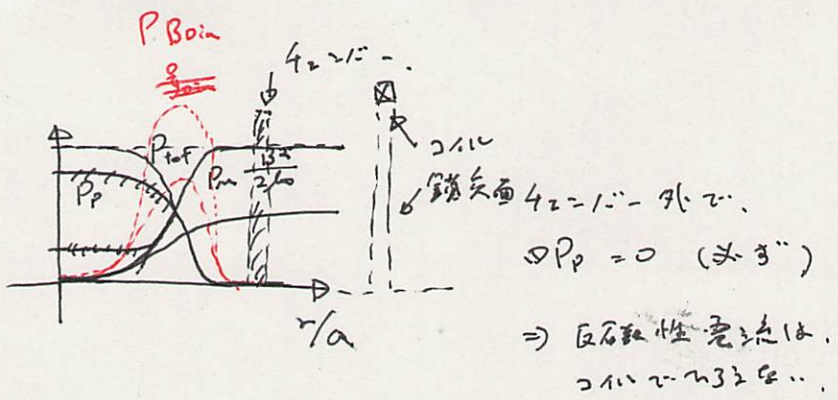
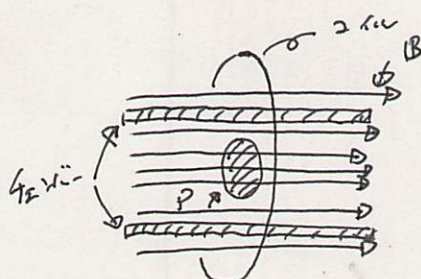
コイルと反転磁場は逆向き。

反磁性電流は、コイルと逆。

$$E = -v \times B \text{ は。}$$

コイルと同方向に電場を作った。

• ポラススの発電方式.



$$E = L/a \quad (\text{タラヨユビ})$$

r : 小半径方向. (ポラススの磁気渦中心)
(O点)

R : (円筒座標の) 半径方向.

• 反磁性電流.

$$\nabla P = \vec{\jmath} \times \vec{B} \quad (\text{MHD 平衡の式})$$

$$\therefore \vec{B} \times \nabla P = \vec{B} \times (\vec{\jmath} \times \vec{B}) = |\vec{B}|^2 \vec{\jmath} - (\vec{B} \cdot \vec{\jmath}) \vec{B}$$

~~式を代入~~

$$\Rightarrow \vec{\jmath}_{\text{Din}} = \vec{\jmath}_\perp = \frac{\vec{B} + \nabla P}{|\vec{B}|^2}$$

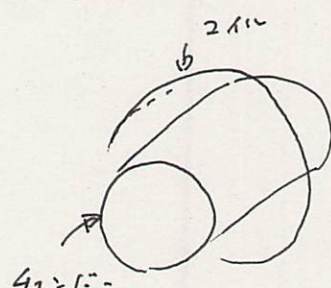
$$\therefore \vec{\jmath}_{\text{Din}} = \frac{\vec{B} + \nabla P}{|\vec{B}|^2}$$

$$\vec{\jmath} = \vec{\jmath}_\parallel + \vec{\jmath}_\perp$$

$$\vec{\jmath}_\parallel = \vec{B}/|\vec{B}|$$

$$\Rightarrow \vec{\jmath}_{\text{Din}} = \vec{\jmath}_\perp = 0 \quad (\because P_p = 0)$$

$$\therefore \vec{\jmath}_{\text{Din}} = 0$$

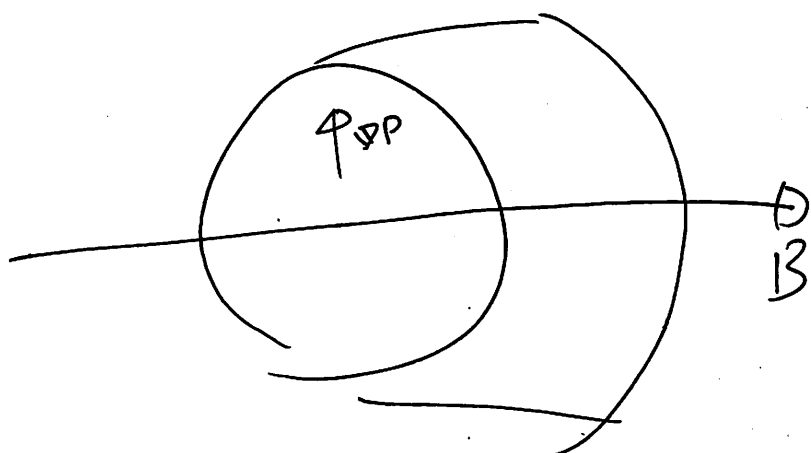
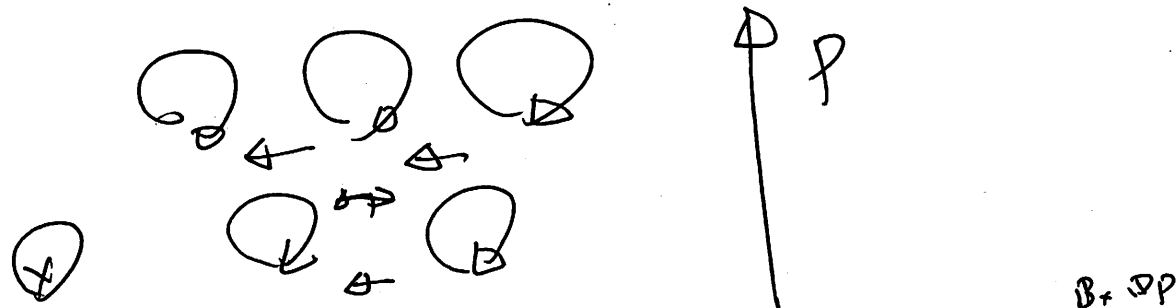


電流連続. $\frac{\partial P_c}{\partial t} + \nabla \cdot \vec{\jmath} = 0$

$$\nabla \cdot \vec{\jmath} = 0$$

反磁性電流 $\vec{\jmath}_{\text{Din}}$ $\nabla \cdot \vec{\jmath}_{\text{Din}} = 0$

- * 222-252°
(5 km depth)
- + $v = v_{\text{f}} \text{ in Sunda Trench}$. (\rightarrow 僅解於南中國海)
- + 1 week. $\rightarrow NDI \rightarrow 10 \text{ Hz}$.



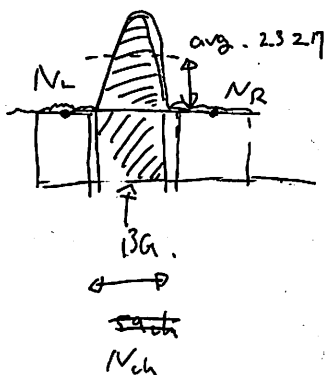
9/19 10:00. "全海區地震觀測".

- ~~海區地震觀測~~
- 13:12 \rightarrow 13:15 (3分)
 - 震央大. 南北. (M6.2)
 - 震央大. 2315 (M6.2). (理論推算)
 - 13:13 PCO 訊息. (18:00)
- \rightarrow 13:15
- \rightarrow 13:15
- \rightarrow 13:15
- $\left. \begin{array}{l} - \\ - \end{array} \right\} - \text{震央} = 3.6 \text{ 公里.}$

- エネルギーの密度修正

$C_0 - 56$ の修正

		値 (GeV)	放出率
$C_0 - 56$	846.8 GeV	98.76	100
	1238.3 GeV	9.916	66.5
	1971.4 GeV	2.327	
		合計 1280.9321 平均 4.9163	15.42
$C_0 - 7$ の τ_{cut} は 2.327 である。 $C_0 - 3$ は $\left\{ \begin{array}{l} \text{値 } E \text{ avg. } 2.13 \\ \text{値 } E \text{ avg. } 3.04 \end{array} \right\}$			



$$(\text{放熱}) = N_{\text{ch}} \times (N_L + R_R) + \frac{1}{2}$$

=

$$\begin{aligned} 1971.4 \text{ GeV} &\Rightarrow \epsilon^0 - 7, \text{ avg. } 2.327, \\ 1238.3 \text{ GeV} &\Rightarrow \epsilon^0 - 7, \text{ avg. } 9.916 \\ 846.8 \text{ GeV} &\Rightarrow \epsilon^0 - 7, \text{ avg. } 98.76 \end{aligned}$$

$$\begin{array}{lll} N_0 - 56 & 811 \text{ GeV} & \text{avg. } 127.814 \\ & 158 \text{ GeV} & \text{avg. } 1178.75 \end{array}$$

$$811 \text{ GeV} / 846.8 \text{ GeV} \approx 1 - \epsilon^0 - 7 \text{ の } \frac{1}{2}$$

$$\left\{ \begin{array}{ll} 158 \text{ GeV} & - 1.22 \\ 811 \text{ GeV} & - 1.0 \\ 846 \text{ GeV} & - 1.0 \\ 1238.3 \text{ GeV} & - 0.32 \\ 1971.4 \text{ GeV} & - 0.28 \end{array} \right.$$

のエネルギー-密度の変化。

- エネルギー-密度の逆数を t とし、放出率 $\sim t^{-2.8}$ と、 γ 線の倍率強度を T_0 。
- 放出係数の逆数を t とし、 B_γ 数 (rel.int.) は直角。
- 核種毎の存在比は直角 (r_1, r_2, \dots)

$$\rightarrow P(t) = P_0 \left[r_1 \cdot t^{-\frac{2}{T_{12}-1}} + r_2 \cdot t^{-\frac{2}{T_{12}-2}} + \dots \right]$$

$$t = 400 \text{ h}^{-2} \quad P(t=400 \text{ h}^{-2}) = 14 \mu \text{s}^{-1} / \text{h} \cdot \text{sr}. \quad P_0 \approx 10^{-3}.$$

$$P(t) = P_0 [\dots] \quad \text{が導出完了}.$$

② 次第案

- 12月 2ヶ月後....

- 薬業 ○ 3ヶ月
- 廉価化によるコスト削減 ⇒ 12月 1ヶ月後

- 下期使用予定調整

- 特許 ~~登録~~ 2ヶ月後成り合意

⇒ 10月 ??

~~付帯料~~

④ ~~付帯料~~

Empolition の特徴

Ac²²¹ 防護用 Bf-1 (図)

(定量性)

~~付帯料を含む~~ (2)

~~後発社~~

~~全の手配~~

・ 全の販賣方法の要素。

・ 総量計算。

・ 12ヶ月 (6ヶ月)

・ 基本料 + 2種類

・ Empolition

・ Bf-1 + 2種類

• PDR 22-2.

• Novartis

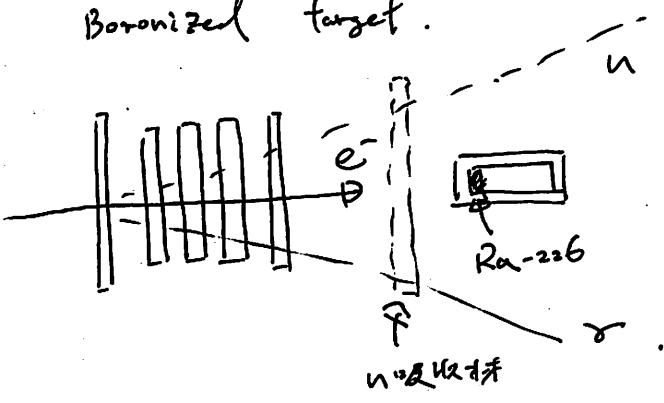
• Bayer

• Teltix

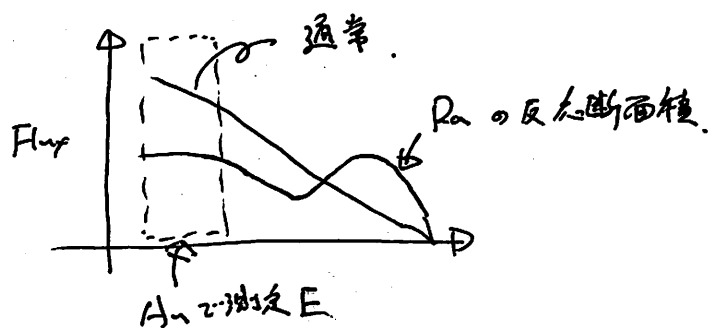
• Lantheus

• Curium

Boronized target.



nとRa-226



- R_n : 高い高エネルギー感度有り。
- A_n : 低エネルギー測定困難。
- 反応特性が相似。 $\tau_{\text{反応}} \approx 10^{-23}$
- A_n^{197} の反応と R_n^{201} の生成は
23のは難い。

n = 吸収材。 (B-PE)

(反射材 $\rightarrow ?$)

全部

高Eの中性子を吸収しない。 \rightarrow 通過。

減速剤を組み合おう。

9/1 (2) "矽酸鹽正離子"

Figure 2 矽酸鹽離子

◎ 矽酸鹽正離子。

- 莫氏硬度
- 密度
- 結晶性
- 固溶性
- 溶解度
- 物理性質
- Figure 8.9 計算
- Figure 10 計算
- Figure 11 計算 (優化值)
- R₄²⁺ 离子半徑
- 半徑比值
- 4.6 fm 為何此數值
- 後置之數值見圖
- Figure 2 矽酸鹽離子
- Figure 14 計算
- 距離之半徑記
- 文章 (矽酸鹽離子)
- 溶解性質

$$P = n \times k_B T$$

$10^{21} / \text{m}^3$ 100 keV

$$\sim 16 \text{ MPa} = 3 / \text{m}^3$$

$$16 \times 10^6 = \text{N/m}^2$$

$$16 \times 10^9 \text{ N/s/m}^2$$

$$16 \times 10^9 \text{ J/m}^3 \times 1/\text{s}$$

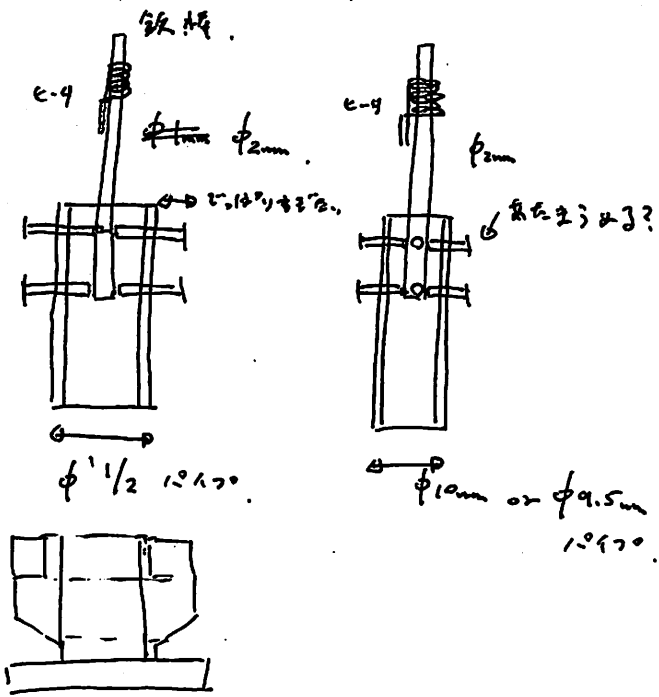
$$\pi r^2 = \frac{\pi D^2}{4} = \frac{\pi \times 0.5^2}{4} = 0.196 \times 10^{-9}$$
$$\sim 0.09 \times 1\text{m}$$

$$\nabla \sim 0.1 \text{ m}^3$$

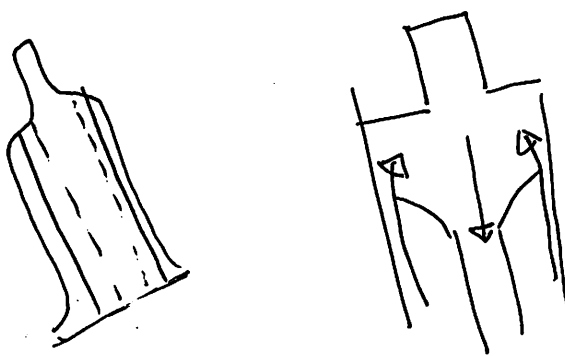
$$16 \times 10^8 \text{ [W]}$$

$$160 \text{ MW}$$

$$D_L = 0.5 \text{ m}$$
$$D_L = 0.5 \text{ m}$$
$$S = \pi D \times L = 0.1965$$



$1/2 VCR 4\% \text{ to } 2.0$



	π^+ -强度	π^- 强度	效率
$Co - 58 - 811 \text{ GeV}$	1	$127.514 / 1.0$ = 127.514	99.4 128.28
$Co - 57 - 122.1 \text{ GeV}$	1.22 (NN)	$0.890.4 / 1.22$ = 824	65.6 $962.7.3$
$Co - 56 - 123.8 \text{ GeV}$	0.32	$16.86 / 0.32$ = 52.68	66.5 179.22
$Cr - 51 - 320 \text{ GeV}$	1.167	$2334.9 / 1.167$ = 2000.111	100 2000.111
$Mn - 54$	834.8	1.0	$18.16 / 1.0$ = 18.16
			100 18.16

- 0.22

$$\frac{\overline{824}}{662} \quad r_{close}$$

* 短半減期核種, \rightarrow 效率, 修正, $n^{18.16}$, 修正.
 \rightarrow 遮蔽.

* $\gamma\gamma - \gamma\gamma$ 計算方法, 改善.
 \rightarrow

量子研究室, 一推進室.

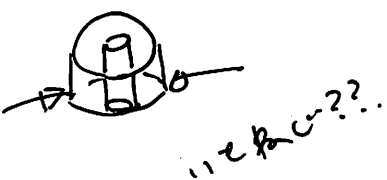
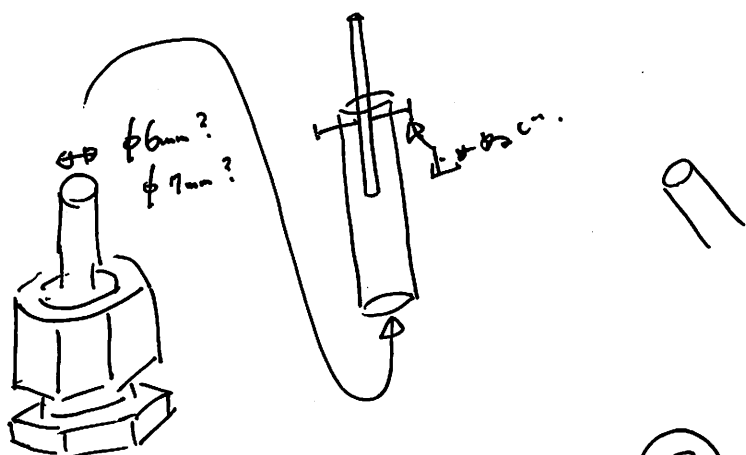
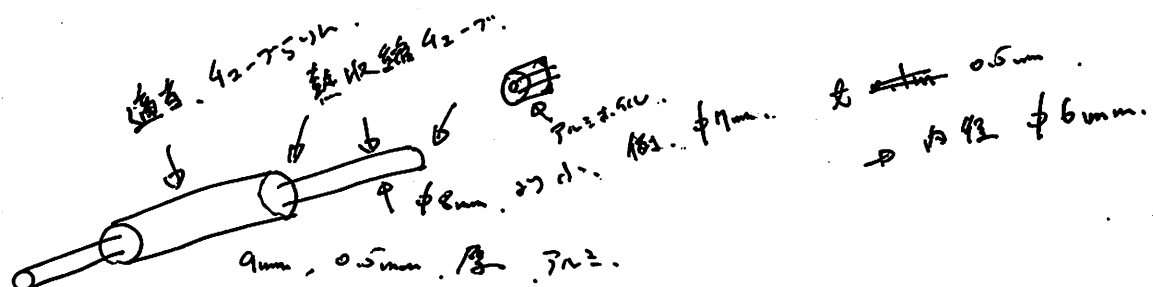
($\gamma - \gamma$) -

* 温度 4_2 の構成。2-3-36

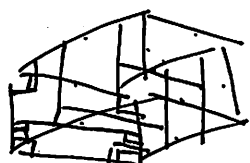
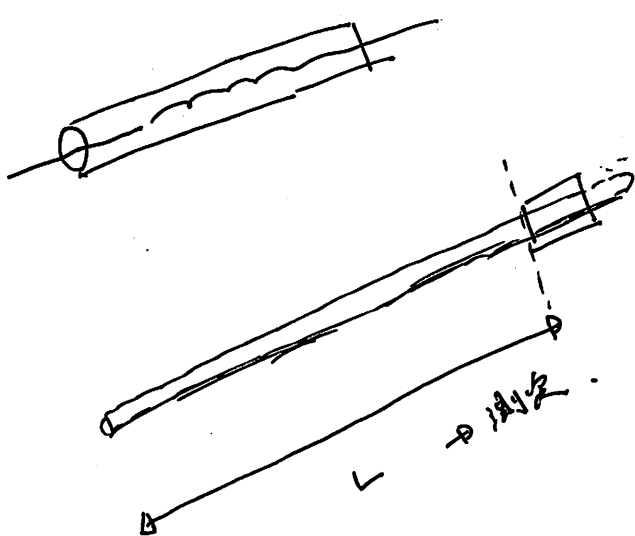
- ・ 一点、接着。 $(1\text{mm} \pm 2)$ etc.

- ・ 複外線管 $85\text{mm} \sim 90\text{mm}$

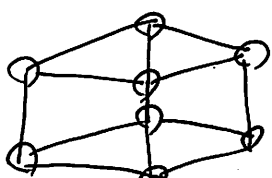
$\rightarrow 90\text{mm} \sim 2\text{mm} ??$.



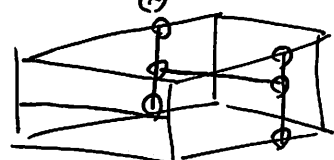
$\text{PIL} = 7L - 4$.



16点。



$$8点 + 2点 = 16点。$$



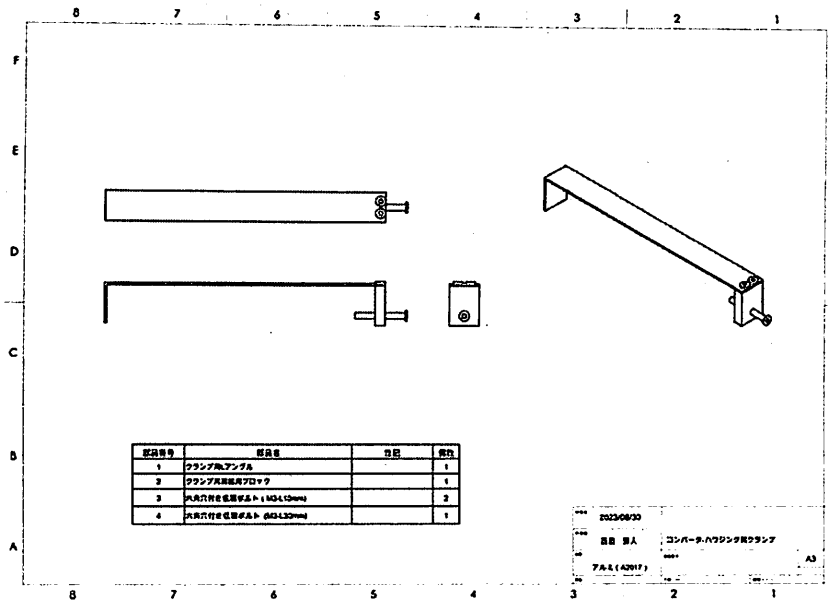
$$1点 + 2点 = 3点。$$

$$6点 = 8点。$$

$$\text{total } 24点$$

1. ハウジング-コンバータ締結用 コノ字型クランプ

HITACHI
Inspire the Next

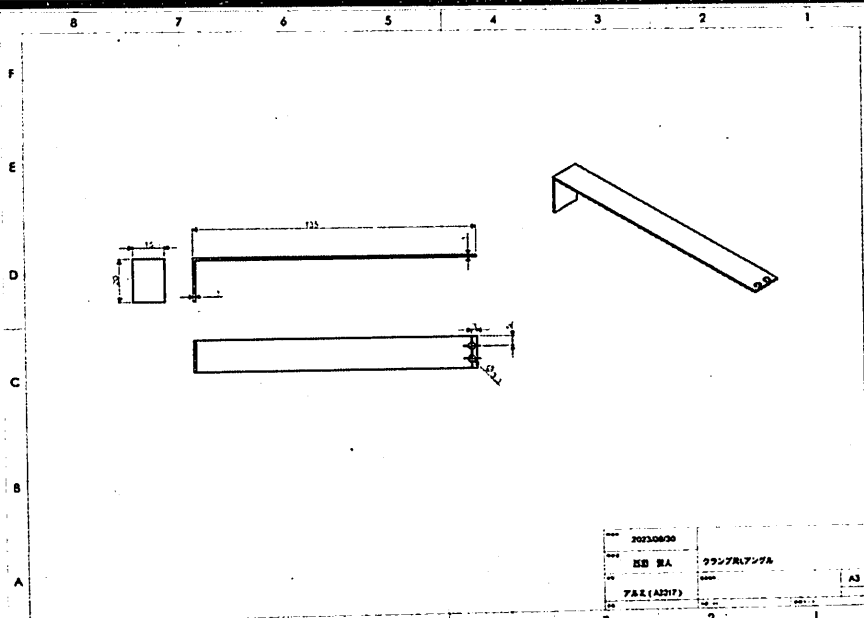


© Hitachi, Ltd. 2023. All rights reserved.

2

1-(i). ハウジング-コンバータ締結用 コノ字型クランプ(L字部分)

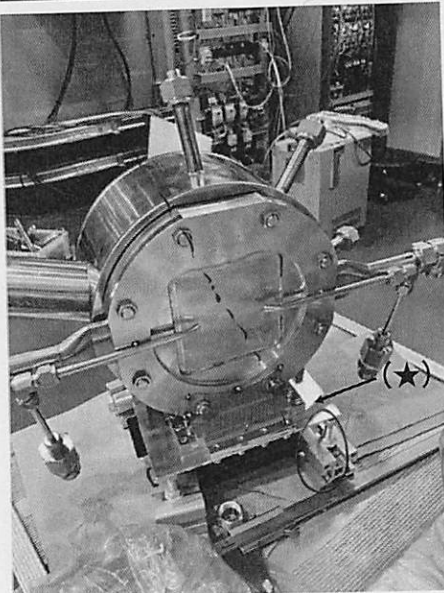
HITACHI
Inspire the Next



© Hitachi, Ltd. 2023. All rights reserved.

3

3. 土台のアルミ板



(★)のパーツの改良版を再度製作いただきたい

課題点

- 重心がコンバータに寄っており、コンバータ側に垂れてしまい、一体としたときに静止しない
- ラボジヤッキの長さが固定できない
- ラボジヤッキの角度が一定とならない
(取っ手のねじを締めた後も固定されない)

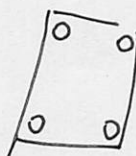
改良点

- (★) パーツの4隅にボルト穴(M8)程度を切って、ボルトを通して突っ張る
- 現状の板厚はうすいため、板厚を10mm程度へ

現状の(★)パーツの図面をいただきたい

© Hitachi, Ltd. 2023. All rights reserved.

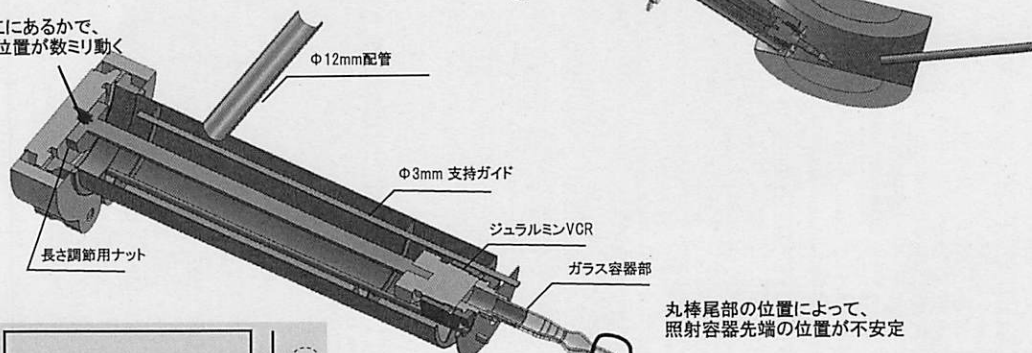
6



4.5 照射容器位置の固定

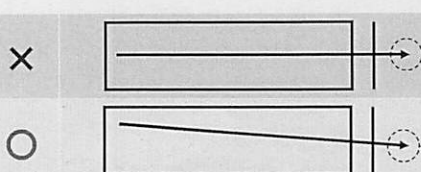
【課題】丸棒の中心が、ブランク法兰ジ中央に来るよう配置しても照射容器先端が、ビーム軸上には来ていなかった

丸棒の尾部がどこにあるかで、照射容器先端の位置が数ミリ動く



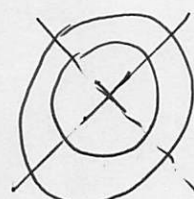
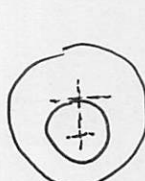
丸棒尾部の位置によって、照射容器先端の位置が不安定

ブランク法兰ジと丸棒尾部の位置関係を固定したい
→ ブランク法兰ジに多数の溝
→ 丸棒の尾部を溝にはまるように



© Hitachi, Ltd. 2023. All rights reserved.

7



④ びんを使用するか

→

溶液保管か?

→

{ 強酸、 H_2SO_4 など、(KM?)
- 保管状態は?

→ どう入るか、基底の変換をいつか。

2ml L.

→ 内部? yes.

* H₂SO₄ 極性。

④ 金

20-23 g 不在。

19-24 g 有り。

25- の通りなし。

(n. 再定量なし)

→ 容器 - 重り - 分離で取扱。

⑤ 漂液は、(2-入る、乾燥)

→ まず漂液、容器に入り、その後測定。

測定後、→ 容器に入れる。

(100% 37-83% のが)

→ 何か違うか。

体積線源、n分子。

→ 100% BGK-LC、主に操作手。

→ その定量は、計器(23-9-1)の精度以下で存在。

→

19-22 g.

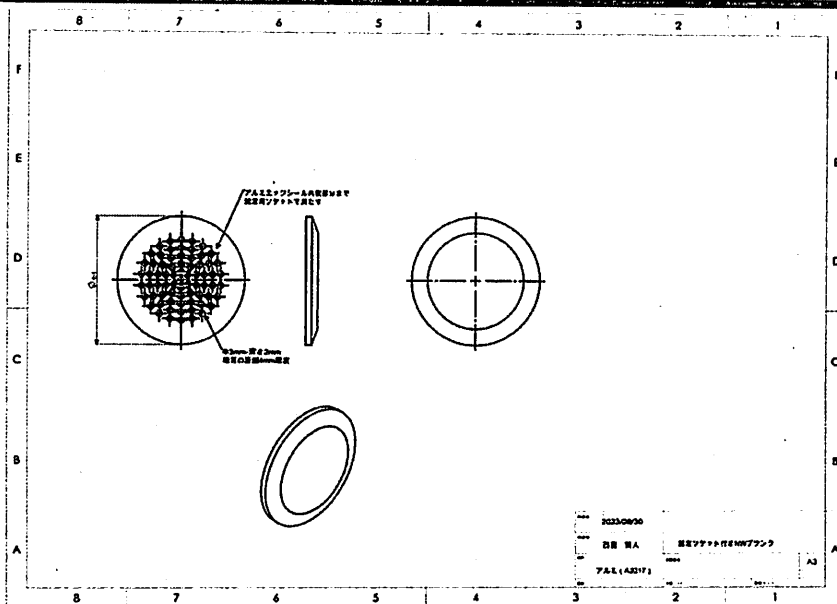
0.8 / 0.26 × 13 mm.

~ 42 mm

Pn-BL-112 4040 or 5050.

4.ハウジングのターゲット挿入口 NWブランクフランジ

HITACHI
Inspire the Next

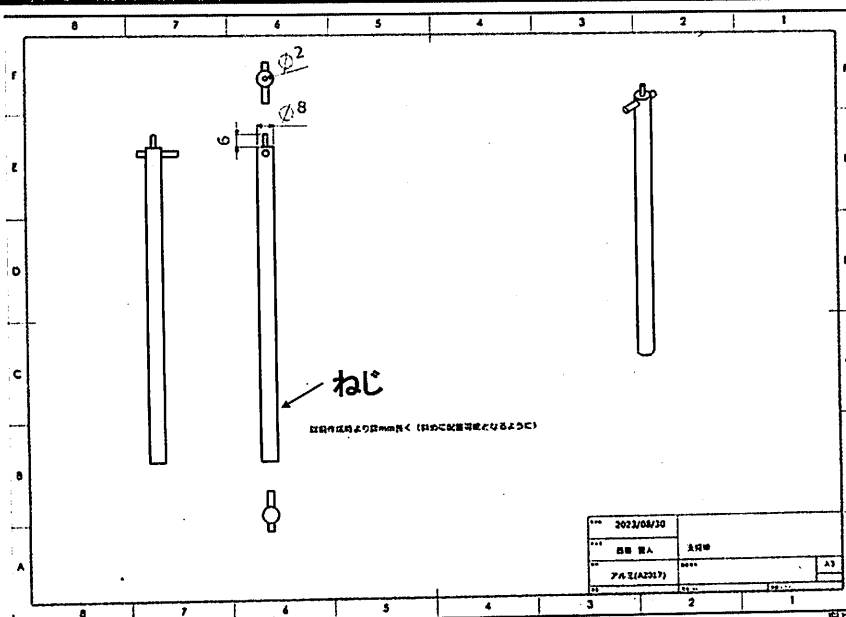


© Hitachi, Ltd. 2023. All rights reserved.

8

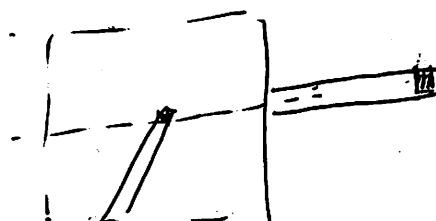
5. 照射容器の固定用丸棒

HITACHI
Inspire the Next



© Hitachi, Ltd. 2023. All rights reserved.

9



5

5/27/1983

(2) \rightarrow (3)

(2) \rightarrow (1) PSMA-617, 226Ra 10年

^{119}Lu - PSMA (11-10節转移)

^{68}Ga , ^{111}Lu - ^{68}Ga

放射性

^{223}Ra , ^{225}Ac

^{210}Po - ^{125}I (同位素) = 組織/分子

^{125}I , ^{210}Po \rightarrow 腸, 甲状腺

DGD \approx 70分

\rightarrow I - At = 組織/分子

$\text{Sn}(\text{nBu})_3 \rightarrow \text{I} \rightarrow \text{I}^+ + \text{Sn}^{2+} + 3\text{Bu}$, \rightarrow 電離半減期

1) 有機 Binder (アルコール) \rightarrow ~~親和性~~ \rightarrow 溶解性

\rightarrow 体内動態 = $\text{I}^+ + \text{Sn}^{2+} + \text{Bu}^+$

^{18}F , ^{68}Ga , ^{99m}Tc , ^{123}I

MABG - 福色性細胞

$\text{Bi}^{203} - ^{211}\text{At}$

$^{211}\text{At} \rightarrow$

1-1 G 2h shot

1" 2" 3" 7"

材料振動
位置精度
製造量
非線形歪曲

走査面

ホーリー → 4"

高さ

基準

Fusion.

・ 電子束.

* 変換方式.

* 倾斜性. (tilt, 回転)

* 溫度.

* $\text{CO}_2 \text{レーザー} \cdot (\text{CO}_2)$

* FRC の制御回路

→ 新規性?

*

+ $\text{D}-\text{He}^3$ の圧力駆動型不等電性

+ $\text{D}-\text{He}^3$ の温度未連. (τ_{10})

+ C-Z の比較.

{ 定率 \leftrightarrow τ_9 ,
 NB 率 \leftrightarrow τ_9 .

・ 倾斜性実験.

{ 0.5- s \leftrightarrow 10ns pulse
距離.
50μs?

0 →

- 原理.

- 会社

- 物理・科学・工・電気.

* 2) 293MHz 電子

11月. →

四 開発会議 (2) (資料) (5~6P程度)

- THT公文 ... ~ 基本の毛手アコ。
- ~~基礎~~ = 9m (例文: 2m~3m 理論測定 (P.1 の式))
- ~~基础~~ (P.1) \rightarrow 基本公文 (基礎測定方法) P.1
基礎 \rightarrow 四面 (P.1 公文の式) P.1 & CHD (A.M.)
- 基礎設置検討 ① \rightarrow 信頼性 / 線形性 \rightarrow PHITS & Fly. Gy を測定。
② \rightarrow 耐熱性 / 性能 \rightarrow PHITS 热負荷 + PHITS 温度上昇 P.1
 \rightarrow P.1 K/s.
- ③ \rightarrow 一様風速計 ...
向風/s 相当。
 \rightarrow 最大向pps (=風速) 5.
- その他。

- C2-1-4 と 2-1-2 の組合せ。
 \rightarrow 組合せ。
- 2-1-2 = 2-1-3-2-4-1-5-6 の検証。

2-1-3, 2-1-2 は $\text{Max}_{\text{C2}} + \text{Max}_{\text{1-2-3-4-5-6}}$ 。

$$Gy \approx 5/\text{kg}$$

$$Gy / \text{kg} \quad 5/\text{kg} / \text{kg/m}^3 \quad 5/\text{kg} \cdot \text{kg}$$

$$Gy \cdot \rho \Rightarrow 5/\text{kg} \cdot \text{kg/m}^3 \approx 5/\text{m}^3$$

検算 ... 1.7~1.8 ...

④ 研板の構成

1. Background.

2. ターゲットシステムの開発

2.1 構成.

2.2 热解析

2.3 ターゲットシステムの改良.

3. 照射試験.

3.1 試験のセトア, フロ

3.2 試験後の様子.

3.3 ピーム密度 etc.

3.4 電極の温度 (137,) → 経時変化

4. 放射化.

3.1 PHET

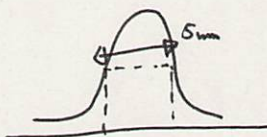
3.2 放射化の割合, (セトア, フロ)

3.3 測定結果.

3.4 推定.

④ 研板の主要な数値計算の実行.

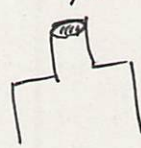
→ 球形. (正球形のため)



17mm + 10mm

$$\frac{\pi}{4} \left(\frac{17.2}{2} \right)^2 = 2.25 \text{ mm}^2$$
$$3\text{ mm} \times (10\text{ mm}) = 30\text{ mm}^3$$

$$\left\{ \begin{array}{l} P_t \sim 1.4 \text{ 倍} \\ \sim 1.3 \text{ 倍 } (P) \end{array} \right.$$



④ 最下段. 線有. 連続. + 保管設計の点.

各段

四 両側へ 1.5m < 要量確保の点

四 1.2 m 連続.

四 β-評価結果 (5-6mm 下). → 結果原因阐明

・ 最低額、200万円 (typical.)

・ Ra、形態、— 互いに情報が少なく。

$\left\{ \begin{array}{l} \text{RaCO}_3 - \text{Be} \sim \text{inches} \\ \text{RaS} \quad (\text{310MBq}) \end{array} \right.$

・ 緑源輸送、

- 法令の関係はR2協会との相談。

- 密封緑源、→ 非密封緑源、であります。

* Ra-Be → Raの抽出です。

(日本の中核比率 80% : NFO による統計推計。)

* 輸送の関係、(S)

Raの関係、特許権がござる。
(Y → A型輸送) 情報を取得して

- 310MBq

→ 構造の検討。

RaS → ? 緑源の許可を東北大臣へ取得中。

・ 今後の全体スケジュール。

- 今後、治療用位の機器製造(?) (?) (最終的)

- 取扱い(?) (?)

・ 緑源のセッティングを含む場合の、金額、其研究能、工場

- 予算は決済済、(今年度は決定済の範囲で進む。)

-

・ 提前、1月 AZFT 11/2-22日、? AZFT?

- AZFT Solutions が主で、→ 契約。(共同研究が終了する。)

・ Ra他の調達会社? (国内 / 国外 (JAEA) / AZFT) 30.

$$N_2(t) = \frac{\lambda_2 - \lambda_1}{\lambda_1} N_{10} [e^{-\lambda_1 t} - e^{-\lambda_2 t}] + N_{20} e^{-\lambda_2 t}$$

$$D = N_{20} - \frac{\lambda_2 - \lambda_1}{\lambda_1} N_{10}$$

$$\frac{\lambda_2 - \lambda_1}{\lambda_1} N_{10} + D = N_{20}$$

$$t=0 \Rightarrow N_2(t=0) = N_{20} \text{ で } 33\%$$

$$N_2(t) = \frac{\lambda_2 - \lambda_1}{\lambda_1} N_{10} e^{-\lambda_1 t} + D e^{-\lambda_2 t}$$

$$C = -\frac{\lambda_1 N_{10}}{\lambda_1 - \lambda_2} e^{-(\lambda_1 - \lambda_2)t} + \cancel{A_2 e^{-\lambda_2 t}}$$

$$C' = \lambda_1 N_{10} e^{-\lambda_1 t} \cdot e^{\lambda_2 t}$$

$$-\cancel{\lambda_2 e^{-\lambda_2 t}}$$

$$C e^{-\lambda_2 t} + \cancel{\lambda_2 C(t) e^{-\lambda_2 t}} = \lambda_1 N_{10} e^{-\lambda_1 t}$$

$$\cancel{\lambda_1 N_{10} e^{-\lambda_1 t}} = N_{10} e^{-\lambda_1 t}$$

$$N_2 = \cancel{\lambda_2 e^{-\lambda_2 t}} + \cancel{\lambda_2 N_{20} e^{-\lambda_2 t}} = C$$

$$\ln N_2 = -\lambda_2 t$$

$$\left\{ \frac{1}{N_2} dN_2 + \lambda_2 = 0 \right.$$

(微分方程式)

$$\frac{dN_2}{dt} + \lambda_2 N_2 = 0$$

$$\frac{dN_2}{dt} = -\lambda_2 N_2$$

$$\frac{dN_2}{dt} = \lambda_1 N_1 - \lambda_2 N_2$$

(微分方程)

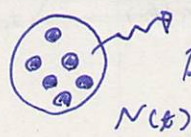
$$N_1 = N_{10} e^{-\lambda_1 t}$$

$$N_1(t) \quad N_2(t)$$

$$\left. \begin{aligned} \frac{dN_1(t)}{dt} &= + \lambda_1 N_1(t) - \lambda_2 N_2(t) \\ \frac{dN_2(t)}{dt} &= - \lambda_2 N_1(t) \end{aligned} \right\}$$

$$A \underset{\lambda_1}{\cancel{+}} B \underset{\lambda_2}{\cancel{+}} C$$

② 増減率



確率的 = 機率

$$\frac{dN(t)}{dt} = -\lambda N(t)$$

$$\frac{1}{N} dN = -\lambda dt$$

$$\int \frac{1}{N} dN = - \int \lambda dt$$

$$\ln(N) = -\lambda t + C$$

$$N(t) = N_0 e^{-\lambda t}$$

$$A = \frac{dN}{dt} : \text{放射率} = \text{壞滅速度}.$$

$$A = \frac{dN(t)}{dt} = \underbrace{+N_0 \lambda}_{\equiv A_0} e^{-\lambda t}$$

$$A(t) = A_0 e^{-\lambda t}$$

λ : e は直角 $t=0$ の A から $A(t)$ へ

$\rightarrow \frac{1}{2} \lambda$ 変更 : 半減期 $T = \frac{\ln 2}{\lambda}$

③ 半減期 T .

$$A(t) = A_0 e^{-\lambda t} = A_0 \left[\frac{1}{2} \cdot 2 \cdot e \right]^{-\lambda t}$$

$$\ln A = \ln [A_0 e^{-\lambda t}]$$

$$\leftarrow -\lambda t + C$$

$$= A_0 e^{-\frac{\ln 2}{\ln 2} \lambda t} = A_0 [e^{-\ln 2}]^{\frac{\lambda}{\ln 2} t} = A_0 \left[\frac{1}{2} \right]^{\frac{\lambda}{\ln 2} t}$$

$$= A_0 \left[\frac{1}{2} \right]^{\frac{t}{T}} \quad \therefore T = \frac{\ln 2}{\lambda}$$

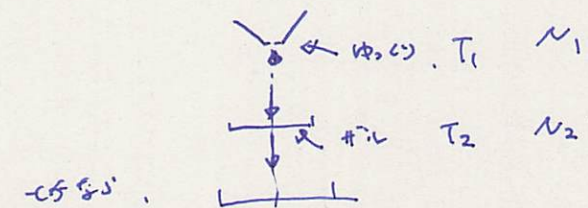
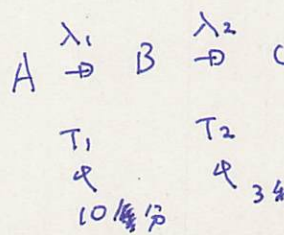
• 通波平衡

($\lambda_2 > \lambda_1$, $T_1 > T_2$ \rightarrow +₂時間經過)

$$\begin{cases} N_2 = \frac{\lambda_1}{\lambda_2 - \lambda_1} N_{10} (e^{-\lambda_1 t} - e^{-\lambda_2 t}) + N_{20} e^{-\lambda_2 t} \\ N_1 = N_{10} e^{-\lambda_1 t} \end{cases}$$

$e^{-\lambda_1 t} \gg e^{-\lambda_2 t}$ ($t \rightarrow \infty$) \rightarrow $N_2 \approx N_{20}$.

$$\begin{cases} N_2 = \frac{\lambda_1}{\lambda_2 - \lambda_1} N_{10} e^{-\lambda_1 t} \\ N_1 = N_{10} e^{-\lambda_1 t} \end{cases} \Rightarrow N_2 = \frac{\lambda_1}{\lambda_2 - \lambda_1} N_1$$



N_2 は λ_2 の倍.

$$\frac{\frac{\lambda_1}{\lambda_2}}{1 - \frac{\lambda_1}{\lambda_2}} = \frac{\frac{T_2}{T_1}}{1 - \frac{T_2}{T_1}}$$

$$\frac{1}{T_2} - \frac{1}{T_1} = \frac{T_2}{T_1 - T_2}$$

$$\frac{3}{600 - 3}$$

26. 少量

• 永続平衡

($\lambda_2 \gg \lambda_1$, $T_1 \gg T_2$ $\rightarrow t \rightarrow \infty$)

$$\begin{cases} N_2 = \frac{\lambda_1}{\lambda_2 - \lambda_1} N_{10} (e^{-\lambda_1 t} - e^{-\lambda_2 t}) + N_{20} e^{-\lambda_2 t} \\ N_1 = N_{10} e^{-\lambda_1 t} \end{cases}$$

$\rightarrow N_2 = \frac{\lambda_1}{\lambda_2 - \lambda_1} N_1$

$= \frac{\lambda_1}{1 - \frac{\lambda_1}{\lambda_2}} N_1$

$$\Rightarrow \sim \frac{\lambda_1}{\lambda_2} N_1 \quad \therefore \quad \lambda_1 N_1 = \lambda_2 N_2$$

$$\frac{N_1}{T_1} = \frac{N_2}{T_2}$$

$$\text{e.g.) } N_1 = 10^{20} \text{ は } \lambda_1 \text{ と } \lambda_2 \text{ の比.}$$

$$T_1 = 10^3 \text{ 年}, \quad T_2 = 1 \text{ 年} \rightarrow \lambda_1 \text{ と } \lambda_2 \text{ の比.}$$

$$\frac{10^{20}}{10^3} = \frac{\lambda_1}{1} \Rightarrow \lambda_1 = 10^{17}$$

$$\frac{10^{20}}{1000 \text{ 年}} = \frac{10^{17}}{1 \text{ 年}}$$

1000年1度、放射粒子の增加 1年1度の増加量.
 $\frac{1}{1000} = 2$ 倍速.

$$e.g) \quad P_{a-226} \quad (1600 \gamma)$$

↓

$$P_{a-222} \quad (2 \text{ day}) \quad \sim (1/180 \gamma)$$

$$P_{a-226} \quad \left\{ g = 64 \approx 3, \quad P_{a-222} \approx 1 \right. \\ \left. (31 \text{ G} \beta g) \right.$$

$$\frac{37 \times 10^9}{1600 + 365 + 3600} = \frac{A_{226}}{2 + 3600}$$

$$\therefore A_{226} = \frac{2}{1600 + 365} \times 37 \times 10^9 \\ = \frac{1}{800 + 365} \times 37 \times 10^9$$

$$= \frac{1}{6000} \times 10^9 \\ = 0.125 \times 10^6 \\ = 125 \text{ G} \beta g$$

$$1 \text{ m}^3 = 10^6 \text{ cc} \quad (\text{cm}^3)$$

$$0.125 [\beta g / \text{cc}]$$

$$\textcircled{a} \quad 1 \text{ m}^3$$

* 2-7-14-28

西田義

* 暗射答器の本命は酸化アスコリ。

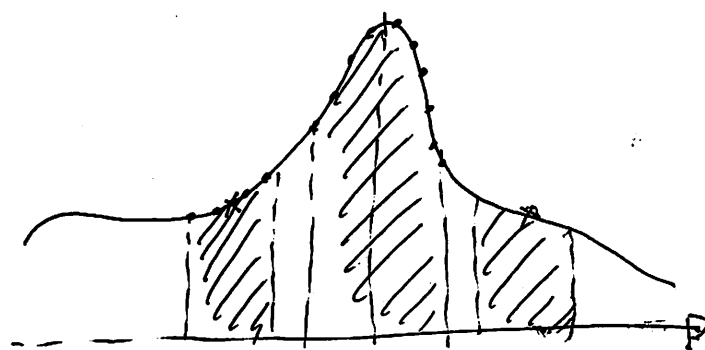
\rightarrow $^{10}\text{B}(\text{n},\gamma)^{7}\text{Li}$ ～ 中性子 $\frac{\gamma}{\text{電子}}$ 。



* 短半減期核種の同定。

* 全 π^0 - 7 の計算。

* 台形種々 例題。 python で。



① 位相の範囲の面積を π^0 で割る。 面積。

② 上側 - 波長 / 中間
下側 - π^0 波長 / 中間
上側 = / 中間
π^0 で割る。

* 中心波長の値を取る。

③ 上下 中心値で、一括の値を取る。
 I_{π^0} の値を取る。

(x_1, z_1)

$x - \underline{\quad} \quad \quad \quad \quad \quad \quad x$ (x_2, z_2)

$$z - z_1 = \frac{z_2 - z_1}{x_2 - x_1} (x - x_1)$$

$$z = z_1 +$$

④ 差分の面積

⑤ 差分の平均値

L

\rightarrow 18.7メータ 60

上中下の波長 / 中間
(π^0 と π^-)

65', π^0 - π^- 合計で 31.6%

2-1°.

—Ch. c. R

* 排気 - (A₃) - 送排

- 差圧計が手配中。

- 20-10-7着 - 8m (透明) / 9月3日付
- 150-250 Pa + SUS 配管。
+ 100mL

外観 (温度-変化)

- 水回収系。

- 水の循環系を追加。

- 100mL

- 風は押しかえ (試料作製時逆流を防ぐ目的)

- コルベ試験内容。

- 了解。

- 送排

- 2cm, 下部1/2.

- 体調用。

第1回 - 8/29 - 8/30 abc.

発送 → 7/15:

R2 (R₂) のルート → 送付
(西日本銀行)

* 8/10 (火) “調整、残部一掃”

* TOP

* ~~水素ガス配管 (PVC)~~ (PVC → PE)

* ~~PE管 (PVC)~~

* 磁場差分, >> 9.

* 計算 (熱)

* 放射化 (純度 R2)

* 放射化 (純度 93%) → 演習計算, 実作成, (研修用)

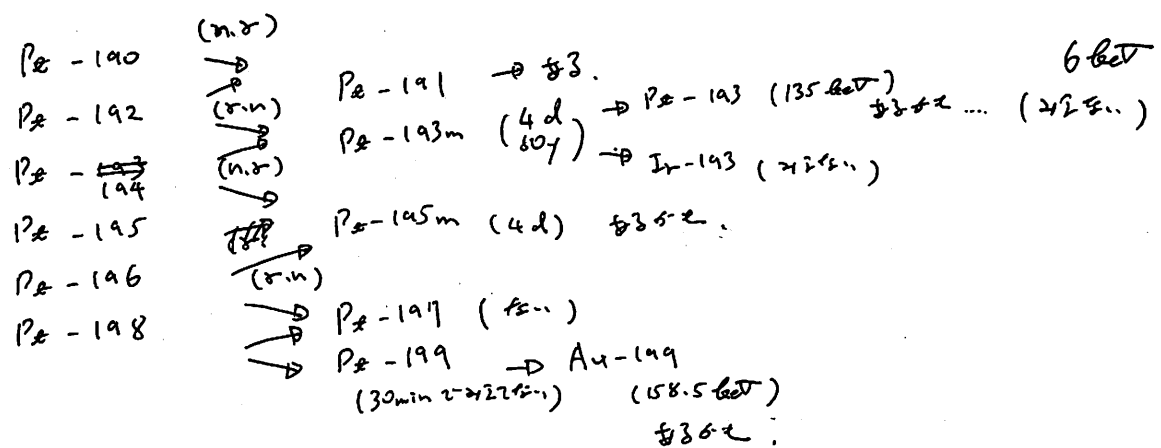
* L-T形.

* 磁場の29" .

* 薄板打1/2" の12"

* ニヤリチム - 1袋.

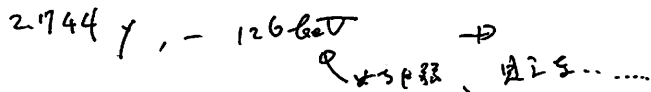
⑨ Pt の反応ルートは? 3つある。



$Ir-192$ は? β^- ??.

- 1. $Pt-192$ $\left\{ \begin{array}{l} EC \\ \beta^+ \end{array} \right. \Rightarrow Pt-192$ の反応ルートは?.
- 2. ~~Pt-192~~ $\left\{ \begin{array}{l} \beta^- \\ \beta^+ \end{array} \right. \rightarrow \gamma$??.
- 3. ~~半生子捕獲~~ ?? $(Ir-191m(n,\gamma) \rightarrow 212\text{keV})$

⑩ $Fe-55 \rightarrow Fe-56(\text{stable}) \xrightarrow{\gamma} (n,\gamma)$



⑪ $Co-58$

$(Co-59(\text{stable}) \xrightarrow{\gamma} (n,\gamma))$
 $(\gamma, 1.121\text{keV}, 1.32\text{keV}, \dots) \Rightarrow$ γ 放出 γ 放出 γ 放出

⑫ $Mn-54 (Mn-55 \xrightarrow{\gamma} (n,\gamma))$

⑬ $W-188$ は? ??.

⑭ $Mo-99$ は? ??.

⑮ $Tc-99m$ は? ?? $(\gamma, 2.2\text{keV}, \frac{1}{2}2\text{keV})$

⑯ $Nb-92$ は? ??.

⑰ $Fe-59$ は? ??.

• Pb^{208} の反応.

• Pb^{208} の反応を実行.

• Pb^{208} の不純物を考慮する.

• ラジカルの組合.

• Pb^{208} の反応で核種が C^{12} -1= 変化.

C-216 + Fe^{54} -1= 変化するか?

$\text{Nb}-92m$, ~~---~~, $\text{Tc}-99m$, $\text{Cr}-51$, $\text{Fe}-55$

$\frac{\beta}{\gamma}$	$\frac{\beta}{\gamma}$	$\frac{\beta}{\gamma}$	$\frac{\beta}{\gamma}$	$\frac{\beta}{\gamma}$
72.8d	psc	140keV 83.1keV	320keV 83.1keV	126keV 83.1keV
		$\frac{\gamma}{\gamma} \rightarrow 33$...	$\frac{\gamma}{\gamma}$	$\frac{\gamma}{\gamma} \rightarrow 33$...
		$\gamma^3 \text{ 何種類?}$		

$\text{Cr}-52(\text{st-hf})$
 $1 = (\text{r:n})$

Pt -

• $\text{Pt}-191$ は γ ... \rightarrow 用途無比で全く有用ではない計算結果!!!

• $\text{Pt}-193m$, $\text{Pt}-195m$ は λ ?.

(135keV - 4.3 day)

$\text{Pt}-193$ 80 year δ ... γ ...

$\text{Pt}-193$ 2-3 years ...

\rightarrow 16 E ... γ ... γ ...

\rightarrow $\text{Pt}-192$ は γ ... γ ...

(用途無比で考慮しない)

\Rightarrow 反応.

$\frac{\text{Pt}-191}{\frac{\beta}{\gamma}}$, $\frac{\text{Au}-191}{\frac{\beta}{\gamma}}$, $\frac{\text{Ir}-191}{\frac{\beta}{\gamma}}$

psc , 158.9 , $191m$

\downarrow

~~---~~, 83.8γ , $2<83.8\gamma$,
 $(3.19d)$, 83.8γ ,
 $(\cancel{83.8\gamma}, \cancel{83.8\gamma})$

$\text{Pt}-193m$
 $24m\gamma$

$\text{Pt}-193m$?
 $2-3$ years ...

$\text{Pt}-191$ は γ ... γ ...

$\text{Pt}-191$ (30 min) \rightarrow $\text{Ir}-191$ (stable)
 $\text{Pt}-191$ (~~---~~) \rightarrow $\text{Ir}-191$
 $(\text{Pt}-192 (\infty, n\gamma))$

$\sim (33.8\%)$

$\text{Pt}-195m$ は γ ? γ ?
 $\left\{ \begin{array}{l} \text{Pt}-194 (\nu, \gamma) \text{ Pt}-195m \\ \text{Pt}-196 (\nu, \gamma) \text{ Pt}-195m \end{array} \right.$
 $\sim (25.2\%)$

① 8月27-28日.

- ・ 基本、向日次走りをはなす。
・ その方式がよりの優先順位も明言 ~~され~~ なし。(支那内部の会員登録等)
・ たゞ、方式決定終了、会員GBの作業がはじめての時は調査 ~~する~~ ^{手替}
するには大変だと思ふ。
→ 8/8にカラムの設置(ルーム)。
→ ~~8/8~~ (排気系も8月下旬に調達(ルーム)する。
可能でない場合は、打合せ、確認^{希望}する。)

② 各地へのコトバ.

- ・ e.g.) No.3室(上)極力汚染を避ける。
会員GB ④ HCl(Ac酸性)
→ 基本は持ち込み台。(化粧台の最適化)
酸性(カラム/流量)
→ ての程度の作業を本拠、問題なく実施できる。

③ 8月7日. 200h.

→

④ 会員、ナレイン等動向。

8/1 - “放射化終了 + 熱計算開始 + 8/8 の準備。”

⑤ 放射化.
- 332 = 合成計算 (試算) ROI 22.2 和エラ生成量。

⑥ 熱計算.
- 各種整理と必要計算の進歩。

- 体系整備。

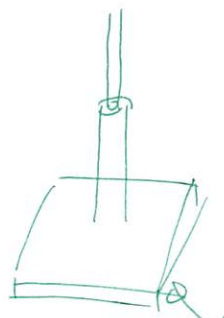
- 試算計算。

⑦ 2-11-1 試験順序.

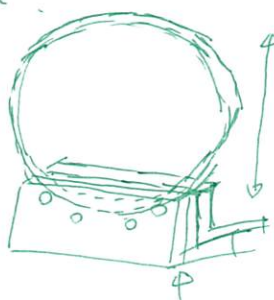
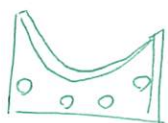
- 上場情報板、提出。

図 1-4-1 (支持板 = 支持キホン)

~~30~~ 30, 69. 92 Keij



支持板は支持する。

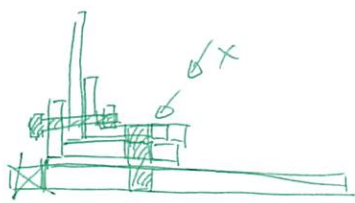


$\phi 80 \text{ mm} - 1 \text{ mm thick}$

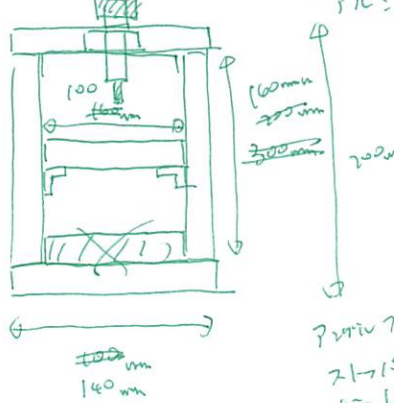
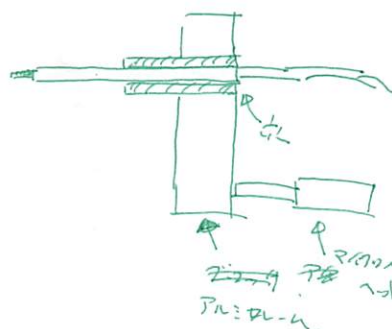
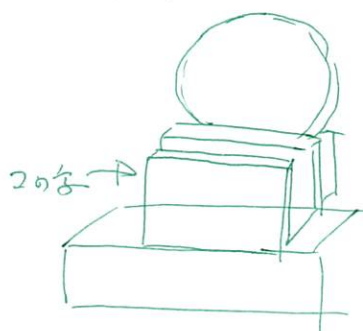
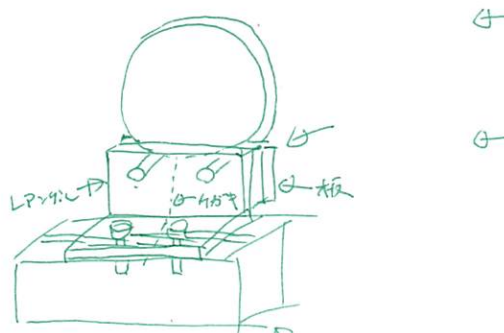
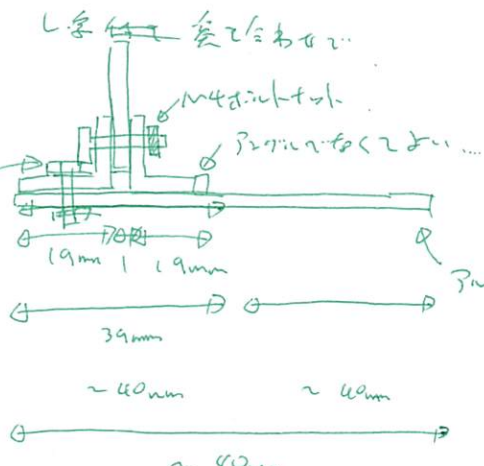
Al_2O_3 100 g/m² $\epsilon = 1.7 \times 10^{-3}$

L字型支持板 2個

(Al1996 - #429 $\epsilon = 1.7 \times 10^{-3}$)



支持板
1枚?



(m4?)
支持板 1枚 + 8...
21枚 + 1枚 + 8枚
計 21枚 (m4?) + 16

21枚 + 1枚 + 8枚 + 2
21枚 + 1枚 (15mm?) + 2

200MBq 試料作製、13種類精製

試料作製 (200MBq)

- * 金研 GB
- * カメラ 整備。 -

安全	暗見尺
品質	一品目
污染	一汚染
検査	
- * 試料 状態確認。
- * =
- * 作業性確保。
- * 必要物品手配。
- * 必要物品の搬入。
- * 測定方法の~~選択~~決定。
- * 局所 排気系の整備。
- * 箱内排気系の整備。
- GB
- * 輸送方法の手配 (手経合計)
- * 容器カバーの製作。
(30P + 高温耐熱樹脂)
or カラス管。
- * 作業スケジュールの算定。
- * 事前精製作業。
- * 断止止め (治虫?)
- * 簡易全自动化構造。(アーティ)
- * 海外 (自衛官生処理)
- * 通常の準備。
- * 不純物測定。
- * 安全審査。
- * ~~排棄~~ 排気の安全管理。

13種類精製 (200MBq Ra 分離)

- * ~~安全 (H.C.)~~

安全	在庫
品質	品質
汚染	汚染
- * 金研 GB 整備。
- * 開封試験。
- * 残存 Ra 確認。(ac)
- * 放射器容器の貯蔵・保管検討。
- * レジンの用意。
- * 実験器具。
- * 作業性の確認。
- * 測定方法の確立。
- * 輸送方法の手配。(手経合計)
- * 箱の除漆、粗粒。
- * 安全の審査。(放)
- * 安全査定。
- * 手順策定。
- * 自動化。
- * 1+1ルル、減容。
(Ra)
- * 不純物の定量。

Ac 構造

- 輸送・搬入、(手荷物含む)
- 物品台配、(大)
- 油漆箇所、(不要?) 内(は)、内12-7 μ m
作業台順筆走。
- 不純物の定量、
- 品質評価、(有不純物枚数)
- Raの回収、(再)
- 標識識別の評価、
- 安全 (版)
- 安全 (実験装置)
- 排気系 (内部局部) の整備、
- 排気系 (外GB) :
- コールド式観察、

㊂

㊂.

Energy (keV)

1	34.3
2	66.1
3	122.4
4	136.3
5	319.8
6	359.2
7	410.6
8	467.3
9	510.8
10	539.8
11	807.1
12	836.2
13	1224.9
14	1760.4 1561.5
15	+561.5 1760.4.

③ $NuI = 2 \times 10^{-4}$ 漏れ流.

$$30 \mu\text{Sv/h} \Rightarrow 14 \mu\text{Sv/h} \quad @ \text{吸収部}.$$

$$1 \mu\text{Sv/h} \Rightarrow 0.56 \mu\text{Sv/h} @ 1 \text{cm}^2 \text{ 面積}.$$

$$\eta_{eff}^{-1} = 2 \times 10^{-4}$$

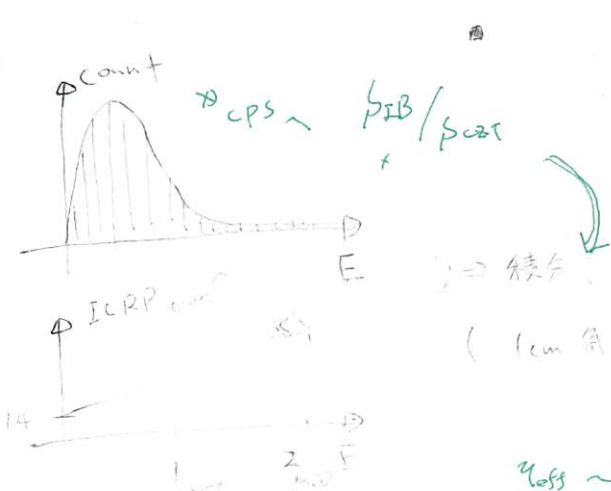
$$\eta_{eff}^{-1} [\text{cps}]$$

$$\frac{6 \times 10^3}{14} / 600 \text{s} = 10 \text{ cps}$$

$\rightarrow 10 \text{ cps} E \sim 20^\circ \text{ & } Bg \text{ 程度?}$

ET の インピーダンス 每の 放出 素子で.

面積的, Bg は? 3?



$$E \rightarrow \text{統合} = 14 \mu\text{Sv/h} \quad (1 \text{cm}^2 \sim 45 \text{cm}^2)$$

$$4\pi R^2 / S + \frac{1}{q} + \text{cps (E)}$$

$$\eta_{eff} \sim 5 \times 10^{-5} \text{ 程度.}$$

$$\eta = 20\%$$

$$= 1.19 \% @ 80 \text{ nm}$$

$$\text{次級半価} \sim 1.22 \times 10^{-3} @ 100 \text{ nm}$$

* 土壤中 - Ac 部位の分析
(底土)

* 土壤内に粒径、粒度。

* 土中 3m までの鉛の採取申請。

- $30 \mu\text{Sv/h} \Rightarrow 14 \mu\text{Sv/h}$
(@ 50 cm 地表)
- 表面 @ 1 cm 地表
 $1 \mu\text{Sv/h} \Rightarrow 500 \mu\text{Sv/h}$

*

| EG - ACC - | BT - 基本 | 第一 - |

- AT - [未確認] - AC -
- $\lambda_{\text{AT}} = 1.8 \times 10^{-2}$ 年

ULQ2 準備計画.

↓

第一区域

- AT.

- 超過以下.

{ 3個未 IPon

{ 3個 RF 通電.

今週 - 復帰

(48 h.
120 h. 2nd)
(2.0/3.0)

• 200 MBq 未 (2.0/3.0)

• 200 MBq.

8月 - 株 - 29.7 - 11 - 9.

- 11月 - 12月 12.0 - 12.1 5.0 - 6.0

- 12月 - 29.7 - 11 (5.0 まで) 情報 2.0 - 3.0

2.0 - 1.0
(macro pa)
(micro pa)

. 12月 8.1 - 4 / 1月 11月 5.0 - 6.0

• 9月 8.1 - 4 / 1月 11月 5.0 - 6.0
連続測定.

. (29.7 まで). 1月 / 3月.

• 3.7 GBq) 超過の
200 MBq

20h + 200 MBq.

• 12月 5.0 - 1.0
200 MBq ??

連鎖 = 1.0.

{ - 1.0 - 10% 増倍
- 10% 43%

↑
1.0?

* Rn 2.117 z = 1
- 2 - 200 MBq 総量.
-

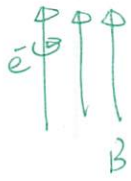
• 1.0 - 2 倍量.

MF 200 MBq (1.0 - 2 倍量)

• 汎用場 - Rn 2.117 z = 1
(全場 - 墓地を GB 増倍.)

• Rn - (Ac 10M3. Ra BG 1000 ?? -)

• GB. 墓地等第 1.. (使用場所を全場.)
- 墓地を全場へ



$$r_L = \frac{mc\omega_L}{qB} \quad \omega_{ce} = \frac{qB}{me}$$

surface

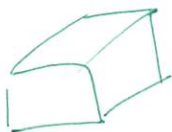
$$\omega_L = \sqrt{\frac{2qB\omega_T e}{me}}$$

$$r_L = \frac{\sqrt{mc\omega_T}}{qB}$$

$$T_e = \text{const.}$$

$$T_L \sim T_H \Rightarrow \omega_L = \sqrt{\frac{qB\omega_T e}{me}} = \sqrt{\frac{qB\omega_T e}{me}}$$

$$L / \omega_{ce} = t$$



「子は“母”」

電子の運動 $\omega_L - L$.

電子回数、 $N = l_e / \cancel{l_{ne}}$

$L \rightarrow -L$.

電子線 - 暗射線 のビーム電流.

1912/10/21 e_{gm}

RF

721.

1/15 RF off

I_{RF} 上限

生地

I_{RF} = 20%

1/15 RF on

定期 RF on, と定め

RF on, RF off 373

左側の電源

RF on, 373

RF on, 373 が 100% 電流をもつ。

④ 電子ビーム試験の成功。

- ・他社比 20倍以上の製造効率を実現。
- ・次回実験試験で、Ar-225の製造効率20倍以上を実証する。
- ・ピターフトモ用。(純度はTa)
- ・熱負荷が強大。(9GeV-cmの空間)

45mJ - 200mA. 200pps. 45°/pulse.

$$1\text{ pulse} \sim 6\mu\text{A}. \quad 1\text{ pulse}, 3\mu\text{s}. \quad \underline{\approx 0.333\text{ A}}$$

瞬時値, 300mA. - 45mJ.
13.5kW. peak.

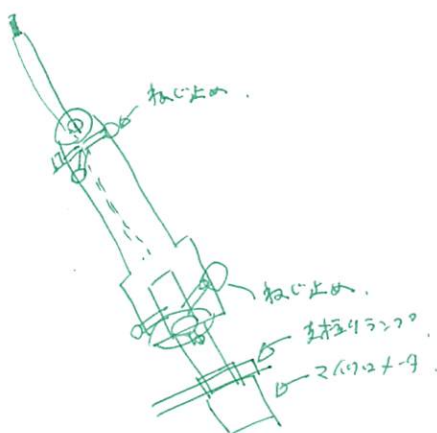
課題と目標。

- ・チップの提供による初期段階の工場。

⑤ 材料。(主部品)

- * LP-Ti. アルミ板.
F1 F1
(15mm x 15mm) (15mm)
L 60mm
- * ピルシフレ-A 2020
- * $\left\{ \begin{array}{l} 160\text{mm L} \times 2 \\ 100\text{mm L} \times 1 \\ 140\text{mm L} \times 2 \end{array} \right.$
- * T-316L F8
- * F1L + 16
- * F1L - + 16
- * 2190F-7
~15°. $\frac{(3940-40)}{(3940+586)}$ 25mm 0.01mm
- * F1L (345-149)

アスペクト比



• CdTe

7/18



④ 金紙、3.1GBe使用量を目的.

未午後 12:00 時間

⑤ 9h45mW-L 空港に3.

→ 清掃室 9:22 L-2. Ra 12m入.

→ 清掃室 9:22 L-12m33.

→ 清掃室 12m33.

→ 清掃室 12m33.

⑥ 8/21 23 - Ra 12m33.

~18°C管理室 12m33m3.

→ 排気口清掃 12m33.

清掃申請.

→ 12m33m3 12m33m3 12m33m3 12m33m3.

→ Ra. Ra.

→ ~の程度の汚染を許容する.

→ 小管 (23)

→ 計画してから実行.

• H₂Br-H-Br
- 清掃室 12m33m3. Ra 12m33m3.

{ 照明機器
清掃用
清掃室.

PPb 12m33m3
Ra 12m33m3.

→ Ra 12m33m3.

→ PPt & Ra 12m33m3.

本日午後2時半.

Th²³²-Th²²⁸ Ra-²²⁸Tl.

→ Ra 12m33m3.

→ Ra 12m33m3.

→ Ra 12m33m3.

نہیں ہے۔ مگر اس کا سب سے بڑا سیدھا سبب یہ ہے کہ

جعفر / ۱۷۳

شیخ احمد بن علی

to 500

وَمِنْ كُلِّ مَرْءَةٍ لَكُلِّ نَسْأَلْ

مکالمہ

1000

新嘉坡 1908年

卷之三

1970-3-2

سید علی بن ابی طالب

مکالمہ

卷之三

卷之三

10. 17. 1925 - 10-25-1925

1000 ft. s. of 1st

卷之三

14-5 € 3.50

卷之三

Ac - PROTOS

Ra - 株式会社アーテック) Ac 部屋の作業性 船体洗浄機
- A3E)はFS..F..H..汚染は、対策又不確

④ 別途注記

自動化装置用の開閉作業が必要。 ① (第3工期)

(3年)

- 上側の流入口、1273mm毎に取り外し。
予算難題 (12月??)
- Ge. 機種、Ra 部屋、PB?
- PB の各部基本仕様。
* 故障的、落成工程。
- カメラは自動で重ね方なし。
- 手動で位置調節は可能。
- カメラの印字入力での位置変更。(機能?)
- 自主検査 7/28 実施。
- 入場の説明。
 - * 何時、何人、何日、説明、級級管理。
 - * トランク出し (時間)
 - *

⑤ 制御系。

* PLC の相互通信。

(三菱 - ターゲット) - 信号 - 10% ~ 100% ??.

* フルオフ (整流器停止)

- 停止原因、- 何がつらぬの中心変更?

水の変更? (の場合 PF)

管路? 清潔性

* 配管系・基盤、+ 流量低の制御低設定下。

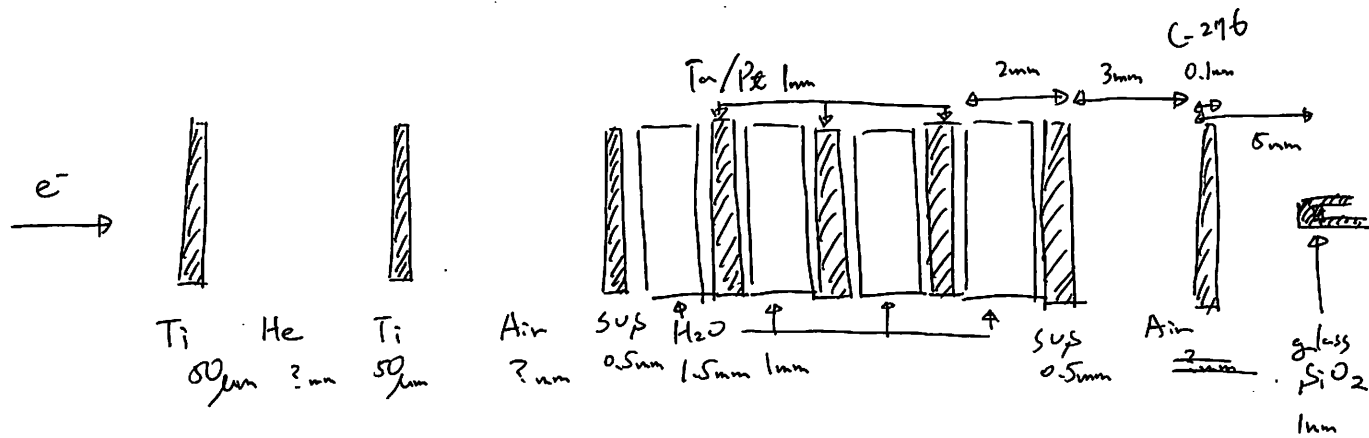
→ 原因? 設計誤差、要改修等??.

* ハードウェアの調整
→ 自動調整、等。

* 各部基本生じる動作、- GI入出力等。

* トランク出し (電線類) (並列回路接続)

• C-216 照射体系



・ 質量吸収係数 ~ 3 .

$$\cdot P_E > T_{\alpha} \sim \text{と} \rightarrow e^{-} \text{の} P_E \sim T_{\alpha} \sim 3 \text{ と}.$$

$$\rightarrow P_E / P_E (\text{水素}) \sim 3 \text{ と}.$$

$$\cdot P_E \sim T_{\alpha} \sim 4 \text{ と} \rightarrow \text{水素の吸収} \sim (3 \sim 4) \sim 4 \times 10^7$$

$$\cdot 2 \text{ cm} \text{ と} \rightarrow \text{水素の吸収} \sim 4 \times 10^7. \rightarrow \text{水素断面積} \sim 4 \times 10^7 \text{ と}.$$

$$\cdot \text{水素の反応断面積} \sim 2 \times 10^2 \text{ (3 と 4 と)}.$$

・ 元因？ 結構？

・ 表面の改善 ~ 2 強度倍 (向上).

→ 2倍程度改善 ~ 1.2 .

$$\begin{cases} -6.2 \text{ cm} & = 6.2 \text{ mm} \\ -11.9 \text{ cm} & = 11.9 \text{ mm} \end{cases} \quad - 3.25 \times 10^{15}$$

$$- 1.5 \times 10^{15}.$$

・ 全部、散乱率 $\rho_{\text{loss}} \sim 3 \times 10^{12} \text{ P.E.}^{-1} \text{ cm}^{-2}$.
 $\sim 3 \times 10^{12} \text{ cm}^{-2}$. 通算 $\sim 3 \times 10^{12} \text{ cm}^{-2}$.

・ 大面積 ~ 1.3 , 小面積 ~ 1.2 , $\rho_{\text{loss}} \sim P_E > T_{\alpha} \sim 3$.
 \rightarrow 小面積 ~ 1.3 .

17/8 (2) "MC 計算の手順、実行、体積準備、簡易結果の適用"

① $T=0^\circ$

• MC 計算 セットアップ

• : 実行

• : 簡易結果

$$\left. \begin{array}{l} \text{実行} \\ \text{簡易結果} \end{array} \right\} \rightarrow \left. \begin{array}{l} \text{次回用意} \\ \text{簡易計算} \end{array} \right\}$$

→ photon の 総量の計算

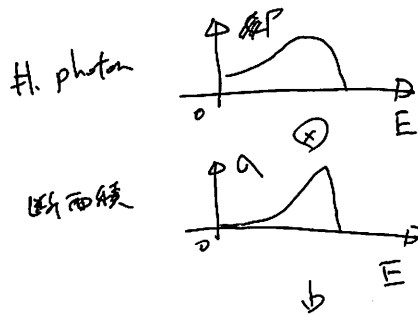
$$\left. \begin{array}{l} \text{全周分布} \\ \text{エネルギー分布} \end{array} \right\}$$

後部、
熱負荷

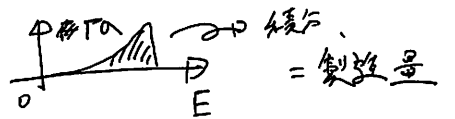
• 四所計算の準備。

• 制作量、必要データの収集

• photon の 入射率-分布



$$\left. \begin{array}{l} \gamma\text{-線の飛行計算} \\ \text{電子線の飛行計算} \end{array} \right\}$$



- 電流ゲージ化の実験、
- 核種分析、
- 空気場計、 ✓ シミュレーション
 \rightarrow psr はまだ....
- 治具の再設計、
- 亂側準備 (wires の更新版の作成、)
- つぶやきの準備 (草案)
(水) は一度見てる。スケス。

② ビームによる制動放射線量の評価. (2/2).

● 老練な結果、電離反応式では評価は難い?.

エネルギーの減衰の方.

$$-\frac{dE}{dx} = -\left\langle \frac{dE}{dx} \right\rangle \approx \frac{4N_a Z^2 \alpha^3 (\ln c)^2}{mc^2 c^4} E \quad \text{ただし} \quad = \ln \frac{183}{Z^{1/3}}$$

$$\begin{cases} N_a = \text{液体中密度の粒子数密度} & [\text{個}/\text{m}^3] \\ Z = \text{原子番号} \\ \alpha = \text{fine structure constant} = \frac{e^2}{4\pi\epsilon_0} \\ \text{ただし MKS 単位系のはず} \end{cases}$$

$\rightarrow N_a$ は?

$$\begin{aligned} 1\text{mol} &\Rightarrow 6.02 \times 10^{23} \text{ [個/mol]} = N_A \\ \text{Ta (Fe) の質量数.} &= \frac{180}{47} \Rightarrow \frac{180}{47} \text{ g/mol} = A \\ \text{= } \rho &\text{ 密度 : } 16.654 \text{ g/cm}^3 = \frac{\rho}{A} \text{ kg/m}^3 \\ &\approx \rho \end{aligned}$$

$$N_a = \frac{N_A}{[\text{個/mol}]} \times \frac{1}{A} \text{ [mol/g]} \times \frac{\rho}{[\text{g/cm}^3]} = \rho$$

$$\begin{aligned} N_a &= \frac{N_A \rho}{A} \text{ [個/cm}^3] \\ &= \frac{N_A \rho}{A} \times 10^6 \text{ [個/m}^3] \end{aligned}$$

$\rightarrow \alpha$ は?

● Bethe - Heitler の式 2-3 の式. もう少し詳しく ...

\rightarrow CGPT の言ふ式も参考する

$$\overline{\Phi}(E_0, \nu) d\nu = \frac{Z^2}{137} \left(\frac{e^2}{mc^2} \right)^2 \frac{d\nu}{\nu} + \frac{\phi(E_0, \nu)}{1 \sim 5 \text{ 附近の値?}}$$

↑ 実験結果で ...

6/30 10:00 -

• 从经济分析：乘虚而入。

9

契約 6/28

(振込日 ??)

进入“三月风”女子2-3岁“一本生”，因立

配管 PTFE 管

(→ 畫風樹木)

金屋西已管

ラスル- て。 (揮発中の濃度限界) = 25. 25% 1, 2, 3.

→ 従事者の負担軽減

→ 俗語系 ~~→~~ 12221

金內期延 則川田

1. 2. 3. 4. 5. 6. 7. 8. 9. 10. 11. 12. 13. 14. 15. 16. 17. 18. 19. 20.

→ 治江後，遇風

條理系... \Leftrightarrow $\alpha \times \beta$. 2-ルル... 試験会 3月 3日

7/4 以降

FC-SO

→ 50 mCgy

FC-SO · SO

R

- 銀生 電離 \rightarrow
- ~~銀生~~ \rightarrow $80 \text{ mGy} \cdot \text{GPar}$.
- ~~銀生~~ \rightarrow $100 \text{ mGy} \cdot (\text{GPM})$
- \uparrow
HiNerf
 e^{-T} .
- 被曝 J D 1400X

② 3mm 線量率

1cm - 3mm - 70μm 線量

100 mRv / 5分 80 mRv / 1分

合計 1mRv / 分

③ 厚3mm 基本線 (1955)

↓

→ 核燃料料

R₂ 構築線
→ 施設側

改正

④ 許可届出使用

- 特定許可使用者

⑤ 行為的実取組みの

責任の明確化

- 測定器の届出使用者

⑥ 故障見返し

⑦ 記帳項目の見返し

人材への影響、30min以上

R₂ / 産生取扱い 1h以上

特許案 1

【発明の名称】放射性核種の自動精製装置

【技術分野】放射線核種の分離精製を行う自動装置

【技術背景】

α 線を放出する Ac225 などの放射性核種は、医療分野での活用が期待されている。医療分野で活用可能な放射性物質えるためには、放射線物質から所望の核種を分離するとともに、精製して不純物質を取り除くことが必要である。この放射線核種の分離精製プロセスは、多くの処理から構成されるため複雑である。また、市場ニーズ合わせた大量の放射性核種を生成するためには、高濃度・高線量の放射線物質から所望の放射性核種を分離精製することが求められる。

【課題】

放射性物質の量産には、製造作業の安全性とともに品質などの管理面からも、自動化が求められる。しかし、放射線核種の分離精製に必要な複雑なプロセスを自動化した場合、自動化装置が大型化してしまう。量産に合わせて、高濃度・高線量の放射線物質を扱う作業プロセスは、放射線が外部に漏れないように、鉛などで遮蔽された空間で行うことが必須である。分離精製自動機が大きくなると、必然的にそれを囲む遮蔽空間も巨大化する。大きな分離精製装置や大きな遮蔽空間は、大きな設置スペースと膨大な設備コストとなり、低価格な放射線核種を市場に提供することが難しい。

【目的】

本発明の目的是、放射線核種の分離精製プロセスを、よりコンパクトな装置で実現し、それによって遮蔽が必要となる領域を小さくすることで、放射線核種の製造コストを少なくすることである。これにより、低価格の放射性物質を市場提供する。

【手段】

- ・配管パネルと駆動機構と処理容器を着脱分離可能な構成とする
- ・該駆動機構に接続する配管パネルならびに処理溶液を交換することで、单一の装置で、少なくとも 1 つ以上の分離精製プロセスを実現可能な構成とする。

【公知例】

現在、調査選定中につき未確定

【請求項案】

【主請求項案】

① 放射性物質の分離精製を行う自動分離精製装置において、該自動精製装置は配管路と該配管路内の溶液を移動させる溶液移動手段と該配管の溶液供給方向を切替える溶液配管路切替手段とを備える配管パネルと

該配管パネルの該溶液移動手段と該溶液配管路切替手段を駆動する駆動手段を備えた配管パネル駆動ユニットと

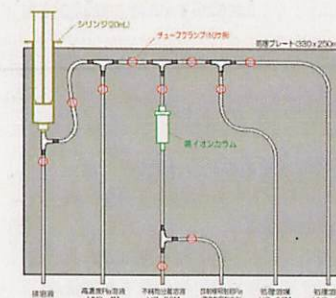
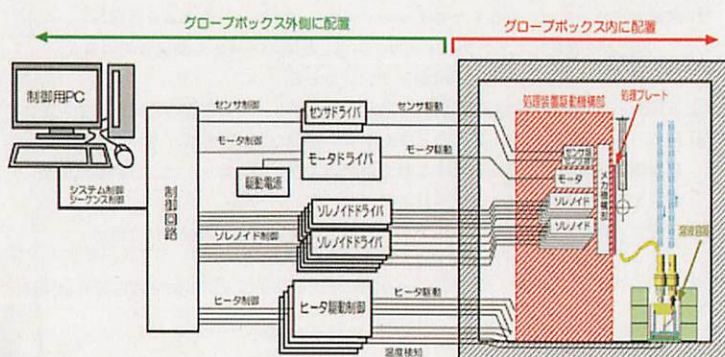
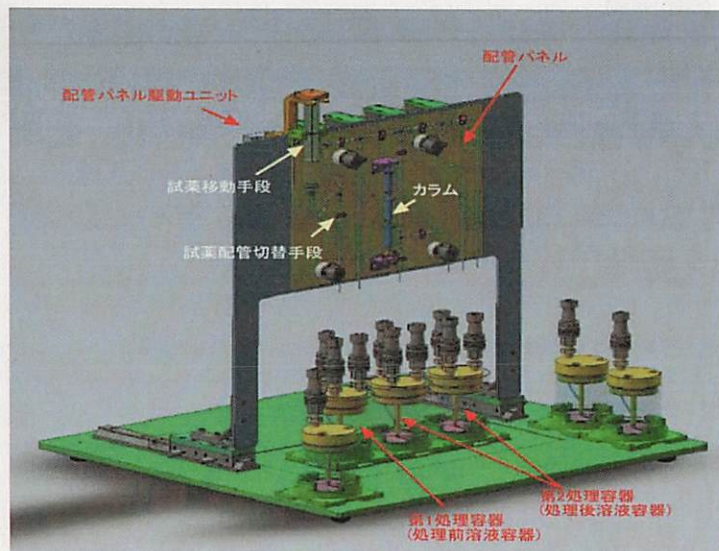
分離精製する放射性物質を含む溶液を保持する第 1 の処理容器と該放射性物質から分離精製された後の溶液を保持するための第 2 の処理容器から構成され

該配管パネル駆動ユニットと該第 1 および第 2 の処理容器は、該配管パネルと着脱可能なように構成されていることを特徴とした放射線核種の分離精製を行う自動装置

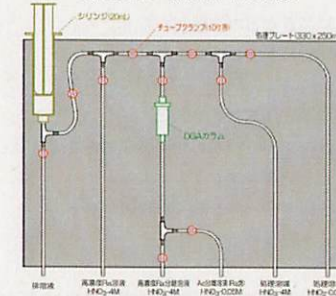
【從属項案】

- ② 該配管パネルには、少なくとも 1 つのクロマトグラフィーカラムを具備。
- ③ ②の該クロマトグラフィーカラムは、配管パネルから着脱可能に構成。
- ④ 該配管パネルの該溶液移動手段がシリジングである
- ⑤ 該配管パネルの該溶液配管路切替手段が、配管チューブの既定の位置を潰す手段。
- ⑥ 配管パネル駆動ユニットは、モータやソレノイドなどの該配管パネルを駆動する駆動機構と該駆動機構を駆動する動力供給および制御ユニットは、該駆動機構と配線で接続された別体で構成される。
- ⑦ 該配管パネルと該第 1 および第 2 処理容器との着脱部は、着脱時に管路が封止される機構を有する着脱手段からなる。
- ⑧ 該配管パネルには、1 つの第 1 処理容器と 1 つもしくは 2 つの第 2 処理容器が接続

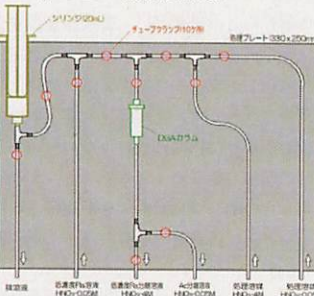
【参考図】



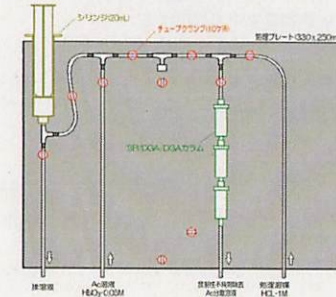
a) 処理 1: 照射前不純物除



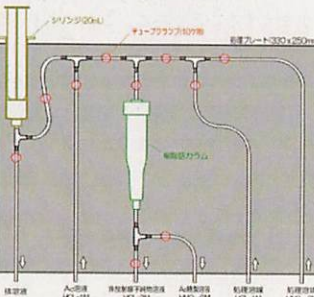
b) 処理 2: 照射後溶媒添



c) 処理 3: 高濃度Ra除



d) 処理 4: 低濃度Ra除



e) 処理 5: 放射性不純物除

f) 処理 6: 非放射性不純物除

特許案 2

【発明の名称】放射性物質を含む溶液の蒸発乾固方法およびそれを用いた蒸発乾固装置

【技術分野】放射線核種の分離精製における放射性物質が溶解した溶液の蒸発乾固装置

【技術背景】

α 線を放出する Ac225 などの放射性核種は、医療分野での活用が期待されている。医療分野で活用可能な放射性物質えるためには、放射線物質から所望の核種を分離するとともに、精製して不純物質を取り除くことが必要である。この放射線核種の分離精製プロセスには、放射性物質を溶解させた溶液をカラムクロマトグラフィーによって、所望の放射線核種を分離するとともに、残留不純物の除去が行われる。カラムクロマトグラフィーで分離後の溶液は、次の処理のための溶媒置換や放射性物質の取出しのために、溶媒の蒸発乾固処理が行われる。

【課題】

放射性物質のカラムクロマトグラフィーによる分離精製プロセスでは、放射性物質を溶解した溶液が用いられる。放射性物質を溶解した溶液を加熱し溶媒を酸化除去する蒸発乾固プロセスでは、Rn などの放射性ガスが放出される。蒸発乾固プロセスでの放出ガス量を抑制すること重要な課題である。また、蒸発プロセスでの溶液の飛散りは含有する放射性物質の容器壁面への付着を生じることから安定加熱酸化条件維持が必要である。加えて、処理時間が長いため、高い溶媒加熱除去速度が求められる。さらに、放射性物質を含む溶媒の酸化の完了を簡便かつ確実な検出法も重要である。

【目的】

本発明の目的は、放射性物質を含む溶液の蒸発乾固プロセスにおいて、
①蒸発乾固時に排出される水分と放射性ガスを含む排出ガス量を削減するとともに、
②溶液飛散りなどの生じない安定加熱条件下で、③高速な溶媒酸化を
④少ない加熱エネルギーで実現し、⑤溶媒酸化完了を簡便かつ確実に検出可能な
放射性物質を含む溶液の蒸発乾固方法およびそれを用いた装置を提供する

【手段】

- ・ 封止構造と吸排気孔を有する蒸発乾固容器を容器下面 or 下方から加熱する加熱手段
- ・ 該吸排気孔は、発乾固容器を容器上面 or 上方に配置
- ・ 該蒸発乾固容器の容器下面 or 下方の温度を検知する温度検知手段
- ・ 該加熱手段は該蒸発乾固容器の側面を開む壁状構造を具備
- ・ 該加熱制御手段は、連続加温時の安定液温が 90°C～98°C となるように加温制御
- ・ 該温度検出手段の検出値 or 該加熱手段の加熱出力値で加熱乾固完了検知
- ・ 該該給排気手段の送気ガス量を酸化速度(L/min) ÷ 該液温での飽和水蒸気圧で制御

【請求項案】

【主請求項案】

① 放射性物質の溶解した溶液を加熱し、放射性物質を析出させる蒸発乾固装置において
放射性物質の溶解した溶液を保持し蒸発乾固するための蒸発乾固容器と
該蒸発乾固容器を加熱する加熱手段と
該蒸発乾固容器に気体を供給する气体供給手段から構成され、

該蒸発乾固容器は

外気と遮断された封止構造であるとともに、
少なくとも 1 つの気体を供給できる气体供給孔と
少なくとも 1 つの気体を排出できる气体排出孔を備え、

該加熱手段は、

該蒸発乾固容器の下面もしくは下方の位置を加熱する加熱手段と
該蒸発乾固容器の規定位置の温度を検出する温度検出手段と
該温度検出手段の検出値による該加熱手段を制御する加熱制御手段を備え、

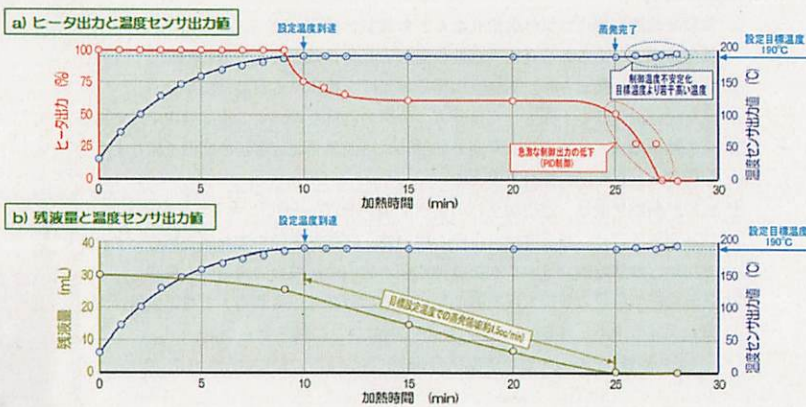
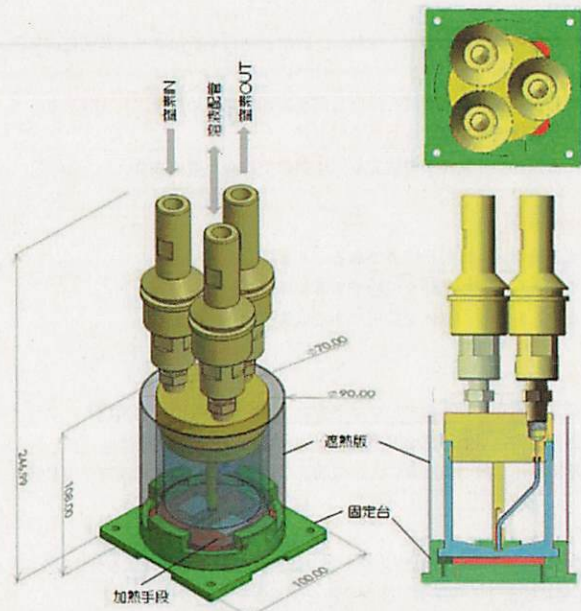
該給排気手段は

該蒸発乾固容器の气体供給孔および气体排出孔から給排気する气体量を
規定量に制御する吸排氣量制御手段を備える
ことを特徴とした放射性物質溶解溶液の蒸発乾固装置

【従属項案】

- ② 該蒸発乾固容器の該气体供給孔ならびに該气体排出孔は
封止構造である該蒸発乾固容器の上面もしくは概上方の位置に配置
- ③ 該加熱手段に備えられた蒸発乾固容器の温度を検出する温度検出手段が、
該蒸発乾固容器の下面もしくは下方の位置の温度を検出する温度検出手段である
- ③ 該加熱手段は、該蒸発乾固容器の加熱時に該該蒸発乾固容器の側面を開むように
配置構成された壁状部材を備える
- ④ 該加熱制御手段は、連続加温時の安定液温が 90°C～98°C となるように加温制御
- ⑤ 加熱制御手段は、該温度検出手段の検出値、該加熱手段の加熱出力値のいずれか
を用い、加熱乾固完了つまり該蒸発乾固容器内の溶液の完全蒸発を検知
- ⑦ 該該給排気手段の吸排氣量制御手段による該蒸発乾固容器への送気ガス量は、
概ね次式で求められるガス流量(±10～20%以内)に制御する
ガス流量(L/min) = 気化速度(L/min) ÷ 該液温での飽和水蒸気圧

【参考図】



特許案 3

【発明の名称】放射性物質の処理空間または処理装置に用いる給排気システム

【技術分野】放射線物質の処理空間や処理装置で製を行う自動装置

【技術背景】

放射性物質の処理各種処理では、放射線を遮蔽するだけでなく、放射性物質の飛散や漏洩などを防止するため、放射線物質は鉛など蔽された気密空間で取扱われる。さらに、放射性物質から生じる放射性気体についても、確実な管理と処理が求められることから、該放射線物質は鉛など蔽された気密空間内の気体は、放射性物質の除去処理をすることが必要である。

【課題】

放射線物質が高濃度・高線量になると処理中に発生する放射性気体の量も大量となる。発生する放射性気体の量が大量になるとその危険度は増大するとともに、その気体から放射性物質を除去処理する給排気システムは大型化してしまう。そのため、放射性物質の処理空間または処理装置およびその給排気システムは、放射性気体の発生量抑制とともに、小型の給排気システムで確実に放射線物質の除去処理をすることが求められる。

【目的】

本発明の目的は、放射性気体の発生量の抑制とともに、確実な放射線物質の除去処理を可能とする放射性物質の処理空間または処理装置およびその給排気システムを提供する。さらに、高濃度や高線量の放射性気体発生時も給排気システムを大型化することなく、外部漏洩を防いで、放射線物質の確実な除去処理が可能な給排気システムを提供する。

【手段】

- ・処理空間を含んだ循環型配管経路と循環気体送気手段と循環気体圧力検出手段と該循環型配管経路内の気体の貯留タンクと該循環気体圧力検出手段と貯留タンクによる循環気体圧力制御手段を備えた給排気システム
- ・該循環気体の温度・湿度の少なくとも一つ以上を検出・制御する手段を具備
- ・温度制御、湿度制御、放射性物質除去、放射線量検出手段を具備
- ・該循環型配管経路に接続されるバイパス経路を具備。
 - ・温度制御、湿度制御、放射性物質除去、放射線量検出手段をバイパス経路に配置
 - ・バイパス管路への気体引込み量制御手段/バイパス管路着脱手段
 - ・湿度制御、放射性物質除去は、気体の冷却除去手段
- ・該循環気体送気手段は、該処理空間内での処理内容応じて、送気量を制御
- ・該処理空間を取囲む遮蔽体も循環型配管経路を備える二重構造体

【公知例】

現在、調査選定中につき未確定

【請求項案】

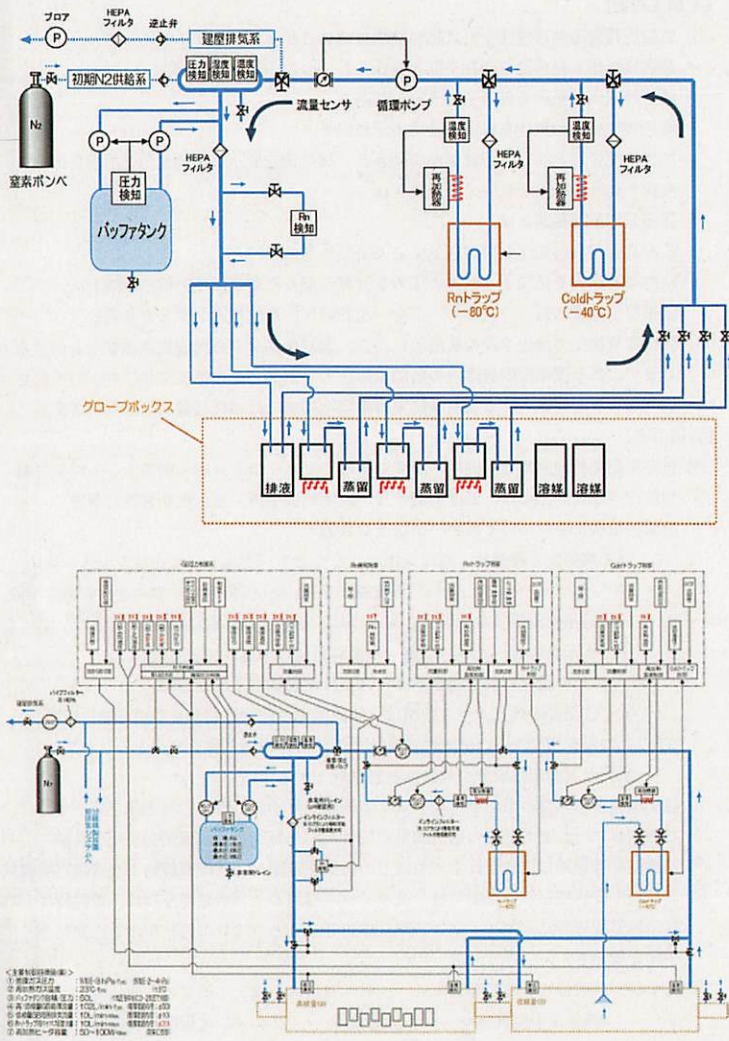
【主請求項案】

① 放射性物質の処理空間または処理装置に用いる給排気システムであって、放射性気体の発生源を含む空間を封止した一つ以上の処理空間と該処理空間に気体を供給する供給配管路と該処理空間内の気体を排出する排出配管路と該供給配管路と該排出配管路が接続され、該処理空間への供給気体と排出気体が接続された循環型配管経路が構成され、該循環型配管経路には、該配管経路内の気体を循環送気する循環気体送気手段と該循環経路を循環する気体の圧力を計測可能な循環気体圧力検出手段と該循環型配管経路内の気体の一部を一次貯留可能な貯留タンクとを具備し、該循環気体圧力検出手段の検出値により、該貯留タンクの貯留気体量を出入れすることで、該循環型配管経路内の循環気体圧力を制御可能な循環気体圧力制御手段を備えることを特徴とする放射性物質の処理空間または処理装置の給排気システム

【從属項案】

- ② 該循環型配管経路には、温度・湿度の少なくとも一つを検出・制御する手段を具備
- ③ 該循環型配管経路には、温度制御手段、湿度制御手段、放射性物質除去手段、放射性量検出手段のいずれか一つ以上を具備
- ④ 該循環型配管経路は、循環気体の少なくとも一部もしくは全量を引込み戻すバイパス管路を備え、③の該温度制御手段、湿度制御手段、放射性物質除去手段、放射性量検出手段の少なくとも一つは、該バイパス管路に配置
- ⑤ ④記載の該バイパス管路への循環気体の引込み切替え及びその量を制御可能なバイパス気体流量制御手段を具備
- ⑥ ④記載の該バイパス管路は、該循環型配管経路から着脱可能に構成
- ⑦ ③の温度制御手段、放射性物質除去手段は、循環気体を冷却することで、水分などの液体成分や放射性物質を除去する手段
- ⑧ 該循環型配管経路の気体を循環送気する循環気体送気手段は、該処理空間内での処理内容に合わせて既定の送気流量に切替可能な循環気体流量制御手段を具備
- ⑨ 循環型配管経路に接続される一つ以上の該処理空間は、該配管経路より着脱可能構成
- ⑩ 該循環型配管経路から着脱可能な該バイパス管路および該処理空間は、着脱時に該循環型配管経路、該バイパス管路、該処理空間のいずれの接続手段も自動封止手段を備える。
- ⑪ その他：放射性物質の処理空間は、放射線遮蔽体を備える第2の空間に内包され、該第2の空間は…… (⑫⑬⑭⑮…… クレーム化範囲は別途検討。)

【参考図】



特許案 4

【発明の名称】放射性気体中の水分および放射性物質の除去装置

【技術分野】放射性気体内に含まれる水分および放射性物質の除去

【技術背景】

放射性物質の処理作業などにおいて、発生する放射性物質を含む放射性気体は、確実な管理と処理が求められる。放射性気体は、外部排出する前に放射性物質をほぼ完全に取り除くことが求められる。放射性気体は、含まれる放射性物質が液化する温度まで冷却して、モレキュラーシープなどの吸着剤に物理吸着して回収する冷却回収方式が用いられる。放射性物質の処理作業時に発生する放射性気体は、その発生量に合わせた放射性物質の回収処理手段を設けることが必要である。

【課題】

放射性物質の処理作業時に発生する放射性気体は、水蒸気などの形で水分を含有する。気体冷却時には水分が液化または固化する。液体や水・霜となった水分は放射性物質回収用のモレキュラーシープなどの吸着剤を詰まらせるという問題が生じる。そこで、放射性物質回収の前には、水分除去と放射性物質除去を組合せる方法が用いられている。水分冷却回収では、冷却管路径が大きいほど多量の水分を回収できるが、回収率が低い。一方で冷却管路径が小さいほど水分回収率は良いが、多くの水分を回収できない。さらに、水分回収が進んで冷却管路が細くなると水分の回収効率が低下する。放射性気体中の水分および放射性物質の除去装置では、規定流量の放射性気体から規定の効率以上で安定的に水分や放射性物質を回収できることが求められる。

【目的】

本発明の目的は、放射性物質処理作業時で生じる規定流量の放射性気体から規定以上の効率で安定的に水分や放射性物質を回収可能な水分放射性物質除去装置を提供する。

【手段】

- ☆・ 配管路と該配管の一部に取付けられた水分除去手段と放射性物質除去手段で構成、
該水分除去手段は、2つ以上の冷却管路を連結、
該放射性物質除去手段は、予備冷却管路手段と放射性物質回収手段より構成
- ☆・ 水分除去手段と放射性物質除去手段は、着脱可能な流路離接手段を具備
 - ・ 水分除去手段と放射性物質除去手段は、2つ以上の除去手段を備え、切替手段を具備
 - ・ 水分除去手段と放射性物質除去手段は、加熱復水回収手段を具備
- ☆・ 水分除去手段と放射性物質除去手段は、入口と出口間圧力差で除去限界を検知
- ☆・ 水分除去手段と放射性物質除去手段は、切替弁や流路離接手段などの可動管路部位置もしくはその上流管路もしくは気体を規定温度に制御する再加熱手段を具備

【公知例】

WO2022167669A1

その他公知例についても、調査選定中

【請求項】

【主請求項】

☆① 放射線気体から水分ならびに放射性物質を除去する水分放射線除去装置であって、該水分放射線除去装置は、放射線気体を送りする配管路と該配管の一部に取付けられた水分除去手段と該水分除去手段の下流配管に取付された放射性物質除去手段から構成され、

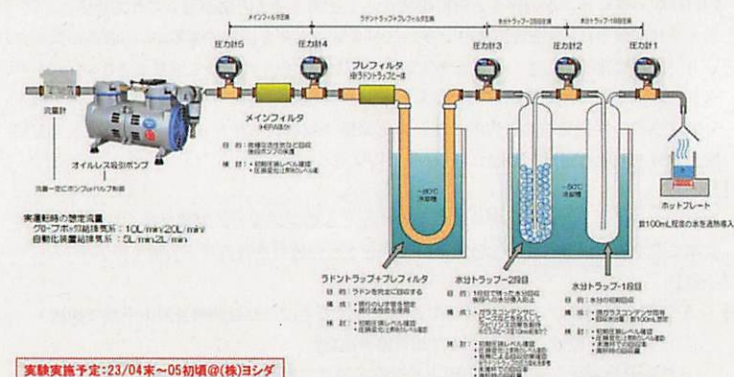
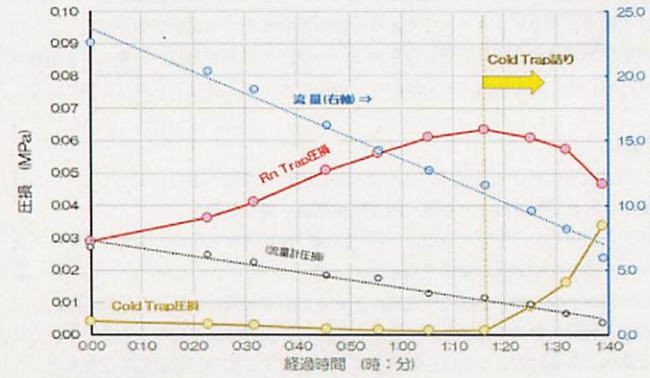
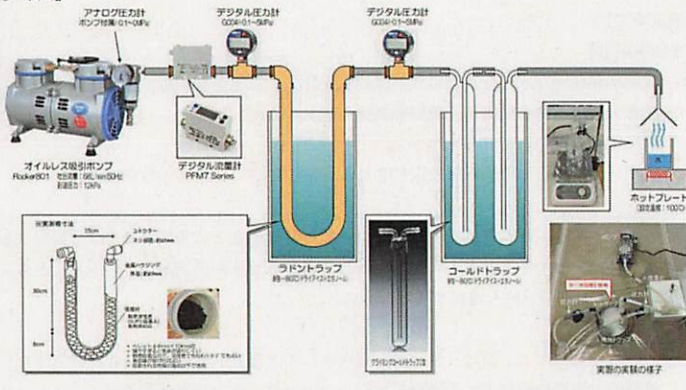
該水分除去手段は、管路内の気体を冷却し管路壁面などに着霜させて水分回収する冷却管路手段であるとともに、上流より下流の各管路断面積が小さい少なくとも2つ以上の冷却管路を連結なるとともに、

該放射性物質除去手段は、管路内を搬送されてきた放射性物質を含む乾燥気体を管路内で規定の温度まで予備冷却する一つ以上の予備冷却管路手段と該予備冷却手段により予備冷却された放射性物質を含む乾燥気体を放射性物質の吸着体に吸着回収させる一つ以上の放射性物質回収手段より構成されていることを特徴とする放射性気体中の水分および放射性物質の除去装置

【従属項】

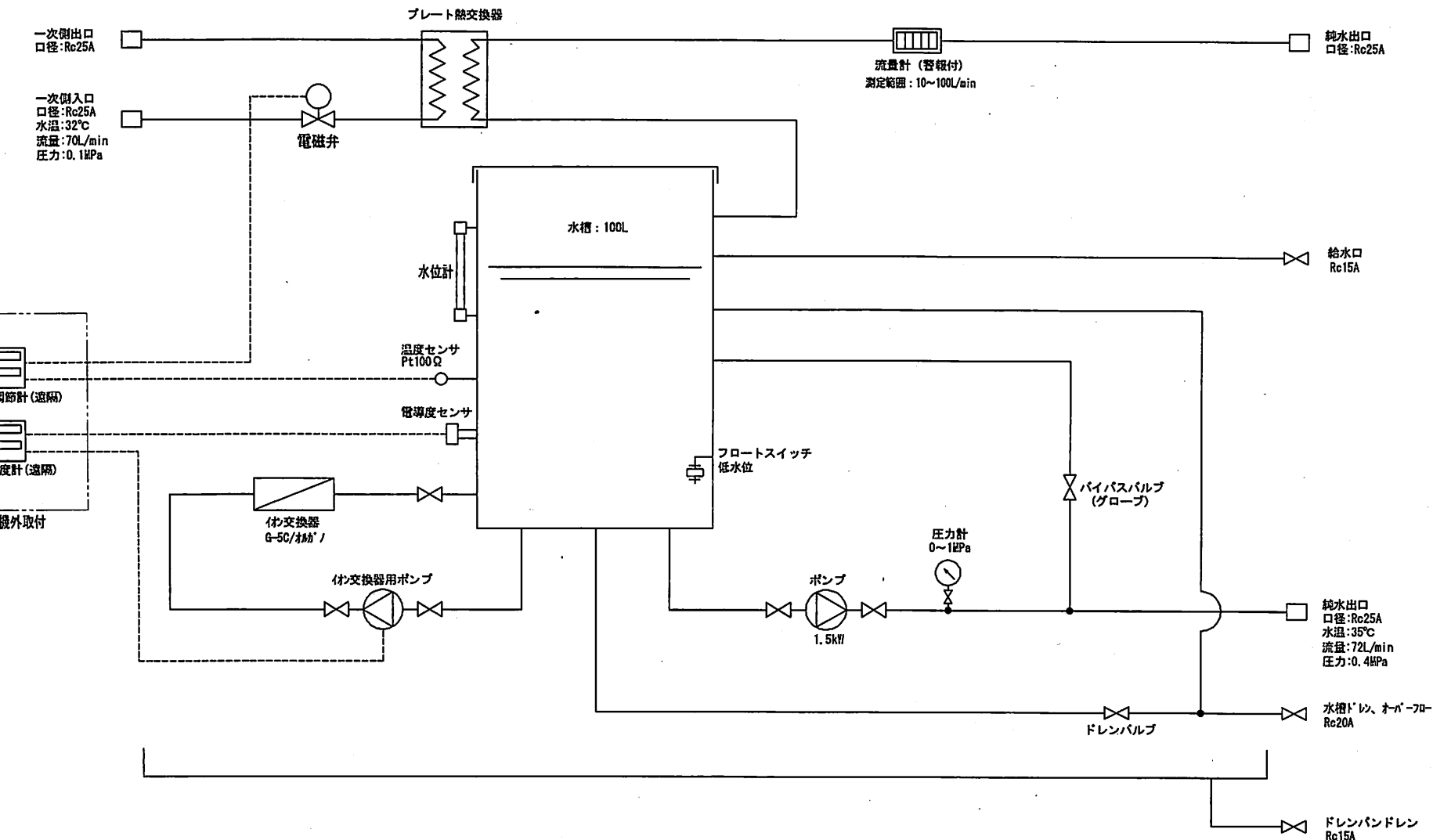
- ☆② 該除去装置における該水分除去手段と該放射性物質除去手段の少なくとも一方は、配置された該配管路より着脱可能な流路離接手段を具備
- ③ 該除去装置における該水分除去手段と該放射性物質除去手段の少なくとも一方は、少なくとも2つ以上の除去手段を備え、いずれか一つの除去手段で除去動作させるための配管路の切替手段を具備
- ④ 該除去装置における該水分除去手段と該放射性物質除去手段の少なくとも一方は、管路内に着霜回収した水分を加熱復水して回収する加熱復水回収手段を具備
- ☆⑤ 該除去装置における該水分除去手段と該放射性物質除去手段の少なくとも一方は、該水分除去手段および該放射性物質除去手段の入口と出口管路間の圧力差を検出し、既定の圧力差以上において、該除去手段の除去限界を検知
- ☆⑥ 該除去装置における該水分除去手段と該放射性物質除去手段の少なくとも一方は、該除去手段の下流管路に設けられた切替弁や流路離接手段など可動管路部位置もしくはその上流配管位置において、管路もしくは管内気体の少なくとも一方を規定温度もしくはそれ以上に再加熱制御する再加熱手段を具備

【参考図】



実験実施予定: 23/04末～05初頃@(株)ヨシダ

等



| 付号 | 日付 | 訂正記事 | 記入 | 親図面番号 | 親図面名称 | 親型名 | 表面粗さ | 三角法
度1 | 材質 | 型
名 | 承認 | 審査 | 設市村
計監修 |
|----|----|------|----|-------|-------|-----|------|-----------|----|---------------|----|----|------------|
| △ | | | | | | | | | | REW-15000V-HS | | | |
| △ | | | | | | | | | | カエリ取り | | | |
| △ | | | | | | | | | | 普通公差 | 系 | 統 | 参考 |

付号 日付 訂正記事 記入 親図面番号 親図面名称 親型名 表面粗さ 三角法
度1 材質 型
名 承認 審査 設市村
計監修

オリオン熱学株式会社

小計 1,700,000

合計金額 22,700,000

老闆

別忙了嗎？

99% 被淘汰了

• 無趣地飞到了

• 哪裡飛去呢？

• 又不知道

御 見 積 書

2023 年 4 月 12 日

株式会社 日立製作所

西田 賢人 様

下記の通り御見積り申し上げます。

受渡期日 納期約6ヶ月

受渡場所 貴社（茨城県日立市）

取引方法 従来通り

有効期限 1ヶ月

合計金額 ￥22,700,000.-

消費税は別途必要です。

オリオン熱学株式会社

〒162-0801

東京都新宿区西新宿3丁目3-18

DSDビル 2F

TEL. 03-5206-6227 FAX. 03-5206-6228

担当者 金子 義和

| 承認 | 審査 | 担当 |
|----|----|----|
| 島田 | | 金子 |
| | | |

| 品 名 | 数量 | 単 価 | 金 額 | 備 考 |
|------------------------------|----|-----|----------|-----|
| オリオン熱学製水水熱交換機2台 | | | | |
| オリオン機械製チラー1台御見積 | | | | |
| REW-15000V-HS (オリオン熱学製) | 1 | 台 | 5000000 | |
| (仕様概要) | | | | |
| ①ポンプ 72L/min@0.4Mpa | | | | |
| ②必要冷却水 70L/min(32°C)@0.1Mpa | | | | |
| ③タンク容量 100L | | | | |
| ④温度調節器、電動率計はリモート盤へ取り付け | | | | |
| (配線長 30m) | | | | |
| ⑤概算寸法 W1500×D1000×H1000 | | | | |
| REW-330KV-HS (オリオン熱学製) | 1 | 台 | 16000000 | |
| (仕様概要) | | | | |
| ①ポンプ 537L/min@1.1Mpa | | | | |
| ②必要冷却水 600L/min(32°C)@0.2Mpa | | | | |
| ③タンク容量 1000L | | | | |
| ④温度調節器、電動率計はリモート盤へ取り付け | | | | |
| (配線長 30m) | | | | |
| 次頁へ続く | | | | |

(製品保証について)

当社製品の故障、瑕疵に起因してお客様に損害が生じ、当社がその賠償責任を負う場合、当社が賠償する損害は当社製品の故障、瑕疵に起因して直接生じた損害に限定され、機会損失、逸失利益、お客様の第三者に対する賠償責任等の間接損害、二次損害等については保証及び賠償の対象外となります。

帳票No. : G-全MN001-A0

主要物品(その他)

冷却水回路 端 = supertite = supertite = ... = 16mm swagelok
 $\text{RC}^{3/4}$

冷却管 + 型番 追記

冷却 + 型番

H2O の 情報 追記

銀散包の範囲と位置検査

1-237-1-2477-72

20日 - 21日

後略

1-237-1-2477-72

+

4-21、1) 液冷却 A. ($P_1^{1/2}$) 分配

4/14 (金) 8~9 11~12 12~15 - 11~15.

● 元27年4月23日22時-23時、^{午後}、^晴、^{風強}、^{27℃}。

操作控制命令(2)

$V_{FS} - V_{SL}$? 片電源

90% $\rightarrow ??$

处理水 放

水急.

$\left\{ \begin{array}{l} 2h - h = \text{剩余}, \text{放水} \\ \downarrow \\ \text{原水 } h = \text{人} \rightarrow \text{停} \end{array} \right.$

放水目標 / 60進溢金

• $H_2 > H_1$ 用, stop 在生成完了,

\rightarrow 2h > h_{target} (用 $< H_1$)

$\left\{ \begin{array}{l} ① H_2 - H_1 < H_{target} \\ ② H_2 - H_1 > H_{target} \quad \text{已生成} \end{array} \right.$

\rightarrow stop, root [2] (* 1-2-3)

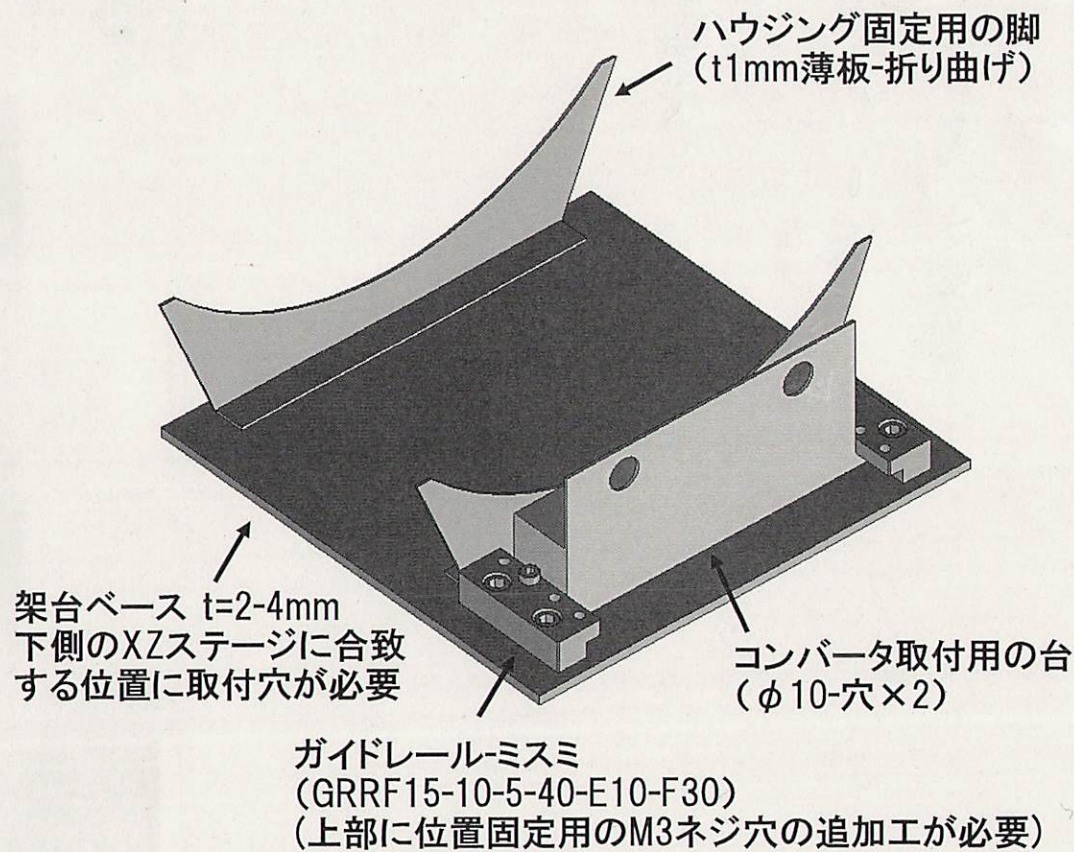
[1,2,3] 以外 全消去.

$\rightarrow \left\{ \begin{array}{l} ① \\ ② \quad [1,2,3] \text{ 未消去} \end{array} \right.$

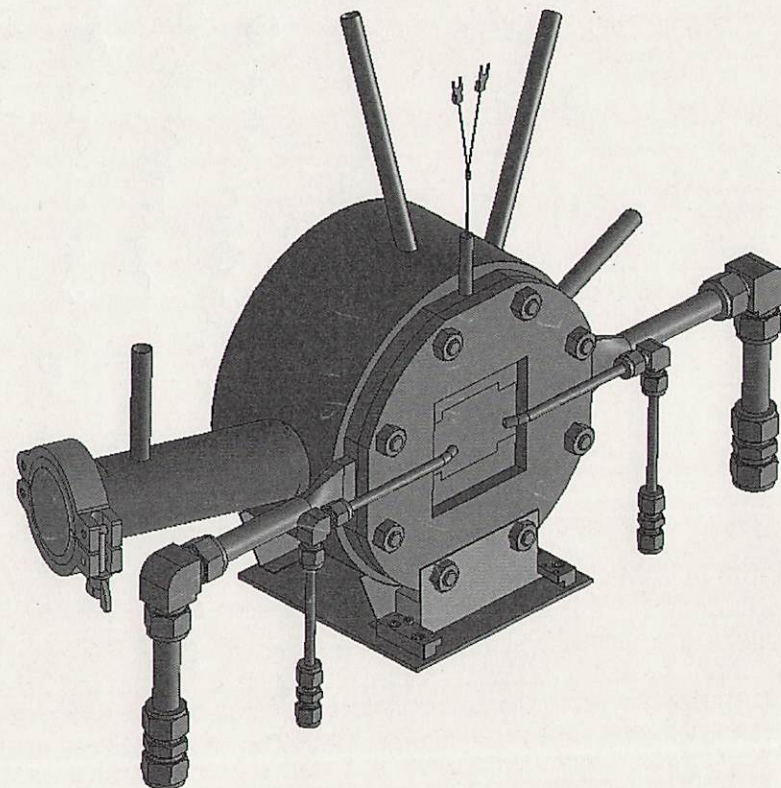
ハウジング架台案

HITACHI
Inspire the Next

ハウジング架台案



取付イメージ



- ・排ガス ($12n-222$) 排出の確認。 (付属図面)
- ・自動化、連絡化。(高級量作業者) 新幹線
- ・GBg-2h-n の製造。(25, 2)
- ・Ra-206 の確保。

成果。

Ra ~~付料~~

産能工場(大)

今後 20 年 P_2^b の需要に応じて可能な Ra 保持の情報入手。
 \overbrace{Ra} ~~付料~~ ~~新規工場~~ 調達促進。

GBg-2h-n の P_2^b

IP

新規予測、
 建設工事着手
 開始年 1977 年
 建設年 1982 年
 $P_2^b + K_T \cdot 10^{-3} \text{ t/a}$
 成本予測 $P_2^b \cdot 17-a^{18.7}$
 両数?
 建設年 1977
 $\left. \begin{array}{l} \text{新規予測} \\ \text{IP} \\ \text{或} \\ \text{新規予測} \end{array} \right\} \text{input}$
 $\left. \begin{array}{l} \text{IP} \\ \text{或} \\ \text{新規予測} \end{array} \right\} \text{output}$

- 6-33. Ratkowsky, D. A., Tasmanian Regional Laboratory, CSIRO, Hobart, Tasmania, Australia, 1970, as quoted by R. K. Shah and A. L. London, "Laminar Flow Forced Convection in Ducts," *Advances in Heat Transfer*, Supplement 1, Academic Press, New York, 1978, p. 347.
- 6-34. Zarling, J. P., "Application of the Schwarz-Neumann Technique to Fully Developed Laminar Heat Transfer in Non-Circular Ducts," *J. Heat Transfer*, 99, 332-334 (1977).
- 6-35. Hu, M. H., Westinghouse Electric Corporation, Tampa Division, Tampa, Florida, 1975, as quoted by R. K. Shah and A. L. London, "Laminar Forced Convection in Ducts," *Advances in Heat Transfer*, Supplement 1, Academic Press, New York, 1978, p. 276.
- 6-36. Sparrow, E. M., and A. L. Loeffler, "Longitudinal Laminar Flow Between Cylinders Arranged in Regular Array," *AIChEJ*, 5, 325-330 (1959).
- 6-46. Nandakmar, K., and J. H. Masliyah, "Fully Developed Viscous Flow in Internally Finned Tubes," *Chemical Eng. J.* 10, 113-120 (1975).
- 6-156. Gunn, D. J., and C. W. W. Darling, "Fluid Flow and Energy Losses in Non-Circular Conduits," *Trans. Inst. Chem. Engrs.* 41, 163-173 (1963).
- 6-157. Shih, L., "Laminar Flow in Axisymmetric Conduits by a Rational Approach," *Can. J. Chem. Eng.* 45, 285-294 (1967).
- 6-158. Scott, M. J., and R. L. Webb, "Analytic Prediction of the Friction Factor for Turbulent Flow in Internally Finned Channels," *J. Heat Trans.* 103, 423-428 (1981).
- 6-159. Soliman, H. M., and A. Feingold, "Analysis of Fully Developed Laminar Flow in Longitudinally Finned Tubes," *J. Chem. Eng.* 14, 119-128 (1977).

$$50\text{mm} \times 1.5 \times 5 = \frac{375}{300\text{mm}^2}$$

$$\text{内径管 } 153\text{mm}^2$$

$$153 \times 10^{-6} \text{m}^2$$

$$15 \times 10^{-3} \text{m}^3/\text{min}$$

$$\textcircled{2} \text{ 大} \quad Q_{avg} = 0.25 \text{m}^3/\text{s}$$

$$\textcircled{3} \text{ 人水管} \quad \overline{v} = 1.6 \text{m/s}$$

、 0.1mm の断面の可逆性高。

\rightarrow 人水管。

、 短形配管。

\rightarrow 納水口。

\rightarrow 四形管の先端 \rightarrow 短管に接続。

、 コンクリート。無効 \rightarrow 可。

、 全体の形状 $\rightarrow A=1$ 。

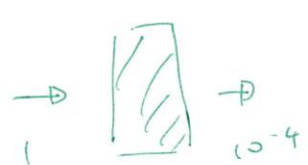
、 1m 面積あたりの断面 \rightarrow 均等化する。

$$\begin{aligned} \frac{B}{B_0} &= -\frac{\frac{l}{500}}{e^{\frac{-4ln10}{l}}} \\ &= e^{-\frac{1}{500}4ln10} \cdot e^{\frac{ln10}{25}} \\ \ln 10^{-4} &= -\frac{500}{\lambda} \\ \lambda &= \frac{-800}{-4ln10} = \frac{800}{4ln10} \end{aligned}$$

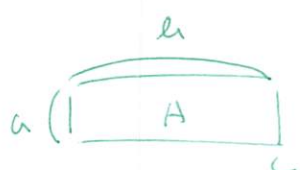
$$\frac{A}{A_0} = e^{-\frac{500}{\lambda}}$$

4/4. ポンプ室の算定。

500mm



、 水力直径。



$$D_h = 4A/C$$

$$C = a + h$$

$$C = 2a + 2h$$

$$D_h = 4 \cdot \frac{ah}{(2a+2h)} = 2 \cdot \frac{ah}{a+h}$$

$$l_h = 800\text{mm}$$

$$l_h = ?$$

$a =$

$$\frac{A}{A_0} = e^{\frac{l}{\lambda}} \quad 10^{-4} = e^{-\frac{l}{\lambda}}$$

$$4/5. \text{ SJS} \quad 500\text{mm} - 10^4 \text{ down} \quad \ln 10^{-4} = -\frac{l}{\lambda}$$

200mm

10^2 down

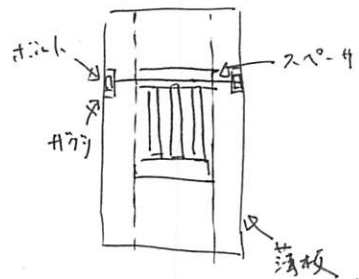
100mm

10^1 down

$$+ 4\ln 10 = +l$$

$$l =$$

④ 細型のコンベ-4 計算



矩形 \rightarrow 円形 \rightarrow 矩形

4/3. 压縮の計算

・ 流路

$$\begin{array}{c}
 \text{O---[---]} \\
 R = 16 \text{ mm} \quad d = 36 \text{ mm} \\
 (14 \text{ mm I.O.}) \quad A = 180 \text{ mm}^2
 \end{array}$$

\downarrow
 153.86 mm^2 \rightarrow 之は、矩形断面の流路積分

⑨ $P_{st} = \dots \rightarrow$

→ PHITF 依頼書、発熱計算
→ 形状 CAD ~~→ 算出~~、表

1h. $q=30 - 10=30$

- P_{st} の発注準備
- 会員登録已済
- 見積書の集合、会員登録確認
 - 入力用、画用
- ⇒ 4~5日 PHITF 計算不可
 - ⇒ 4~7日間の間、計算不可

~~未~~

○ 10月 20日

人材、割当、

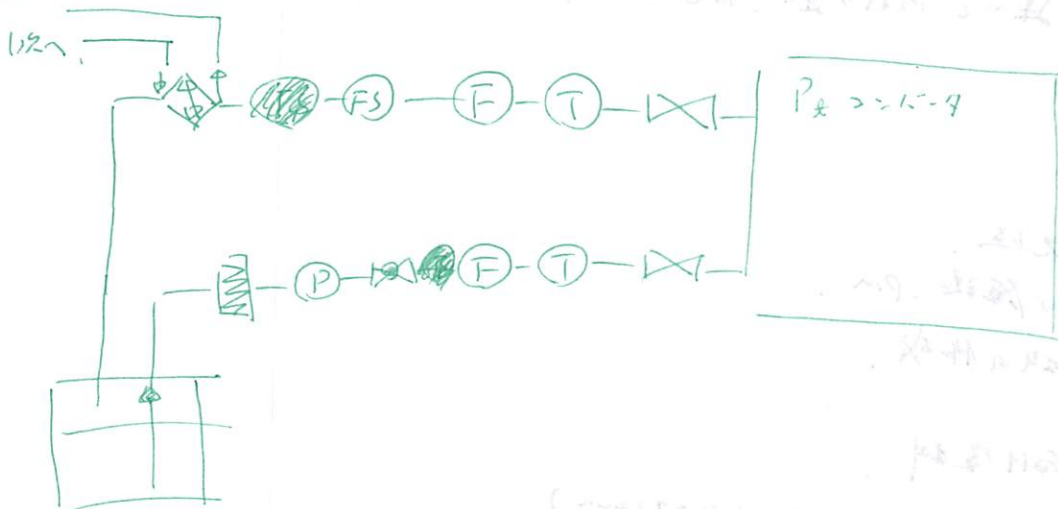
7-2. 分析

部 (GBq 製造)

- ・品質
- ・Ra-226入手 (試料作製)
- ・H=70μ 提供
- ・回収効率

- 7-2-1-4 作製
7-4-1 人 (全器作製評価)
評価方法第2次
実施
共同進歩会
搬送 (九州+電子天、金研)
試料化 (RaCO₃化)
ホルダ整備
夏玉申請
K型三次元設計
アベニラ盤点

② 酸化管 実験 -11



⑥ 球状の飛行.

放射線等の大きさ調査

- 放射線等の吸収線量の検討.
- フルカットコートの更新. フラスト.
- 新100%ルへの更新. + MC更新の方法生成
- 22E-9 の熱量的計算.
- 1-L-3-D の熱量的計算.

L-3-D

修正

→ 1月1日. フルカットは実行
→ 2月1日. 1%→10%の実行 (1)
→ 3月1日. (flat polar)
mshapeを実行.

⑦ 面の追跡の問題.

→ の面の追跡

- 相数の追跡. 内部の追跡. 伝播等.

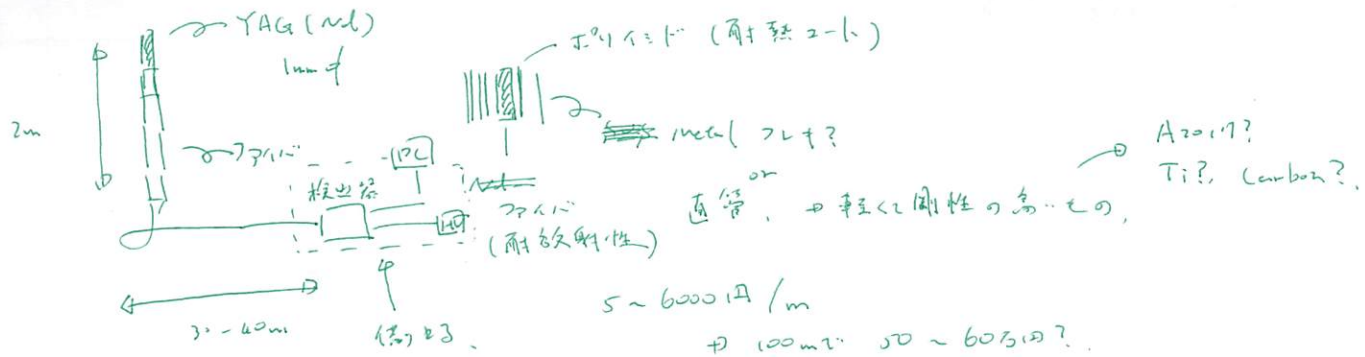
⑧ 位置の追跡.

- 位置の追跡. PIM.
- 位置の追跡. PIM.
- 東北大学の作成.

東北大学資料

- 追跡. (193-8-17 15:02 (200))
 - 追跡. (193-8-17 15:02 (200))
 - 追跡. (193-8-17 15:02 (200))
 - 追跡. (193-8-17 15:02 (200))

④ 光ファイバ型 2-4.



⑤ 信子量 4-7.

⑥ 駆動機構の要素. $\left\{ \begin{array}{l} \text{・ 压室.} \\ \text{・ 23740277-1-1 - } \rightarrow \text{支持構造? (2029+2)} \end{array} \right.$

⑦ 構造. (

(支持構造) \rightarrow PL37L-4.

2D 2-3-2.

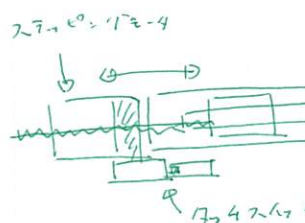
$$- 1 = P_{2-4} \cdot (PJPPL2832E6 (100))$$

LM Guide ()

$$f = \omega C P V \Delta T$$

$$113-176-4, (9 \times 4 \times 1.4)$$

$$\Delta T =$$



* 2 2-2-3-1-5?

2-2-3-2-2

8 7 6 5 4 3 2 1

F

F

E

E

D

D

C

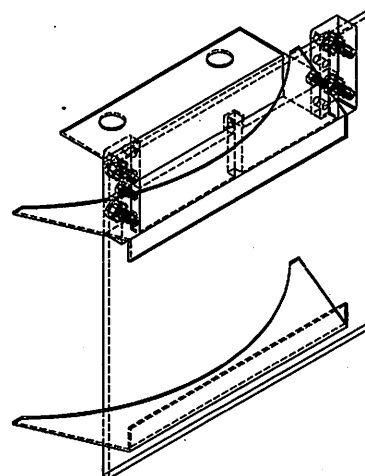
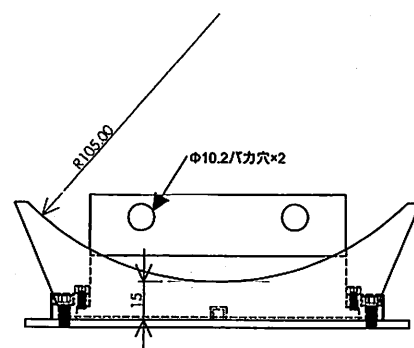
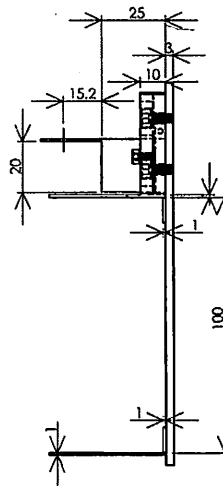
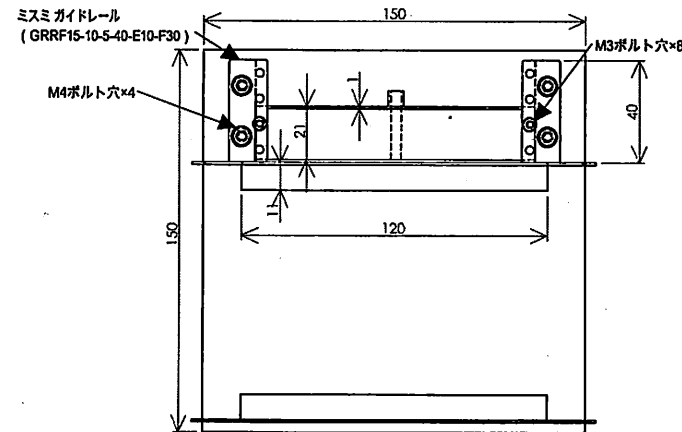
C

B

B

A

A



| | | |
|-----|----------------------|----|
| 作成日 | 2023/04/24 | A3 |
| 作成者 | 西田 賢人 | |
| 機種名 | 朝賀さんハウジング_菜台_アセンブリ | |
| 基準: | 寸法: 1:2
面数: 1 / 1 | |

8 7 6 5 4 3 2 1

• 6-4 2215~2223

6月

090-1851-1980

2 節目

教育，→

资金確認，
調
查工作， 位置調整。

核心 辞止。

11522113 1-52-29

~2011-5

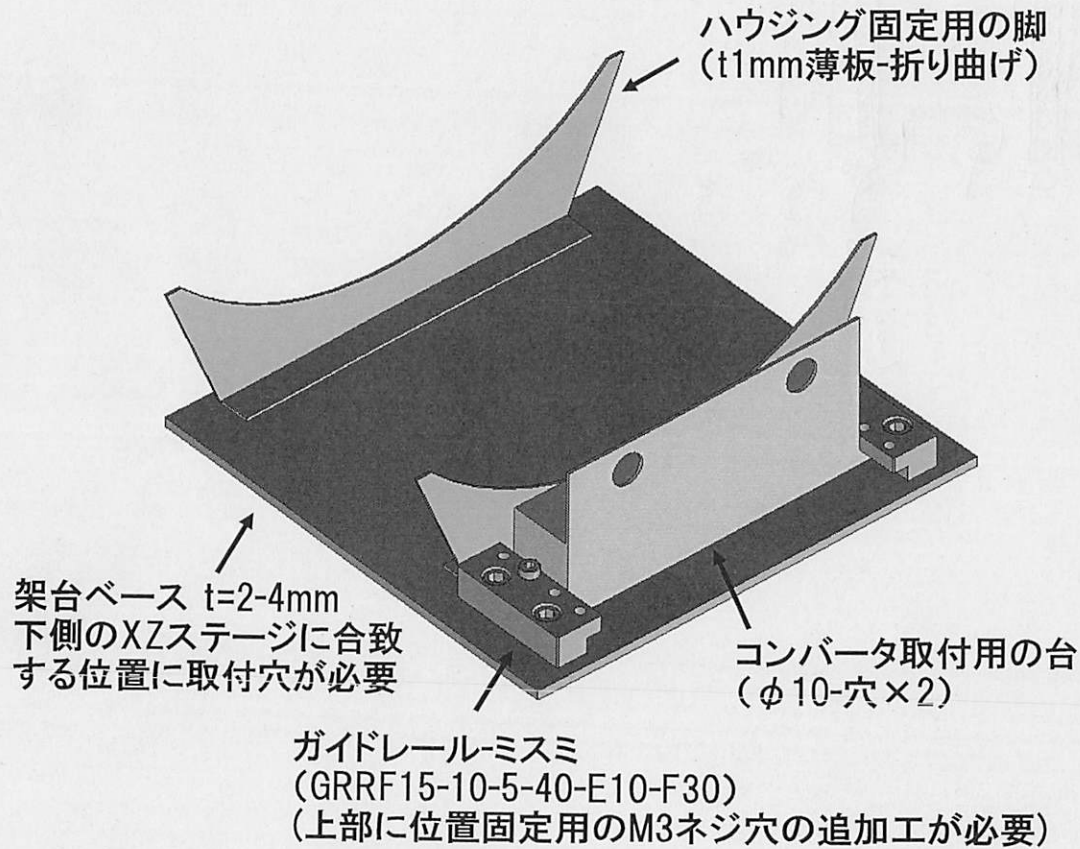
RCM. → 計畫，

2802 2-7，平手行。

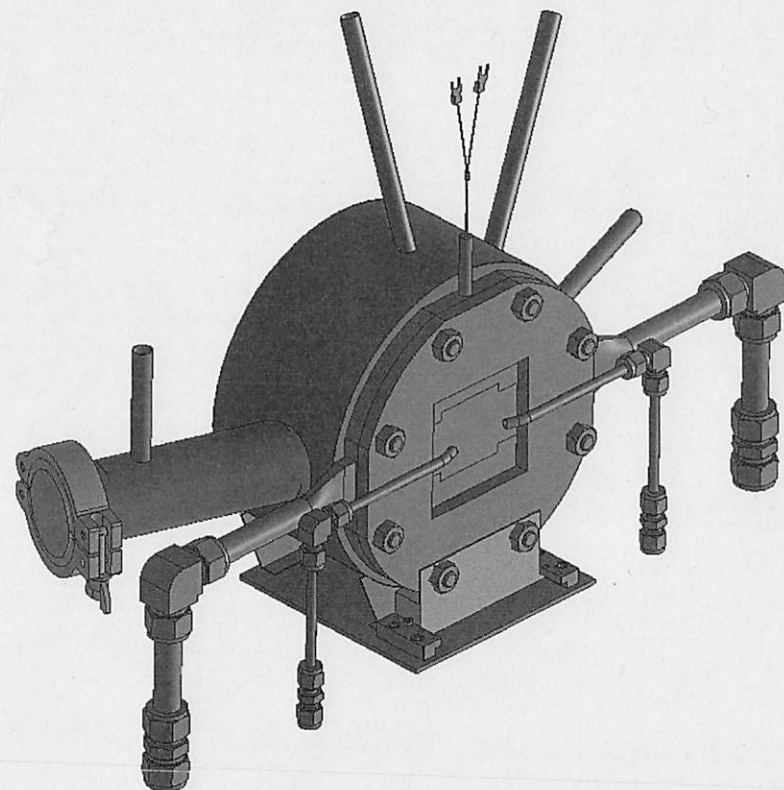
ハウジング架台案

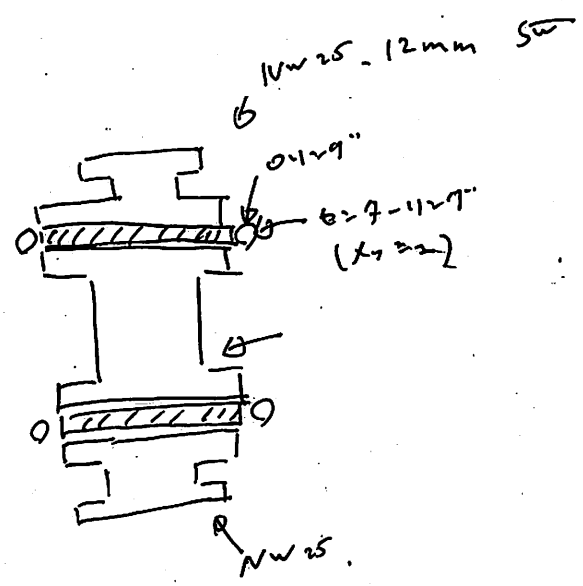
HITACHI
Inspire the Next

ハウジング架台案



取付イメージ





④ 緑源 譲受申す旨の提出

放射区域内作業 → 基本基規 → 善玉好公司

| | | | | |
|--------------------|-------------------|-------|------------------------------|----------------------------------|
| $R_{\alpha} - 226$ | 3.7 GBq | - BU型 | $\rightarrow @70 \text{ cm}$ | 92 mSv/h |
| $C_s - 137$ | 370 MBq | - L型 | | 92 mSv/h |
| A_{m-241} | 259 GBq | - A型 | } | $\rightarrow 7-7-23 \text{ 内容篇}$ |

QST 受渡(1枚)、転送注記。

$C_s - 137$

3緑源、中国等へ??

認可確定までの時間

$\rightarrow A_{m-241}, C_s - 137$, 優先(12)

$2/22$ までは、相手の輸送終了、(23-27-1)

運搬のすゝめについて

$2/19, - 2/22$ 3緑源の予定

12月中の締付けシグン

回轉板封書

回立側、事前加入確認
(仮想)

別1月の切断、 \rightarrow BYK 運搬部

QST \rightarrow 善玉好、譲渡・譲受

包装手形

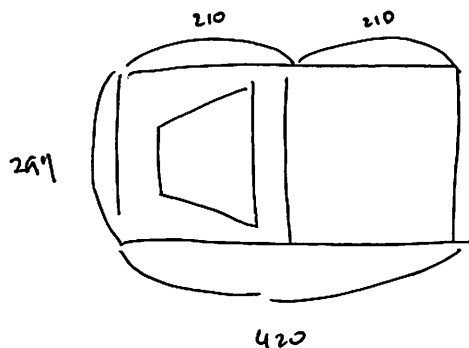
* 2023-04-11, 23:33

+ poly 組合 . or 產標正 L ..
↑
127x1y ,

⇒ input file 變更? .

- . json 補充 2 2+ 2in1 ~ 單 .
- . \approx dB の ~~修改~~ 欄位 . (app-shader_1and2 ->) .

* 4月1、GPT 2 2d2 . A4 2 > 並排 2 3 ...



+ 續作 . (L-#6-7)

, ココレーティー . 3D 整備 .

+ トレイ 多面 > 13 .

+ 2 = 2 P. C 143 .

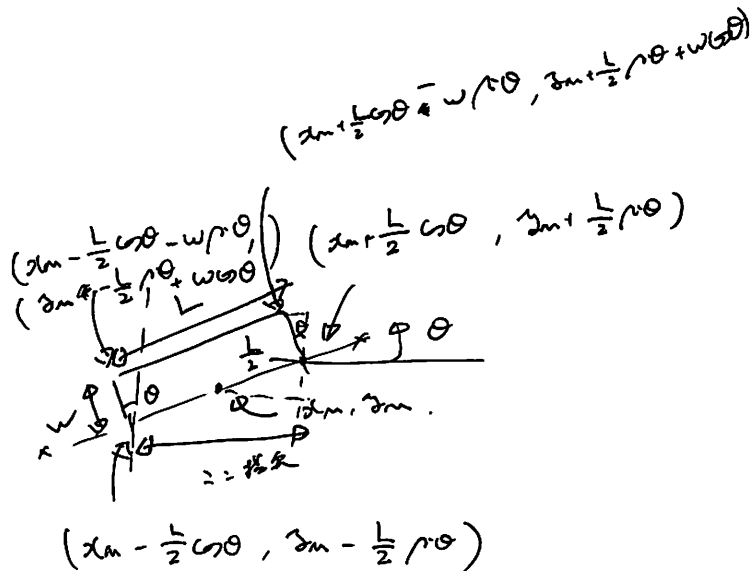
+ 離 EPAY 2 はす .

+ GUI . (簡便化)

* トレイ多面 1443 . . .

4. 部 分 145 < 改變 2 .. 155 .. → 手抜 .

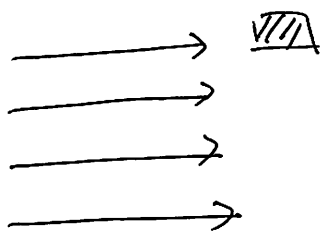
lamp-shade 58' .



$$\frac{1.7 \times 10^{-5}}{100 k B_g} \times R_a(B_g) \times T_b(h) \times I_b(1A)$$

10 200

$$\frac{3.4 \times 10^{-2}}{3.4 k B_g} = 3.4 k B_g$$



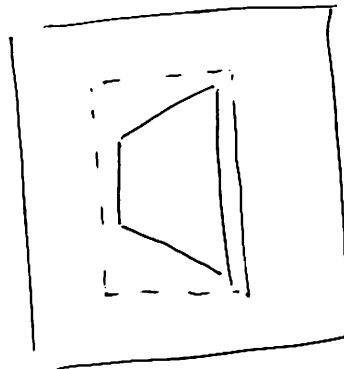
◎ 700

"製造工程を追加する"
L-H-A-T-Y-Tの改訂
E-O設計
・製造量追加



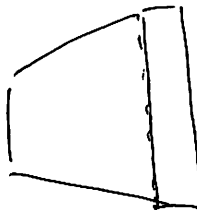
→ 7-1-2-3-4 → 8-9-10
⑥

* 製作大、11~71段



+ 2段

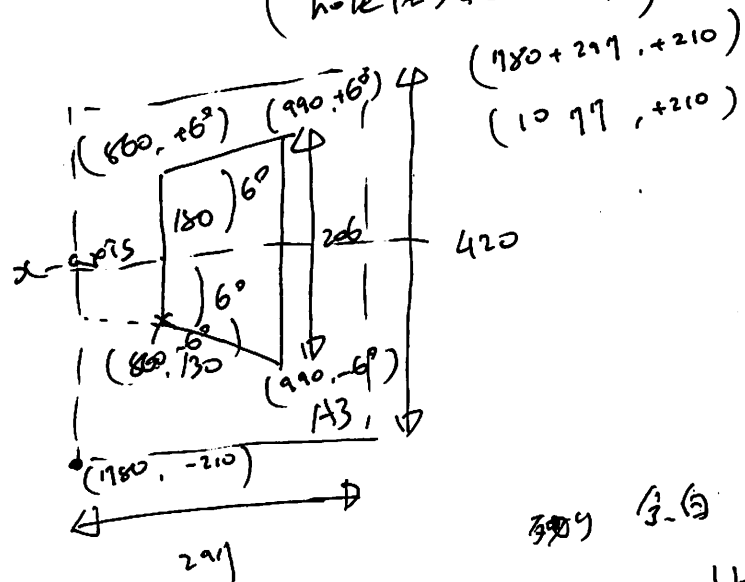
- * 7-1-2-3-4-5-6-7-8-9-10
- * ページ大のサイズを一寸
- * 2段セトト印刷
- * ラベル付
- * 折り曲げた紙



这次要行到方材和接合.

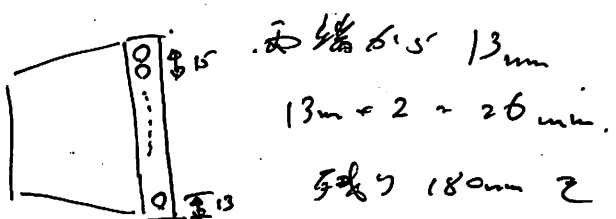
n 種の板 +

(hole in tail tail)



長さ 206 mm

中空 10 mm



13 mm.

板厚 12 mm

15 mm

3-5. x = 160, 高度.

bb. = [780,

$$(R^4)^T = x^T R^T$$

④ $15^\circ = \alpha - \beta$.

④ 入手の板を出し部分を切る.

④ 170-1 削り (170X), (x-318)

. 袋足の削り.

. 170-7 の削り

. 元の板.

④ 植物の削り.

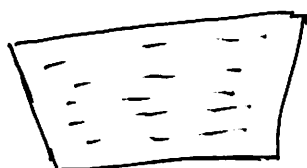
* 7-7 べー-212-2m 7-7 (2 < 2).

\Rightarrow (comp-shade or side way).

① 截件 处理. (L-#6-7)

- 線の外側化. \rightarrow モデル化.
 - 楕円形の外側化. \rightarrow 楕円の再度組立.
 - 座標位置の抽出.
- 側面の外付け. モデル化.
 - ~~二つの面~~ 四面の拡張.
- * ~~二つの面~~ データ読み取り.
- 教授文 ~~in/out~~ の提出.
 - \rightarrow 簡単な手書き. 作成.
- 底面資料作成.
 - \rightarrow
- 実験事実. 作成. 式作. 次回に3次元のデータ.

② 三等辺 楕円形 \rightarrow ...



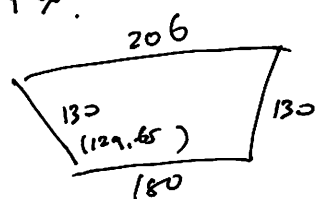
\rightarrow polyline で 2つ....

\rightarrow polyline 2つは作成済.

- 座標指定の投注化.

楕円形の調査.

. 半径. 角度 \rightarrow $\left\{ \begin{array}{l} \text{角度} \\ \text{interval}, \text{外側半径} \end{array} \right.$



③ 重心 得到 方法 3通り.

$$980.1925 - 91.6$$

$$865.227$$

$$860 = ?$$

$$865.227, 85$$

$$d_{out} = 980.296$$

$$= 990$$

ID \rightarrow 座標が初期状態で 3個ある
角度 3つ.....

$$(863.9926; 96.9483)$$

S. 2. & 2.5 は 重心ではない.

最高値.

\rightarrow \rightarrow . 重心. 重心を求める方法

(X-Y) \rightarrow ID \rightarrow (240.810) \rightarrow 重心を求める.

① 照射試験内容

成

"目的" $R_{n-226} \rightarrow A_{n-225}$ "合製造効率" 2.2%
 $\bar{v}=7$ の確認。

"試験内容、④ ピーム条件 ④ 運転事項"

A

- ・ 白金線、 \rightarrow 照射テスト。 (信号機特性の評価)
- ・ 容器 + Au + Pt (Au試験の確認)
- ・ ピームで77 + 1.27eV。 (信号特性の評価)
- ・ 1.43eV内に照射 + Au位置合わせ (位置特性の評価)
- ・ Ra 照射試験。

② No.1 の TDD 測定出し。

No.2 の TDD

(2.25-7 合成)

- ・ 望遠準備。
- ・ ワイヤ取付
- ・ 架台後設置。
- ・ 1-# 位置合わせ。
- ・ 配線作業
- ・ 計器設置。
- ・ 位置確認。

7.81E-22-20. (内部位置)

2.25-7. 1.43-9. 2.2-3.

\Rightarrow 位置合わせ、矢印を参考にする。
照射室外でレベル

\Rightarrow ステップのレベル 位置合わせ。

\Rightarrow 照射室内、事前、後設置 位置合わせ。

\Rightarrow ワイヤ確認。

\Rightarrow 1.43-9 を取下。

- HPGe を利用した $Ra-226$ の定量法.

. 純粋 $Ra-226$ (試料)

- 186 BeV.

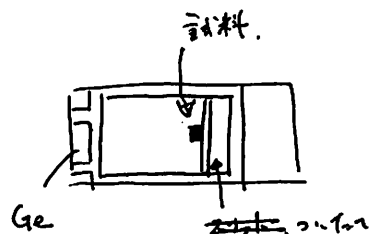
- ROI のアレイは 白崎先生の 0930 のアレイを使用.

. シグナル.

- 30cm 位置で測定.

- 直立 矢止.

- テストル. 測定.



. 測定.

- 186 BeV の ROI 部分を記録.

- Excel アシル (校正係数 etc.) を用意.

- Gamma Studio を $\frac{P}{A}$ <.

- ROI アシルを $\frac{P}{A}$ <.

- 2009/11 7~7/12 7:17.

- 測定 $\frac{P}{A}$ <.

- 時間経過によるアーチカル化.

- LT (Live Time) = $\frac{RT}{RT + RT}$ (Dead Time)

→ 比率.

- 1000 分1人 (3%)

2500 分1人 (2%)

10000 分1人 (1%)

毎日 1 回測定.

- 測定後 保存.

- LT, 分1人 65 CPS を計算.

→ 校正係数 65%、放射能を計算.

(インタルク計算式を)

shimazaki / 230930 / 2-LT の ROI.

試料.

試料位置.

T-202 固定.

試料は手前側へ.

(板板で成食 (E..))

主任者 コーナー

“今こそ復習！”主任者の基礎知識 —「もっと基礎を、ここが肝」編—

第6回 放射平衡

平衡とは、釣り合いがとれていることを指す。化学の分野では一般的に平衡といえば、化学平衡のことを言う。式(1)に示す化学反応があった場合、



$A \rightarrow B$ の反応によって生成した B が、反対の反応 $A \leftarrow B$ によって元に戻る。時間が経つと A が B に変化する量と B が A に変化する量が同じになり、見掛け上 A と B の比が変化しなくなる。このように、正反応と逆反応の釣り合いがとれて、系を構成する成分量の変化がなくなった状態が化学平衡と呼ばれる。放射壊変には逆反応はないので、放射平衡は化学平衡とは意味合いが異なる。今回は主任者試験の化学で頻出の放射平衡について、反応速度論の式を用いて説明する。

1次反応速度式

A から B に非可逆的に進行する反応 $A \rightarrow B$ は1次反応と呼ばれる。その反応は次の速度式に従う。

$$-\frac{d[A]}{dt} = k[A] \quad (2)$$

放射壊変は正に $A \rightarrow B$ の反応なので、式(2)が適用される。化学反応の場合は、[A] は濃度を指すが、放射壊変では原子数を指す。t は時

吉村 崇

間を指している。また、 $k[A]$ は放射能の強さを示す。式(2)を積分すると、

$$[A] = [A]_0 \exp(-kt) \quad (3)$$

式(3)を対数で表すと式(4)になる。

$$\ln \frac{[A]}{[A]_0} = -kt \quad (4)$$

前記の式(3)及び式(4)は、A が時間とともに指数関数的に減少すること、 $\ln[A]$ と t とのプロットは直線関係を持ち、その傾きは $-k$ であることを示している。k は一般には反応速度定数、放射壊変では壊変定数と呼ばれ、 $1/s$ の単位を持つ。この値は、初めの A の量（放射壊変では初めの原子数）、 $[A]_0$ には無関係である。また、その逆数は単位が s となり平均寿命と呼ばれる。この1次反応速度式に従う反応では、 $[A]_0$ には無関係に一定時間に決まった割合の反応が起こることを示している。この関係があるために、放射壊変でよく用いられる半減期 (T) を導くことができる。すなわち、 $[A] = [A]_0/2$ を式(4)に代入すると式(5)が得られ、T が導出できる。

$$T = \frac{\ln 2}{k} = \frac{0.693}{k} \quad (5)$$

また式(5)を用いれば、半減期から速度定数（壊変定数）が導出できる。ちなみに1次反応

$$\begin{aligned} \ln \frac{[A]}{[A]_0} &= \ln \frac{1}{2} \frac{[A]_0}{[A]_0} \\ &= -\ln 2 \\ &= -\frac{k}{\ln 2} T \\ T &= \frac{\ln 2}{k} \\ &= \frac{0.693}{k} \end{aligned}$$

では、Aは時間が経過しても完全にゼロになることはない。

連発1次反応

連続して起こる1次反応 $A \rightarrow B \rightarrow C$ は連発1次反応、又は逐次1次反応と呼ばれる。A \rightarrow B, B \rightarrow C の各過程の反応速度定数(壊変定数)を k_1 及び k_2 とするとそれらの反応速度式は式(6)～(8)となる。

$$-\frac{d[A]}{dt} = k_1[A] \quad (6)$$

$$[A] = [A]_0 \exp(-k_1 t) \quad (7)$$

$$\frac{d[B]}{dt} = k_1[A] - k_2[B] \quad (8)$$

式(7)を式(8)に代入し、両辺に $\exp(k_2 t)$ を掛けると式(9)が得られる。

$$\begin{aligned} & \exp(k_2 t) \frac{d[B]}{dt} + \exp(k_2 t) k_2 [B] \\ &= k_1 [A]_0 \exp(k_2 - k_1) t \end{aligned} \quad (9)$$

ここで、 $t=0$ において $[B]=0$ の条件で積分すると式(10)の関係が得られる。

$$[B] = [A]_0 \frac{k_1}{k_2 - k_1} [\exp(-k_1 t) - \exp(-k_2 t)] \quad (10)$$

$[B]$ は指数関数の差として表され、その時間変化量は、ある極大値を持つ形になる。 $[B]$ が極大値を与える時間(t_{\max})は、式(10)において $[B]$ を時間で微分してゼロとおけば良い。

$$\begin{aligned} \frac{d[B]}{dt} &= [A]_0 \frac{-k_1}{k_2 - k_1} [k_1 \exp(-k_1 t) - k_2 \exp(-k_2 t)] \\ &= 0 \end{aligned} \quad (11)$$

式(11)より

$$k_1 \exp(-k_1 t) - k_2 \exp(-k_2 t) = 0 \quad (12)$$

式変形して両辺対数をとり整理すると t_{\max} を与える式(13)が得られる。

$$t_{\max} = \frac{1}{k_1 - k_2} \ln \frac{k_1}{k_2} \quad (13)$$

$Rn-225 \rightarrow Po-225$ $\rightarrow Pb-225$ \cdots
放射平衡

(1) 過渡平衡

連発1次反応において A の半減期を T_1 , B の半減期を T_2 とすると $k_2 > k_1$, $T_1 > T_2$ の条件で、放射壊変では過渡平衡と呼ばれる状態になる。この状態では $\exp(-k_1 t) > \exp(-k_2 t)$ となり、 $\exp(-k_2 t) \neq 0$ とおける。そのため式(10)は式(14)のように簡単にできる。

$$[B] = [A]_0 \frac{k_1}{k_2 - k_1} \exp(-k_1 t) = \frac{k_1}{k_2 - k_1} [A] \quad (14)$$

式(5)の T と k の関係より、式(15)の関係も得られる。

$$[B] = \frac{T_2}{T_1 - T_2} [A] \quad (15)$$

また、式(14)を式(8)に代入すると、式(16)が得られる。

$$-\frac{d[B]}{dt} = k_1 [B] \quad (16)$$

前記の式より過渡平衡状態において以下の事柄が導き出される。

- 1) 原子数の比 $[B]/[A]$ は一定で、その比は $k_1/(k_2 - k_1)$ 及び $T_2/(T_1 - T_2)$ となる。
- 2) 式(14)の両辺に k_2 を掛けると B の放射能の強さ ($k_2 [B]$) と A の放射能の強さ ($k_1 [A]$) の関係式が導かれ、B の放射能の強さが A の放射能の強さの $k_2/(k_2 - k_1)$ 倍及び $T_2/(T_1 - T_2)$

居住者コーナー

倍になる。

3) B は A の壊変定数 k_1 , すなわち半減期 T_1 で壊変する。

4) t_{\max} では $d[B]/dt=0$ が成立するので式(8)より $k_1[A]=k_2[B]$ の関係が得られる。すなわち t_{\max} において A の放射能の強さと B の放射能の強さは同じになる。

半減期 66 h の ^{99}Mo , 半減期 6 h の ^{99m}Tc からなる過渡平衡 $^{99}\text{Mo} \rightarrow ^{99m}\text{Tc} \rightarrow ^{99}\text{Tc}$ の例を挙げる。図 1 に示すように、過渡平衡が成り立つまでに、全放射能は徐々に増加する。式(13)より ^{99m}Tc が最大となるまで時間 (t_{\max}) は 23 h と求められる。過渡平衡に達した後、 ^{99m}Tc は ^{99}Mo の半減期と同一の半減期で減少する。この時、 $^{99m}\text{Tc}/^{99}\text{Mo}$ 原子数比は 0.1 となる。 ^{99m}Tc はミルキングにより ^{99}Mo から分離可能であり、23 h ごとにミルキングすることで ^{99m}Tc を収率良く得ることができる。

(2) 永続平衡

連発 1 次反応において $k_2 \gg k_1$, $T_1 \gg T_2$ で、 T_1 が十分に長い場合の放射壊変では永続平衡と呼ばれる状態になる。この状態では $k_2 - k_1 \approx k_2$, $\exp(-k_2 t) \approx 0$ とおける。十分に時間が経つと式(10)は式(17)に近似できる。

$$[B] = [A]_0 \frac{k_1}{k_2} \exp(-k_1 t) \quad (17)$$

さらに式(17)に式(7)を代入すると、式(18)が導かれる。

$$[B] = \frac{k_1}{k_2} [A] \quad (18)$$

式(18)から A 及び B の放射能の強さの比は 1, つまり A と B の放射能の強さは同じになる。また A と B の原子数の比は $[B]/[A] = k_1/k_2$ となる。式(18)の関係を式(8)に代入すると $d[B]/dt$ は、式(19)に示すようにゼロになり、

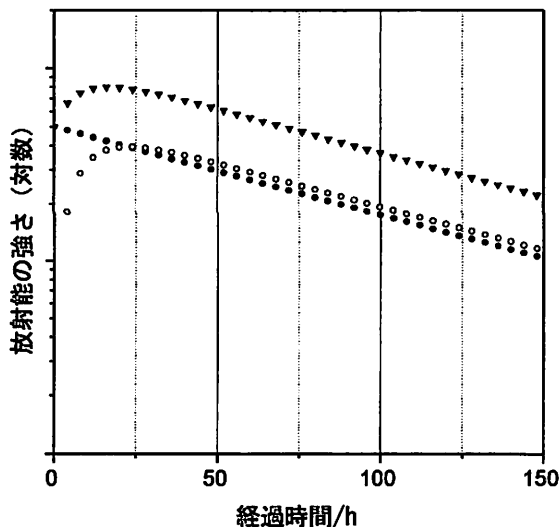


図 1 $^{99}\text{Mo} \rightarrow ^{99m}\text{Tc} \rightarrow ^{99}\text{Tc}$ における ^{99}Mo (●), ^{99m}Tc (○), 及び $^{99}\text{Mo}+^{99m}\text{Tc}$ (▼) の放射能の強さの時間変化

B の生成速度がゼロに近似できることを示している。

$$\frac{d[B]}{dt} = k_1[A] - k_2 \frac{k_1}{k_2} [A] = 0 \quad (19)$$

このように連発 1 次反応 $A \rightarrow B \rightarrow C$ において永続平衡では B の生成と壊変が釣り合った状態をとっている。

半減期 28.8 y の ^{90}Sr , 半減期 64 h の ^{90}Y からなる永続平衡 $^{90}\text{Sr} \rightarrow ^{90}\text{Y} \rightarrow ^{90}\text{Zr}$ の放射能の強さの時間変化を図 2 に示す。永続平衡が成り立つまでに、全放射能は徐々に増加する。 ^{90}Sr の壊変定数が極めて小さい、すなわち半減期が極めて長いため、永続平衡に達した後は放射能の強さの時間変化が測定時間内には見られない。このため、式(18)で示すように ^{90}Y の放射能の強さの変化も見られない。

(3) 放射平衡が成立しない場合

$k_1 > k_2$, $T_2 > T_1$ の条件では $\exp(-k_2 t) > \exp(-k_1 t)$ となり、 $\exp(-k_1 t) \approx 0$ とおける。そ

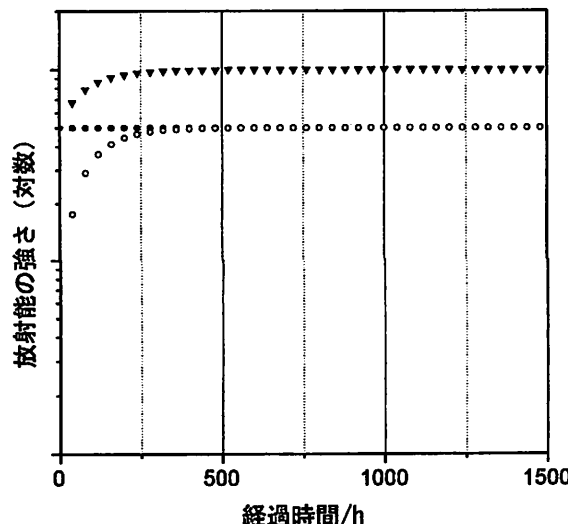


図2 $^{90}\text{Sr} \rightarrow ^{90}\text{Y} \rightarrow ^{90}\text{Zr}$ における ^{90}Sr (●), ^{90}Y (○), 及び $^{90}\text{Sr}+^{90}\text{Y}$ (▼) の放射能の強さの時間変化

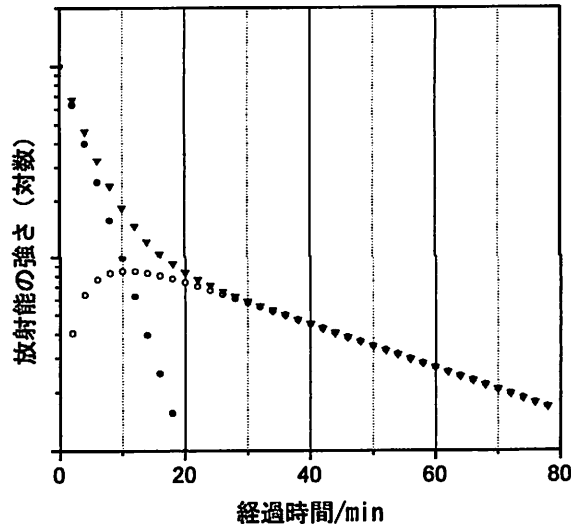


図3 $^{218}\text{Po} \rightarrow ^{214}\text{Pb} \rightarrow ^{214}\text{Bi}$ における ^{218}Po (●), ^{214}Pb (○), 及び $^{218}\text{Po}+^{214}\text{Pb}$ (▼) の放射能の強さの時間変化

そのため式(10)は式(20)に近似できる。

$$[\text{B}] = [\text{A}]_0 \frac{k_1}{k_1 - k_2} \exp(-k_2 t) \quad (20)$$

この場合は、A の半減期が B の半減期に比べて短いので、ある時間経ると実質的に全て B に変わってしまう。[B] は時間とともに極大に達した後、B の半減期で減少する。半減期 3 min の ^{218}Po 、半減期 26.8 min の ^{214}Pb からなる壞変 $^{218}\text{Po} \rightarrow ^{214}\text{Pb} \rightarrow ^{214}\text{Bi}$ における放射能の

強さの時間変化を図3に示す。

参考文献

- 1) J.H. エスペンソン, 化学反応の速度と機構, マグロウヒル (1984)
- 2) 村上悠紀雄, 佐野博敏, 鈴木康雄, 中原弘道, 基礎放射化学, 丸善 (1981)
- 3) 海老原充, 現代放射化学, 化学同人 (2005)
- 4) G.R. ショパン, J.-O. リルゼンツイン, J. リュードベリ, 放射化学, 丸善 (2005)

(大阪大学ラジオアイソトープ総合センター)

【訂正】5月号掲載『“今こそ復習！”主任者の基礎知識—「もっと基礎を、ここが肝」編— 第6回 放射平衡』の記事の一部

本誌2014年5月号（No.721, 86~89頁）、「“今こそ復習！”主任者の基礎知識—「もっと基礎を、ここが肝」編— 第6回 放射平衡」の記事で、「放射平衡（1）過渡平衡」の一部に誤りがありました。お詫びして次のように訂正いたします。

1. 87頁, 右段上から7~10行目

[誤]：連発1次反応においてAの半減期を T_1 , Bの半減期を T_2 とすると $k_2 > k_1$, $T_1 > T_2$ の条件で、放射壊変では過渡平衡と呼ばれる状態になる。

[正]：連発1次反応においてAの半減期を T_1 , Bの半減期を T_2 とすると $k_2 > k_1$, $T_1 > T_2$ の条件で、十分な時間が経過すると放射壊変では過渡平衡と呼ばれる状態になる。

2. 88頁, 左段上から5~7行目

[誤]：すなわち t_{\max} においてAの放射能の強さとBの放射能の強さは同じになる。

[正]：AからBが生成する割合が100%の場合、 t_{\max} においてAの放射能の強さとBの放射能の強さは同じになり、その後、十分な時間が経つと過渡平衡状態になる。

3. 88頁, 左段上から10~11行目

[誤]：図1に示すように、過渡平衡が成り立つまでに、全放射能は徐々に増加する。

[正]：図1に示すように、 $^{99}\text{Mo} + ^{99m}\text{Tc}$ の放射能の強さは徐々に増加した後、減少し、その後、過渡平衡状態になる。

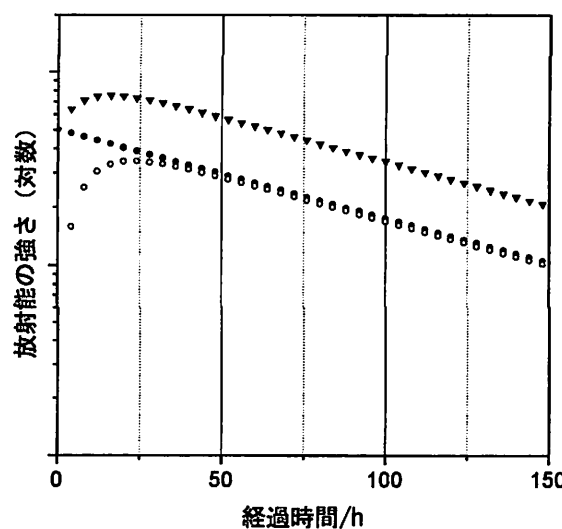
4. 88頁, 左段上から14~15行目

[誤]：この時、 $^{99m}\text{Tc}/^{99}\text{Mo}$ 原子数比は0.1となる。

[正]：この時、 ^{99}Mo から ^{99m}Tc が生成する割合（87.7%）を考慮に入れ、 $^{99m}\text{Tc}/^{99}\text{Mo}$ 原子数比は0.09となる。

5. 88頁, 右段上 図1

図を以下のように差し替えます。



Ⅰ 放射平衡

- 放射平衡 , $\left\{ \begin{array}{l} \text{過渡平衡} , \rightarrow \text{ランダムな分子} \\ \text{永続平衡} , \rightarrow \text{分子の極限分布} , \\ (\tau_1 \gg \tau_2) \end{array} \right.$

② 速率化

I. 崩壊. $[A] \rightarrow [B]$ を表す . (半減期 τ_1)

$$\frac{\ln 2}{\tau_1} = \frac{0.693}{\tau_1} = \lambda_1 \quad \text{を仮定}.$$

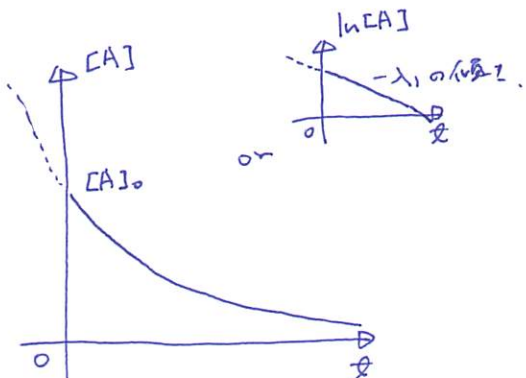
$$\frac{d[A]}{dt} = -\lambda_1 [A] \quad (t=0 \text{ 时}, [A]|_{t=0} = [A]_0)$$

$$\ln [A] = -\lambda_1 t + C_1$$

$$[A] = e^{\lambda_1 t + C_1} \\ = C_2 e^{-\lambda_1 t}$$

初期条件 时,

$$[A](t) = [A]_0 e^{-\lambda_1 t}$$



Ⅱ 連鎖崩壊

$[A] \rightarrow [B] \rightarrow [C]$ を表す .
 $T_1, \lambda_1 \quad T_2, \lambda_2$

支配方程式 ,

$$\left\{ \begin{array}{l} \frac{d[A]}{dt} = -\lambda_1 [A] \end{array} \right. \quad \text{--- ①}$$

$$\left\{ \begin{array}{l} \frac{d[B]}{dt} = +\lambda_1 [A] - \lambda_2 [B] \\ \left(-\frac{d[A]}{dt} \right) \end{array} \right. \quad \text{--- ②}$$

② 初期条件 ,

$$t=0 \text{ 时}, [A] = [A]_0, [B] = 0$$

$$\text{① は}, [A] = [A]_0 e^{-\lambda_1 t} \quad \text{を代入}, \quad \text{② は代入},$$

$$\frac{d[B]}{dt} = \lambda_1 [A]_0 e^{-\lambda_1 t} - \lambda_2 [B]$$

$$\text{整理形}, \frac{d[B]}{dt} + \lambda_2 [B] = 0 \quad \text{は}.$$

$$[B] = \frac{C(t)}{e^{\lambda_2 t}} \quad \text{を代入}.$$

$$\frac{d[B]}{dt} = \lambda_1 [A]_0 e^{-\lambda_1 t} - \lambda_2 [B] \quad \text{...} ,$$

$$[B] = C(t) e^{-\lambda_2 t} \quad \text{... } \lambda_1 \neq \lambda_2 .$$

$$C'(t) e^{-\lambda_2 t} - \lambda_2 C(t) e^{-\lambda_2 t} = \lambda_1 [A]_0 e^{-\lambda_1 t} - \lambda_2 C(t) e^{-\lambda_2 t} \quad \text{...}$$

$$C'(t) e^{-\lambda_2 t} = \lambda_1 [A]_0 e^{-\lambda_1 t}$$

$$C'(t) = \lambda_1 [A]_0 e^{-(\lambda_1 - \lambda_2)t}$$

$$C(t) = -\frac{\lambda_1}{\lambda_1 - \lambda_2} [A]_0 e^{-(\lambda_1 - \lambda_2)t} + D$$

結局、各次解、 $\lambda_1 \neq \lambda_2$.

$$[B] = -\frac{\lambda_1}{\lambda_1 - \lambda_2} [A]_0 e^{-\lambda_1 t} + D e^{-\lambda_2 t}$$

$$t=0 \text{ 时 } [B] = 0 \Rightarrow ,$$

$$D = +\frac{\lambda_1}{\lambda_1 - \lambda_2} [A]_0$$

$$\therefore [B] = -\frac{\lambda_1}{\lambda_1 - \lambda_2} [A]_0 \left[e^{-\lambda_1 t} - e^{-\lambda_2 t} \right]$$

$\left. \text{...} \right\}$

② 收量最大の時刻、(T_{max})

$$\left. \frac{d[B]}{dt} \right|_{t=T_{max}} = 0 \Rightarrow ,$$

$$\left. \frac{d[B]}{dt} \right|_{t=T_{max}} = -\frac{\lambda_1}{\lambda_1 - \lambda_2} [A]_0 \left[-\lambda_1 e^{-\lambda_1 t} + \lambda_2 e^{-\lambda_2 t} \right]_{t=T_{max}} = 0 ,$$

$$\therefore \lambda_1 e^{-\lambda_1 \frac{T_{max}}{2}} = \lambda_2 e^{-\lambda_2 \frac{T_{max}}{2}} ,$$

$$\frac{\lambda_1}{\lambda_2} = e^{(\lambda_1 - \lambda_2) T_{max}} ,$$

$$\frac{1}{\lambda_1 - \lambda_2} \ln \left[\frac{\lambda_1}{\lambda_2} \right] = T_{max} ,$$

$$\underline{T_{max} = \frac{1}{\lambda_1 - \lambda_2} \ln \left[\frac{\lambda_1}{\lambda_2} \right]}$$

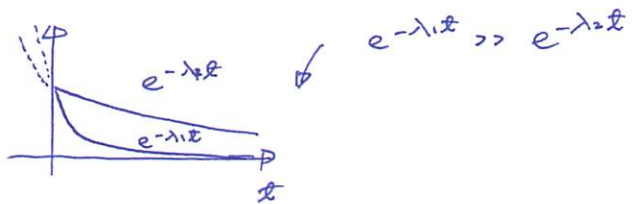
② 放射平衡 (過渡平衡)

原子散失 ($[B]/[A]$)

$$[B] = -\frac{\lambda_1}{\lambda_1 - \lambda_2} [A]_0 \left[e^{-\lambda_1 t} - e^{-\lambda_2 t} \right]$$

\Rightarrow もともと A の分率が B の分率より大きい。 $\lambda_1 < \lambda_2$ ($T_1 > T_2$)

の場合、A-L の差が拡大。



$$[B] \xrightarrow[t \rightarrow \infty]{ } -\frac{\lambda_1}{\lambda_1 - \lambda_2} [A]_0 \underbrace{e^{-\lambda_1 t}}_{= [A]} = -\frac{\lambda_1}{\lambda_1 - \lambda_2} [A]$$

図51の
RAs-223, Bの崩壊定数
 $\lambda_2 \rightarrow \lambda_1$ は変化した!!

$$\therefore [B] = \frac{\lambda_1}{\lambda_2 - \lambda_1} [A]$$

$$= \frac{T_2}{T_1 - T_2} [A]$$

$$\therefore \frac{[B]}{[A]} = \frac{T_2}{T_1 - T_2}$$

\Rightarrow ${}^{223}\text{Ra}$ の $[A]$ が大きい。 $[B]$ は、 $\frac{T_2}{T_1 - T_2} \times {}^{223}\text{Ra}$
である計算式。

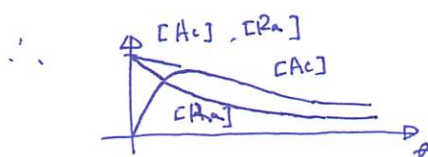
$$\begin{cases} T_1 = 14.9 \text{ d} & ({}^{225}\text{Ra}) \\ T_2 = 9.9 \text{ d} & ({}^{223}\text{Ra}) \end{cases}$$

の場合、

原子数の比は、

$$\frac{[{}^{223}\text{Ra}]}{[{}^{225}\text{Ra}]} = \frac{9.9 \text{ d}}{14.9 \text{ d}} = 2.0$$

原子数の比、



④ 放射能の強さ、

A の放射能の強さは、(B₈)

八 ~~$[A]$~~ \rightarrow かけず、

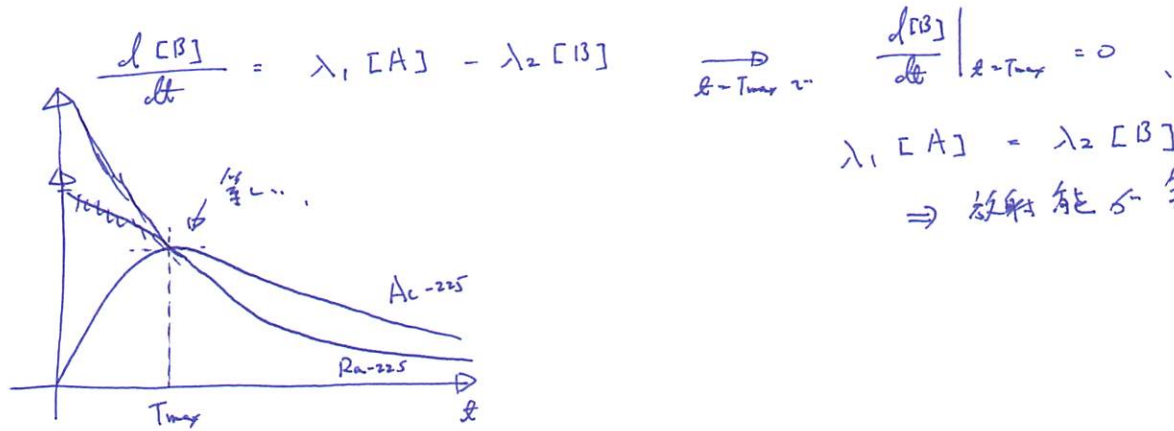
B の放射能の強さは、

$\lambda_2 \cancel{[B]}$

この比は、

$$\frac{\lambda_2 [B]}{\lambda_1 [A]} = \frac{\lambda_2}{\lambda_1} \cdot \frac{\lambda_1}{\lambda_2 - \lambda_1} = \frac{\lambda_2}{\lambda_2 - \lambda_1} = \frac{T_1}{T_1 - T_2}$$

⑤ $t = T_{max}$ の放射能、



$$\lambda_1 [A] = \lambda_2 [B] \\ \Rightarrow \text{放射能が等しい。}$$

⑥ 永続平衡、

$$T_1 \gg T_2 \quad (\lambda_1 \ll \lambda_2) \quad \text{と},$$

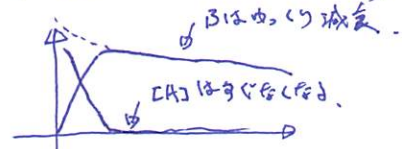
$$\begin{aligned} [B] &= \frac{\lambda_1}{\lambda_2 - \lambda_1} [A]_0 [e^{-\lambda_1 t} - e^{-\lambda_2 t}] \\ &= \frac{\lambda_1}{\lambda_2} [A]_0 e^{-\lambda_1 t} \\ &= \frac{\lambda_1}{\lambda_2} [A] \end{aligned}$$

$$\therefore \lambda_1 [A] = \lambda_2 [B]$$

\Rightarrow 永続平衡で、放射能が同じ。

⑦ 放射平衡 \rightarrow なぜ場合 ($T_1 < T_2$) ($\lambda_1 > \lambda_2$) ($e^{-\lambda_1 t} \ll e^{-\lambda_2 t}$)

$$[B] = \frac{\lambda_1}{\lambda_1 - \lambda_2} [A]_0 e^{-\lambda_2 t}$$





A theoretical model for the production of Ac-225 for cancer therapy by photon-induced transmutation of Ra-226

G. Melville^{a,*}, Sau Fan Liu^b, B.J. Allen^a

^aCentre for Experimental Radiation Oncology, St. George Cancer Care Centre, Gray St, Kogarah, NSW, Australia

^bUniversity of NSW, Sydney, NSW, Australia

Received 18 January 2006; received in revised form 1 May 2006; accepted 4 May 2006

Abstract

Radium needles that were once implanted into tumours as a cancer treatment are now obsolete and constitute a radioactive waste problem, as their half-life is 1600 years. We are investigating the reduction of radium by transmutation on a small scale by bombarding Ra-226 with high-energy photons from a medical linear accelerator (linac) to produce Ra-225, which subsequently decays to Ac-225, which can be used as a generator to produce Bi-213 for use in ‘targeted alpha therapy’ for cancer.

This paper examines the possibility of producing Ac-225 with a linac using an accurate theoretical model in which the bremsstrahlung photon spectrum at 18 MV linac electron energy is convoluted with the corresponding photonuclear cross sections of Ra-226. The total integrated yield can then be obtained and is compared with a computer simulation.

This study shows that at 18 MV, the photonuclear reaction on Ra-226 can produce low activities of Ac-225 with a linac. However, a high power linac with high current, pulse length and frequency is needed to produce practical amounts of Ac-225 and a useful reduction of Ra-226.

© 2006 Elsevier Ltd. All rights reserved.

Keywords: Medical linear accelerator (linac); Actinium-225; Radium-226; Radium-225; Bismuth-213; Targeted alpha therapy; Cancer therapy

1. Introduction

1.1. Actinium-225

Ac-225 is an alpha emitting radioisotope with a 10-day half-life that decays to produce Bi-213. Either Ac-225 or Bi-213 can be used as an agent for radio-immunotherapy.

Alpha particle emitters are the most potent sources for lethal irradiation of single cancer cells and micrometastases because of their densely ionising radiation. Alpha particles are of considerable interest for radio-immunotherapy applications since their short range in soft tissue is limited to only a few cell diameters.

Alpha particles have high linear energy transfer (LET) in tissues. High LET radiation induces far more biological damage over a shorter range than low LET beta radiation,

and is therefore much more cytotoxic. The delivery of such a high energy in so small a volume makes alpha particles especially well suited for targeting micrometastatic disease and single cancer cells such as leukaemia and other blood-borne disease.

The Bi-213 radioisotope is of special interest because of its unique nuclear properties, which include a short 46-min half-life and high-energy (8.4 MeV) alpha-particle emission. Its availability from the Ac-225/Bi-213 (Actinium Pharmaceuticals, 2005) generator system makes this radioisotope particularly well suited for medical use.

Cancer trials are being conducted at the Cancer Care Centre, St. George Hospital in Sydney, where the Targeted Alpha Therapy (TAT) (Allen et al., 2004) programme using Bi-213 offers the potential to inhibit the growth of micrometastases by selectively killing isolated and pre-angiogenic clusters of cancer cells. In TAT, the radioisotope is bound to a monoclonal antibody or protein and their molecular subunits attach to the receptors on cancer

*Corresponding author. Tel.: +61 2 94871619.

cells, allowing radiation to attack the cancer while minimising the potentially negative impact to surrounding tissue.

1.2. Uranium-233 decay chain

The Bi-213 isotope that is holding promise for cancer treatment is produced through a complex process that starts with U-233 (Fig. 1). The key intermediates in this process are Th-229 and Ac-225. Ac-225 is currently derived from purified Th-229 extracted from U-233 at ORNL (Boll et al., 2005).

There are a number of ways to produce Ac-225. The most practical way at present is to derive these isotopes from the decay of Th-229, which is produced by the decay of U-233. Ac-225 is the product being shipped to medical facilities. Bi-213 is separated from the Ac-225 at the hospital and combined with the targeting agent.

1.3. Production method

Ac-225 could be produced using accelerators or reactors or by separation techniques. Methods include producing Th-229 directly as opposed to obtaining it by the decay of U-233; producing Ra-225, which decays into Ac-225; and producing Ac-225 directly. While each of these methods eventually results in a supply of Ac-225 for use in a Bi-213 generator, they all require additional chemical processing and/or separation steps that are yet to be determined and will likely increase production costs.

Possible ways of producing Ac-225 (Koch et al., 1999) are:

- $^{232}\text{Th} (n; \gamma, 2\beta) ^{233}\text{U}$: This method involves bombarding Th-232 with thermal neutrons to produce U-233, which will then follow the U-233 decay chain leading to Ac-225 as shown in Fig. 1.
- $^{226}\text{Ra} (3n; 2\beta) ^{229}\text{Th}$: This method involves bombarding radium with thermal neutrons to produce Th-229 after 3 neutron capture events, which decays to Ac-225.
- $^{226}\text{Ra} (p; 2n) ^{225}\text{Ac}$: In this method protons from a cyclotron produce Ac-225 directly with the peak cross section being about 540 mb at 16 MeV proton energy. (Private communication: G Dracoulis, Australian National University) using the standard fusion-evaporation code.) The $^{226}\text{Ra} (p; 3n) ^{224}\text{Ac}$ reaction rapidly takes over at higher energies.
- $^{226}\text{Ra} (n; 2n, \beta) ^{225}\text{Ac}$: Neutrons bombard radium to produce Ac-225.
- $^{226}\text{Ra} (\gamma; n) ^{225}\text{Ra}$: This reaction produces Ra-225, which subsequently decays to Ac-225 through beta decays.

A number of the above reactions involve neutron bombardment at thermal energies. For industrial applications that require neutrons, users have three primary sources from which to choose: nuclear reactors, radioisotopes, and accelerator-based high-energy neutron sources. Nuclear reactors are the largest and most prolific sources of neutrons. This paper investigates the photoneuclear reaction route as medical linacs are routinely used for radiotherapy in hospitals.

1.4. Photoneuclear production

Linacs are the mainstay of radiotherapy treatment. They deliver megavoltage electron beams accelerated by klystron or magnetron generated radio-frequency fields through copper waveguides (Dowsett et al., 2001). The beam of electrons from the gridded electron gun is focused by a solenoid to a beam of less than 2 mm in diameter to strike a 0.76 mm thick tantalum or tungsten target and produce bremsstrahlung radiation.

Although the theoretical model in this paper is based on a 2100C MV Clinac from Varian, it would be very similar to any linac once the energy range was adjusted. The spectrum of bremsstrahlung photons produced by the linac extends from zero energy up to the maximum energy of the electrons hitting the target, which is 18 MeV in this case. Measuring or calculating the bremsstrahlung spectrum is very difficult. The most common approach today is to use Monte Carlo methods (Ahnesjo, 1989) for calculating the spectra.

The photoneuclear reaction is



Reaction (1) involves exciting the radium nucleus with bremsstrahlung photons so that a neutron is ejected. The

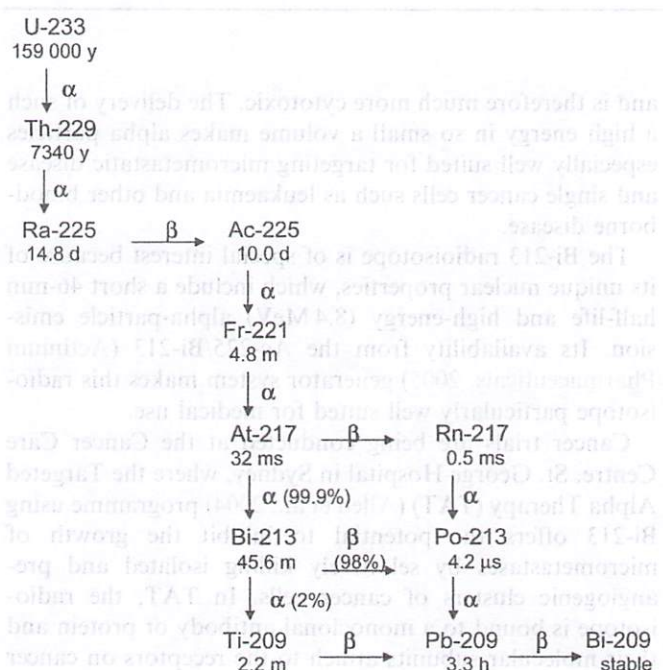


Fig. 1. U-233 decay chain (Korea Atomic Energy Research Institute, 2005).

reaction threshold of 6.4 MeV is easily achievable with a linac. The reaction is electromagnetic in nature and would be virtually instantaneous. This means after irradiation, Ra-225 will be at a maximum yield and will decay slowly over time, the half-life being 14.9 days, producing Ac-225 by beta emission, by the following decay:



2. Theory

2.1. Bremsstrahlung production

An electrically heated filament (cathode) within the linac generates electrons that are accelerated by waveguide from the filament to the tungsten target by the application of high-voltage pulses applied between drift tubes. Once inside the drift tube, they are shielded from the field and drift through at a constant velocity. When they arrive at the next gap, the radiofrequency field accelerates them again until they reach the next drift tube. This continues, with the particles picking up more and more energy in each gap, until they exit onto the target. The drift tubes are necessary because an alternating field is used and without them, the field would alternately accelerate and decelerate the particles. The drift tubes shield the particles for the length of time that the field would be decelerating.

Linac photons or bremsstrahlung radiation (Bueche, 1969) arise when high-energy electrons penetrate the anode material passing close to its atomic nuclei. The electrons are deflected from their initial path by the nuclear coulomb field of the tungsten atoms causing changes in velocity.

Linac photons or bremsstrahlung radiation (Bueche, 1969) arise when high-energy electrons penetrate the anode material passing close to its atomic nuclei. The electrons are deflected from their initial path by the nuclear coulomb field of the tungsten atoms causing changes in velocity.

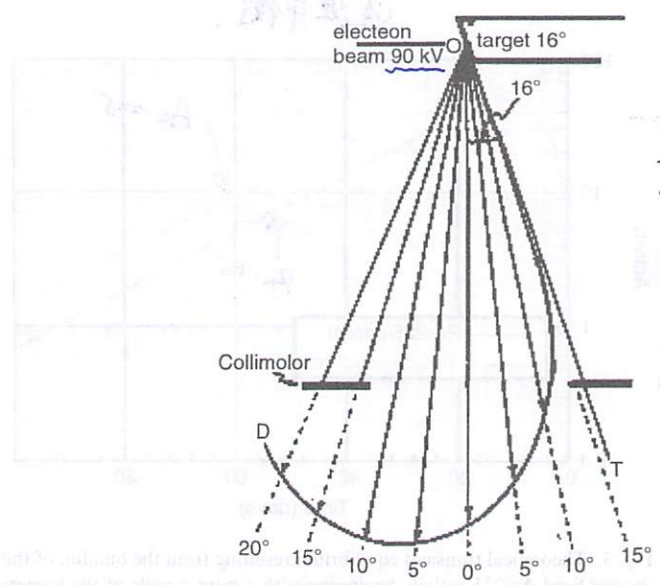


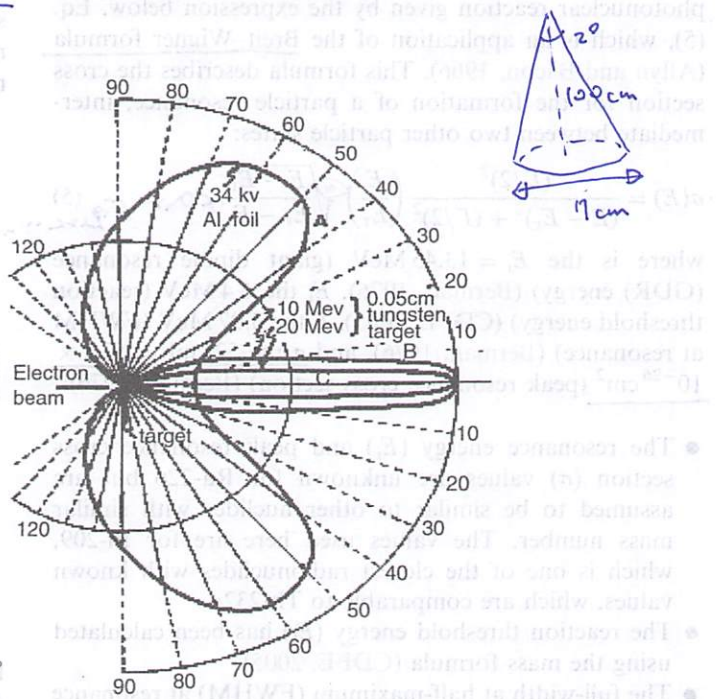
Fig. 2. Bremsstrahlung emission from an accelerated charge.

Energy is lost in the form of electromagnetic radiation, which is called 'braking radiation' or bremsstrahlung.

Energy transformations that yield the photon radiation vary since the bombarding electrons approach the nuclei at different impact radii. There is consequently a spread of bremsstrahlung energies from a maximum (where the entire kinetic energy is transformed into photon radiation) to the lowest energy photon emission when the electron is only slightly deflected by the nuclear field.

A polar diagram (Nordell et al., 1984) showing the variation of the intensity of bremsstrahlung rays with angle produced by the electron bombardment of various targets is shown in Fig. 2. Curve A, shows 34 keV electrons bombarding a thin aluminium foil and curves B and C, 10 and 20 MeV electrons bombarding a thin 0.05 cm tungsten target. Curve D is a typical intensity distribution for a diagnostic X-ray tube with a 16° thick tungsten target, with the beam taken at right angles to the electron beam and excited at 90 kV_p. As the energy of the bombarding electrons is increased, the two lobes of curve A, tip forward to yield, at very high energies, a distribution with all the radiation in the forward direction.

Mohan et al. (1985) found that the angular distribution of 15 MeV photons from a Clinac-20 was very narrow with more than 99.9% of all the photons contained within 2 degrees of the central axis of the target. A 2100C Clinac will have a similar photon angle distribution. This means at 100 cm (SSD) the vast majority of the photon beam will be contained in an area with a cross section of less than 7 cm². This, of course, assumes there is no interference with the photons on their journey. In reality, however, photon spread due to the linac collimator and flattening filter would need to be considered.



This study is based on an 18 MV 2100C Clinac. As such the range in photon energies (bremsstrahlung) is a positively skewed Gaussian curve with an average energy of about 6 MeV and peak flux at 1.25 MeV. The photon intensity is high at low energies but quickly tapers off at higher energies. More will be said about this later.

The most accurate way to calculate the yield (Y) of Ra-225 produced by the photonuclear reaction (1) is by summing up the individual yields $Y(E)$ over all bremsstrahlung energies:

$$Y = \int_{E_1}^{E_2} Y(E) dE, \quad (3)$$

where E_1 is the reaction threshold at 6.4 MeV (Centre for Photonuclear Experiments Data (CDFE), 2005) and E_2 is the maximum electron energy of the linac, i.e. 18 MeV.

To perform this integration, the number of bremsstrahlung photons and photon reaction cross section as a function of energy must first be calculated over the bremsstrahlung energy range.

2.2. Reaction cross section

The reaction cross section (Wehr and Richards, 1974) is defined by

$$\sigma = \frac{N_R}{N_I}, \quad (4)$$

where σ is the cross section (barns), the N_I the number of incident particles per unit time (s) per unit area (cm^2), and N_R the number of reactions per unit time (s) per nucleus.

The cross section is a function of energy and can be evaluated at various energies using the cross section for the photonuclear reaction given by the expression below, Eq. (5), which is an application of the Breit-Wigner formula (Allyn and Bacon, 1966). This formula describes the cross section for the formation of a particle resonance, intermediate between two other particle states:

$$\sigma(E) = \frac{(\Gamma/2)^2}{(E - E_r)^2 + (\Gamma/2)^2} \left(\frac{E}{E_r} \right)^{\sigma_r} \frac{E - E_t}{E_r - E_t}, \quad (5)$$

where $E_r = 13.45 \text{ MeV}$ (giant dipole resonance (GDR) energy) (Berman, 1976), E_t the 6.4 MeV (reaction threshold energy) (CDFE, 2005), Γ the 3.97 MeV (FWHM at resonance) (Berman, 1976), and σ_r the $521 \text{ mb} = 52.1 \times 10^{-26} \text{ cm}^2$ (peak resonance cross section) (Berman, 1976):

- The resonance energy (E_r) and peak resonance cross section (σ_r) values are unknown for Ra-226 but are assumed to be similar to other nuclides with similar mass number. The values used here are for Bi-209, which is one of the closest radionuclides with known values, which are comparable to Th-232.
- The reaction threshold energy (E_t) has been calculated using the mass formula (CDFE, 2005).
- The full-width at half-maximum (FWHM) at resonance (Γ) is unknown for Ra-226 but is assumed to be similar

to nuclides with similar mass number. The value used here is for Bi-209.

- The square root expression in the above cross section equation is the normalisation factor. It will be equal to one at resonance, less than one below resonance and greater than one above resonance.
- The above equation is only accurate up to 18 MeV where single neutron reactions greatly dominate (valid for linac energies). At higher energies (CDFE, 2005) two neutrons are produced. Because of the weak high-energy tail of the photon spectrum (see later) these should not affect the model calculation to any significant degree.

2.3. Convolution

The total yield (Y) of Ra-225 is calculated using Eq. (6):

$$Y = \int_{6.4 \text{ MeV}}^{18 \text{ MeV}} Y(E) dE = \int_{6.4 \text{ MeV}}^{18 \text{ MeV}} N \phi(E) \sigma(E) t dE, \quad (6)$$

where Y is the yield in Ra-225 atoms/s, N the number of atoms of Ra-226/cm³, ϕ the photon flux/s, σ the cross section (mb), and t the thickness of the Ra-226 target (cm):

$$Y(\text{atoms/s}) = \int_{6.4 \text{ MeV}}^{18 \text{ MeV}} (N \text{ atoms/cm}^3 \times \sigma \text{ (cm}^2\text{)} \times \phi \text{ photons/s} \times t \text{ cm}) dE. \quad (7)$$

2.4. Transient equilibrium

Once Ra-225 has been produced it will decay to Ac-225, as shown previously in Fig. 1. The ideal theoretical case is shown in Fig. 3, where the half-life of the daughter radionuclide is shorter than the parent radionuclide, resulting in transient equilibrium. This passing matching

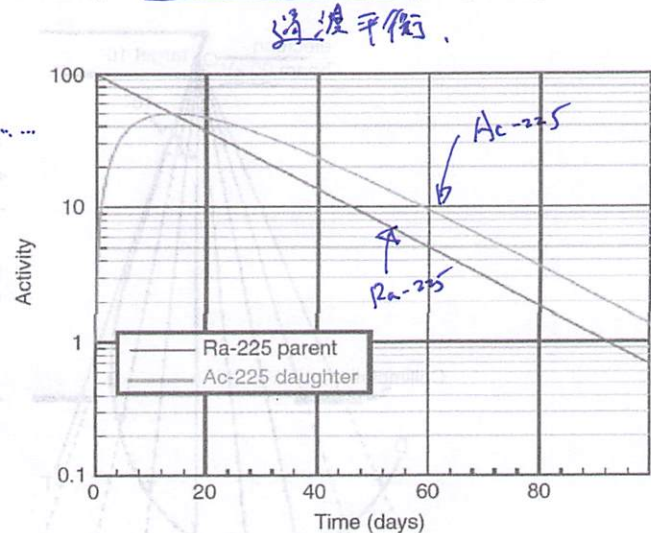


Fig. 3. Theoretical transient equilibrium resulting from the buildup of the shorter-lived Ac-225 activity beginning with a pure sample of the longer-lived parent Ra-225 nucleus.

$$\text{H}_2\text{O} \quad Z_{\text{av}} = \frac{2}{18} + 1 + \frac{16}{18} \times 8 \\ = 17.22 \\ 1\% @ Z_{\text{av}} = 17.22. \quad 1\% = \left(\frac{Z}{17.22}\right)^2$$

of activity occurs after about 13 days and the activity of the daughter at this point is about half that of the original parent activity. However, in our situation, the curve only approximates the theoretical since the Ac-225 (daughter) half-life (10 days) is not much shorter than the Ra-225 (parent) half-life (14.8 days).

3. Calculations

3.1. Linac parameters

The relevant specifications of the 18 MV linac (provided by Varian Australia) are listed below (Table 1).

Linacs do not produce continuous current because pulsed electron beams are accelerated by klystron or magnetron generated radio-frequency fields through copper waveguides. This means the actual current-on time is between 3.5 and 4 μs , 180 times/s. Thus, the maximum pulse current of 36 mA is equivalent to an average beam current of 26 μA , using a pulse length of 4 μs .

As 1 amp = 1 Coulomb/s = 6.25×10^{18} electrons/s, then 26 $\mu\text{A} = 1.625 \times 10^{14}$ electrons/s.

3.2. Bremsstrahlung production efficiency

The probability, p , for bremsstrahlung photons is about 1–5%/electron (Dowsett et al., 2001) at low energies but increases with both atomic number Z of the anode material (target) and the electron beam energy E_β . Most of the electron energy (99%) is lost as heat. Above a certain energy, called the critical energy (E_c), bremsstrahlung efficiency must be considered. This critical energy can be calculated (Frauenfelder and Henley, 1991):

$E_c \approx 600/Z \text{ MeV} = 8.1 \text{ MeV}$, which is well below the 18 MV energy in this study.

The efficiency η of bremsstrahlung production at electron energy (E_β , eV) at low energies (Dimitar, 1998) can be calculated from

$$\eta = k E_\beta Z, \quad (8)$$

where k is a constant, which depends on the material, and equals 1.1×10^{-9} for the tungsten target ($Z = 74$) (Dowsett et al., 2001).

The bremsstrahlung yield at low energies increases linearly as the energy of the incident electrons increases (Frauenfelder and Henley, 1991), but is generally less than a factor of 2 for energies above 10 MeV.

Table 1
Parameters of the 18 MV Varian Clinac 2100C

| |
|--|
| Electron energy (max) = 18 MeV (+3%) |
| Peak pulse current ~36 mA |
| Frequency = 180 Hz |
| Pulse length = 3.5 μs ↔ 4 μs |
| Mean current = 26 μA |

5% at low electron energies (125 kV~1%). At 1 MeV the yield can be as high as 8% (Dowsett et al., 2001).

No expression will give the bremsstrahlung efficiency exactly over the entire energy range. At medium energies the general approximation formula (Emilio, 1975):

$$\eta \approx \frac{E_\beta Z}{750} \quad \text{where } E_\beta \text{ is the electron energy in MeV.} \quad (9)$$

This is similar to Eq. (8) but increases to over 100% at energies around 12 MeV. To find the bremsstrahlung electron efficiency at 18 MeV three methods have been examined:

- Use of a higher-energy approximation formula (Meyerhof, 1967):

$$\eta \approx \frac{6 \times 10^{-4} Z E_\beta}{1 + 6 \times 10^{-4} Z E_\beta} \quad \text{where } E_\beta \text{ is in MeV.} \quad (10)$$

This formula ensures the efficiency stays below 100% and gives 44.4% efficiency at 18 MeV.

- Use of measured bremsstrahlung efficiencies in water (line of best fit) Fig. 4 (Emilio, 1975).

The efficiency of bremsstrahlung in elements of different atomic number Z varies nearly as Z^2 (Meyerhof, 1967). Thus, the efficiency for tungsten is about 49% at 18 MeV.

- Table 2 (Spring, 1960) below, gives a small number of measured and theoretical values for tungsten. It shows that roughly a doubling in energy results in an almost doubling in efficiency. This gives an extrapolated efficiency at 18 MeV of about 52%.

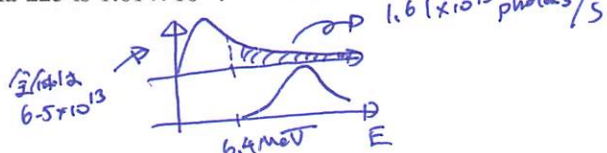
The higher-energy approximation formula (1st method) is the most accurate in determining bremsstrahlung efficiency as the other two methods, which rely on comparison with water and Z^2 related bremsstrahlung increases, and are not accurate across the wide energy range.

This model uses a conservative 40% bremsstrahlung efficiency to normalise the photon spectrum in Fig. 5. This means the total number of photons produced by the linac from 0 to 18 MeV is equal to 6.5×10^{13} .

3.3. Linac photon spectrum

A photon spectrum can now be constructed knowing the total number of photons and their intensities. The spectrum in Fig. 5 gives the number of photons as a function of photon energy up to 18 MeV using photon intensity data from Varian Corporation, and allows the calculation of the Ra-225 yield at each of these energies using the reaction cross section at these energies.

With the photoneutron Eq. (1) having a threshold energy of 6.4 MeV, the total number of photons that could produce Ra-225 is 1.61×10^{13} .



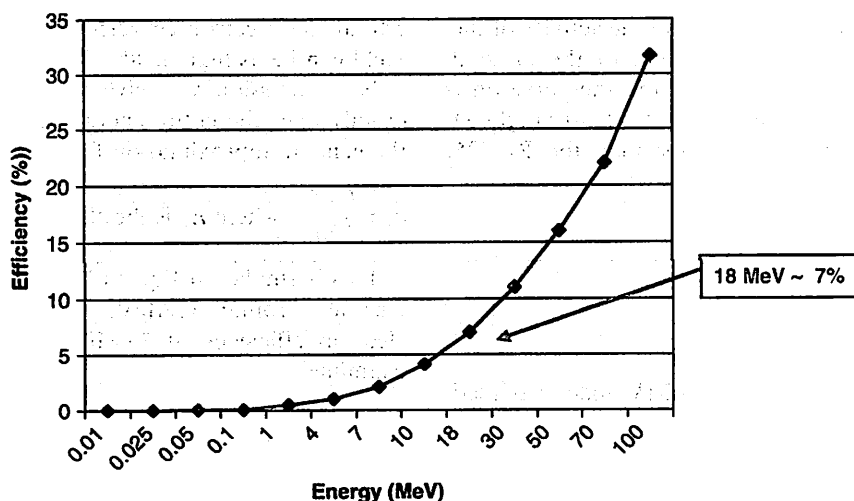


Fig. 4. Electron bremsstrahlung efficiencies in water.

Table 2
Theoretical and measured bremsstrahlung efficiencies for tungsten

| Energy (MeV) | Efficiency (%) | |
|--------------|----------------|-------------|
| | Experimental | Theoretical |
| 0.90 | 3.4 | 3.4 |
| 1.63 | 5.8 | 5.6 |
| 2.35 | 10.4 | 8.3 |

3.4. Calculated reaction cross section

The photoneutron reaction (Eq. (1)) cross section over the range of linac energies can be calculated using expression (5) and is shown in Fig. 6 below.

This graph shows a zero cross section at threshold reaction-energy of 6.4 MeV followed by a steady increase up to a maximum cross section of 532 mb at an energy of 13.75 MeV. The cross section is truncated at 18 MeV, which is the highest electron and photon energy of the linac in this model.

3.5. Yield of Ra-225

The total yield (Y) of Ra-225 can now be calculated using Eq. (7) and the data that was used to construct both Figs. 5 and 6. The result of this calculation is shown in Fig. 7, which is the yield in atoms of Ra-225/s over the complete energy range that the reaction can occur, i.e. from 6.4 to 18 MeV. Maximum yield occurs at 13.5 MeV.

A 1 cm^3 volume of Ra-226 contains 1.33×10^{22} atoms, since 226 g of Ra-226 contains 6.023×10^{23} atoms and Ra-226 has a density of 5 g/cm^3 . Using Eq. (7), the total yield (Y) = 2.8×10^{10} atoms/s of Ra-225. Thus, an 18 MV linac bombarding a 1 cm^3 target of Ra-226 (with activity 5 Ci) with bremsstrahlung photons in the energy range from 6.4

to 18 MeV, will produce 2.8×10^{10} atoms of Ra-225/s or about 10^{14} atoms/h of irradiation. This is based on a 40% bremsstrahlung efficiency, which is by far the main source of uncertainty in this simulation. This will be discussed later.

The activity of Ra-225 is given by $A_{225} = \lambda \times N_{225}$ (no of atoms of Ra-225). The decay constant ($\lambda = 0.693/t_{1/2}$) of Ra-225 (half-life: 14.9 days) is $\lambda = 5.38 \times 10^{-7}\text{ s}^{-1}$ and $1\text{ Ci} = 3.7 \times 10^{10}\text{ dis/s}$. Thus,

$$\begin{aligned} A_{225} &= 5.38 \times 10^{-7} \times 10^{14} \\ &= 5.38 \times 10^7 \text{ Bq (dis/s)/h irradiation} \\ &= 1.45 \text{ mCi/h irradiation.} \end{aligned}$$

3.6. Optimum linac energy

Computer simulation programs using C++ and MATLAB were also used to calculate the theoretical yield of Ra-225 using known Th-232 cross section data (Berman, 1976) and combining it with bremsstrahlung photon spectra. The programme was designed so that it could be used for different energies and currents. MATLAB was particularly useful for plotting the graphs. The results are shown in Fig. 8 and Table 3. One mole of Ra-226 was irradiated in this simulation.

Calculations showed that the linac does not require the highest possible energy, as the yield plateaus with increasing energy. Therefore, the optimal energy for Ac-225 is around 16 MeV. 18 MeV (Siemens) actually provides 15.25 MeV, which is the nearest energy to 16 MeV. On the other hand, 10 MeV (Varian) is not much greater than the threshold energy of photoneutron reaction. 25 MeV (Elekta) provides the highest energy, however, the yield is much less than 15 MeV (Varian) because of lower bremsstrahlung output. The reason for this is that, although linac power is the product of current and voltage,

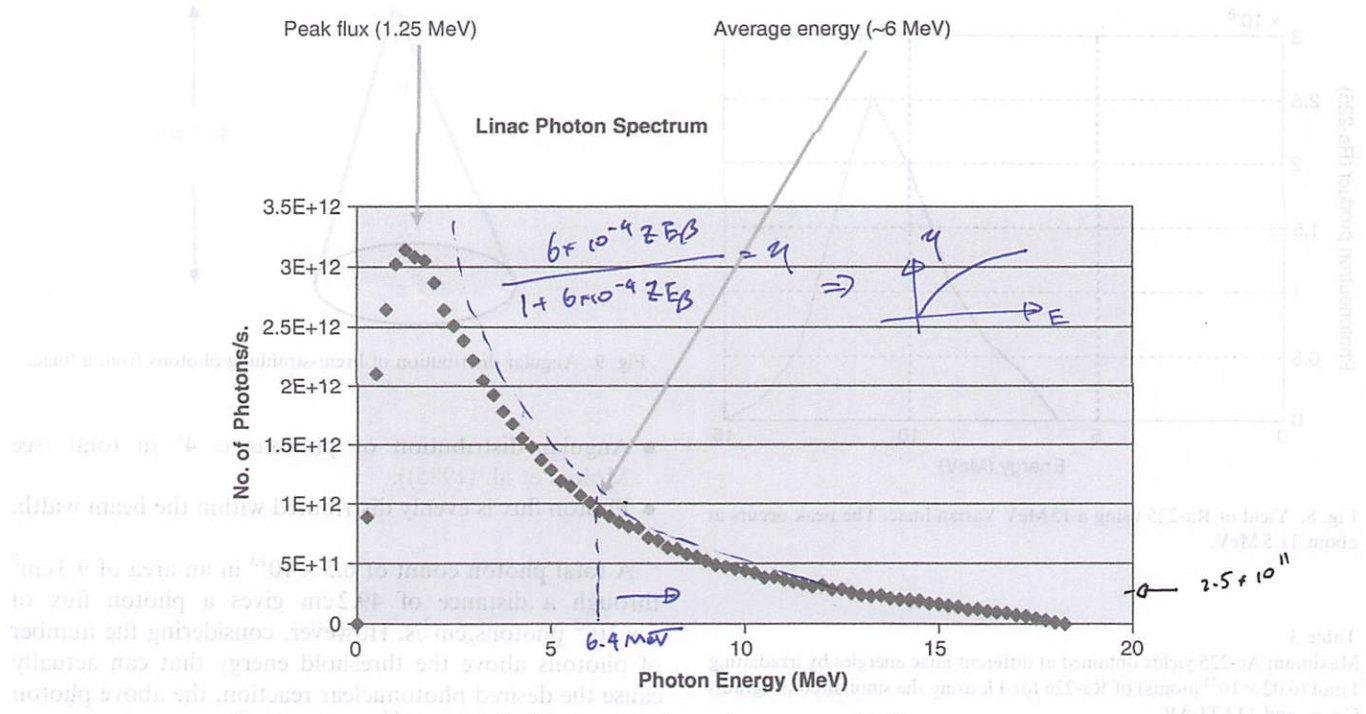


Fig. 5. Photon number/s vs. photon energy (MeV).

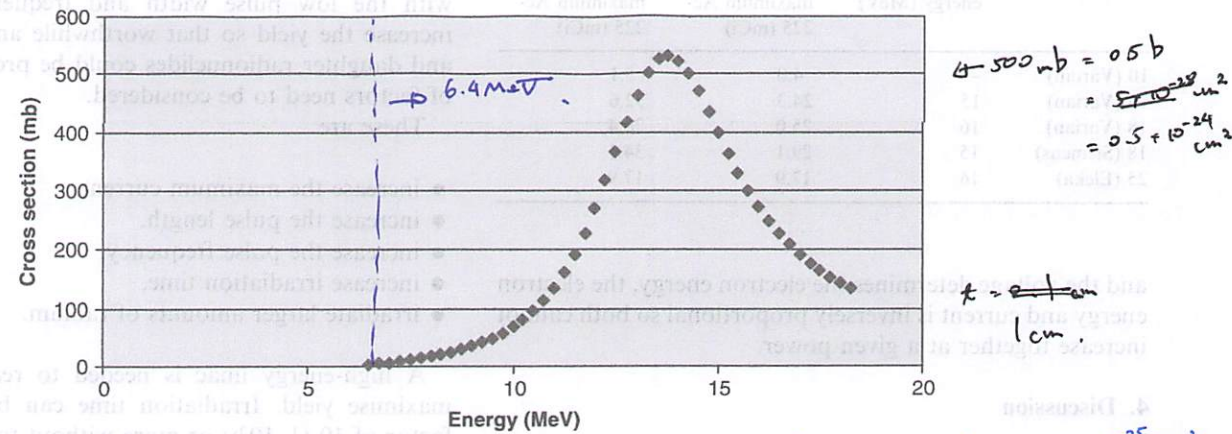


Fig. 6. Photonuclear cross section (mb) vs. photon energy (MeV).

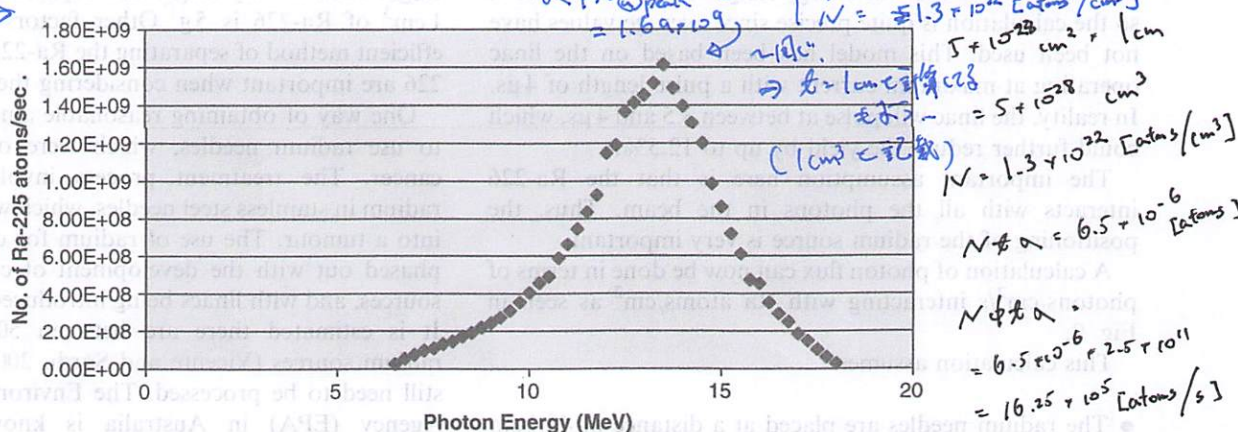


Fig. 7. Yield (Ra-225) in atoms per second vs. Photon energy (MeV).

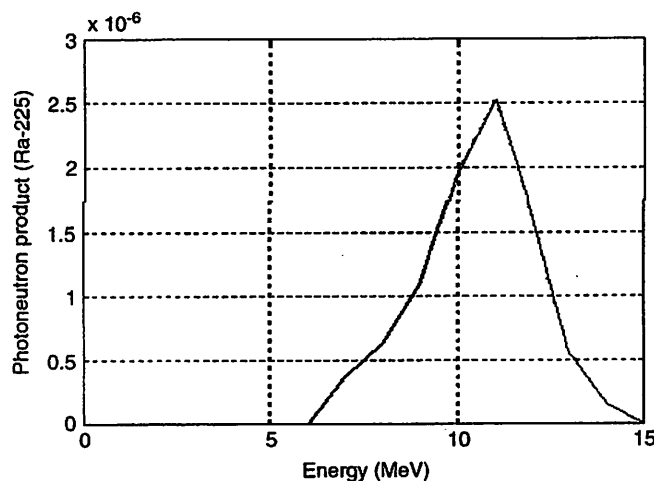


Fig. 8. Yield of Ra-225 using a 15 MeV Varian linac. The peak occurs at about 11.5 MeV.

Table 3

Maximum Ac-225 yields obtained at different linac energies by irradiating 1 mol (6.02×10^{23} atoms) of Ra-226 for 1 h using the simulation programs C++ and MATLAB

| Energy (MeV) | Maximum energy (MeV) | C++ maximum Ac-225 (mCi) | MATLAB maximum Ac-225 (mCi) |
|--------------|----------------------|--------------------------|-----------------------------|
| 10 (Varian) | — | 4.0 | 5.1 |
| 15 (Varian) | 15 | 24.3 | 32.6 |
| 18 (Varian) | 16 | 25.0 | 26.4 |
| 18 (Siemens) | 15 | 29.1 | 34.1 |
| 25 (Eleka) | 16 | 17.9 | 17.9 |

and the voltage determines the electron energy, the electron energy and current is inversely proportional so both cannot increase together at a given power.

4. Discussion

The total yield has been calculated by summing the individual yields over the energy range 6.4 MeV \leftrightarrow 18 MeV, so the calculation is quite precise since average values have not been used. This model has been based on the linac operating at maximum current with a pulse length of 4 μ s. In reality, the linac will pulse at between 3.5 and 4 μ s, which could further reduce the yield by up to 12.5%.

The important assumption here is that the Ra-226 interacts with all the photons in the beam. Thus, the positioning of the radium source is very important.

A calculation of photon flux can now be done in terms of photons/cm²/s interacting with Ra atoms/cm² as seen in Fig. 9.

This calculation assumes:

- The radium needles are placed at a distance of 49.2 cm from the tungsten target.

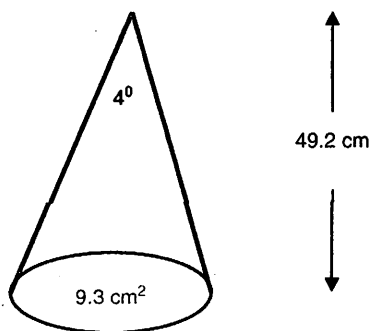


Fig. 9. Angular distribution of bremsstrahlung photons from a linac.

- Angular distribution of photons is 4° in total (see Mohan et al. (1985)).
- Photon flux is evenly distributed within the beam width.

A total photon count of 6.5×10^{13} in an area of 9.3 cm² through a distance of 49.2 cm gives a photon flux of 7×10^{12} photons/cm²/s. However, considering the number of photons above the threshold energy that can actually cause the desired photonuclear reaction, the above photon flux reduces to 1.7×10^{12} photons/cm²/s.

The low yield results from the low current combined with the low pulse width and frequency. In order to increase the yield so that worthwhile amounts of Ra-225 and daughter radionuclides could be produced, a number of factors need to be considered.

These are:

- increase the maximum current,
- increase the pulse length,
- increase the pulse frequency,
- increase irradiation time,
- irradiate larger amounts of radium.

A high-energy linac is needed to reach the GDR to maximise yield. Irradiation time can be increased by a factor of 10 (1–10 h) or more without too much strain on the linac. Packing as much Ra-226 as possible into the target area is very important especially considering that 1 cm³ of Ra-226 is 5 g. Other factors such as using an efficient method of separating the Ra-225/Ac-225 from Ra-226 are important when considering the small yield.

One way of obtaining reasonable amounts of Ra-226 is to use radium needles, which were once used to treat cancer. The treatment process involved encapsulating radium in stainless steel needles, which were then imbedded into a tumour. The use of radium for cancer therapy was phased out with the development of cobalt and caesium sources, and with linacs being introduced for radiotherapy. It is estimated there are between 50,000 and 100,000 radium sources (Vicente and Sordi, 2004) worldwide that still need to be processed. The Environmental Protection Agency (EPA) in Australia is known to possess a considerable store of old discarded radium needles. There

is also a store of radium needles at some hospitals. These needles are cylindrical in shape and are approximately 1.5 cm long and have a diameter of about 0.25 cm. They contain about 20 mg (20 mCi) of very pure Ra-226.

Irradiating one of these needles for an hour using the model in this paper will produce about 6 μCi of Ra-225 because of the small mass of the radium in each needle (20 mg).

The cross section of the Ra-226 target for the photoneutron reaction determined by its GDR. This type of resonance is due to the mode of nuclear vibration in which at any instant the protons and neutrons collectively oscillate in opposite directions, with the centre of gravity remaining constant. The resonance decays by the emission of one or more nucleons of which at least one is normally a neutron in the region of interest. The GDR leads to a broad peak (energy vs. cross section) and occurs in nuclei throughout the periodic table (Williams, 1991).

Linacs have a flattening filter between the tungsten target and the irradiated source; its purpose is to give a more uniform radial field. As expected, the filter absorbs some lower energy photons and thus leads to higher average beam energy. Since the threshold reaction to produce Ra-225 is 6.4 MeV, it makes little difference practically whether the filter is removed or not.

The activity of the Ac-225 depends on the photon flux, irradiation time, the activity of Ra-225, and half-life. The Ac-225 production rate:

$$A_2 = NHA_1(T_1/(T_1 - T_2))(1 - e^{-0.693(T_1 - T_2)t/T_1 T_2}),$$

where N is the number of atoms H the irradiation time, and t the time. Here, A_1 , A_2 are the activities and T_1 , T_2 are the half-lives of the Ra-225 and the Ac-225, respectively. A_1 is the product of photon flux and cross section of Ra-226.

The dependence of the two radionuclides is seen in Fig. 10. The C++ computer simulation produced this

graph for a 15 MeV Varian (maximum energy: 15 MeV) where a small amount of Ra-226 was irradiated in the simulation. It shows that transient equilibrium occurs after 18 days and compares favourably with the ideal theoretical result (assumes ideal situation where parent radionuclide half-life was a lot longer than daughter radionuclide half-life) in Fig. 3 where transient equilibrium was reached in about 13 days.

The C++ computer simulation programme predicts that using an 18 MeV Varian to irradiate 1 cm^3 of Ra-226 (5 g) for 1 h will give a yield of Ra-225 of 1.25 mCi assuming a consistent 40% bremsstrahlung efficiency, with the maximum yield of Ac-225 being 0.554 mCi and occurs after 430 h or 18 days.

These C++ yield results are very consistent with the other results in this theoretical paper where 1.45 mCi/h of Ra-225 was produced (p. 13) under the same conditions. As mentioned previously, the C++ results were constructed using Th-232 cross section data and differ by only 16% from that where Bi-209 data was used. By far the greatest source of error in these simulations would be in the actual bremsstrahlung efficiency. Although Ra-226 and Th-232 are deformed nuclei, using spherical cross section data from Bi-209 has not significantly (less than 20%) altered the result at linac energies.

5. Conclusion

On the basis of this theoretical approach, very low activities (μCi) of Ra-225 can be produced by a common high-energy linac. The two different simulations gave consistent results when using cross sections data from two different nuclei. An 18 MV linac irradiating 5 g of Ra-226 for one hour will produce between 1 and 2 mCi of Ra-225. The simulation also shows that simply increasing linac energy beyond a certain level does not increase the yield

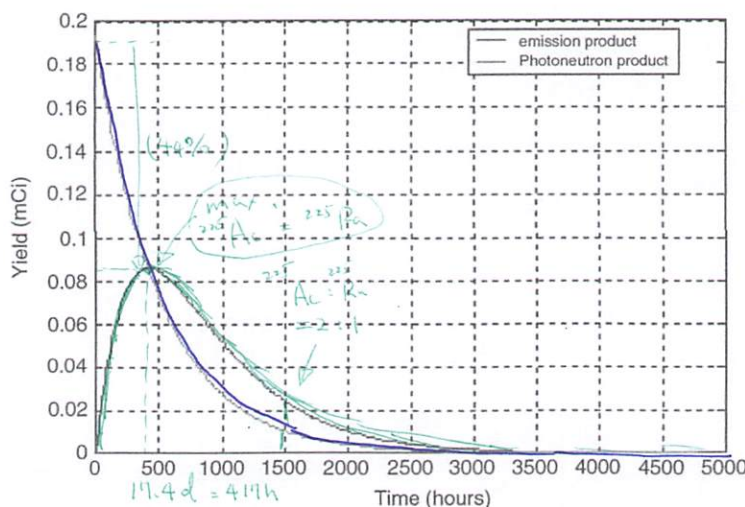


Fig. 10. The photoneutron product (Ra-225) is at a maximum after irradiation using a Varian (15 MeV) and slowly decays while the decay product (Ac-225) builds to a maximum in 430 h before it slowly decays.

$$\begin{aligned}
 & 2 \times 10^{-3} = 3.7 \times 10^{-9} \cdot \beta_{\text{g}}(\text{Ac}) \\
 & 2 \times 10^{-3} = 3.7 \times 10^{-9} \cdot 1 \text{ h} \times 2.6 \mu\text{A} \\
 & = 2 \times 10^{-3} \cdot 3.7 \times 10^{-9} \cdot \beta_{\text{g}}(\text{Ac}) \\
 & = 5 \times 1 \times 2.6 \cdot \beta_{\text{g}}(\text{Ra}) \cdot \text{h} \cdot \mu\text{A} \\
 & = 1.5 \times 10^{-5} \frac{\beta_{\text{g}}(\text{Ra})}{\beta_{\text{g}}(\text{Ra}) \cdot \text{h} \cdot \mu\text{A}} \\
 & = 1.5 \times 10^{-5} \cdot 44\% \\
 & = 6.77 \frac{\beta_{\text{g}}(\text{Ac})}{\beta_{\text{g}}(\text{Ra}) \cdot \mu\text{A} \cdot \text{h}}
 \end{aligned}$$

unless there is an increase in overall linac power. Although the photonuclear reaction is inefficient, the yield can be greatly increased by using a longer irradiation time, placing the radium target in a prime position and having a high mass Ra-226 target. Stacking together a large number of radium needles may do this.

Furthermore, considering that after the valuable Ac-225 is extracted from the target the residual Ra-226 can again be irradiated in a continuing process (Ra/Ac generator), the project could also slowly reduce obsolete radioactive material as well as produce Ac-225.

Acknowledgements

We would like to thank Mr. Ole Hagen from the Varian Corporation in Australia for supplying information about the 2100C Clinac and Professor Oleg Sushkov of the University of New South Wales in Sydney for assistance in the calculations of photonuclear reaction cross section data.

References

- Actinium Pharmaceuticals, 2005. Online: <http://www.actiniumpharmaceuticals.com/>
- Ahnesjo, A., 1989. Photon dose calculation. *Med. Phys.* 18, 377.
- Allen, B.J., Raja, C., Rizvi, S., Li, Y., Tsui, W., Zhang, D., Song, E., Fa Qu, C., Kearsley, J., Graham, P., Thompson, J., 2004. Targeted alpha therapy for cancer. *Phys. Med. Biol.* 49, 3703–3712.
- Allyn and Bacon, 1966. *Fundamentals of Nuclear Physics*, Boston.
- Berman, B., 1976. *Atlas of Photoneutron Cross Sections Obtained with Monoenergetic Photons*. Lawrence Livermore Laboratory [64Ha2].
- Boll, R.A., Malkemus, D., Mirzadeh, S., 2005. Production of actinium-225 for alpha particle mediated radioimmunotherapy. *Appl. Radiat. Isot.* 62 (5), 667–679 (Epub 2005 January 28).
- Bueche, F., 1969. *Introduction to Physics for Scientists & Engineers*. McGraw-Hill Co., New York.
- Centre for Photonuclear Experiments Data (CDFE), 2005. Moscow. REF. (T,YOUNG, 72). Online: <http://cdfe.simp.msu.ru/index.en.html>
- Dimitar, K., 1998. Studies of some isomeric yield ratios produced with bremsstrahlung. *Appl. Radiat. Isot.* 49 (8), 989–995.
- Dowsett, D.J., Kenny, P.A., Johnston, R.E., 2001. *The Physics of Diagnostic Imaging*. Oxford University Press, Oxford.
- Emilio, S., 1975. *Nuclei and Particles*, second ed. Library of Congress Cataloging.
- Frauenfelder, H., Henley, E., 1991. *Subatomic Processes*, second ed. Prentice-Hall, Englewood Cliffs, NJ.
- Koch, L., et al., 1999. Production of Ac-225 and application of the Bi-213 daughter in cancer therapy. *Czechoslovak J. Phys.* 49 (Suppl. S1), 817–822.
- Korea Atomic Energy Research Institute, 2005. Online: <http://atom.kaeri.re.kr/cgi-bin/readgam>
- Meyerhof, W., 1967. *Elements of Nuclear Physics*. McGraw-Hill, New York.
- Mohan, R., et al., 1985. Energy and angular distribution of photons from medical linear accelerators. *Med. Phys.* 12, 592.
- Nordell, B., et al., 1984. Angular distribution and yield from bremsstrahlung targets (for radiation therapy). *Phys. Med. Biol.* 29, 797–810.
- Spring, K.H., 1960. *Photons and Electrons*. Methuen & Co. Ltd., London.
- Vicente, R., Sordi, G.M., 2004. Hiromoto G. *Health Phys.* 86 (5), 497–504.
- Wehr, M., Richards, J., 1974. *Physics of the Atom*. Addison-Wesley Inc., Reading, MA.
- Williams, W.S.C., 1991. *Nuclear and Particle Physics*. Oxford Science Publications, Oxford.

製造量計算

① 重要式、

$$Y = \int_{E_1}^{E_2} Y(E) dE \quad \rightarrow \quad Y = \int_{\sigma} \int_{E_{th}^{lower}}^{E_{th}^{upper}} Y(E, \sigma) dE d\sigma \quad (\text{改訂式})$$

(Melville 2006)

\rightarrow 体積 $d\sigma$ 毎に左式を計算、

\rightarrow 合計が良い。

($Y(E)$ は単位体積あたりです)

$$\alpha = \frac{N_R}{N_\gamma} \quad (\alpha = \alpha(E))$$

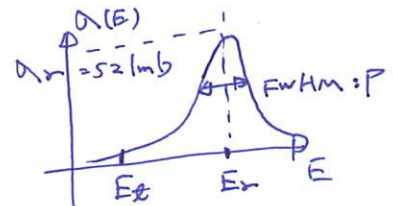
N_γ : photon flux : 活度. $\frac{1}{m^2 \cdot s}$
($1/(m^2 \cdot s)$)

N_R : 核反応率 ($\#/(keV \cdot s)$)

② Breit - Wigner formula : (巨大双極子共鳴の式 \rightarrow Allyn & Bacon 1966)

$$\alpha(E) = \frac{(\Gamma/2)^2}{(E - E_r)^2 + (\Gamma/2)^2} \left(\frac{E}{E_r} \right) \sqrt{\frac{E - E_\ell}{E_r - E_\ell}}$$

\therefore $\left\{ \begin{array}{l} \Gamma = \text{巨大双極子共鳴の FWHM} \\ E_\ell = \text{の閾値} \\ E_r = \text{の中心エネルギー} \end{array} \right.$



\rightarrow \rightarrow $Rn-226$ の反応断面積。

$Rn-226$ の Γ 及び E_r を測定したところ....

$$\rightarrow Bi-209 \text{ の代用. } \left\{ \begin{array}{l} \Gamma = 3.97 \text{ MeV} \\ E_r = 13.45 \text{ MeV} \end{array} \right. \quad (\text{質量が最も近く既知の値})$$

\rightarrow E_ℓ は、(CPFE 2005) で、質量の計算。
(近似式か? 後で確認)

$$\rightarrow E_\ell = 6.4 \text{ MeV} \quad \text{further calculation}$$

18 MeV 以上のエネルギーは、不確実、.....

\rightarrow TENDL1: \bar{n} (理論計算値)

⑦ 製造量の式、

$$\gamma = \int_{E_{th}^{lower}}^{E_{th}^{upper}} \gamma(E) dE = \int_{E_{th}^{lower}}^{E_{th}^{upper}} N \phi(E) \alpha(E) f dE$$

$$\left\{ \begin{array}{l} N = \text{核子密度 } (R_n=2.26) \quad [1/cm^3] = [\text{atoms}/cm^3] \\ \phi(E) = \text{光子強度} \quad [\text{flux}/s] = [\text{個}/s] \\ \alpha(E) = \text{反応断面積} \quad [\text{mb}] = E \cdot 10^{-27} [\text{cm}^2] \\ f = \text{試料厚さ} \quad [\text{cm}] \quad "10^{-31} \text{m}^2" = 10^{-27} \text{cm}^2 \end{array} \right.$$

→ 単位体積計算の場合、 $\phi(E) \rightarrow \phi(E) \quad [\text{photons}/\text{cm}^3/\text{s}]$
 ↗ \rightarrow $\text{photons}/\text{cm}^2 \cdot \text{s}$

$$\gamma \Rightarrow \text{atoms}/s$$

$$(\gamma \Rightarrow \gamma / \Delta V \quad (\Delta V \neq 0) = \text{atoms}/s/cm^3)$$

⇒ 例えり、 $\phi(E)$ がわかれば、計算可能。

→ 最終的には MC 計算 $\phi(E, \theta)$

⑧ 制動放射線発生の効率、

$$\text{制動放射線発生の閾値、} E_c \cong \frac{600}{Z} \quad [\text{MeV}] \quad (\text{近似式})$$

$$\left\{ \begin{array}{l} \text{白金} = Z = 78, \\ \text{タングル} = Z = 73, \end{array} \right. \rightarrow \left\{ \begin{array}{l} E_c^{Pt} = 7.69 \text{ MeV} \\ E_c^{Ta} = 8.21 \text{ MeV} \end{array} \right.$$

■ 発生効率、 η 。

$$\cdot \eta = k E_B Z$$

(+ Frenzenfelder and Henly 1991)

($k = \text{const.} = 1.1 \times 10^{-19} \text{ fm}^2$)

(low energy)

($Z=14$)

(Dowsett 2001)

$$\cdot \eta \cong \frac{E_B Z}{1750} \quad (E_B \text{ は電子ビームエネルギー} [\text{MeV}])$$

(medium energy)

$$\cdot \eta \approx \frac{6 \times 10^{-4} Z E_B}{1 + 6 \times 10^{-4} Z E_B} \quad (\text{high energy})$$

① 製造量主導の時代へ

- 銀久のレース。(板築)

微小體積 $dV = d^3x$ の質量 (密度 $\rho(x)$) dT で

$$\text{微小体積割合} \frac{dV}{V} = \frac{1}{V} dV = \frac{1}{V} d^3t$$

$$\text{製造量 } g \text{ は } g = \int dg = \int \cancel{\rho} d^3x$$

$$Y = \int_{E_{\text{th}}^{\text{lower}}}^{E_{\text{th}}^{\text{upper}}} N \phi(E) \alpha(E) dE$$

$$\left\{ \begin{array}{l} N = \text{核子密度} . (P_{n-226}) \quad [1/\text{cm}^3] = [\text{atoms}/\text{cm}^3] \\ \phi(E) = \text{核子吸收率} \quad [\text{flux}/\text{s}] = [\sigma/\text{s}] \\ \alpha(E) = \text{反応断面積} . \quad [\text{mb}] = (10^{-27}) [\text{cm}^3] \\ t = \text{試料厚さ} \quad [\text{cm}] \end{array} \right.$$

四 棋算には、

1. 定数， N , ℓ と計算

}. $\phi(E)$, $\alpha(E)$ 乙 算策, $\tau^{\circ\circ}-1$.

上 22 日 全 2 節

までは、Mellville の 数値を 計算する。

$$N = \frac{N_A \text{ [atoms/mol]}}{(226 \text{ g/mol}) \times (4.9 \text{ g/cm}^3)}$$

$$= \frac{N_A \text{ [atoms/mol]} - 6.02 \times 10^{23} \text{ [atoms/mol]}}{46.12 \text{ [cm}^3/\text{mol]}}$$

$$= 1.31 \times 10^{22} \text{ [atoms/cm}^3\text{]}$$

$N \propto \phi$ (a) peak.

$$\alpha = 520 \text{ mb} = 5.2 \times 10^{-25} [\text{cm}^2]$$

$$f = 2.5 \times 10^{11} [\text{g/s}] \Rightarrow$$

$$N \propto \phi = 5 \cdot 2 \cdot 10^{-25} + 2 \cdot 5 \cdot 10^{11}$$

16-4-12 822 for 3...
by T. TANOL
3-76
T. Tanol 11 met

$13 \text{ mol} \rightarrow 1 \text{ mol}$

$x^o = 172^o$ ~~132~~

$$F_{\text{dyn}} = 3.5 \times 10^{11} \text{ N}$$

2-3 cm w
glossy

10

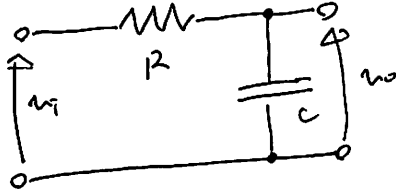
16-4: ⑨ 質量的互
一致 (再現性)
17 確定性

手計算， $\Delta\phi = 18^\circ 3' 5''$, $T_{\text{obs}} = 1.1$. 2.69×10^9 / 1.69×10^9
(sec.) (sec.)

3-1. 整理, Q. PHITS の利用

\Rightarrow 請問， $T_{\text{END}} \rightarrow T_0$ 在何時發生？

④ RC - passive filter .



$$\frac{u_o}{u_i} = \frac{\frac{1}{j\omega C}}{R + \frac{1}{j\omega C}} = \frac{1}{1 + j\omega CR}$$

$\tau = RC$, $\tau^{-1} = f_c \approx 32\pi$,
 $(\omega_c = 2\pi f_c)$

$$\begin{aligned}\frac{u_o}{u_i} &= \frac{1}{1 + (j2\pi) \cdot f/f_c} \\ &= \frac{1}{1 + (j2\pi) \cdot \frac{f}{f_c}}\end{aligned}$$

$$\left\{ \begin{array}{l} f \gg f_c \text{ の場合}, \quad \frac{u_o}{u_i} \approx \frac{1}{j2\pi} \cdot \frac{1}{f/f_c} \rightarrow 0 \\ f \ll f_c \text{ の場合}, \quad \frac{u_o}{u_i} = \frac{1}{j2\pi} \cdot 1 \rightarrow 1 \end{array} \right.$$

$$\left\{ \begin{array}{l} f \ll f_c \text{ の場合}, \quad \frac{u_o}{u_i} \approx 1 \\ f < f_c \approx 12\pi \approx 38 \text{ Hz} \end{array} \right. , \quad (f < f_c \text{ の場合})$$

LPF, $\omega_c \approx 12\pi \approx 38$.

$$f_{sig} = (\mu s)^{-1} \rightarrow 1 \text{ MHz}. \quad (\tau_{sig} \approx 1 \mu s)$$

$$\left\{ \begin{array}{l} f = 7^{\circ} 45' \text{ 周波数}, \quad : \cancel{1 \text{ kHz}}, \quad \sim 1 \mu s \\ \text{Repetition}, \quad : \cancel{200 \text{ Hz}}, \quad \sim 5 \text{ ms} \end{array} \right.$$

$$10 \text{ MHz}, \quad \sim 100 \text{ Hz} \quad \approx \text{LPF } \approx 12\pi \approx ??.$$

$$\begin{array}{cccccc} 10 \text{ MHz}, & 1 \text{ MHz}, & 100 \text{ kHz}, & 10 \text{ kHz}, & 1 \text{ kHz}, & 100 \text{ Hz} \\ (0.1 \mu s) & (1 \mu s) & (10 \mu s) & (100 \mu s) & (1 \text{ ms}) & (10 \text{ ms}) \end{array}$$

$$\text{e.g.) } C = (\mu F) = 10^{-6} \text{ F}, \quad R_C = 1 \text{ k}\Omega = 10^3 \text{ }\Omega, \quad 10^3 \text{ }\Omega \cdot 10^{-6} \text{ F} = 10^3 \text{ F} = 1 \text{ mF} \\ \rightarrow 1 \text{ ms} = \cancel{1 \text{ kHz}}.$$

$$\text{e.g.) } R_C = 10^3 \text{ }\Omega, \quad R = 10^3 \text{ }\Omega, \quad C = 10^{-10} = 10^{-10} \text{ F} = 10^{-10} \text{ F}$$

$$Z_{in} \sim 10 \text{ k}\Omega \approx 1 \text{ f} \dots \text{ or} \dots$$

$$1 \text{ kHz} \approx 100 \text{ Hz} \approx$$

$$1 \text{ k}\Omega + 10 \text{ nF} = 100 \text{ kHz}$$

$$1 \text{ k}\Omega + 1 \text{ nF} = 1 \text{ MHz}$$

$$3.3 \text{ nF} = 300 \text{ kHz} \approx 100 \text{ kHz}$$

$$\sim 3 \text{ ms}.$$

$$\left\{ \begin{array}{l} R = \cancel{1 \text{ k}\Omega}, \quad \tau = C = \cancel{1 \text{ F}}, \\ R = \cancel{10 \text{ k}\Omega}, \quad \tau = C = 1 \text{ F} \end{array} \right.$$

$$\left\{ \begin{array}{l} 10 \text{ kHz}, \quad R = 10 \text{ k}\Omega, \quad C = \cancel{1 \text{ F}}, \\ 100 \text{ kHz}, \quad R = 10 \text{ k}\Omega, \quad C = 1 \text{ nF}, \\ 1 \text{ MHz}, \quad R = 10 \text{ k}\Omega, \quad C = 0.1 \text{ nF}, \\ 10 \text{ MHz}, \quad R = 100 \text{ k}\Omega, \quad C = 0.1 \text{ nF} \end{array} \right.$$

④ $R_C \approx 10^3 \times -f$ ~~τ~~

| R | C | f | τ |
|------------------------------------|--------------------------------|---------------------------------------|--|
| $10k\Omega$ | $1\mu F$ | 100Hz | 10^{-2} |
| | $0.1\mu F$ | 1kHz | 10^{-3} |
| | $0.01\mu F$ | 10kHz | 10^{-4} |
| | $3.3\mu F$ | 100kHz | $100 \times 10^{-6} = 1 \times 10^{-5}$ |
| $1k\Omega$ | $1\mu F$ | 1kHz | 10^{-3} |
| | $0.1\mu F$ | 10kHz | 10^{-4} |
| | $0.01\mu F$ | 100kHz | 10^{-5} |
| | $3.3\mu F$ | 1000kHz | $100 \times 10^{-6} = 1 \times 10^{-5}$ |
| $100k\Omega$ | $1\mu F$ | 3.3MHz | 3.3×10^{-7} |
| $100k\Omega$ | $1\mu F$ | 10Hz | 10^{-1} |
| $1k\Omega$ | 100pF | 10MHz | $100\text{ns} = 0.1\mu s$ |

④ $R_C \approx 71.2 \cdot f$

$$\cancel{71.2}, \quad 0.1\mu F = 1\text{ms}.$$

$$200k\Omega, \quad 0.1\mu F = 2 \times 10^{-2} = 20\text{ms}, \quad 50\text{Hz},$$

$$200k\Omega, \quad 0.1\text{nF} = 2 \times 10^{-5} = 20\mu s, \quad 50\text{GHz}$$

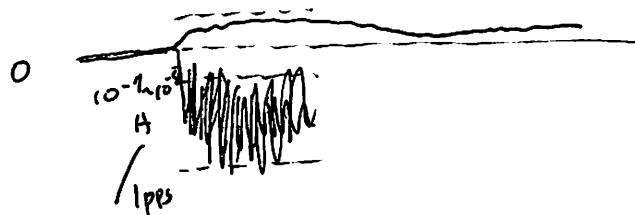
• 白金電極、出力強

$$BG (\text{E-A 検出}) = 240 \mu\text{A} \cdot \text{レビュウ}$$

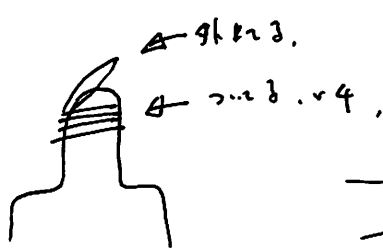
E-A 検出 時間 (2ms)

∴ 出力の振幅は一定。

→ 非線形性消失、相関性好。



④ (400) • 白金。5% 3 1 倍率 外周 100 Hz。RC 時間 30 ms.



$$\left\{ \begin{array}{l} X_1 = 40 \text{ mV}, 100 \text{ Hz}, \\ BG 40 \text{ mV} 80 \text{ Hz の時 } 1 \text{ A} \end{array} \right.$$

| f | R | C | T |
|--------|--------|--------|-------|
| 80 Hz | 200 kΩ | 0.1 μF | 20 ms |
| 100 Hz | 10 kΩ | 1 μF | 10 ms |

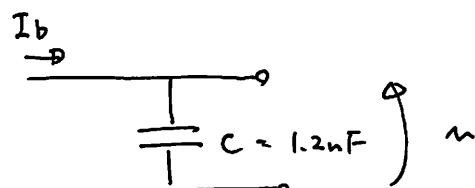
• 白金電極、電流 = 3 100 ppm の複雑化。

• RC 時間、入力、信号は 平滑化 せず ...

→ 何故??.

• RC 時間 96 ms, 80 Hz - 100 Hz 適用。

→ 100 Hz, 12. E-A 1.0 V 2 (Pulse 高い波形)



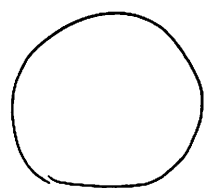
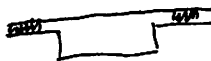
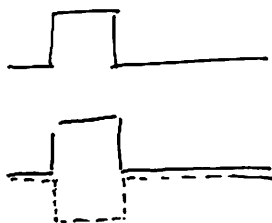
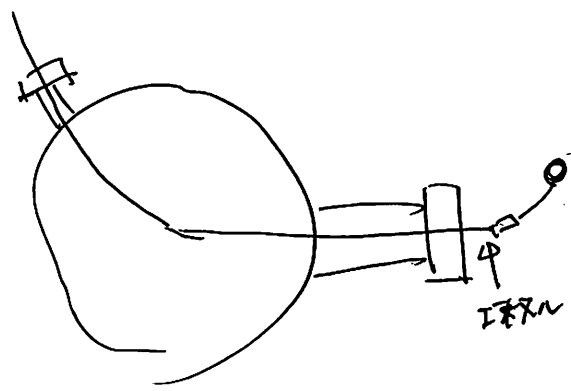
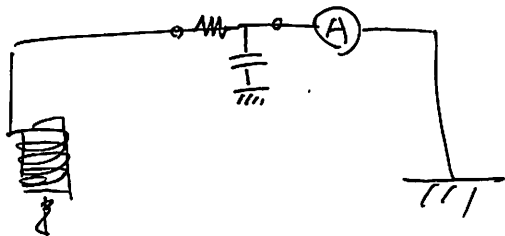
$$Q = C u = \frac{dQ}{dt} \cdot t = C \frac{du}{dt}$$

$$u = \frac{1}{C} \int I dt$$

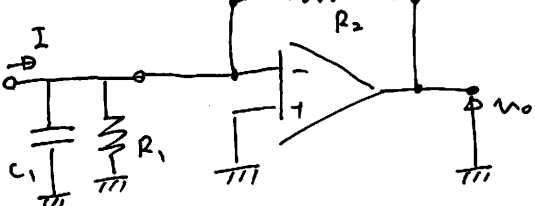
$$u = \int \frac{I}{C} dt$$

$I_{\text{max}} = 1 \text{ A}$, $E_2 = 800 \text{ mV}$

$I_{\text{max}} = 1 \text{ A}$, $E_2 = 640 \text{ mV}$



1.3~2.12~ ω - G -2 回路.



$$m_o = R_2 I \quad R_2 = 1 \text{ m}\Omega.$$

$$(I = 1 \mu\text{A}, : m_o = 1 \text{ V} \approx 33 \text{ rad/s.})$$

$$C_2 = \sqrt{\frac{C_1 + C_{in}}{2\pi Q^2 \cdot GBW + R_2}}$$

$$Q = \frac{1}{\sqrt{2}} \quad (\text{临界削波条件}), \quad C_1 \gg C_{in} \gg R_2.$$

$$C_2 = \sqrt{\frac{C_1 + C_{in}}{\pi \cdot GBW + R_2}}$$

LME49720 45 mHz }
 NE5534 10 mHz } $\Rightarrow 10 \text{ pF.}$

$C_{in} \sim 10 \text{ pF}$ 级数.

$C_{in} \sim 10 \text{ pF} \Leftrightarrow R_{in} \sim 10^1 \text{ M}\Omega \dots (C_1 = 0)$

$$C_2 = \sqrt{\frac{10 \times 10^{-12}}{3.14 \times 45 \times 10^6 + 1 \times 10^6}}$$

$$= 0.26 \times 10^{-12} \sim 0.2 \text{ pF.}$$

$\Rightarrow \frac{1}{R_{in}} \sim 10 \text{ pF} \approx 10^1 \text{ M}\Omega \Rightarrow 10 \text{ pF} \rightarrow 10^1 \text{ Hz} \text{ (5-60 Hz)}$

$\frac{1^2}{2^2} (12)$.

$$\begin{array}{lll} \text{・ コンバータ背面.} & \text{约 } \pm 2V \text{ レベル.} & 1.9V \text{ 程度.} \\ t_{\text{RF}} & \pm 20V \text{ レベル.} & 15V \text{ 程度.} \end{array} \left. \begin{array}{l} \text{1.9V 程度.} \\ \text{15V 程度.} \end{array} \right\} (1/\mu\text{s}) \rightarrow \text{約 } 1/\mu\text{s} \text{ 程度.}$$

$\text{PHITS} = -\infty.$

- ・ コンバータ背面の場合. 2V レベル. $300\text{Hz} \sim 3\text{ms}$ レベル / $1\mu\text{s}$.
 $\rightarrow \text{RF } \approx 220\text{V} \sim 70\text{V}$ 从入 42V / $1\mu\text{s}$.

- Au 照射.

Au . 重量. 4.56ng

$\varepsilon = 3$ 倍子倍. 1.31V

E1 147mA

$16.35\text{ cps} \rightarrow 23.3 \text{ } \beta\text{Bq}$ 製造量.

| | | |
|----|------------------|---|
| 重量 | 4.56ng | } |
| 電流 | $6.5\mu\text{A}$ | |
| 照射 | 10 min | |

[16.35 cps]
 \downarrow
 $(23.3 \text{ } \beta\text{Bq})$
 \downarrow
 $\text{1/1.1}\text{E}$

前回の値
 $\cdot 23.32 \text{ } \beta\text{Bq} / 19.91 \text{ cps}$
 $= 1.56 \text{ } \beta\text{Bq} / \text{cps}$
 $\cdot 23.32 \text{ } \beta\text{Bq} / 4.75\text{mg} / 6.2\text{nA} / 10\text{min}$
 $= 191 \text{ } \beta\text{Bq} / \text{ng} / \text{nA} / 10\text{min}$

2h 1/2 通過後.

$(24 - 38)$

$136-\text{A} (\text{E1})$

$$0.35\text{V} - 1.35\text{V} = 1.0\text{V}_{\text{pp}}$$

135nA

Radiation dose

$$\frac{1}{3h} \frac{20\text{mH}}{3h} \frac{1/2 \text{ 通過後.}}{3h} \frac{1.2\text{V} - 0.4\text{V}}{1.4\text{V} - 0.4\text{V}} = 0.8\text{V}_{\text{pp}}$$

$$\frac{23.3 \times 10^3}{\beta\text{Bq}} / 4.56\text{ng} / 6.5\mu\text{A} / 10\text{min} = 178.6 \text{ } \beta\text{Bq} / \text{ng} / \text{nA} / 10\text{min}$$

133nA

6h 照射終了時.

$$1.2\text{V} - 0.4\text{V} = 0.8\text{V}_{\text{pp}}$$

1/2 1/2 < 1/4 1/4 1/4.

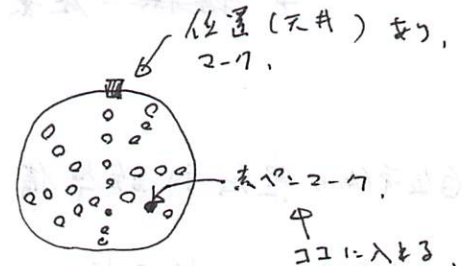
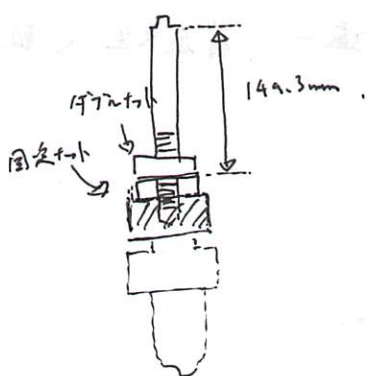
④ 残り、

- ・ コード整形、
- ・ PHITS の $\phi(E, \theta)$ を 入力コード追加、
- ・ 全体コード整形、
- ・ A_n の計算、
- ・ R_n の計算、

12/20 ハウジング内へのセットアップ手順

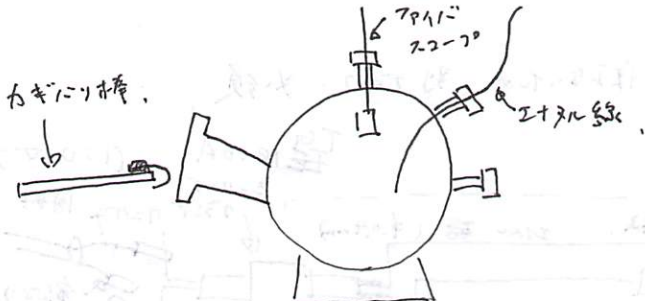
- ・ 容器本体をセットアップする。
- ・ L-4 の軸をててアルミフレーム祭台へ、ハウジング設置。
- ・ 容器背面に、棒を取り付く。前面はスペーサーで設置。(カット用貼付)
→ 今回、照射容器(12月納品ver.)の場合、4枚。
 $0.5\text{mm} \times 4 \text{枚} = 2\text{mm}$

・ 棒の取付



⇒ これら設置は一意に決まる。12個。

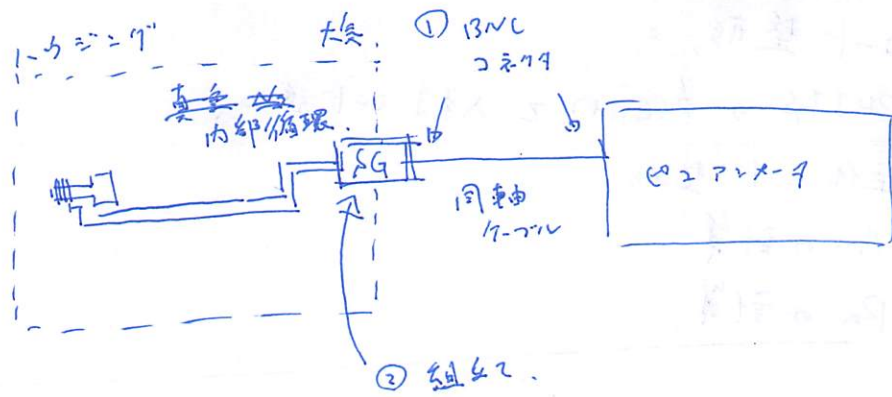
* 容器が入る二方所確保 $\sim 2-12$ 、白金線を取付けた。



- ・ ハウジング内にフローバースコードを入れ、固定
- ・ カギに付ける棒にエイベル線を繋ぎます。
- ・ エイベル先端に、白金線を接着、
- ・ 容器先端に取付け、
- ・ 容器で、エイベルの伸び引く一定に挿入(?)
- ・ 土盤の位置にセットアップしておきOK。
- ・ 空冷配管接続。

17号(未調査試料)の場合、

容器が1mm後退する(メスナットのため)
→ スペーサー2枚で、後部の棒は150.3mm。



12/21 122の許可、記録。

① 受入日、署類作成 必要。

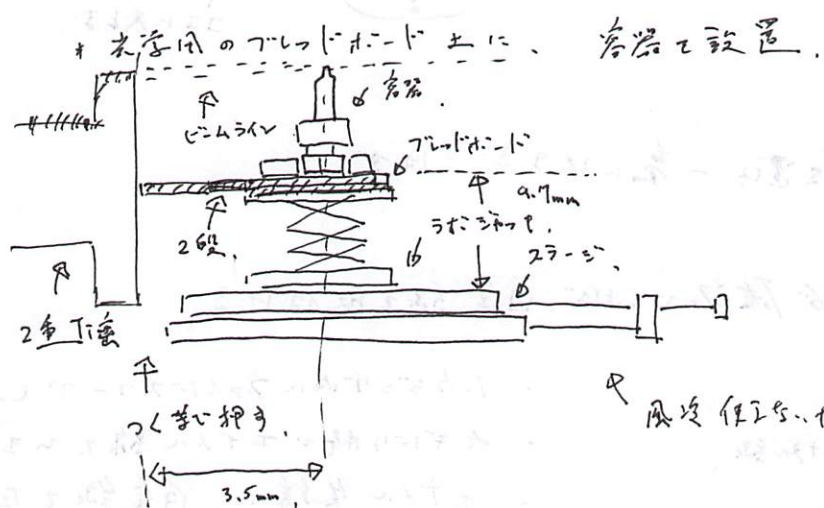
→ 署名、23-008-01 ~~変化~~ etc. を割り当て、

② 122 使用計画。

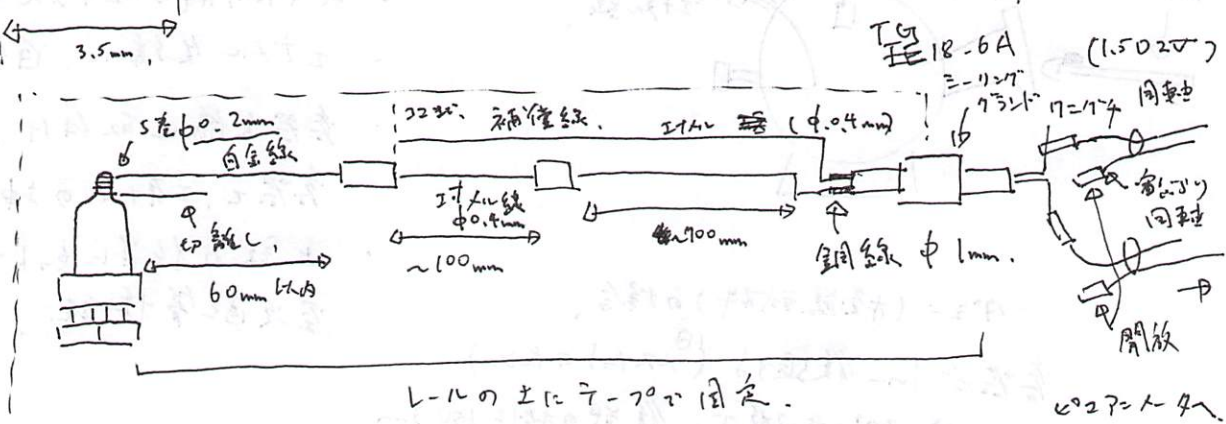
→ 上記の署名を併用する。

→ ~~書類~~ 廃棄。その他、専務を逐一、前永久生へ報告。

12/20 白金導体の照射試験準備。



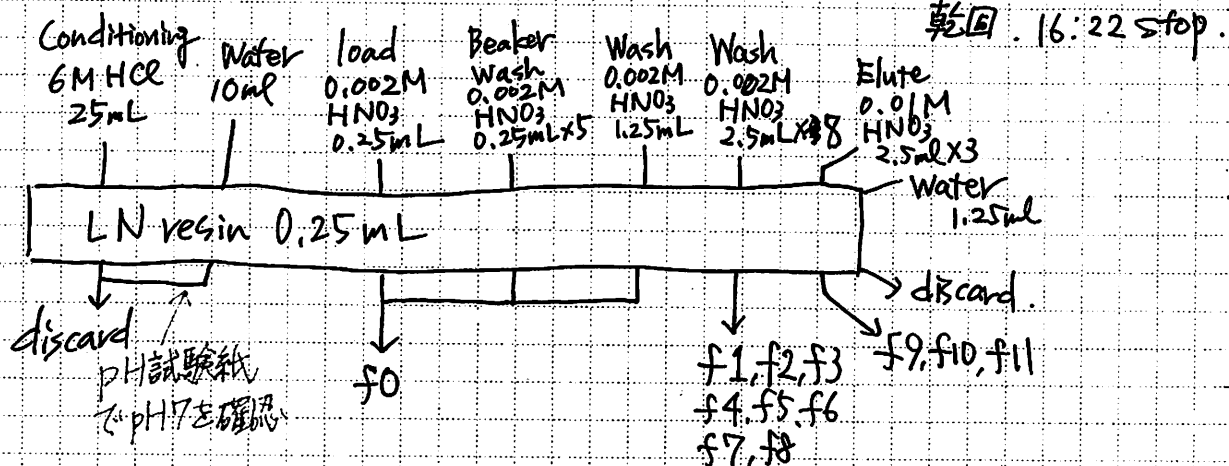
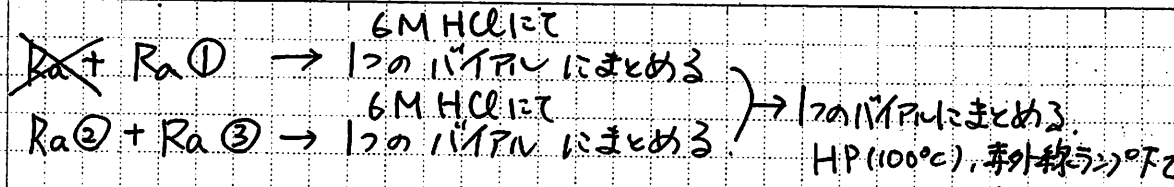
風冷作業台ため、別7-27-必須。



CO2 P=1-4m

9/
30

131



16:22 8M HNO₃ 0.5mL を乾固物に添加、再加熱し乾固する → 3回繰り返す.

x2

[Ra-sample 30cm CHN
5.27cpm (④) 186 keV]

004134
D-K-19029-01-00
2023-06

← STD 線源 (23/6/16)
△ 122keV @ Co-57: 0.618 kBq
ε 55.6 (271.79 days)
△ 166keV @ Ce-139: 0.792 kBq
ε 79.9 (137.64 days)

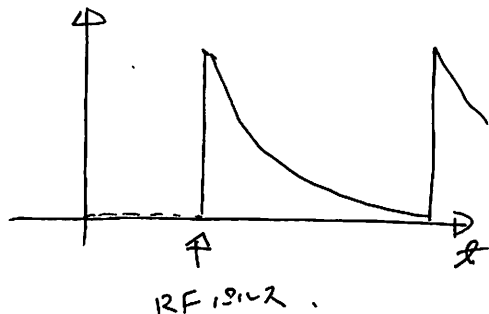
→ 0.5mL 8M HNO₃ 乾固物に添加、再加熱し乾固する → 10回繰り返す

17:51 0.002M HNO₃ 0.25mL に溶解し着点液とする.

f2 ~ f5 を 6M HCl でビーカーに回収、加熱乾固する.

22:53 10μl 水でセル乾固テスト → 1回目測定 31 kBq. 2回目 51 kBq
0.5M HCl でビーカーを洗浄 3回目 49 kBq. 4回目 53 kBq.
照射セルに 10μl 入れて乾固.

④ $i = f(t)$ の波形は?



$i = f(t)$ の波形は?

$$1.35 \text{ V} - 0.35 \text{ V} \sim 1.0 \text{ V}_{\text{P-P}}$$

④ 135mA,

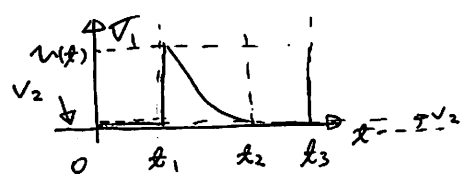
$i = f(t)$ の波形は?

$$15 \text{ V}_{\text{P-P}}. \quad \text{④ } 135 \text{ mA}$$

■ 何をどう?

$$\left\{ \begin{array}{l} f_s(t) > 0 \text{ の 波形?} \\ f_s(t) < 0 \text{ の 値?} \end{array} \right. \Rightarrow i = f(t) \text{ が 何を表すか}.$$

■ $f_s(t) = ?$



A² 波形,

- $e^{\lambda t}$ は 何を表す?

$$v(t) = \begin{cases} 0 & (0 \leq t \leq t_1) \\ f(t) & (t_1 \leq t \leq t_2) \\ 0 & (t_2 \leq t \leq t_3) \end{cases}$$

$e^{-\lambda(t-t_2)}$.
なぜなら不等式。

$$f(t) = V_1 (e^{-\lambda(t-t_1)}) (t \geq t_1) + V_2$$

$$t - t_1 = \text{電位時間} \quad v(t) = V_1 e^{-\lambda(t-t_1)} + V_2$$

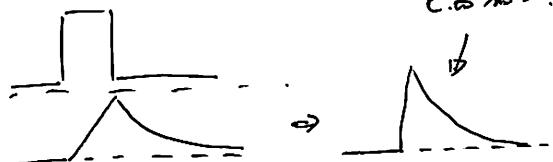
$$\hat{v}(t) = e^{-\lambda t}$$

\Rightarrow 何を表す?

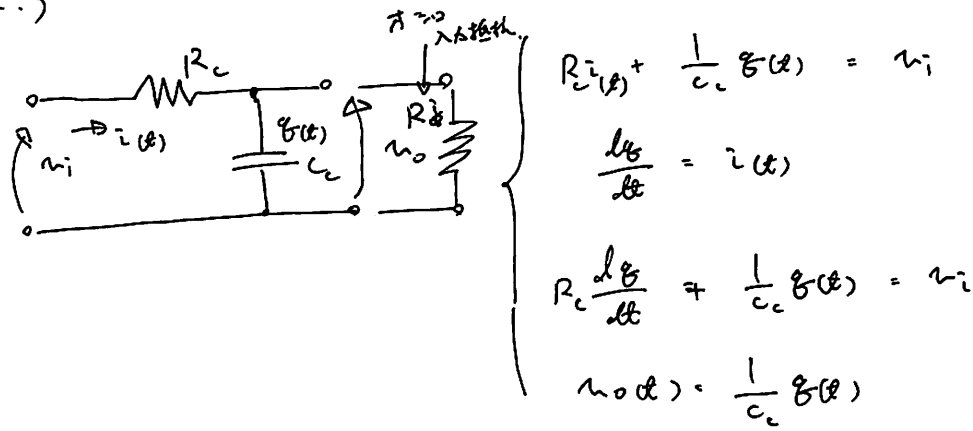
入力入力は「 t_1 で停止」....

矩形波は「 t_2 で停止」....

$$\frac{d}{dt} \hat{v} = -\lambda e^{-\lambda t} = -\lambda \hat{v}$$



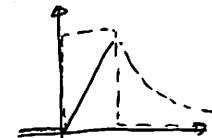
• e.8.)



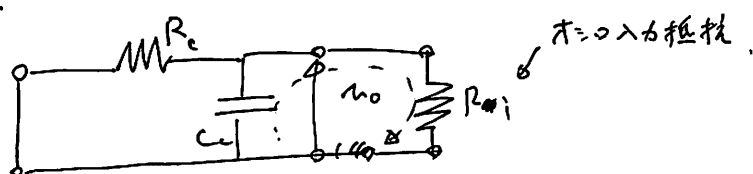
$$i(t) = \begin{cases} i_0 & (0 \leq t \leq \Delta t) \\ 0 & (\Delta t \leq t < T) \end{cases}$$

$$g(t) = \int i(t) dt = i_0 \Delta t + k_0 \quad (t=0 \text{ 时 } g(0)=0 \text{ を考慮})$$

$$g(t) = i_0 \Delta t \quad (0 \leq t \leq \Delta t)$$



L-L P4.



$$\left\{ \begin{array}{l} C_c \rightarrow C \\ R_i \rightarrow R \end{array} \right. \quad \begin{array}{l} \text{(1)式} \\ \Rightarrow \end{array} \quad -\frac{1}{C} \int i dt + R i = 0,$$

$$-\frac{1}{C} g - R \frac{dg}{dt} = 0,$$

$$t=0 \text{ 时}, \quad g^{(0)} = i_0 \Delta t = R g_0$$

$$\text{②式} \text{ から},$$

$$\frac{dg}{dt} = -\frac{1}{RC} g(t)$$

$$\frac{1}{g} dg = -\frac{1}{RC} dt$$

$$\ln |g| = -\frac{1}{RC} t + D_1$$

$$\left\{ \begin{array}{l} g = D_2 e^{-\frac{1}{RC} t} \\ t=0 \text{ 时}, \quad g(0) = D_2 = g_0 \\ g_0 = g_0 e^{-\frac{1}{RC} t} \\ = i_0 \Delta t e^{-\frac{1}{RC} t} \\ = i_0 \Delta t e^{-\frac{1}{\frac{C}{R} + R} t} \end{array} \right.$$

結局、

$$g(t) = i_0 \Delta t e^{-\frac{1}{C(R+i_0 \Delta t)} t}$$

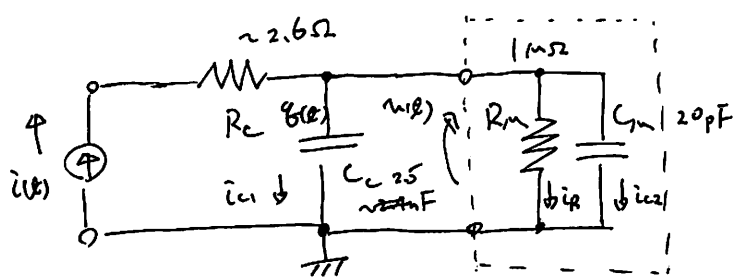
\Rightarrow 等価回路は、定数電流 $i_0 \Delta t$ の並列回路

Au.

$$A_y \rightarrow 2.41 \text{ mm}, 2.49 \text{ mm}$$

(0 min - 10 pps)

* 简化图 \Rightarrow $\frac{1}{R_m} \approx 1.0 \Rightarrow L = 4 \text{ mH}$.



$$C_m = 1 \text{ mH} \times \frac{1}{2.4 \text{ m}} \approx \frac{1}{2.4}$$

$$\frac{1}{10^4} \text{ nF/m} \quad (= \frac{10^4}{2.5} \text{ pF/m})$$

$$R_m = 1 \text{ mH} \times \frac{1}{2.4 \text{ m}}$$

$$110 \Omega / \text{cm} \quad (= 0.11 \Omega/\text{m})$$

$R_m = 1 \text{ mH} \Rightarrow$ 入力抵抗.

$$(-\text{般的} \Rightarrow 1 \text{ mH}) \Rightarrow R_m = 1 \text{ mH}$$

$$\approx 2.64 \Omega / 24 \text{ m}$$

(web と 同じ)

$C_m = 1 \text{ mH} \Rightarrow$ 入力容量.

$$(-\text{般的} \Rightarrow 10 \sim 20 \text{ pF}) \Rightarrow C_m = 20 \text{ pF}$$

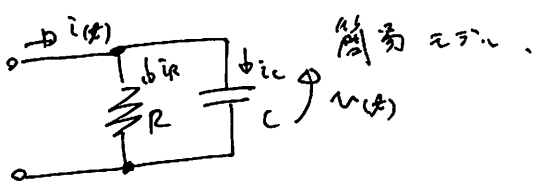
$$\approx 2.64 \Omega / 24 \text{ m}$$

$$\tau = \frac{1}{R_m(C_m + C_m)} \approx \frac{1}{10^6 \times (2.65 \times 10^{-9} + 20 \times 10^{-12})} = 2.52 \text{ ms}$$

$$\Rightarrow \text{全電気歪} \approx 2 \times 10^{-5}$$

(~3.5ms程度.)

* 入力 (1/3入力の) $\Rightarrow 3 \pm 5 \text{ } \mu\text{V/V}$



$$\begin{cases} \frac{1}{C} \int i_C dt = u(t) & = \frac{u(t)}{C} = u(t) \\ R \cdot i_R = u(t) & - \frac{du(t)}{dt} = i_C(t) \\ i(t) = i_R + i_C(t) \end{cases}$$

$$i(t) = \frac{1}{R} u(t) + \frac{d u(t)}{dt}$$

$$= \frac{1}{R} \frac{u(t)}{C} + \frac{d u(t)}{dt} = i(t) =$$

$$\frac{1}{RC} u(t) + \frac{d u(t)}{dt} = i_0$$

↓ 初期条件

$$\frac{1}{C} \frac{df}{dt} = -\frac{1}{RC} dt$$

$$f(t) = D(t) e^{-\frac{1}{RC} t}$$

$$t=0^+, f(0) \rightarrow 0$$

$$\cancel{\text{for } f(0) \rightarrow 0}$$

$$i_0 (0 \leq t \leq \Delta t) \\ 0 (t \geq \Delta t)$$

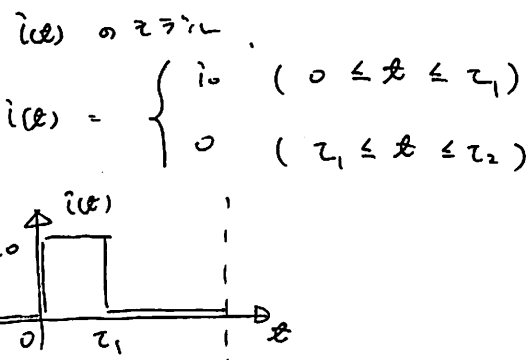
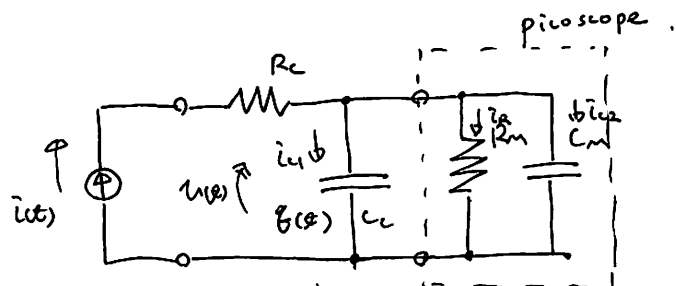
$$\begin{aligned} t=0^+, f(0) &= 0, E = -i_0 R C \\ f(t) &= i_0 R C (1 - e^{-\frac{1}{RC} t}) \\ i_C(t) &= i_0 e^{-\frac{1}{RC} t} \\ u(t) &= R i_0 (1 - e^{-\frac{1}{RC} t}) \approx R i_0 (1 - \frac{1}{RC} t) \end{aligned}$$

$$i(t) = \begin{cases} i_0 & t < \Delta t \\ i_0 e^{-\frac{1}{RC} t} & t \geq \Delta t \end{cases}$$

$$t=0^+, f(0) \rightarrow 1$$

$$\begin{aligned} \frac{1}{RC} D(t) e^{-\frac{1}{RC} t} &+ (-\frac{1}{RC} D(t)) e^{-\frac{1}{RC} t} + D'(t) e^{-\frac{1}{RC} t} = i_0 \frac{i_0}{C} t \\ \therefore D'(t) &= i_0 e^{+\frac{1}{RC} t} \\ D(t) &= i_0 R C e^{\frac{1}{RC} t} + E \\ \therefore f(t) &= i_0 R C + E e^{-\frac{1}{RC} t} \end{aligned}$$

一般解.

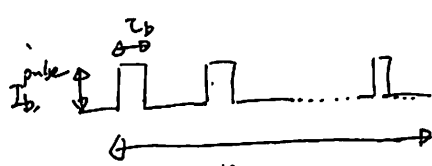


$$\left\{ \begin{array}{l} u(t) = \frac{1}{C_C} \int i_{C1}(t) dt = \frac{1}{R_M i_R} = \frac{1}{C_M} \int i_{C1}(t) dt \\ i(t) = i_{C1} + i_{C2} + i_R \\ g(t) = \frac{d}{dt} \int i_{C1}(t) dt \end{array} \right. \quad \rightarrow \quad \left\{ \begin{array}{l} u(t) = R_M i_0 \left[1 - e^{-\frac{1}{R_M(C_C+C_M)}t} \right] \\ i_{C1} = i_0 e^{-\frac{1}{R_M(C_C+C_M)}t} \quad (0 \leq t \leq \tau_1) \\ g(t) = \frac{R_M(C_C+C_M)i_0}{C_M} \left[1 - e^{-\frac{1}{R_M(C_C+C_M)}t} \right] \\ u(t) = R_M i_0 \left(1 - e^{-\frac{1}{R_M(C_C+C_M)}t} \right) e^{-\frac{1}{R_M(C_C+C_M)}t} \\ i_{C1} = \frac{g_0}{R_M(C_C+C_M)} \frac{i_0}{i_0 \times (1 - e^{-\frac{1}{R_M(C_C+C_M)}\tau_1})} e^{-\frac{t-\tau_1}{R_M(C_C+C_M)}} \\ g(t) = \frac{(t-\tau_1)}{\tau_2-t} e^{-\frac{(t-\tau_1)}{R_M(C_C+C_M)}} \quad (R_M(C_C+C_M)i_0 \left(1 - e^{-\frac{\tau_1}{R_M(C_C+C_M)}} \right) \equiv g_0) \\ (R_M(C_C+C_M) \gg \tau_1, \approx i_0 \tau_1 e^{-\frac{(t-\tau_1)}{R_M(C_C+C_M)}}) \\ (t_1 \leq t \leq t_2) \end{array} \right.$$

• $i_0 \rightarrow$ 低周波. (\Rightarrow 1.2~2.5MHz)

平均電流の計算. $I_{SEE}^{ave} = 1\mu A$ 程度. ($I_b = 200\mu A$)

\rightarrow 1.2~2.5MHz の電圧.



$$n_{pps} \times T_b \times I_b^{pulse} = I_b$$

$$n_{pps} \times T_b = f_{Duty} = 300 \times 3 \times 10^{-6} = 0.9 \times 10^{-3}$$

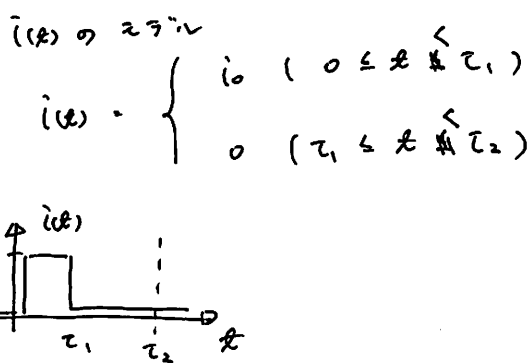
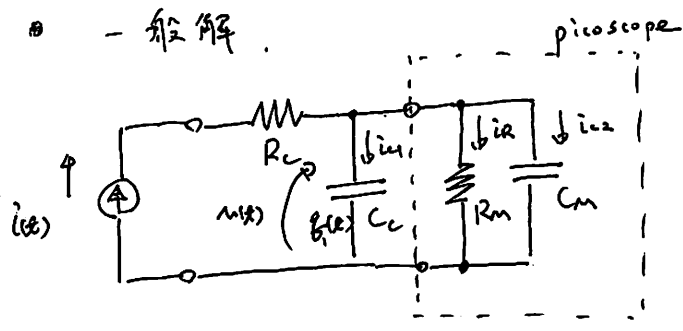
$$I_b^{pulse} = \frac{I_b}{f_{Duty}} = \frac{200 \times 10^{-6}}{0.9 \times 10^{-3}} = 222 \mu A$$

$$\text{f}_{Duty} = 0.14\%$$

$$i_0 = I_{SEE}^{ave} / f_{Duty} = \frac{1 \times 10^{-6}}{1.4 \times 10^{-3}} = 0.71 \mu A$$

$$i_0 \sim 1\mu A \text{ 程度. } i(t) = R_M i_0 = 710 \text{ V} \approx 2V \text{ と } \Rightarrow \text{PH2T, S2TA, C123, E123, E124...} \quad T_{PF} \sim 4.7 \mu s. \text{ と 連動する. } \quad \text{214A}$$

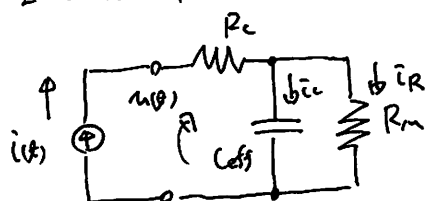
• - 積分解.



$$\left\{ \begin{array}{l} m(t) = \frac{1}{C_c} \int i_{11}(t) dt = \frac{1}{R_m / R_c} = \frac{1}{C_m} \int i_{22}(t) dt \\ i(t) = i_{11} + i_R + i_{22} \\ q_1(t) = \int i_{11}(t) dt \end{array} \right.$$

上記解法.

23'. ② 路を考慮.



$$\left\{ \begin{array}{l} C_{eff} = C_c // C_m \approx \frac{C_c C_m}{C_c + C_m} \\ i_c = i_{11} + i_{22} \end{array} \right.$$

$$i(t) = i_c + i_R$$

$$\left\{ \begin{array}{l} i_c(t) = \frac{d q(t)}{dt} \\ m(t) = \frac{1}{C_{eff}} q(t) \end{array} \right. \quad 2)$$

$$i(t) = \frac{dq}{dt} + \frac{1}{R_m} \cancel{m(t)} = \frac{m(t)}{R_m}$$

$$= \frac{dq}{dt} + \frac{1}{R_m C_{eff}} q(t)$$

$$= \begin{cases} i_0 & (0 \leq t < \tau_1) \dots ① \\ 0 & (\tau_1 \leq t < \tau_2) \dots ② \end{cases}$$

$$= \begin{cases} 0 & (\tau_2 \leq t < \infty) \dots ③ \end{cases}$$

① $i = ?$.

$$\frac{dq(t)}{dt} + \frac{1}{R_m C_{eff}} q(t) = i_0$$

23' 累積解法.

$$\frac{1}{q} dq = - \frac{1}{R_m C_{eff}} dt$$

$$\ln |q| = - \frac{1}{R_m C_{eff}} t + C_1(t)$$

$$q = C_2(t) e^{-\frac{1}{R_m C_{eff}} t}$$

23' 累積解法の解法 (2). ($R_m \gg R$, $C_{eff} \gg C$)

$$C_2' \cancel{\frac{dq}{dt}} = - \frac{1}{R_m} C_2 \cancel{\frac{dq}{dt}} + \frac{1}{R_m} C_2 e^{-\frac{1}{R_m} t} = i_0$$

$$e^{-\frac{1}{R_m} t} \cdot C_2' = i_0 e^{\frac{1}{R_m} t}$$

$$C_2 = i_0 R_m e^{\frac{1}{R_m} t} + C_3$$

$$\therefore q_2(t) = i_0 R_m + C_3 e^{-\frac{1}{R_m} t}$$

$$t = 0 \text{ 时 } q(0) = 0, \quad 2)$$

$$q(0) = i_0 R_m + C_3 = 0 \quad \therefore C_3 = -i_0 R_m$$

$$\therefore q(t) = i_0 R_m \left(1 - e^{-\frac{1}{R_m} t} \right)$$

$$m(t) = \frac{1}{C} q(t) = R_i i_0 \left(1 - e^{-\frac{1}{R_m} t} \right)$$

$$i(t) = \cancel{\frac{dq(t)}{dt}} = \frac{dq}{dt} = i_0 e^{-\frac{1}{R_m} t}$$

一般解 . 練 1 .

$$② \frac{dI}{dt} + \frac{1}{RC} I = 0$$

同様に . 各次解 12 .

$$q_1(t) = C_1 e^{-\frac{1}{RC}t}$$

つづく . 初期条件 $(t=0)$ で $I(0) = i_0$.

$$q_1(t=0) = i_0 R C \left(1 - e^{-\frac{1}{RC}t_1}\right)$$

$$q_1(t=t_1) = C_1 e^{-\frac{1}{RC}t_1} = i_0 R C \left(1 - e^{-\frac{1}{RC}t_1}\right)$$

$$C_1 = \frac{i_0 R C}{e^{\frac{1}{RC}t_1} (1 - e^{-\frac{1}{RC}t_1})}$$

つづく .

$$q_1(t) = i_0 R C \left(1 - e^{-\frac{t_1}{RC}}\right) e^{-\frac{(t-t_1)}{RC}}$$

$$u(t) = \frac{1}{C} q_1(t) = R i_0 \left(1 - e^{-\frac{t_1}{RC}}\right) e^{-\frac{(t-t_1)}{RC}}$$

$$i(t) = \frac{dI}{dt}$$

$$= -i_0 \left(1 - e^{-\frac{t_1}{RC}}\right) e^{-\frac{(t-t_1)}{RC}}$$

つづく . 32+33 . - 一般解 12 .

$$0 \leq t < t_1$$

$$\begin{cases} q_1(t) = i_0 R C \left(1 - e^{-\frac{1}{RC}t}\right) \\ u(t) = R i_0 \left(1 - e^{-\frac{1}{RC}t}\right) \\ i(t) = i_0 e^{-\frac{1}{RC}t} \end{cases}$$

$$t_1 \leq t < t_2$$

$$\begin{cases} q_1(t) = i_0 R C \left(1 - e^{-\frac{t_1}{RC}}\right) e^{-\frac{(t-t_1)}{RC}} \\ u(t) = R i_0 \left(1 - e^{-\frac{t_1}{RC}}\right) e^{-\frac{(t-t_1)}{RC}} \\ i(t) = -i_0 \left(1 - e^{-\frac{t_1}{RC}}\right) e^{-\frac{(t-t_1)}{RC}} \end{cases}$$

つづく .

1.3.4-7 (回路定数法) の計算 .

① 波高値 .

$$u_p = u(t=t_1)$$

④ 1.0V 2.0V の一般表現.

$$m_{\text{pulse}}(t) = \begin{cases} R_{10} [1 - e^{-\frac{t}{RC}}] & (0 \leq t < \tau_1) \\ R_{10} [1 - e^{-\frac{\tau_1}{RC}}] e^{-\frac{t-\tau_1}{RC}} & (\tau_1 \leq t < \tau_2) \\ \rightarrow (t_1 \leq t) \end{cases}$$

$t' = \cancel{t_0} \sim t'$ の範囲で m_{pulse} の値を求める。 $n = 1, 2, \dots, n$ の $t = t_0 + n\Delta T$ の時.

$\cancel{t_0} = -1 \cdot \Delta T, -2 \cdot \Delta T, -3 \cdot \Delta T, \dots, -n \cdot \Delta T$ の範囲で m_{pulse} の値を求める。

後で t_0 の値を t に置き換える。

$$t' = -n\Delta T \quad \text{とし} \quad m_{\text{pulse}} = \begin{cases} C_1 & (t - \cancel{t_0}) > \tau_1 \\ C_2 & (t - \cancel{t_0}) \leq \tau_1 \end{cases}$$

$$m_{\text{pulse}}(\cancel{t_0}) = \begin{cases} R_{10} [1 - e^{-\frac{t - \cancel{t_0}}{RC}}] & (t - \cancel{t_0} > \tau_1) \\ R_{10} [1 - e^{-\frac{\tau_1}{RC}}] e^{-\frac{(t - \cancel{t_0}) - \tau_1}{RC}} & (t - \cancel{t_0} \leq \tau_1) \end{cases}$$

$$m_{\text{pulse}}(t + n\Delta T) = \begin{cases} R_{10} [1 - e^{-\frac{t - \cancel{t_0}}{RC}}] & (t - \cancel{t_0} > \tau_1) \\ R_{10} [1 - e^{-\frac{\tau_1}{RC}}] e^{-\frac{(t - \cancel{t_0}) - \tau_1}{RC}} & (t - \cancel{t_0} \leq \tau_1) \end{cases}$$

全 1.0V が、 $\cancel{t_0} \rightarrow t$ の時.

$$\begin{aligned} m_{\text{pulse}}(t + n\Delta T) &= R_{10} [1 - e^{-\frac{\tau_1}{RC}}] e^{-\frac{t - \tau_1}{RC}} \cdot e^{-\frac{n\Delta T}{RC}} \\ &= m_{\text{pulse}}(t) \cdot e^{-\frac{n\Delta T}{RC}} \end{aligned}$$

$n = 1, 2, \dots, \infty$ の時、累積分布.

$$m(t) = \lim_{n \rightarrow \infty} \sum_{n=1}^N m_{\text{pulse}}(t) e^{-\frac{n\Delta T}{RC}} + m_{\text{pulse}}(t)$$

$$= m_{\text{pulse}}(t) \cdot \sum_{n=1}^{\infty} e^{-\frac{n\Delta T}{RC}} + m_{\text{pulse}}(t)$$

$$= m_{\text{pulse}}(t) (1 + S_{\infty})$$

重複合数を用いて $t \rightarrow t_0$ で $\left[-\frac{\tau_1}{2} \ln k \right]$ がどうなるか?

$$n(t) = R_{\text{no}} \left[1 - e^{-\frac{(t-t_0)}{\tau_{\text{RC}}}} \right] e^{-\frac{(t-t_0)}{\tau_{\text{RC}}}}$$

$(n_0 = R_{\text{no}} [1 - e^{-\frac{\tau_1}{\tau_{\text{RC}}}}] e^{-\frac{t_0}{\tau_{\text{RC}}}})$

$$n(t) = \sum_{n=0}^{\infty} n^{(n)}$$

$$= n_0 + n'$$

$$\Rightarrow n' = e^{\frac{\Delta t}{\tau_{\text{RC}}}} \circ \text{"比級数"}$$

$t \rightarrow n \Delta t \leq t \leq (n+1) \Delta t$ の場合

$n \sim n$ が Δt の倍数

$n \sim 0$ の範囲

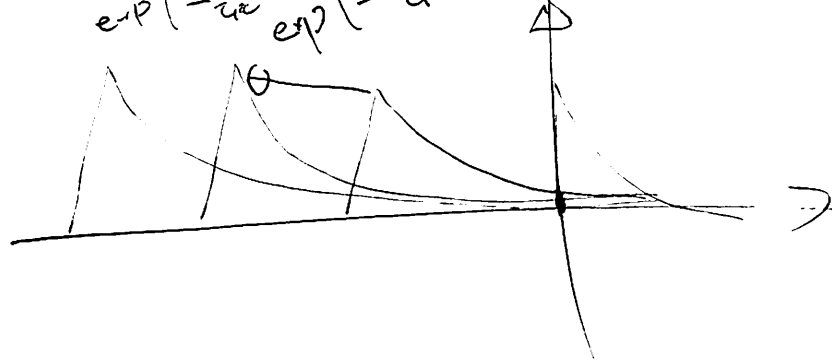
逆方向 $n' = -n \Rightarrow 1 \sim \infty$

$$S_n = n_0 \cdot r^{n'}$$

$\frac{n_0}{r}$ $\frac{n'}{\Delta t}$

$$\frac{n_0}{1-r} = \frac{1}{1 - e^{\frac{-\Delta t}{\tau_{\text{RC}}}}} n_0$$

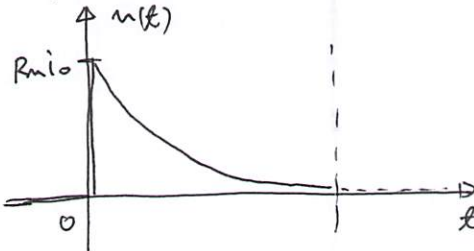
$$\exp\left(-\frac{n_0 \Delta t}{\tau_{\text{RC}}}\right) \exp\left(-\frac{(1-r) \Delta t}{\tau_{\text{RC}}}\right)$$



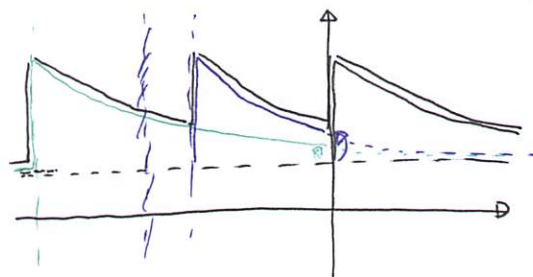
$$S_\infty = \frac{n_0}{1-r}$$

④ オフセット $t_1 \sim t_2$.

单発信号.



経過し



单発信号が、 $0 \rightarrow -\infty$ までの過去の瞬間分、減衰がしきり残るとして ~~計算~~ すれば、

→ 单發信号の理論値.

$$(t_1 \leq t < t_2)$$

$$n_{\text{pulse}}(t) = R_{io} \left(1 - e^{-\frac{t_1}{RC}}\right) e^{-\frac{t-t_1}{RC}}$$

式.

$t = t_1$ (e.g. 1 個) の場合.

$t - t_1 = t'$, 1 前のビームバースの信号は $t'' = t' + 1 \times \Delta T$,
 $(\Delta T$ は 経過周期)

$$\text{2つ前の} = t'' = t' + 2 \times \Delta T$$

$$n_{\text{pulse}}(t'') = R_{io} \left(1 - e^{-\frac{t_1}{RC}}\right) e^{-\frac{\frac{n}{\Delta T} \Delta T - t_1}{RC}}$$

$$\vdots$$

$$n \rightarrow \infty \text{ の} = n_{\text{pulse}}^{(n)}(t') = R_{io} \left(1 - e^{-\frac{t_1}{RC}}\right) e^{-\frac{\frac{n}{\Delta T} \Delta T - t_1}{RC}}$$

基準時刻時刻 t' 、 $n = 1 \sim \infty$ の信号が $t_1 \sim t_2$ に

$$n_{\text{pulse}}(t) = \sum_{n=1}^{\infty} n_{\text{pulse}}^{(n)} = \sum_{n=1}^{\infty} R_{io} \left(1 - e^{-\frac{t_1}{RC}}\right) e^{-\frac{\frac{n}{\Delta T} \Delta T - t_1}{RC}} \cdot e^{-\frac{t-t_1}{RC}}$$

$$= R_{io} \left(1 - e^{-\frac{t_1}{RC}}\right) e^{-\frac{t-t_1}{RC}} \sum_{n=1}^{\infty} e^{-\frac{n \Delta T}{RC}}$$

では、单発信号の時間に対する確率 $r = e^{-\frac{\Delta T}{RC}}$ が n 回ある、 n で r^n で表される。

$$= \sum_{n=1}^{\infty} r \cdot r^{n-1} = r \sum_{n=1}^{\infty} r^{n-1}$$

等比級数.

$$S_{\infty} = \sum_{n=1}^{\infty} r^n = \sum_{n=1}^{\infty} \left(e^{-\frac{\Delta T}{RC}}\right)^n = \lim_{n \rightarrow \infty} S_n = \lim_{n \rightarrow \infty} \frac{1 - r^n}{1 - r}.$$

$$r = e^{-\frac{\Delta T}{RC}} < 1 \text{ のため、収束}.$$

$$S_{\infty} = \frac{1}{1 - r} = \frac{1}{1 - e^{-\frac{\Delta T}{RC}}} = \frac{1}{1 - e^{-\frac{2.5 \times 10^{-3}}{2.5 \times 10^{-3}}}} = \frac{1}{1 - e^{-1.2}}$$

$$V_{\text{offset}} = \frac{1}{S_{\infty}} = \sum_{n=1}^{\infty} e^{-\frac{n \Delta T}{RC}} \cdot R_{io} \left(1 - e^{-\frac{t_1}{RC}}\right) \cdot e^{-\frac{t-t_1}{RC}}$$

$$= \frac{1 \times 10^6 \times 0.111 \times 10^{-3} \times \frac{3 \times 10^{-6}}{2.5 \times 10^{-3}} \times S_{\infty}}{2.5 \times 10^{-3}} = 0.92 \text{ (V)}$$

$$S_N = \sum_{n=1}^N e^{-\frac{n\Delta T}{RC}}$$

$$\alpha_n = e^{-\frac{\Delta T}{RC}} \cdot \left[e^{-\frac{\Delta T}{RC}} \right]^{(n-1)}$$

$$= a_1 \cdot r^{n-1}$$

$$\begin{cases} a_1 = e^{-\frac{\Delta T}{RC}} \\ r = e^{-\frac{\Delta T}{RC}} \end{cases} \Rightarrow \text{等比级数,}$$

$$f_N = a_1 + a_2 + a_3 + \dots + a_N$$

$$= a_1 + a_1 r + a_1 r^2 + \dots + a_1 r^{N-1}$$

$$r f_N = a_1 r + a_1 r^2 + \dots + a_1 r^{N-1} + a_1 r^N$$

$$(1-r) f_N = a_1 - a_1 r^N$$

$$\therefore f_N = \frac{a_1 (1-r^N)}{1-r} \xrightarrow{N \rightarrow \infty} f_\infty = \frac{a_1}{1-r}$$

$$f_\infty = \frac{e^{-\frac{\Delta T}{RC}}}{1 - e^{-\frac{\Delta T}{RC}}} \quad \begin{cases} RC = 2.5 \text{ ms} \\ \Delta T = 3.3 \text{ s} \end{cases} \Rightarrow$$

$$f_\infty = \frac{e^{-\frac{3.3}{2.5}}}{1 - e^{-\frac{3.3}{2.5}}} \Rightarrow f_\infty = 0.3645$$

$$V_{offset} = R_{io} \left(1 - e^{-\frac{z_1}{RC}} \right) + e^{-\frac{z_1 - z_2}{RC}} \cdot f_\infty \quad \textcircled{2} z = z_1$$

$$= V_{p-p} \cdot f_\infty$$

$$= 0.92 \text{ (v)} \times 0.3645$$

$$= 0.335 \text{ (v)}$$

④ 3'1 GBg. \rightarrow B型
塩化物。
(特別形規格) \rightarrow (一般規格)
 $8 \sim 10 \text{t/h}$

⑤ A型。屋外型。

警報所。消防所。事前説明。

12.2. 12月。技術上の基準。

特別形 R2 の 設計認証。 \rightarrow 通可能とするか?

(1) B型輸送。 $z^0 = -1\text{m}$.

(2) 特別形。新規認証が必要。

\rightarrow 一々検査.....

- 特別形。(陸海空)

(3) 中性子。

\rightarrow 純度標準。

⑥ BU型輸送容器。

八木。
R2規格の基の購入価格。

- 市場価格。- 高さ。- 重量の許容値。

⑦ 3'1 GBg. 3'1 GBg. (大大便)

R2. 八木。屋外型。OZT, NIDC.